

ผลของความชื่นต่อแรงดันเบรกดาวน์กระแสงลับและอิมพัลส์รูปคลื่นฟ้าผ่าของแกปทรงกลมมาตรฐาน

นายพงษ์ศักดิ์ มฤคทัต

วิทยานิพนธ์นี้เป็นส่วนหนึ่งของการศึกษาตามหลักสูตรปริญญาวิศวกรรมศาสตรมหาบัณฑิต

สาขาวิชาวิศวกรรมไฟฟ้า ภาควิชาวิศวกรรมไฟฟ้า

คณะวิศวกรรมศาสตร์ จุฬาลงกรณ์มหาวิทยาลัย

ปีการศึกษา 2547

ISBN 974-17-7086-3

ลิขสิทธิ์ของจุฬาลงกรณ์มหาวิทยาลัย

EFFECT OF HUMIDITY ON AC AND LIGHTNING IMPULSE BREAKDOWN VOLTAGE
OF STANDARD SPHERE GAPS

Mr. Pogsak Marukatat

A Thesis Submitted in Partial Fulfillment of the Requirements
for the Degree of Master of Engineering in Electrical Engineering

Department of Electrical Engineering

Faculty of Engineering

Chulalongkorn University

Academic year 2004

ISBN 974-17-7086-3

หัวข้อวิทยานิพนธ์ ผลของความชื้นต่อแรงดันเบรกดาวน์กราฟและอิมพัลส์วูปคลื่น
โดย พลเอกพงษ์ศักดิ์ มฤคทัด
สาขาวิชา วิศวกรรมไฟฟ้า
อาจารย์ที่ปรึกษา อารย์ ดร. คณสัน พีชรรักษ์

คณะกรรมการสาขาวิชาฯ จึงทรงกรุณามหาวิทยาลัย อนุมัติให้นับวิทยานิพนธ์ฉบับนี้เป็นส่วน
หนึ่งของการศึกษาตามหลักสูตรปริญญามหาบัณฑิต

..... คณบดีคณะวิศวกรรมศาสตร์
(ศาสตราจารย์ ดร. ดิเรก ลาวัณย์ศิริ)

คณะกรรมการสอบวิทยานิพนธ์

..... ประธานกรรมการ
(อาจารย์ ไชยะ แซ่บซ้อม)

..... อาจารย์ที่ปรึกษา
(อาจารย์ ดร. คณสัน พีชรรักษ์)

..... กรรมการ
(ผู้ช่วยศาสตราจารย์ ดร. บุญชัย เตชะคำนาจ)

**พงษ์ศักดิ์ มฤคทัต : ผลของความชื้นต่อแรงดันเบรกดาวน์กระแสลับและอิมพัลส์รูปคลื่น
พื้นผ่านของแก่ไฟฟ้าในมาตรฐาน.(EFFECT OF HUMIDITY ON AC AND LIGHTNING
IMPULSE BREAKDOWN VOLTAGE OF STANDARD SPHERE GAPS)**

อ.ที่ปรึกษา: ดร.คุณสัน พึ่งรักษ์, 110 หน้า. ISBN 974-17-7086-3.

วิทยานิพนธ์ฉบับนี้รายงานการศึกษา ผลกระทบของความชื้นที่มีต่อแรงดันเบรกดาวน์ของ
แก่ไฟฟ้าในมาตรฐาน ขนาดเส้นผ่าศูนย์กลาง 25 เซนติเมตร เมื่อทดลองด้วยแรงดันกระแสลับ
และแรงดันอิมพัลส์รูปคลื่นมาตรฐาน 1.2/50 μs. ทั้งข้อบากและขัวลบ ที่ระยะแกปต่าง ๆ ซึ่งพบว่า

กรณีที่ระยะแกปมีขนาดเล็กหรือระดับแรงดันเบรกดาวน์ต่ำๆ ความชื้นมีผลน้อยมากต่อ
แรงดันเบรกดาวน์ ทั้งในกรณีของแรงดันอิมพัลส์รูปคลื่นมาตรฐาน 1.2/50 μs และแรงดันกระแสลับ
เมื่อระยะแกปเพิ่มขึ้นแรงดันเบรกดาวน์อิมพัลส์ มีค่าเพิ่มขึ้นตามความชื้น แต่ที่ระยะแกปกว้าง
แรงดันเบรกดาวน์อิมพัลส์ขัวลบมีค่าคงที่ไม่ขึ้นกับความชื้นส่วนแรงดันเบรกดาวน์อิมพัลส์ขัวลบ
และแรงดันเบรกดาวน์กระแสลับกลับมีค่าลดลงเมื่อความชื้นมีค่าสูง

การใช้ตัวประกอบแก้ไขความชื้นเพื่อแปลงค่าแรงดันเบรกดาวน์ที่ความชื้นต่างๆ ไปเป็นค่าที่
ภาวะอากาศมาตรฐานนั้น เมื่อทดสอบด้วยแรงดันอิมพัลส์รูปคลื่นมาตรฐาน 1.2/50 μs ที่ความชื้นไม่
เกิน 15 g/m^3 การแปลงค่าตามที่มาตรฐาน IEC 60052 กำหนดยังคงใช้แก้ไขได้อยู่ ส่วนที่ค่าความชื้น
ที่เกินกว่า 15 g/m^3 นั้น ยังไม่สามารถแก้ไขผลของความชื้นได้ดีเท่าที่ควร สำหรับการทดลองด้วย
แรงดันกระแสลับนั้น ไม่สามารถใช้แปลงผลของความชื้นได้เลย ดังนั้นจึงควรมีการพิจารณาใช้
ค่าตัวประกอบการแก้ไขความชื้นใหม่ ที่เหมาะสมกับการทดสอบที่ทำในสภาพอากาศที่มีความชื้นสูง

ภาควิชา	วิศวกรรมไฟฟ้า	ลายมือชื่อนิสิต.....
สาขาวิชา	วิศวกรรมไฟฟ้า	ลายมือชื่ออาจารย์ที่ปรึกษา.....
ปีการศึกษา	2547	

4570728321 : MAJOR ELECTRICAL ENGINEERING

KEY WORD : SPHERE GAPS / HUMIDITY CORRECTION FACTOR / AC BREAKDOWN VOLTAGE / LIGHTNING IMPULSE BREAKDOWN VOLTAGE .

PONGSAK MARUKATAT : EFFECT OF HUMIDITY ON AC AND LIGHTNING IMPULSE BREAKDOWN VOLTAGE OF STANDARD SPHERE GAPS. THESIS ADVISOR : KOMSON PETCHARAKS, Dr.Sc.Techn. 110 pp. ISBN 974-17-7086-3.

This thesis study the effect of humidity on breakdown voltage of 25 cm diameter standard sphere gaps, under AC and standard lightning impulse 1.2/50 μ s voltage at several gap distances.

At small gap spacing or low breakdown voltage, humidity practically has no effect on breakdown voltage for both AC and standard lightning impulse 1.2/50 μ s voltage. With increasing gap spacing, impulse breakdown voltage increases with increasing humidity. At large gap distances, the positive impulse breakdown voltage is independent from humidity. However the negative impulse breakdown voltage is decreased as humidity is increased and the AC breakdown voltage is also decreased with increasing humidity.

The humidity correction factor, as given in IEC 60052, for testing with standard lightning impulse 1.2/50 μ s at humidity range not exceeding 15 g/m³ is still valid. For humidity above 15 g/m³ the correction is not good enough. In the case of testing with AC voltages, the correction is invalid for the whole range of humidity. Therefore, we should applied a new humidity correction factor appropriated for testing during high humidity.

Department Electrical Engineering Student's signature.....

Field of study Electrical Engineering Advisor's signature.....

Academic year 2004

กิตติกรรมประกาศ

วิทยานิพนธ์ฉบับนี้ประسبผลสำเร็จไปได้ด้วยดี เนื่องจากได้รับความช่วยเหลือจากอาจารย์ ดร. คณสัน พึ่งรักษา อาจารย์ที่ปรึกษาวิทยานิพนธ์ ที่ให้ข้อแนะนำในการศึกษาวิจัย วิธีการแก้ไข ปัญหาข้อบกพร่องจนวิทยานิพนธ์เสร็จสมบูรณ์ได้ ขอขอบคุณ อาจารย์ไชยะ แหน่งช้อย และผู้ช่วยศาสตราจารย์ ดร. บุญชัย เตชะคำนาจ ที่ช่วยตรวจสอบและแก้ไขวิทยานิพนธ์

ขอขอบคุณ คุณถาวร เอื้อดี, คุณเกรียงไกร โอษฐ์ชน ที่ได้ให้ความช่วยเหลือในการใช้อุปกรณ์ วัดและอุปกรณ์ทดสอบในห้องปฏิบัติการไฟฟ้าแรงสูง รวมทั้งให้คำแนะนำในการทดลองมาโดยตลอด คุณพีรุณิ ยุทธกิจวิท ที่เคยให้คำปรึกษาตลอดการวิจัย ตลอดจนพี่ฯ และเพื่อนๆ น้องๆ ทุกท่านในห้องปฏิบัติการไฟฟ้าแรงสูงทุกท่าน ที่ช่วยเหลือให้กำลังใจและแลกเปลี่ยนความคิดเห็น อันเป็นประโยชน์ คุณ อรุณานุวัตร ที่เป็นกำลังที่ดีเยี่ยมแก่ผู้วิจัย ขอขอบพระคุณ ไว้ ณ โอกาส

สุดท้ายนี้ ขอขอบคุณ บิดา มารดา และครอบครัวที่เคยสนับสนุน ให้มีโอกาส และ ความ平坦นาดีแก่ข้าพเจ้าเสมอมา

สารบัญ

	หน้า
บทคัดย่อวิทยานิพนธ์.....	๑
บทคัดย่อภาษาอังกฤษ.....	๑
กิตติกรรมประกาศ.....	๑
สารบัญ	๒
สารบัญตาราง.....	๓
สารบัญภาพ.....	๔
บทที่	
1. บทนำ.....	1
1.1 ที่มาของปัญหา	1
1.2 วัตถุประสงค์ของวิทยานิพนธ์.....	2
1.3 การศึกษาวิจัยในอดีต	2
1.4 ขอบเขตวิทยานิพนธ์.....	3
1.5 ขั้นตอนการทำวิทยานิพนธ์	3
1.6 ประโยชน์ที่ได้รับ	4
2. การเกิดเบรกดาวน์ในก้าช.....	5
2.1 เบรกดาวน์ในก้าช.....	5
2.2 กลไกการเกิดเบรกดาวน์	6
2.2.1 กลไกเบรกดาวน์ของทาวน์เซนต์	6
2.2.2 กลไกเบรกดาวน์แบบสต็รีมเมอร์	7
2.3 การเบรกดาวน์ของแรงดันลมอิมพัลล์	8
2.3.1 เวลาล่าช้าของการเกิดเบรกดาวน์	9
2.3.2 ความน่าจะเป็นในการเกิดเบรกดาวน์.....	10
3. การวัดแรงดันสูงด้วยแกปทรงกลม.....	12
3.1 แกปทรงกลม	12
3.1.1 ลักษณะสมบัติของแกปอากาศทรงกลม	12
3.1.2 มาตรฐาน IEC 60052	13
3.1.2.1 ข้อกำหนดเกี่ยวกับทรงกลม	13

บทที่	หน้า
3.1.2.2 ข้อพึงปฏิบัติในการใช้แก่ทรงกลม	15
3.1.2.3 การวัดแรงดันเบรกด้านข้างแก่อากาศทรงกลม.....	16
3.2 การวัดแรงดันอิมพัลส์	18
3.3 การวัดแรงดันกราะแสสลับ	20
4. การทดลองผลของความชื้นต่อแรงดันเบรกด้าน	23
4.1 ชุดทดลอง	23
4.2 การทดลองด้วยแรงดันอิมพัลส์	24
4.2.1 เครื่องกำเนิดแรงดันอิมพัลส์ที่ใช้ในการทดลอง	24
4.2.2 การเตรียมชุดทดลอง	25
4.2.3 วิธีการทดลองและการเก็บข้อมูล	27
4.3 การทดลองด้วยแรงดันกราะแสสลับ	27
4.3.1 วงจรทดลองแรงดันกราะแสสลับ	27
4.3.2 วิธีการทดลองและการเก็บข้อมูล	28
4.4 การทำความสะอาดชุดทดลอง	28
5 ผลการทดลองและวิเคราะห์ผล	29
5.1 ค่าเบี่ยงเบนมาตรฐานจากการทดลอง	29
5.2 ผลของความชื้นต่อแรงดันเบรกด้าน	31
5.2.1 ผลการทดลองด้วยแรงดันอิมพัลส์	31
5.2.2 ผลการทดลองด้วยแรงดันกราะแสสลับ	35
5.3 ตัวประกอบแก้ไขความชื้น (Humidity Correction Factor)	40
5.4 ผลของความชื้นที่มีต่อระยะแก่อากาศ	42
5.5 ตัวประกอบแก้ไขความชื้นใหม่ (Knew)	47
6. สรุปผลการลองและข้อเสนอแนะ	51
6.1 สรุปผลการลอง	51
6.2 ข้อเสนอแนะ	52
เอกสารอ้างอิง	53
ภาคผนวก	55

บทที่	หน้า
ภาคผนวก ก. ข้อมูลความซึ้งจากการทดสอบอุตุนิยมวิทยาในรอบ 5 ปี.....	56
ภาคผนวก ข. Maximum Likelihood Parameter Estimation	69
ภาคผนวก ค. ตารางแรงดันเบรกดาวน์มาตรฐานของ IEC 60052	70
ภาคผนวก ง. ข้อมูลการทดลองด้วยแรงดันอิมพัลส์	74
ภาคผนวก จ. ข้อมูลการทดลองด้วยแรงดันกระแทกสลับ	98
ภาคผนวก ฉ. Least Square Estimations	108
ประวัติผู้เขียนวิทยานิพนธ์	110

สารบัญตาราง

ตารางที่	หน้า
3.1 ขนาดทดลองมาตรฐานและระยะแก้ไขรัดแรงดัน.....	12
3.2 ระยะ A และ B ตามมาตรฐาน IEC 60052	15
5.1 สัมประสิทธิ์ความชื้นที่ได้จากการทดลอง (% ต่อ g/m ³)	40
5.2 ค่าแฟคเตอร์แก้ไขผลกระทบอากาศ	48
5.3 ค่าตัวประกอบแก้ไขความชื้นที่เสนอ K_{new} ในฟังก์ชันของ h / δ	47
ก.1 ข้อมูลความชื้นสัมพัทธิ์ (%RH) ปี พ.ศ. 2543	56
ก.2 ข้อมูลความชื้นสัมพัทธิ์ (%RH) ปี พ.ศ. 2544	57
ก.3 ข้อมูลความชื้นสัมพัทธิ์ (%RH) ปี พ.ศ. 2545	57
ก.4 ข้อมูลความชื้นสัมพัทธิ์ (%RH) ปี พ.ศ. 2546	58
ก.5 ข้อมูลความชื้นสัมพัทธิ์ (%RH) ปี พ.ศ. 2547	59
ก.6 ข้อมูลอุณหภูมิ (องศาเซลเซียส) ปี พ.ศ. 2543	60
ก.7 ข้อมูลอุณหภูมิ (องศาเซลเซียส) ปี พ.ศ. 2544	61
ก.8 ข้อมูลอุณหภูมิ (องศาเซลเซียส) ปี พ.ศ. 2545	62
ก.9 ข้อมูลอุณหภูมิ (องศาเซลเซียส) ปี พ.ศ. 2546	62
ก.10 ข้อมูลอุณหภูมิ (องศาเซลเซียส) ปี พ.ศ. 2547	63
ก.11 ข้อมูลความดันอากาศ (มิลลิบาร์) ปี พ.ศ. 2543	64
ก.12 ข้อมูลความดันอากาศ (มิลลิบาร์) ปี พ.ศ. 2544	65
ก.13 ข้อมูลความดันอากาศ (มิลลิบาร์) ปี พ.ศ. 2545	66
ก.14 ข้อมูลความดันอากาศ (มิลลิบาร์) ปี พ.ศ. 2546	67
ก.15 ข้อมูลความดันอากาศ (มิลลิบาร์) ปี พ.ศ. 2547	67
ค 1 แรงดันเบรกดาวน์อิมพัลส์ขับวน กะแสรสตับและกระแตกตง ของแก็ปทรงกลม มาตรฐาน	
จากตารางที่ 2 ของ IEC 60052 (2002)	70
ค 2 แรงดันเบรกดาวน์อิมพัลส์ขับวนของแก็ปทรงกลมมาตรฐาน	
จากตารางที่ 3 ของ IEC 60052 (2002)	72
ง 1 ข้อมูลแรงดันเบรกดาวน์อิมพัลส์ขับวน ด้วยวิธีปรับขึ้นลง ที่ระยะแกป 1 cm	74
ง 2 ข้อมูลแรงดันเบรกดาวน์อิมพัลส์ขับวน ด้วยวิธีปรับขึ้นลง ที่ระยะแกป 3 cm	76
ง 3 ข้อมูลแรงดันเบรกดาวน์อิมพัลส์ขับวน ด้วยวิธีปรับขึ้นลง ที่ระยะแกป 6 cm	79
ง 4 ข้อมูลแรงดันเบรกดาวน์อิมพัลส์ขับวน ด้วยวิธีปรับขึ้นลง ที่ระยะแกป 9 cm	81

ตารางที่	หน้า
ง 5 ข้อมูลแรงดันเบรกดาวน์อิมพัลส์ข้อบาก ด้วยวิธีปรับขึ้นลง ที่ระยະแกป 12 cm.....	84
ง 6 ข้อมูลแรงดันเบรกดาวน์อิมพัลส์ข้อลับ ด้วยวิธีปรับขึ้นลง ที่ระยະแกป 1 cm	86
ง 7 ข้อมูลแรงดันเบรกดาวน์อิมพัลส์ข้อลับ ด้วยวิธีปรับขึ้นลง ที่ระยະแกป 3 cm	89
ง 8 ข้อมูลแรงดันเบรกดาวน์อิมพัลส์ข้อลับ ด้วยวิธีปรับขึ้นลง ที่ระยະแกป 6 cm.....	91
ง 9 ข้อมูลแรงดันเบรกดาวน์อิมพัลส์ข้อลับ ด้วยวิธีปรับขึ้นลง ที่ระยະแกป 9 cm.....	93
ง 10 ข้อมูลแรงดันเบรกดาวน์อิมพัลส์ข้อลับ ด้วยวิธีปรับขึ้นลง ที่ระยະแกป 12 cm.....	95
จ 1 ข้อมูลแรงดันเบรกดาวน์กระแสลับ ด้วยวิธีแรงดันเพิ่ม ที่ระยະแกป 1 cm	98
จ 2 ข้อมูลแรงดันเบรกดาวน์กระแสลับ ด้วยวิธีแรงดันเพิ่ม ที่ระยະแกป 3 cm	100
จ 3 ข้อมูลแรงดันเบรกดาวน์กระแสลับ ด้วยวิธีแรงดันเพิ่ม ที่ระยະแกป 6 cm	103
จ 4 ข้อมูลแรงดันเบรกดาวน์กระแสลับ ด้วยวิธีแรงดันเพิ่ม ที่ระยະแกป 9 cm	105

สารบัญภาพ

ภาพประกอบที่	หน้า
1.1 ค่าความชื้นที่วัดได้ในประเทศไทย ในรอบ 5 ปีหลังสุด	2
2.1 เวลาล่าช้าของภารกิจเบรกดาวน์ตุ	9
2.2 ความนำจะเป็นในการเกิดแรงดันเบรกดาวน์ $P_{50\%}$	10
3.1 การติดตั้งแกปทรงกลมเส้นผ่านศูนย์กลาง $> 25 \text{ cm } \Phi$ แนวตั้ง	14
3.2 การติดตั้งแกปทรงกลมเส้นผ่านศูนย์กลาง $\leq 25 \text{ cm } \Phi$ แนวอน	14
3.3 กราฟอุณหภูมิ กระแสไฟฟ้า-กระแสไฟฟ้าเพื่อหาความชื้นสัมบูรณ์	17
3.4 เส้นกราฟใช้หาแรงดันเบรกดาวน์ 50%	19
3.5 (ก.) การทดลองวิธีแรงดันเพิ่ม แบบต่อเนื่อง กรณีกระแสตรงและกระแสสลับ	20
3.5 (ข.) การทดลองวิธีแรงดันเพิ่ม แบบขั้น กรณีกระแสตรงและกระแสสลับ	21
4.1 ชุดทดลองแกปอากาศทรงกลมมาตรฐาน	23
4.2 วงจรเครื่องกำเนิดแรงดันอิมพัลส์เพื่อวัดแรงดันเบรกดาวน์ของแกปทรงกลม	24
4.3 รูปคลื่นแรงดันอิมพัลส์จากการ Calibrate (ก - ฉ)	25
4.4 วงจรทดลองแรงดันกระแสสลับ	27
5.1 ค่าเบี่ยงเบนมาตรฐานของการทดสอบด้วยแรงดันอิมพัลส์ข้าบาก ที่ระยะแกปต่างๆ	29
5.2 ค่าเบี่ยงเบนมาตรฐานของการทดสอบด้วยแรงดันอิมพัลส์ข้าลบ ที่ระยะแกปต่างๆ	30
5.3 ค่าเบี่ยงเบนมาตรฐานของการทดสอบด้วยแรงดันกระแสสลับ ที่ระยะแกปต่างๆ	31
5.4 ผลการทดลองแรงดันเบรกดาวน์อิมพัลส์ ระยะแกป 1 cm. ที่ความชื้นค่าต่างๆ	32
5.5 ผลการทดลองแรงดันเบรกดาวน์อิมพัลส์ ระยะแกป 3 cm. ที่ความชื้นค่าต่างๆ	32
5.6 ผลการทดลองแรงดันเบรกดาวน์อิมพัลส์ ระยะแกป 6 cm. ที่ความชื้นค่าต่างๆ	33
5.7 ผลการทดลองแรงดันเบรกดาวน์อิมพัลส์ ระยะแกป 9 cm. ที่ความชื้นค่าต่างๆ	33
5.8 ผลการทดลองแรงดันเบรกดาวน์อิมพัลส์ ระยะแกป 12 cm. ที่ความชื้นค่าต่างๆ	34
5.9 ผลการทดลองแรงดันเบรกดาวน์กระแสสลับ ระยะแกป 1 cm. ที่ความชื้นค่าต่างๆ	35
5.10 ผลการทดลองแรงดันเบรกดาวน์กระแสสลับ ระยะแกป 3 cm. ที่ความชื้นค่าต่างๆ	36
5.11 ผลการทดลองแรงดันเบรกดาวน์กระแสสลับ ระยะแกป 6 cm. ที่ความชื้นค่าต่างๆ	36
5.12 ผลการทดลองแรงดันเบรกดาวน์กระแสสลับ ระยะแกป 9 cm. ที่ความชื้นค่าต่างๆ	37
5.13 แรงดันเบรกดาวน์อิมพัลส์ข้าบากในระบบเบอร์ยูนิต	38

ภาคประกอบที่	หน้า
5.14 แรงดันเบรกดาวน์คอมพัลส์ขั้วลบในระบบเปอร์ยูนิต	38
5.15 แรงดันเบรกดาวน์กระแสสลับในระบบเปอร์ยูนิต	39
5.16 แรงดันเบรกดาวน์คอมพัลส์ขั้วบวก เมื่อแปลงค่าด้วยตัวประกอบแก้ไขความซึ้น (k) ในระบบเปอร์ยูนิต	41
5.17 แรงดันเบรกดาวน์คอมพัลส์ขั้วลบ เมื่อแปลงค่าด้วยตัวประกอบแก้ไขความซึ้น (k) ในระบบเปอร์ยูนิต	41
5.18 แรงดันเบรกดาวน์คอมพัลส์ขั้วบวก เมื่อแปลงค่าด้วยตัวประกอบแก้ไขความซึ้น (k) ในระบบเปอร์ยูนิต	42
5.19 เปอร์เซนต์ค่าแรงดันเบรกดาวน์คอมพัลส์ขั้วบวก เทียบกับค่ามาตรฐาน (%Ub) กับ %S/D	43
5.20 เปอร์เซนต์ค่าแรงดันเบรกดาวน์คอมพัลส์ขั้วลบ เทียบกับค่ามาตรฐาน (%Ub) กับ %S/D	44
5.21 เปอร์เซนต์ค่าแรงดันเบรกดาวน์กระแสสลับ เทียบกับค่ามาตรฐาน (%Ub) กับ %S/D	44
5.22 แรงดันเบรกดาวน์คอมพัลส์ขั้วบวก เมื่อแปลงค่าตามมาตรฐาน IEC และแก้ผลของระยะแกป ในระบบเปอร์ยูนิต	46
5.23 แรงดันเบรกดาวน์คอมพัลส์ลบ เมื่อแปลงค่าตามมาตรฐาน IEC และแก้ผลของระยะแกป ในระบบเปอร์ยูนิต	46
5.24 แรงดันเบรกดาวน์กระแสสลับ เมื่อแปลงค่าตามมาตรฐาน IEC และแก้ผลของระยะแกป ในระบบเปอร์ยูนิต	47
5.25 ค่าตัวประกอบแก้ไขความซึ้นที่เสนอสำหรับการทดสอบแรงดันคอมพัลส์รูปคลื่นมาตรฐาน 1.2/50 ms และ แรงดันกระแสสลับ	48
5.26 แรงดันเบรกดาวน์คอมพัลส์ขั้วบวก เมื่อแปลงค่าด้วยตัวประกอบแก้ไขความซึ้นที่เสนอ และแก้ผลของความซึ้นที่มีต่อแกปอากาศ ในระบบเปอร์ยูนิต	49
5.27 แรงดันเบรกดาวน์คอมพัลส์ขั้วลบ เมื่อแปลงค่าด้วยตัวประกอบแก้ไขความซึ้นที่เสนอ และแก้ผลของความซึ้นที่มีต่อแกปอากาศ ในระบบเปอร์ยูนิต	49
5.28 แรงดันเบรกดาวน์กระแสสลับ เมื่อแปลงค่าด้วยตัวประกอบแก้ไขความซึ้นที่เสนอ และแก้ผลของความซึ้นที่มีต่อแกปอากาศ ในระบบเปอร์ยูนิต	50
ก.1 Least Square ตามแนวแกน y และ x	108

บทที่ 1

บทนำ

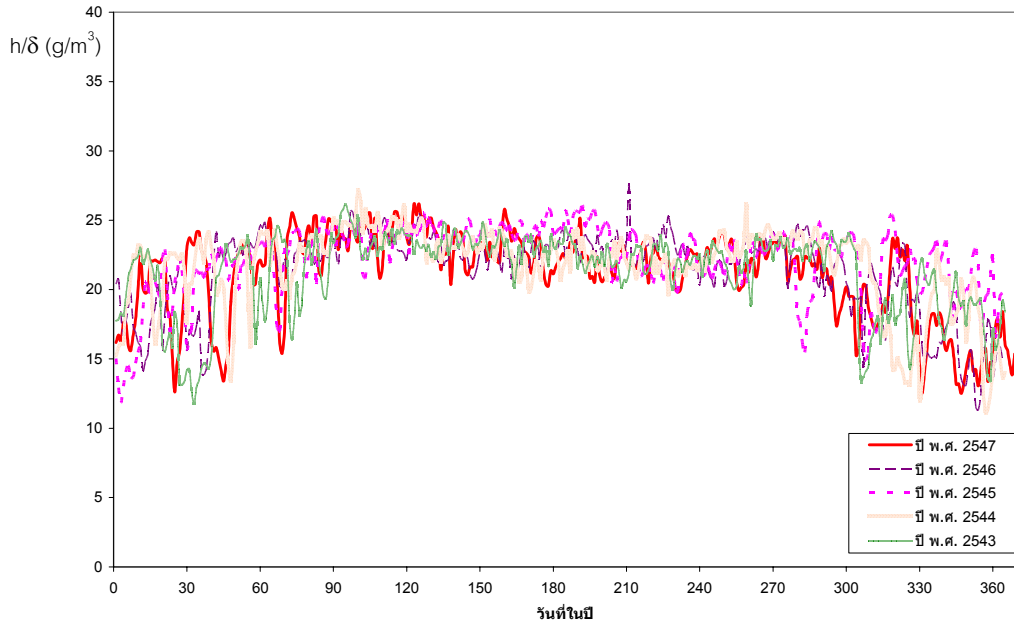
อุปกรณ์ไฟฟ้าแรงสูง ที่จะนำไปใช้ในระบบส่งจ่ายไฟฟ้าหรือสถานที่ที่ใช้แรงดันสูง เช่น ห้องปฏิบัติการของสถาบันการศึกษา หรือสถาบันทดสอบและวิจัยไฟฟ้าแรงสูง หลายชนิดในปัจจุบัน สามารถผลิตขึ้นได้เองโดยโรงงานอุตสาหกรรมหลายแห่งในประเทศไทย อาทิ ลูกกลั่นไฟฟ้าสายเคเบิล กับดักฟ้าผ่า และหม้อแปลงไฟฟ้า อุปกรณ์ดังกล่าวผลิตขึ้นใช้ทั่วไปในประเทศไทย และส่งออกไปยังต่างประเทศ ขั้นตอนหนึ่งในการควบคุมคุณภาพของอุปกรณ์ที่ผลิตขึ้นคือ การทดสอบและการวัด การทดสอบแรงดันสูงก่อนที่จะนำไปใช้งานต้องมีคุณภาพและตรงตามมาตรฐาน เพื่อป้องกันความเสียหายที่อาจจะเกิดขึ้นได้ในระบบ ก่อนที่จะนำไปใช้งาน

การวัดแรงดันสูงด้วยแกปทรงกลม เป็นวิธีหนึ่งตามมาตรฐาน IEC 60052 [1] ที่ใช้ในการวัดแรงดันสูงแบบต่างๆ ซึ่งเป็นวิธีที่ง่ายและ มีความแม่นยำ เนื่องจากต้องใช้ถูกต้อง โดยอาศัยการเกิดสปาร์ก หรือเบรากดาวน์ของอากาศระหว่างแกปทรงกลม โดยสามารถใช้วัดค่าโดยดูของแรงดันซึ่งวัดได้ทั้ง แรงดันกระแสตรง แรงดันกระแสสลับ และแรงดันอิมพัลส์รูปคลื่นฟ้าผ่า

มาตรฐานระดับนานาชาติและระดับชาติจึงแนะนำให้ใช้แกปทรงกลมเป็นอุปกรณ์สอบเทียบมาตรฐาน แม้ว่าในปัจจุบันจะมีอุปกรณ์อื่นที่มีความถูกต้องแม่นยำในการวัดดีกว่าแกปทรงกลม แต่อุปกรณ์เหล่านั้นมักจะบอบบาง เพราะต้องใช้วัสดุกับอุปกรณ์อิเล็กทรอนิกส์ ที่ไวต่อการรบกวนจากคลื่นแม่เหล็กไฟฟ้า ดังนั้นห้องทดลองไฟฟ้าแรงสูงแบบทุกแห่งในโลกจึงมีแกปทรงกลม มาตรฐาน เพื่อนำมาใช้วัดเทียบกับอุปกรณ์เหล่านั้น เพื่อให้แน่ใจว่าอย่างทำงานได้ปกติ และถูกต้องอยู่เสมอ

1.1 ที่มาของัญหา

การวัดแรงดันสูงด้วยแกปทรงกลมในปัจจุบันยึดตามมาตรฐาน IEC 60052 โดย มาตรฐานได้กำหนดความชื้นสัมบูรณ์ (h) ต่อความหนาแน่นอากาศสัมพัทธ์ (δ) ขณะวัดแรงดันสูง ในช่วง $5 - 12 \text{ g/m}^3$ เท่านั้น ซึ่งในสภาพอากาศของประเทศไทย (ข้อมูลจากการอุตุนิยมวิทยาแสดงในภาคผนวก ก.) ตามรูปที่ 1.1 มีค่าสูงกว่าค่าที่มาตรฐานกำหนดไว้ ทำให้ค่าแรงดันที่ปรับแก้ตามมาตรฐาน อาจเกิดความคลาดเคลื่อนขึ้นได้



รูปที่ 1.1 ค่าความชื้นที่วัดได้ในประเทศไทย ในรอบ 5 ปีที่ผ่านมา

1.2 วัตถุประสงค์ของวิทยานิพนธ์

ทดลองหาแรงดันเบรกดาวน์ของแกปทรงกลมมาตรฐาน โดยใช้แรงดันอิมพัลส์รูปคลื่นฟ้าผ่ามาตรฐาน $1.2/50 \text{ } \mu\text{s}$. (ต่อไปในวิทยานิพนธ์นี้จะเรียกว่า “เพียงแรงดันอิมพัลส์”) ทั้งข้อบากและขัวลบ และแรงดันสูงกระแทกสั้น เพื่อวิเคราะห์ผลของความชื้นที่มีต่อแรงดันเบรกดาวน์ว่ามีผลเป็นเช่นไรที่ความชื้นสูง จากนั้นจะหาตัวประกอบแก้ไขความชื้น เพื่อใช้เป็นมาตรฐานในการทดสอบต่อไป

1.3 การศึกษาวิจัยในอดีต

การศึกษาวิจัยถึงผลกราฟของความชื้นที่มีต่อแรงดันเบรกดาวน์ของแกปทรงกลมมาตรฐาน ที่ใช้เป็นแนวทางในการศึกษา มีดังต่อไปนี้

D.E.Gourguilis,C.A.Stassinopoulos [2,3] ได้ทำการศึกษาวิจัยถึงผลของความชื้นที่มีต่อการเกิดอิมพัลส์เบรกดาวน์ของแกปทรงกลมขนาด 75 cm ทั้งขัวบากและขัวลบ ที่ระยะแกปต่างๆ ผลที่ได้จากการวิจัยคือ ค่าแรงดันเบรกดาวน์ที่ได้จากการทดลองมีค่าต่ำกว่าแรงดันเบรกดาวน์มาตรฐาน [1] แต่มีค่าเพิ่มขึ้นเมื่อความชื้นสูงขึ้น โดยเปลี่ยนไปตามระยะแกปและขัวแรงดัน

ความชื้นยังมีผลต่อแรงดันเบรกดาวน์คอมพ์ลัสซ์วัลบมากกว่าข้อบกอก โดยเฉพาะอย่างยิ่งในการทดลองด้วยแรงดันสวิตซ์ชิงคอมพ์ลัสซ์วัลบ

Jose G.,Fernando H. [4] ได้ทำการศึกษาวิจัย แรงดันเบรกดาวน์ของแกปทรงกลม ภายใต้การควบคุมอุณหภูมิและความชื้น โดยใช้แรงดันคอมพ์ลัส ผลที่ได้คือ ความชื้นที่เพิ่มขึ้นกับแรงดันเบรกดาวน์ที่เพิ่มขึ้นนั้น มีความสัมพันธ์เป็นเชิงเส้นโดยขึ้นอยู่กับค่าสัมประสิทธิ์ความชื้น (humidity coefficient)

C.de Salles , M L B Martinez.[5] ศึกษาผลของความชื้นที่มีต่อแรงดันเบรกดาวน์ เพื่อหาตัวประกอบแก้ไขความชื้นสำหรับการทดลองด้วยแรงดันคอมพ์ลัสที่ระดับแรงดันไม่เกิน 180 KV โดยทำการทดลองด้วยแกปทรงกลม-ทรงกลม ที่ระยะแกป 25 mm. - 60 mm. จากการทดลองพบว่าที่ความชื้นสูง ๆ คอมพ์ลัสซ์วัลบมีความคงทนต่อการเกิดเบรกดาวน์สูงขึ้นกว่าคอมพ์ลัสซ์วัลบจากนั้นนำผลการทดลองมาหาความสัมพันธ์ของตัวประกอบแก้ไขความชื้นกับ h/δ เพื่อนำไปใช้ในการแปลงค่าแรงดันสำหรับการทดสอบแรงดันสูงต่อไป

1.4 ขอบเขตของวิทยานิพนธ์

ทดลองหาแรงดันเบรกดาวน์ของแกปทรงกลมมาตรฐานขนาดเด่นผ่านศูนย์กลาง 25 เซนติเมตร ที่ภาวะอากาศของห้องทดลองไฟฟ้าแรงสูง คณวิศวกรรมศาสตร์ จุฬาลงกรณ์มหาวิทยาลัย เมื่อป้อนแรงดันคอมพ์ลัส ทั้งข้อบกอกและข้อลับ และแรงดันสูงกระแสลับ ที่ระยะแกปอากาศตั้งแต่ 1-12 เซนติเมตร เพื่อหาตัวประกอบแก้ไขความชื้น ที่สามารถนำไปใช้เป็นมาตรฐานในการวัดแรงสูงในภาวะอากาศที่มีความชื้นสูงต่อไป

1.5 ขั้นตอนการทำวิทยานิพนธ์

- ศึกษาทฤษฎีและหลักการของกระบวนการเกิดเบรกดาวน์ในแกปอากาศของทรงกลมมาตรฐาน โดยค้นคว้าจากเอกสาร หนังสือ และบทความวิจัยในอดีตที่เกี่ยวข้องกับการทำวิทยานิพนธ์
- ออกแบบการทดลองในห้องปฏิบัติการไฟฟ้าแรงสูง
- ทำการทดลองหาแรงดันเบรกดาวน์คอมพ์ลัสทั้งข้อบกอกและข้อลับ และแรงดันกระแสลับ ที่ความชื้นต่าง ๆ
- วิเคราะห์และสรุปผลการทดลอง
- เรียบเรียง ตรวจสอบ และจัดพิมพ์วิทยานิพนธ์เสนอต่อกรรมการ

1.6 ประโยชน์ที่ได้รับ

1. ทำให้ทราบถึงผลของความชื้นที่มีต่อแรงดันเบรกดาวน์อิมพัลส์ ทั้งข้อบกพร่องและข้อดี
และแรงดันกระเสื่อมลับ
2. ได้ข้อมูลที่จะนำไปหาตัวประกอบแก้ไขความชื้นที่ภาวะความชื้นสูง ซึ่งจะช่วยให้การ
สอบเทียบคุณภาพนิวัตแรงดันสูงด้วยแกปทรงกลมตามมาตรฐาน IEC 60052 มี
ความถูกต้องมากยิ่งขึ้น

บทที่ 2

การเกิดเบรกดาวน์ในก้าช

2.1 เบรกดาวน์ในก้าช

ลักษณะสมบัติของวัสดุฉนวนนับว่ามีความสำคัญยิ่งต่อเทคนิคการฉนวนด้านวิศวกรรมไฟฟ้าแรงสูง ก้าชนี้เป็นฉนวนชนิดหนึ่งที่มีความสำคัญต่อเทคนิคการฉนวน สภาพการเป็นฉนวนอย่างสมบูรณ์ของก้าชจะเสียไปเมื่อมีดีสชาร์จ (Discharge) ในก้าชเกิดขึ้น ดีสชาร์จในก้าช เป็นการอธิบายปรากฏการณ์การให้ลอกของกระแสไฟฟ้าผ่านก้าช โดยอาศัยการเคลื่อนที่ของอนุภาคประจุ ได้แก่ อิเล็กตรอน และไอออนที่เกิดจากกระบวนการรีโอดอไนเซชัน (Ionization) ซึ่งกระบวนการรีโอดอไนเซชันจะเกิดขึ้นได้เมื่อมีสนามไฟฟ้าทำให้ออนุภาคประจุเคลื่อนที่ระหว่างอิเล็กโทรด โดยที่สนามไฟฟ้าที่จะมากกระตุนให้ออนุภาคประจุมีพลังงานมากพอทำให้อิเล็กตรอนหลุดออกมามากเป็นประจุอิสระ และเมื่ออิเล็กตรอนมีพลังงานจำนวนมากพอที่จะชนกับโมเลกุลจนเกิดกระบวนการแตกตัวของอิเล็กตรอนออกจากโมเลกุลของก้าชรวมกับการปล่อยอิเล็กตรอนออกจากผิวอิเล็กโทรดเมื่อได้รับความเครียดสนามไฟฟ้าสูง จนกระทั่งอิเล็กตรอนอิสระมีจำนวนมากพอที่จะทำให้ก้าช มีสภาพนำไฟฟ้าและเกิดเบรกดาวน์ [7,10,15] การดีสชาร์จเบรกดาวน์ในแกปอาจแบ่งได้เป็น 2 แบบ คือ เบรกดาวน์แบบสมบูรณ์ และเบรกดาวน์เพียงบางส่วน

1) เบรกดาวน์แบบสมบูรณ์ (Complete Breakdown) หมายถึงการเกิดเบรกดาวน์ตลอดแกปเชื่อมโยงระหว่างอิเล็กโทรด ทำให้วัสดุฉนวนเสียสภาพการฉนวนโดยสิ้นเชิง แรงดันที่ตกร่วมอิเล็กโทรดจะมีค่าน้อยและมีกระแสสูงมากให้ตามแนวที่เกิดเบรกดาวน์ซึ่งค่ากระแสเบรกดาวน์นี้ขึ้นอยู่กับวงจรไฟฟ้า เรียกว่าแรงดันที่ทำให้เกิดเบรกดาวน์สมบูรณ์ว่าแรงดันเบรกดาวน์ U_b (Breakdown Voltage)

2) เบรกดาวน์เพียงบางส่วน (Partial Breakdown) หรือเบรกดาวน์ไม่สมบูรณ์จะเกิดขึ้นกับระบบฉนวนที่มีสนามไฟฟ้าแบบไม่สม่ำเสมอสูง เบรกดาวน์เพียงบางส่วนจะเกิดก่อนเบรกดาวน์สมบูรณ์ โดยเป็นการเกิดรีโอดอไนเซชันในแกปเพียงบางส่วน เช่น ดีสชาร์จแบบโคโรนา เรียกแรงดันที่ทำให้เกิดเบรกดาวน์บางส่วนว่า แรงดันเริ่มเกิด U_i (Inception Voltage)

2.2 กลไกการเกิดเบรกรดานน์

การเกิดเบรกรดานน์ หมายถึง การเปลี่ยนสภาพการอนวนไปสู่สภาพนำไฟฟ้าคือเป็นช่วงต่อช่วงของสถานภาพที่กระแสไฟหลบประทั้งตัวเองไม่ได้ (Nonself-sustained) ไปสู่สถานภาพที่กระแสไฟหลบประทั้งตัวเองได้ (Self-sustained) ช่วงต่อช่วงกัล่าวจะเกิดขึ้นได้เมื่อในอิเล็กโทรดมีจำนวนอิเล็กตรอนหรือไอออกอนมากพอจนทำให้อิเล็กโทรดมีสภาพนำไฟฟ้าสูงและโดยทฤษฎีแล้วกระแสไฟจะเป็นค่าอนันต์ คือกระแสจะถูกจำกัดด้วยค่าของวงจรภายในออกเท่านั้น

การเกิดเบรกรดานน์สามารถอธิบายได้ด้วย 2 ทฤษฎี คือ ทฤษฎีกลไกเบรกรดานน์ของทาวน์เซนด์ (Townsend Theory) และทฤษฎีกระแสแบบสตรีมเมอร์ (Streamer Theory) ซึ่งในขั้นแรกถูกสร้างขึ้นเพื่อใช้ อธิบายการเกิดเบรกรดานน์และหาแรงดันเบรกรดานน์ในสนามไฟฟ้า กระจายแบบสม่ำเสมอ และต่อมาก็ปรับปรุงเพื่อหาระดับแรงดันวิกฤตหรือแรงดันเบรกรดานน์ในสนามไฟฟ้ากระจายแบบไม่สม่ำเสมอ อีกด้วยทั้งสองทฤษฎีนี้ใช้พื้นฐานของการเกิดอะ瓦ลันซ์ วิกฤต (Critical Avalanche) เป็นจุดเปลี่ยนจากอะวาลันซ์ไปสู่การเกิดเบรกรดานน์ตามกลไกเบรกรดานน์ของทาวน์เซนด์และจากอะวาลันซ์ไปสู่สตรีมเมอร์ตามกลไกเบรกรดานน์สตรีมเมอร์

2.2.1 กลไกเบรกรดานน์ของทาวน์เซนด์

กลไกเบรกรดานน์ของทาวน์เซนด์สามารถอธิบายการเกิดเบรกรดานน์ได้ดังนี้ โดยเบรกรดานน์นี้เกิดขึ้นจากจำนวนอิเล็กตรอนที่เพิ่มขึ้นอย่างต่อเนื่องในอิเล็กโทรดและการเพิ่มขึ้นของอิเล็กตรอน ลีบเนื่องมาจากการไอออกอินไซน์ เป็นกระบวนการขั้นต้น (Primary or α -process) คืออิเล็กตรอนอิสระเริ่มต้นที่ได้รับพลังงานจากการเคลื่อนที่ในสนามไฟฟ้าวิ่งไปชนโมเลกุลทำให้อิเล็กตรอนหลุดออกจากโมเลกุลเป็นอิเล็กตรอนอิสระที่เพิ่มทวีคูณจนเกิดเป็นอะวาลันซ์ แต่สำพั่งกระบวนการขั้นต้นนี้ไม่สามารถทำให้เกิดเบรกรดานน์ได้จะต้องมีกระบวนการขั้นสองมาเสริม โดยไอออกอินไซน์กระบวนการขั้นสอง (Secondary process) นี้ประกอบด้วย การเกิดไอออกอินไซน์โดยไอออกบวกวิงชันโมเลกุลของก๊าซ (β -process) และกระบวนการเพิ่มทวีคูณของอิเล็กตรอนที่ปล่อยหลุดจากแอดโอล (γ -process) ซึ่งเกิดจากไอออกบวกที่มีพลังงานมากพอวิงชันแอดโอลทำให้อิเล็กตรอนหลุดจากแอดโอล

ระหว่างที่อนุภาคประจุเคลื่อนที่ประห่วงอิเล็กโทรดอาจชนกัน และเกิดไอออกอินไซน์ขึ้นได้หลายครั้งก่อนที่จะถึงอิเล็กโทรด ทฤษฎีทาวน์เซนด์นั้นได้ชี้ให้เห็นว่าจำนวนการเกิดไอออกอินไซน์ต่อหนึ่งหน่วยระยะเวลาที่อนุภาคประจุเคลื่อนที่ไป กำหนดได้ด้วย ค่าสัมประสิทธิ์การเกิดไอออกอินไซน์ของทาวน์เซนด์ (Townsend Ionization Coefficient) โดยอนุภาคประจุวิงชันโมเลกุลใน

อิเล็กตรอน แบ่งเป็นสัมประสิทธิ์ α และ β โดย α เป็นค่าเฉลี่ยจากการซ้นของกระบวนการร้าวออกในเชื้อนของอิเล็กตรอน 1 ตัวที่เคลื่อนที่ไปในแกประยะ 1 ชั่ว. ส่วน β เป็นจำนวนอิเล็กตรอนที่เกิดจากร้าวออกหนึ่งตัวบนอัตราต่อหน่วยระยะทางตามแนวสนามไฟฟ้า แต่เนื่องจากร้าวออกบวกมีมวลมากเคลื่อนที่ช้า จึงเป็นการยากที่จะเกิดกระบวนการ β ได้ดังนั้นกระบวนการขั้นที่สองที่สำคัญคือ กระบวนการ γ อิเล็กตรอนที่เกิดจากการ γ ซึ่งเป็นกระบวนการขั้นที่สองนี้มีที่มาจากการ γ

1. ร้าวออกบวกชันแคโทด (γ_i) อิเล็กตรอนจะหลุดจากแคโทดได้ต้องได้รับพลังงานจากร้าวออกอย่างน้อยเท่ากับเวอร์คฟังก์ชันของโลหะที่ใช้ทำแคโทดนั้น

2. ไฟต่อนชันแคโทด (γ_e) ระหว่างที่เกิดอะวานซ์ อิเล็กตรอนที่เกิดขึ้นไม่เพียงแต่ทำให้มีเลกุลก๊าซเกิดร้าวออกในเชื้อนเท่านั้นแต่ยังทำให้เกิดไฟต่อนอีกด้วยไฟต่อนที่เกิดขึ้นบางส่วนนี้จะวิงเข้าหาแคโทดและทำให้อิเล็กตรอนหลุดออกจากม้าได้ เรียกว่าอิเล็กตรอนที่หลุดจากการนี้ว่า ไฟโตอิเล็กตรอน (Photo Electron)

3. ไฟต่อนร้าวออกในเชื้อน (γ_p) ไฟต่อนที่เกิดขึ้นทำให้เกิดไฟโตร้าวออกในโมเลกุลก๊าซดังนี้ $\gamma = \gamma_i + \gamma_e + \gamma_p + \dots$ กระบวนการขั้นที่สองเหล่านี้อาจเกิดขึ้นในเวลาเดียวกันก็ได้ และมักเรียก γ นี้ว่าสัมประสิทธิ์ร้าวออกในเชื้อนที่สองของทาวน์เซนด์ (Townsend Ionization Coefficient) อิเล็กตรอนที่เกิดจากการขั้นที่สองนี้จะทำให้เกิดอะวานซ์เพิ่มขึ้น กระบวนการเหล่านี้จะเกิดขึ้นช้าๆ จนกระทั่งเกิดเบรกดาวน์ขึ้นทั้งหมดนี้เรียกว่ากลไกเบรกดาวน์ของทาวน์เซนด์

สามารถเขียนเงื่อนไขการเกิดเบรกดาวน์ได้ดังสมการ (2.1) โดย d คือระยะแกป และ Γ มีค่าเป็น $\beta/\alpha + \gamma$

$$\Gamma(e^{\alpha d} - 1) \geq 1 \quad (2.1)$$

2.2.2 กลไกเบรกดาวน์แบบสตีริเมอร์

เนื่องจากกลไกเบรกดาวน์ตามทฤษฎีของทาวน์เซนด์ไม่สามารถอธิบายปรากฏการณ์การเกิดเบรกดาวน์ได้ทุกกรณี เช่น

1) เวลาที่ใช้ในการก่อตัวอะวานซ์ เมื่อกำนัณเวลาตามกระบวนการของทาวน์เซนด์ที่ใช้สร้างอะวานซ์ของอิเล็กตรอนโดยการชนแตกตัวและปล่อยอิเล็กตรอนออกจากแคโทดจะพบว่ามากกว่าเวลาที่คาดได้จากการทดลองหรือแม้แต่คิดเวลาที่อิเล็กตรอนเคลื่อนที่โดยตรงจากแคโทดผ่านแกปไปยังอาโนดโดยไม่ชนกับโมเลกุลเลย์ก์ใช้เวลามากกว่าที่ทดลองได้

2) กลไกเบรกดาวน์ของทาร์มีเซนต์ไม่คำนึงถึง ผลของประจุค้างที่ทำให้สนามไฟฟ้าในอิเล็กโทรดบิดเบือน

3) ล้ำอาร์คที่เกิดขึ้นมีทั้งลักษณะที่เป็นกิงก้านและแบบซิกแซก

4) แรงดันเบรกดาวน์ไม่ขึ้นกับชนิดของโลหะที่ใช้ทำแคโทด

จึงมีผู้นำเสนอกลไกเบรกดาวน์แบบสตรีมเมอร์ขึ้น กลไกเบรกดาวน์แบบสตรีมเมอร์อธิบายถึงการเกิดเบรกดาวน์โดยใช้ผลของประจุค้างเป็นหลัก และใช้อธิบายการเกิดเบรกดาวน์ในสนามไฟฟ้า ที่กระจายแบบไม่สม่ำเสมอสูงและกรณีของอิเล็กโทรดห่างกันมากๆ อันเป็นปรากฏการณ์ที่สลับซับซ้อนเนื่องจากผลของประจุค้าง ผลของประจุค้างทำให้ชนิดขั้วแรงดันที่ป้อนให้อิเล็กโทรดมีผลอย่างมากต่อระดับแรงดันเบรกดาวน์ โดยเฉพาะกับอิเล็กโทรดที่มีสนามไฟฟ้าแบบไม่สมมาตร

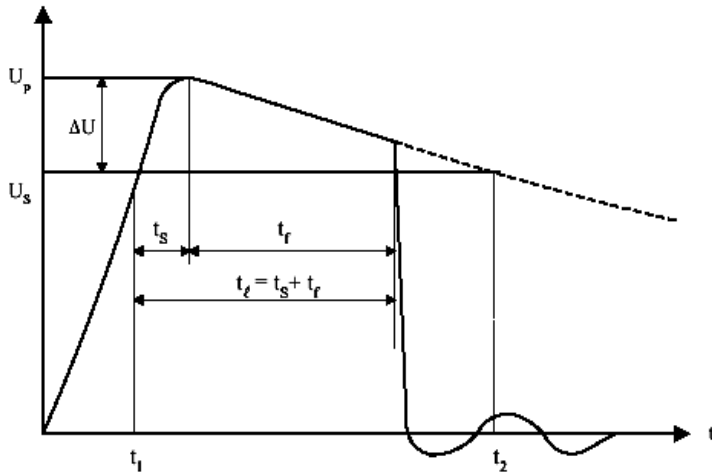
กลไกเบรกดาวน์แบบสตรีมเมอร์อธิบายการเกิดสปาร์คดีสชาร์จจากอวลาณฑ์เดียว ซึ่งมีประจุค้างเกิดขึ้นจากอวลาณฑ์และจะเปลี่ยนจากอวลาณฑ์ไปเป็นพลาสม่าสตรีมเมอร์ทำให้สภาพนำไฟฟ้าสูงขึ้นอย่างรวดเร็วและเกิดเบรกดาวน์ขึ้น หลักการของการเกิดเบรกดาวน์ตามทฤษฎีกลไกสตรีมเมอร์เป็นผลลัพธ์เนื่องมาจากการวิ่งชนไอโอดีนเชิง (กระบวนการ a) ของทาร์มีเซนต์ เมื่อความหนาแน่นของประจุค้างซึ่งเกิดจากไอโอดีนเชิงมีค่าเกินกว่าค่าวิกฤตค่าหนึ่งประจุค้างที่เกิดจากอวลาณฑ์ จะเปลี่ยนอวลาณฑ์ไปเป็นลำไอโอดีนซึ่งมีความเข้มสูง (Channels of Intense Ionization) และจะเกิดโพโตไอโอดีนเชิงที่บริเวณปลายหัวสตรีมเมอร์ทำให้ความเครียดสนามไฟฟ้าเพิ่มขึ้น เกิดสภาพนำไฟฟ้าสูงขึ้นอย่างรวดเร็วเรียกว่าสตรีมเมอร์เบรกดาวน์ โดยเราเรียกสตรีมเมอร์ที่เกิดจากลำไอโอดีนซึ่งมีความเข้มสูงนี้ว่า ลีดเดอร์ (Leader) หรือ สตรีมเมอร์ลำดับที่สอง (Secondary Streamer) การที่เวลาที่ใช้ในการเบรกดาวน์ในกรณีสนามไฟฟ้ากระจายแบบไม่สม่ำเสมอ มีค่า'n'อยกว่าที่คำนวณได้จากกลไกเบรกดาวน์ของทาร์มีเซนต์ ก็เนื่องมาจากการเกิดโพโตไอโอดีนเชิงที่บริเวณปลายลีดเดอร์นั้นเอง

เงื่อนไขการเกิดสตรีมเมอร์เบรกดาวน์ กำหนดด้วยสนามไฟฟ้าจากประจุค้าง โดยสตรีมเมอร์จะเกิดขึ้นเมื่ออวลาณฑ์มีประจุเท่ากับอวลาณฑ์วิกฤตประมาณ 10° ตัว โดยไม่ขึ้นกับชนิดและความดันก๊าซ

2.3 การเบรกดาวน์ของแรงดันอิมพัลส์

แรงดันกระแสสลับ หรือ แรงดันกระแสตรง เป็นกรณีของแรงดันอยู่ตัว (steady state voltage) และดันที่ป้อนมีค่าคงตัว P_0 แต่แรงดันอิมพัลส์ แรงดันจะคงอยู่ในช่วงระยะเวลาอันสั้นนั่นคือ สนามไฟฟ้าจะคงอยู่ในเวลาอันสั้นด้วย เมื่อขนาดของ แรงดันอิมพัลส์เท่ากับขนาดของ

แรงดันอยู่ตัวที่ควรจะเกิดเบรกดาวน์ได้ แต่ปรากฏว่ายังไม่เกิดเบรกดาวน์ จะต้องรอเวลาอีกซึ่งระยะเวลาที่นี้จะเกิดขึ้นได้ ช่วงเวลาบังตั้งแต่ขนาดของแรงดันอิมพัลส์เท่ากับแรงดันสถานะอยู่ตัวไปจนถึงเวลาเบรกดาวน์เกิดขึ้นจริงของแรงดันอิมพัลส์ เรียกว่า เวลาล่าช้าของการเกิดเบรกดาวน์ t_l [14].



รูปที่ 2.1 เวลาล่าช้าของการเกิดเบรกดาวน์ t_l

2.3.1 เวลาล่าช้าของการเกิดเบรกดาวน์

เวลาล่าช้าของการเกิดเบรกดาวน์ t_l (Time lag of Breakdown) ในแรงดันอิมพัลสนั่น สนามไฟฟ้าคงอยู่ในช่วงเวลาเพียงไม่คราวนาที อิเล็กตรอนที่พอกหมายจากธรรมชาติ อาจจะไม่เพียงพอที่จะเริ่มต้นทำให้เกิดอะวานซ์ไปสู่การเกิดเบรกดาวน์ได้ ขึ้นอยู่กับปริมาณของช่องว่าง อากาศที่มีความเครียดสนามไฟฟ้าสูงพอก อิเล็กตรอน ที่อยู่ในปริมาณของช่องว่างอากาศกระจายเป็นสถิติ ฉะนั้น ตั้งแต่แรงดันอิมพัลส์เพิ่มสูงเท่ากับแรงดันสถานะคงตัว U_s จนกระทั่งพบอิเล็กตรอนเริ่มต้น จึงเป็นสถิติตัวอย่าง เรียกว่า เวลาล่าช้าสถิติ t_s (Statistic time lag) เมื่อพบรอตัวอิเล็กตรอนเริ่มต้นแล้วจะต้องใช้เวลาในการไอออกไนเซชัน สร้างอะวานซ์ตามกระบวนการกระแสไฟเบรกดาวน์เพื่อให้ได้อิเล็กตรอนตามเงื่อนไข ช่วงเวลานี้เรียกว่า เวลาล่าช้าก่อตัว t_f (formative time lag) จะเห็นว่าเวลาล่าช้าของการเกิดเบรกดาวน์ประกอบด้วย

$$\text{เวลาล่าช้ารวม} \quad t_l = t_s + t_f \quad (2.2)$$

แรงดันเบรกดาวน์อิมพัลส์ U_p จะต้องมีค่าสูงกว่าแรงดันเบรกดาวน์สถานะอยู่ตัว U_s โดยอัตราส่วนแรงดัน U_p ต่อแรงดัน U_s คือ U_p/U_s เรียกว่าอัตราส่วนอิมพัลส์ (Impulse Ratio)

U_s = Static Breakdown Voltage (กระแสสับ หรือ กระแสตรง)

U_p = ค่ายอดแรงดันอิมพัลส์

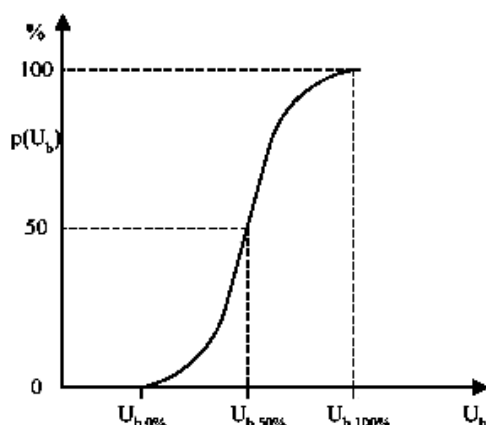
$U_p - U_s$ เรียกว่า แรงดันเกิน

อัตราส่วน U_p / U_s และ $U_p - U_s$ มีประโยชน์ในการออกแบบอุปกรณ์ป้องกัน

แรงดันอิมพัลสมีความชันสูง (dU/dt) ช่วงเวลาหน้าคลื่นสั้นหรือเวลาที่แรงดันเพิ่มขึ้นถึงค่า ยอดแล้วลดลงก็ยังสั้น แสดงว่าสนามไฟฟ้าคงอยู่สั้นมาก โอกาสเกิดเบรกดาวน์ก็น้อยลง จะให้เกิดเบรกดาวน์ต้องเพิ่มความเครียดสนามไฟฟ้าซึ่งก็คือเพิ่มแรงดันให้สูงขึ้นนั่นเอง

2.3.2 ความน่าจะเป็นในการเกิดเบรกดาวน์

การป้อนแรงดันให้กับอุปกรณ์ทดสอบที่ระดับแรงดันหนึ่งมีโอกาสที่จะเกิดเบรกดาวน์หรือไม่เกิดก็ได้ทั้งนี้ขึ้นอยู่กับระดับแรงดันป้อน โดยค่ายอดแรงดันอิมพัลส์สูงสุดที่ไม่ว่าจะป้อนแรงดันอิมพัลส์ที่ระดับแรงดันนี้ก็ครั้งก็ไม่ทำให้เกิดการเบรกดาวน์ได้เลย เราเรียกระดับค่ายอดแรงดันนี้ว่า $U_{0\%}$ หรือค่าคงทนอยู่ได้ต่อแรงดันอิมพัลส์ (Impulse Withstand Voltage) นั้นคือค่ายอดแรงดันอิมพัลส์ที่มีโอกาสเบรกดาวน์เป็น 0% ซึ่งเป็นค่าที่กำหนดการทดสอบการฉนวนที่ต้องทนต่อแรงดันอิมพัลส์ได้ (Basic Impulse Insulation Level,BIL) แต่เมื่อเพิ่มค่ายอดแรงดันขึ้นเรื่อยๆจนค่ายอดแรงดันอิมพัลส์ต่ำสุดค่าหนึ่งที่ไม่ว่าจะป้อนแรงดันกี่ครั้งก็จะเกิดเบรกดาวน์ขึ้นทุกครั้ง เราเรียกระดับแรงดันนี้ว่า $U_{100\%}$ หรือเรียกว่าระดับแรงดันป้องกัน (Protective Level) ซึ่งก็คือค่ายอดแรงดันอิมพัลส์ที่มีโอกาสเบรกดาวน์เป็น 100% ถ้าเพิ่มแรงดันสูงกว่าแรงดัน $U_{100\%}$ ก็จะเกิดเบรกดาวน์ทุกครั้งและ $U_{50\%}$ คือ ค่ายอดแรงดันที่ทำให้เกิดเบรกดาวน์เป็นจำนวนครึ่งหนึ่งของจำนวนครั้งที่ป้อนทั้งหมด แสดงความสัมพันธ์ได้ดังรูปที่ 2.2 [7].



รูปที่ 2.2 ความน่าจะเป็นในการเกิดแรงดันเบรกดาวน์ $U_{50\%}$

ถ้าข้อมูลแรงดันเบรกดาวน์มีจำนวนน้อยฟังก์ชันการกระจายของแรงดันอิมพัลส์เบรกดาวน์ อาจจะไม่เป็น ฟังก์ชันการกระจายแบบปกติ เช่น เป็นแบบล็อกปักติ แบบเอกซ์โปเน็นเชียล หรือแบบอื่นๆแต่อาจแทนการกระจายของข้อมูลนี้ด้วยฟังก์ชันการกระจายแบบปกติได้ เพราะให้ผลการคำนวณค่า $U_{50\%}$ และ σ ไม่ผิดพลาดมากนักเมื่อเทียบกับค่าที่ได้จากการคำนวณจากฟังก์ชันที่ถูกต้อง [16]. จึงถือได้ว่าฟังก์ชันการกระจายของแรงดันอิมพัลส์เบรกดาวน์มีลักษณะเป็นฟังก์ชันการกระจายแบบปกติ (Normal Distribution) ซึ่งสามารถหาค่า $U_{0\%}$ และ $U_{100\%}$ ได้โดย [16]

$$U_{0\%} = U_{50\%} - 3\sigma \quad (2.3)$$

$$U_{100\%} = U_{50\%} + 3\sigma \quad (2.4)$$

σ คือ ส่วนเบี่ยงเบนมาตรฐาน ซึ่งสามารถหาค่า $U_{50\%}$ และ σ จากการทดลองได้หลายวิธี ด้วยกัน วิธีการทดลองที่นิยมใช้หาคือ วิธีเส้นกราฟแรงดัน helyrage วิธีปรับขึ้นลง ซึ่งจะกล่าวถึงในบทต่อไป

นอกจากนี้ข้อมูลที่ได้จากการทั้ง 2 วิธีข้างต้นสามารถใช้วิธี Maximum Likelihood Method ซึ่งเป็นวิธีทางคณิตศาสตร์ คำนวณหาค่า $U_{50\%}$ และ σ ได้โดยตรงโดยไม่ต้องใช้กราฟทางสถิติ (วิธีคำนวณแสดงในภาคผนวก X.)

บทที่ 3

การวัดแรงดันสูงด้วยแกปทรงกลม

3.1 แกปทรงกลม

การวัดแรงดันสูงด้วยแกปทรงกลม เป็นวิธีที่ง่าย และมีความแน่นอนเชื่อถือได้ โดยอาศัยการเกิดspark หรือเบรกดาวน์ระหว่างทรงกลมโลหะ ที่วางอยู่ในอากาศ หรือ ก้าช ซึ่งเป็นไปตามกฎการเกิดดีสชาาร์จของก้าช คือspark หรือเบรกดาวน์จะเกิดขึ้น เมื่อความเครียดสนามไฟฟ้าถึงค่าหนึ่ง นั่นก็คือจะเกิดเบรกดาวน์ขึ้นเมื่อแรงดันสูงถึงค่า ๆ หนึ่ง ซึ่งเป็นค่าแรงดันเบรกดาวน์สถิติ (Statistic Breakdown Voltage) ที่ทราบค่าความคลาดเคลื่อนแน่นอน ทำซ้ำเดิมได้

3.1.1 ลักษณะสมบติของแกปอากาศทรงกลม

- สนามไฟฟ้าระหว่างทรงกลมที่เท่ากันจะมีลักษณะเกือบสมมาตร ถ้าระยะซ่องแกป S น้อยกว่าครึ่งหนึ่งของเส้นผ่านศูนย์กลาง D ($S < D/2$)
- ขนาดเส้นผ่านศูนย์กลางมาตรฐานตั้งแต่ 2 ซม. ถึง 200 ซม. ดังแสดงในตาราง 3.1 [7]

ตารางที่ 3.1 ขนาดทรงกลมมาตรฐานและระยะแกปวัดแรงดัน

ที่	ขนาดเส้นผ่านศูนย์กลาง D ตามมาตรฐาน (cm)	ระยะแกป S ห่างไม่เกิน (cm)	วัดแรงดันได้ สูงสุด (KV)
1	2	1	30.7
2	5	2.5	65.5
3	6.25	3	79.5
4	10	5	123
5	12.5	6	146
6	15	7.5	177
7	25	12	275
8	50	25	515
9	75	36	750
10	100	50	1010
11	150	75	1440
12	200	100	1840

- เป็นอุปกรณ์วัดที่ไม่มีตัวชี้จะสังเกตได้จากการเกิดsparkหรือเบรกดาวน์
- วัดได้ทั้ง กระแสตรง, กระแสสลับ และ แรงดันอิมพัลส์
- มีความถูกต้องเที่ยงตรง $\pm 3\%$

ค่าแรงดันเบรกดาวน์ของแกปทรงกลม จะมีความถูกต้องตามเกณฑ์ดังกล่าวเมื่อ $S \leq D/2$
จะนั้นการเลือกขนาดทรงกลมจึงขึ้นอยู่กับขนาดแรงดันที่ต้องการวัด ทรงกลมแต่ละขนาดวัด
แรงดันได้สูงสุด ดังแสดงในตารางที่ 3.1

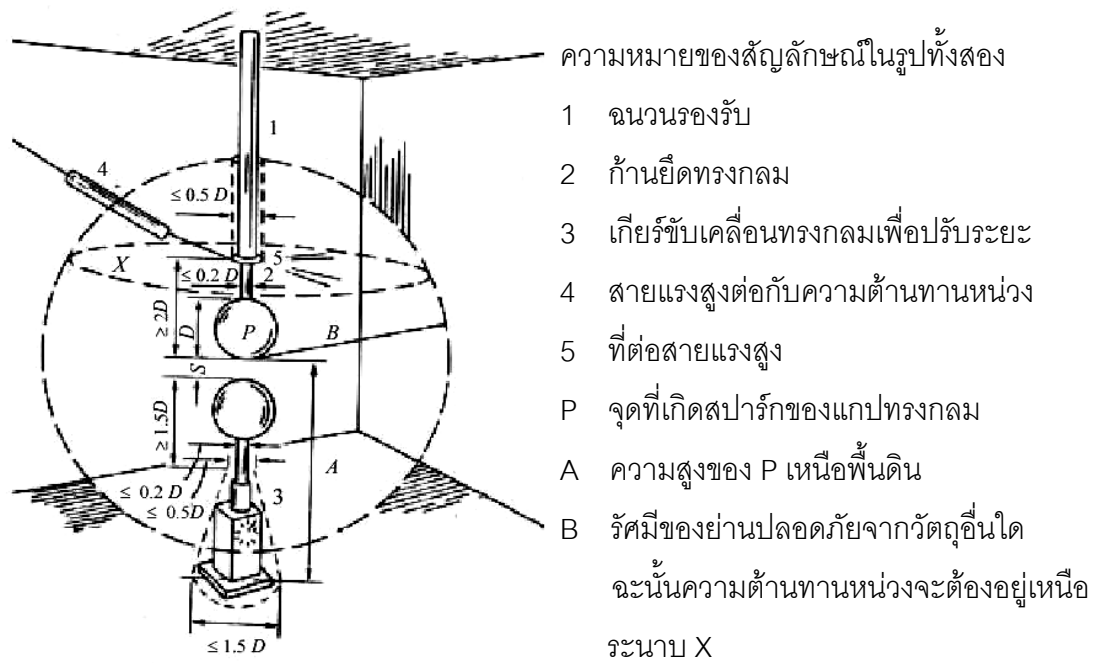
3.1.2 มาตรฐาน IEC 60052

ในการวิจัยนี้ได้ใช้มาตรฐาน IEC 60052 อันเป็นมาตรฐานสากล ในการทดลองและ
ข้างอิงศึกษาวิจัย

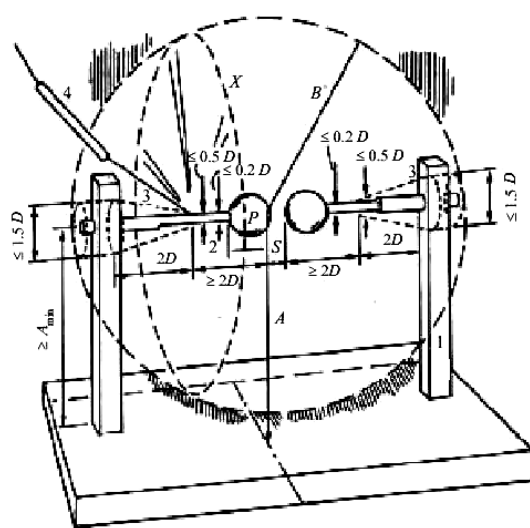
3.1.2.1 ข้อกำหนดเกี่ยวกับทรงกลม

มาตรฐานได้กำหนดไว้ว่าทรงกลมที่จะใช้ทำแกปทรงกลมนั้นจะต้องมีความ
คลาดเคลื่อนของเส้นผ่านศูนย์กลางไม่เกิน 2 % และควรจะเรียบมาก โดยเฉพาะในพื้นที่ $0.3D$ ซึ่ง
วัดโดยใช้จุด สปาร์ก P เป็นจุดศูนย์กลาง ผิวทรงกลมจะต้องสะอาดปราศจากฝุ่นละออง คราบมัน
หรือสารที่ใช้เคลือบ นอกจากนั้นยังต้องแห้งสนิทและจะไม่ใช้แกปทรงกลมมาตรฐานวัดแรงดันเมื่อ
ความชื้นสัมพath ในอากาศเกิน 90% เนื่องจากไอน้ำในอากาศอาจกลั้นตัวมาเกาะที่ผิวทรงกลม ทำ
ให้สามารถไฟฟ้าระหว่างแกปทรงกลมมีการเปลี่ยนแปลง

ระยะ A และ B (ดูรูปที่ 3.1 และรูปที่ 3.2 ประกอบ) เป็นค่าที่มีความสำคัญมาก เนื่องจาก
ระยะดังกล่าวเป็นตัวกำหนดพื้นที่ว่างที่ต้องการในการทดสอบ หรือกล่าวอีกนัยหนึ่ง คือระยะที่
จะต้องไม่มีวัตถุใดซึ่งสามารถจะทำให้สามารถไฟฟ้าระหว่างแกปทรงกลมมีการเปลี่ยนแปลง ระยะ A
และ B ได้กำหนดตามมาตรฐาน IEC แสดงดังตารางที่ 3.2 (เมื่อ S คือ ระยะห่างของแกปทรง
กลม)



รูปที่ 3.1 การติดตั้งแกปทรงกลม $> 25 \text{ cm} \Phi$ แนวตั้ง



ตารางที่ 3.2 ระยะ A และ B ตามมาตรฐาน IEC 60052

เส้นผ่านศูนย์กลาง D (cm)	ค่าที่น้อยที่สุดของ		ค่าที่มากที่สุดของ ระยะ B
	ความสูง A ความสูง A	ความสูง A	
≤ 6.25	7D	9D	14 S
10-15	6D	8D	12 S
25	5D	7D	10 S
50	4D	6D	8 S
75	4D	6D	8 S
100	3.5D	5D	7 S
150	3D	4D	6 S
200	3D	4D	6 S

3.1.2.2 ข้อพึงปฏิบัติในการใช้แกปทรงกลม

- ต้องติดตั้งและยึดตามมาตรฐาน IEC 60052 แนะนำไว้ ถ้าทรงกลมมีเส้นผ่านศูนย์กลางไม่เกิน 25 เซนติเมตร มักจะติดตั้งในแนวอน ถ้าใหญ่กว่า 25 เซนติเมตร มักจะติดตั้งในแนวตั้ง ดังรูป 3.1 และรูปที่ 3.2

- ระยะห่างระหว่างทรงกลมจะต้องไม่เกินครึ่งหนึ่งของ ขนาดของเส้นผ่านศูนย์กลางของทรงกลม

- กระแสที่เกิดจากการสปาร์กไม่ควรเกิน 1 แอมเปอร์ โดยต่อความต้านทานอันดับที่สองกับทรงกลมเพื่อจำกัดกระแส และความต้านทานตัวนี้จะทำหน้าที่หน่วง (damp) ความถี่สูง อันเกิดจากมี L และ C

- ควรจะตัดวงจรที่ป้อนแรงดันให้กับวงจรทันทีหลังจากเกิดสปาร์กแล้ว เพื่อป้องกันผิวทรงกลมเสีย

- ค่าที่ถือว่าถูกต้องนั้นได้จากการหาค่าเฉลี่ยจากการวัดหลายๆ ครั้ง (ประมาณ 5 ครั้ง) ค่าที่วัดได้ครั้งแรกมักจะมีค่าต่ำ อันเนื่องมาจากมีผุนละอองที่ผิวของทรงกลม ดังนั้นก่อนใช้ควรขัดมันและทำความสะอาดพื้นผิว ทรงกลมก่อนเสมอ

3.1.2.3 การวัดแรงดันเบรกดาวน์ของแกปอากาศทรงกลม

การวัดแรงดันสูงด้วยแกปทรงกลมมาตรฐาน เป็นการเปรียบเทียบค่าแรงดันสูงโดยอาศัยค่าแรงดันที่ทำให้เกิดเบรกดาวน์ (เกิดสถาปาร์ก) ในอากาศระหว่างทรงกลม 2 ลูก ที่ระยะต่างๆกัน ขึ้นอยู่กับความคงทนต่อแรงดันไฟฟ้าของอากาศ ระยะซึ่งว่างอากาศทรงกลม ขนาดเส้นผ่านศูนย์กลางของทรงกลม , ความหนาแน่นสัมพัทธ์ของอากาศ และตัวประจุบแก๊สไขความชื้น คือ

$$U_b = f(S, D, \delta, k) \quad (3.1)$$

เมื่อ U_b เป็นค่าแรงดันเบรกดาวน์ที่ความหนาแน่นอากาศสัมพัทธ์ (δ)

ตามมาตรฐาน IEC 60052 ได้กำหนดค่าแรงดันเบรกดาวน์ของแกปอากาศ ระหว่างทรงกลมไว้ที่สภาวะมาตรฐาน คือ

- อุณหภูมิ $t_0 = 20$ องศาเซลเซียส
- ความดันอากาศ $P_0 = 760$ มม.ปรอท (101.3 kPa)
- ความชื้นสัมบูรณ์ $h = 8.5 \text{ g/m}^3$

ค่าแรงดันเบรกดาวน์ที่ภาวะอากาศของห้องทดลอง สามารถหาได้จากการแปลงค่าแรงดันเบรกดาวน์ที่กำหนดไว้ในมาตรฐาน (ภาคผนวก ค.) คือ

$$U_b = \delta \cdot k \cdot U_0 \quad (3.2)$$

เมื่อ U_0 = แรงดันที่ทำให้เกิดเบรกดาวน์ที่สภาวะมาตรฐาน
 U_b = แรงดันที่ทำให้เกิดเบรกดาวน์ที่สภาวะอากาศของห้องทดลอง

δ คำนวนได้จากสมการ

$$\delta = \left(\frac{p}{P_0} \right) \cdot \left(\frac{273 + t_0}{273 + t} \right) \quad (3.3)$$

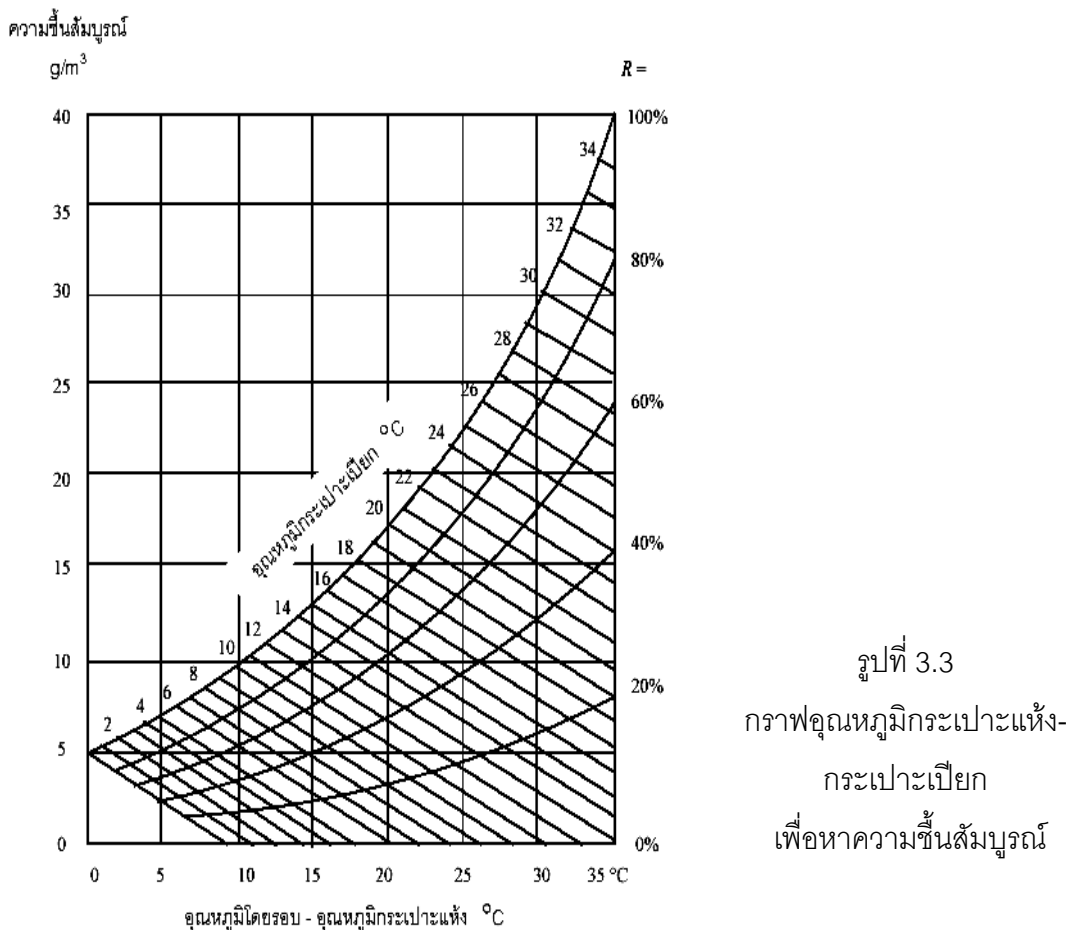
โดยที่ p = ความดันของอากาศที่สภาวะทดสอบ, มีหน่วยเดียวกับ P_0
 t = อุณหภูมิของห้องในขณะที่ทดสอบ เป็นองศาเซลเซียส

ที่ส่วนรวมมาตรฐาน ความหนาแน่นอากาศสัมพัทธิ์ (δ) = 1 โดยที่ δ แปลงตามความดันของอากาศที่ส่วนรวมทดสอบและผกผันกับอุณหภูมิของห้องในขณะที่ทดสอบ

การวัดแรงดันด้วยแกปทรงกลมตามมาตรฐาน IEC 60052 นั้นได้มีการคำนึงถึงผลของความชื้นในบรรยากาศด้วย กล่าวคือ ค่าแรงดันเบรกดาน์ของแกปทรงกลมจะมีค่าเพิ่มขึ้นตามความชื้นสัมบูรณ์ด้วยอัตรา $0.2\% \text{ ต่อ } g/m^3$ ดังนั้นค่าตัวประกอบแก้ไขความชื้น สามารถคำนวณได้จากสมการ (3.4)

$$k = 1 + \left(0.002 \times \left(\frac{h}{\delta} - 8.5 \right) \right) \quad (3.4)$$

โดยที่ความชื้นสัมบูรณ์ สามารถหาได้จากการคำนวณของอากาศในเทอมอุณหภูมิเทอร์โมมิเตอร์และเปลี่ยนแปลงของ Psychrometer แสดงดังรูป ที่ 3.3



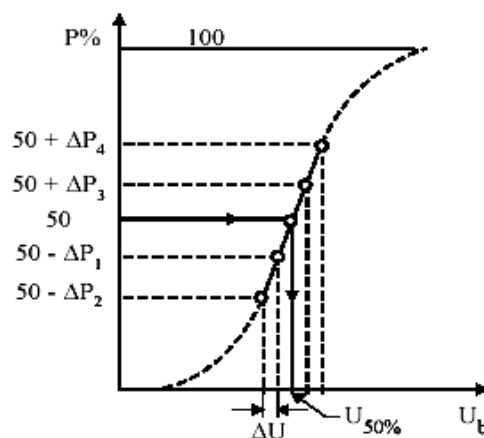
3.2 การวัดแรงดันอิมพัลส์

หลักการวัดแรงดันอิมพัลส์ด้วยแกปทรงกลมก็มีหลักปฏิบัติเช่นเดียวกับการวัดแรงดันกระแสงสลับ และแรงดันกระแสงตรง กล่าวคือ ค่าแรงดันเบรกรดาน์ของแกปทรงกลมนั้นขึ้นอยู่กับระยะห่างระหว่างทรงกลม เส้นผ่านศูนย์กลางทรงกลม และสภาวะอากาศรอบๆ ทรงกลม การเกิดเบรกรดาน์อย่างสมบูรณ์ในช่องว่างที่เป็นอากาศให้เวลาเพียงไม่กี่ไมโครวินาที เมื่อค่ายอดแรงดันกระแสงสลับถึงค่าแรงดันเบรกรดาน์ U_0 เบรกรดาน์จะเกิดเมื่อความเครียดสนามไฟฟ้าถึงค่าหนึ่ง และเมื่อเวลาเพียงพอในการหาอิเล็กตรอนตัวเริ่มต้นการเกิดไอออกไนซ์ และเวลาในการสร้างอะวลาดานซ์ ดังที่ได้กล่าวถึงในบทที่แล้ว ซึ่งเวลาดังกล่าวเป็นเชิงสถิติ คือ ใช้เวลาในการสร้างอะวลาดานซ์จนเกิดเบรกรดาน์นี้ขึ้นเร็วต่างกัน เวลาที่ใช้เพื่อหาตัวอิเล็กตรอนที่เหมาะสม ทำให้เกิดการแตกตัวอาจลดลงได้โดยการ ขยายรังสีอุลดาราไวโอล็อกเข้าไปในแกปทรงกลม หรือใช้สารกัมมันตรังสีช่วยให้เกิดอิเล็กตรอนอิสระเริ่มต้นมีมากพอก ซึ่งจะเป็นการช่วยให้การกระจาย (dispersion) ของเวลาที่ทำให้เกิดเบรกรดาน์ลดลง

วิธีการวัดแรงดันอิมพัลส์ด้วยแกปทรงกลม มีความแตกต่างที่สำคัญจากการวัดแรงดันกระแสงและแรงดันกระแสงสลับ คือ การวัดแรงดันอิมพัลสนั้นไม่สามารถใช้วิธีค่าอย่างเดียวเพิ่มแรงดันสูงจนกระทั่งเกิดเบรกรดาน์ หากแต่ต้องใช้การอัดประจุให้กับตัวเก็บประจุแรงสูงของเครื่องกำเนิดแรงดันอิมพัลส์ให้ได้ แรงดันอัดประจุตามที่ต้องการก่อน แล้วจึงปล่อยดีสചาร์จออกไปที่แกปทรงกลม ซึ่งอาจจะเกิดเบรกรดาน์หรือไม่เกิดก็ได้ทั้งๆ ที่แรงดันสูงมากพอก ทั้งนี้ขึ้นกับความนำจะเป็นและขนาดแรงดัน ถ้าแรงดันอัดประจุต่ำเกินไปก็จะไม่เกิดเบรกรดาน์ในแกปทรงกลมวัดแรงดัน แต่ถ้าแรงดันอัดประจุเพิ่มสูงขึ้นมากพอก็จะทำให้มีโอกาสเกิดเบรกรดาน์มากขึ้น และถ้าแรงดันอัดประจุสูงมากเกินไปก็จะเกิดเบรกรดาน์ทุกครั้งที่ดีสചาร์จออกไป ด้วยเหตุนี้เองการวัดแรงดันอิมพัลส์จึงกำหนดเป็นค่าแรงดันเบรกรดาน์ห้าสิบเปอร์เซนต์ คือ $U_{50\%}$ อันหมายถึงค่าอยอดแรงดันอิมพัลส์เกณฑ์กลาง ซึ่งเป็นค่าที่ทำให้จำนวนครั้งที่เกิดเบรกรดาน์ที่แกปทรงกลม เป็นครึ่งหนึ่งของจำนวนครั้งที่ดีสചาร์จออกไป ขณะนี้การหาค่า $U_{50\%}$ จึงหาได้โดยการดีสചาร์จออกไปเป็นจำนวนหลายครั้ง จนกระทั่งจำนวนครั้งที่เกิดเบรกรดาน์เป็นจำนวนครึ่งหนึ่งของจำนวนครั้งที่ดีสചาร์จออกไป เช่น ดีสചาร์จ 10 ครั้ง และเกิดเบรกรดาน์ที่แกปทรงกลม 5 ครั้ง ค่าแรงดันนั้นก็คือ $U_{50\%}$ แต่การที่จะอัดประจุให้ได้แรงดันอัดประจุพอดีที่จะทำให้ได้ค่าแรงดันเบรกรดาน์ห้าสิบเปอร์เซนต์พอดีนั้นทำได้ยากและเสียเวลา โดยทั่วไปจึงวัดค่าแรงดัน $U_{50\%}$ ด้วยวิธีที่นิยม มีด้วยกัน 2 วิธี คือ วิธีเส้นกราฟแรงดันหลายระดับ และวิธีปรับขึ้นลง

1. วิธีเส้นกราฟแรงดันหลายระดับ (Multiple Level Voltage Method)

เป็นวิธีการหาค่า $U_{50\%}$ ด้วยเส้นกราฟความสัมพันธ์ของความนำจะเป็นที่จะเกิดเบรกดาวน์ กับค่ายอดแรงดันอิมพล็อกที่ป้อน เริ่มโดยป้อนแรงดันอย่างน้อย 6 ครั้งที่ระดับแรงดันแต่ละค่าหรือ แต่ละระดับ ΔU ประมาณ 3% โดยเลือกระดับแรงดันที่มีโอกาสเกิดเบรกดาวน์อยู่ในช่วงใกล้ๆ ค่า 50% ทั้งค่าที่สูงกว่าและค่าที่ต่ำกว่า 50% ที่คาดหมายไว้ ความนำจะเป็นของการเบรกดาวน์ในแต่ละระดับแรงดันหาได้จากจำนวนครั้งที่เกิดเบรกดาวน์ต่อจำนวนครั้งที่ป้อนในแต่ละระดับแรงดัน จากนั้นพล็อกลงกราฟโดยให้แกนตั้งเป็นค่าความนำจะเป็น และแกนนอนเป็นค่ายอดแรงดันเบรกดาวน์และลากเส้นเชื่อมต่อจุดต่างๆ ดังรูปที่ 3.4



รูปที่ 3.4 เส้นกราฟใช้หาแรงดันเบรกดาวน์ 50%

2. วิธีปรับขึ้นลง (Up and Down Method)

เป็นวิธีหาค่าแรงดันเบรกดาวน์ $U_{50\%}$ โดยเลือกระดับแรงดันค่าหนึ่งที่คาดว่าจะเป็น $U_{50\%}$ ป้อนเข้าไปในแกปทรงกลม ทุกครั้งที่ป้อนแรงดัน ถ้าหากไม่เกิดเบรกดาวน์ให้เพิ่มแรงดันขึ้น ΔU ถ้าหากเกิดเบรกดาวน์ให้ลดแรงดันลง ΔU โดย ΔU มีค่าประมาณ 3% ของค่าประมาณ $U_{50\%}$ เริ่มต้น ฉะนั้นค่าแรงดันที่ป้อนต่อไปจะขึ้นอยู่กับผลที่เกิดขึ้นจากการป้อนครั้งที่ผ่านมา จำนวนครั้งที่ป้อนแรงดันทั้งหมดควรมีค่า 20 ครั้งเป็นอย่างน้อย หากค่า $U_{50\%}$ ได้จากสมการ k_i คือจำนวนครั้งที่ป้อนแรงดันค่ายอด V_i

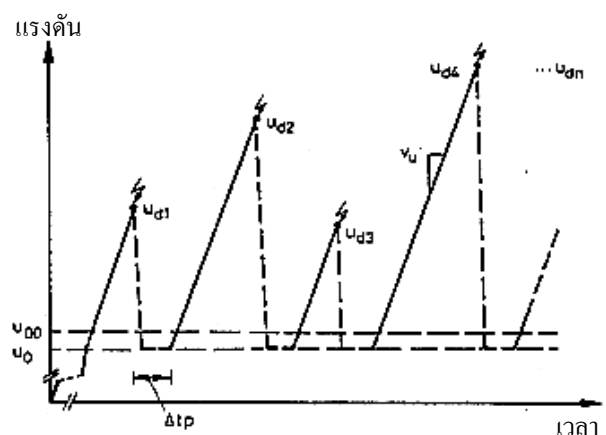
$$U_{50\%} = \frac{\sum k_i U_i}{\sum k_i} \quad (3.5)$$

ถ้าต้องการหาโอกาสเบรกดาวน์ที่เปอร์เซ็นต์ค่าอื่นต้องเปลี่ยนจำนวนครั้งของการป้อนแรงดัน ก่อนที่จะปรับแรงดันขึ้นหรือลง

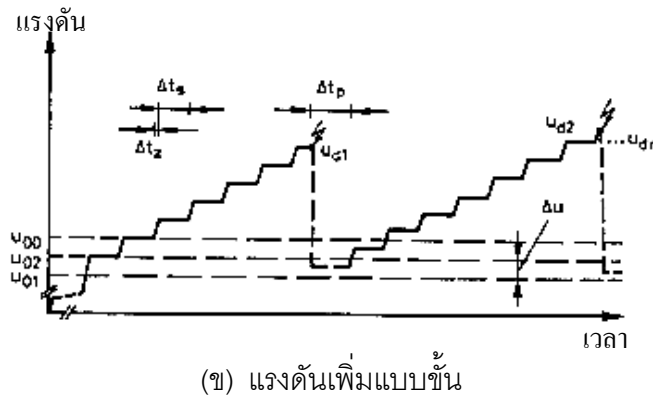
3.3 การวัดแรงดันกระแสลับ

ในการทดลองของทางแรงดันเบรกดาวน์นั้นมีวิธีหลากหลายค่าแรงดันเบรกดาวน์ได้หลายวิธีคือ วิธีแรงดันคงที่ (constant voltage), วิธีแรงดันเพิ่ม (rising voltage), วิธีแรงดันหลายระดับ (Multiple Level voltage), วิธีแรงดันขึ้นและลง (up and down) เป็นต้น การทดสอบแรงดันกระแสลับนี้ เลือกการทดลองด้วยวิธีแรงดันเพิ่ม ข้อดีของการทดลองด้วยวิธีแรงดันเพิ่ม คือผลการทดลองเบรกดาวน์ไม่มีผลกระทบของประจุค้าง (space charge) ที่เกิดขึ้นหลังการเกิดเบรกดาวน์ เหตุที่การทดลองแบบแรงดันเพิ่มไม่มีผลกระทบของประจุค้าง เพราะภายหลังการเกิดเบรกดาวน์แล้วการป้อนแรงดันครั้งต่อไปนั้นจะเริ่มต้นจากแรงดันขึ้นต่ำขึ้นไป ทำให้ประจุค้างที่เกิดขึ้นจากการเกิดเบรกดาวน์ครั้งก่อนคืนตัว (recombine) อีกทั้งอาการยังเป็นอนุนัติสามารถคืนตัวได้เร็ว เพราะฉะนั้นผลการทดลองที่ได้จะไม่มีผลกระทบจากประจุค้างมาเปลี่ยนแปลงค่าแรงดันเบรกดาวน์ และการเสียสภาพของผิววงกลมและอาการกันอยู่กว่าวิธีอื่นเนื่องจากการทดลองแรงดันเพิ่มใช้จำนวนครั้งที่เกิดเบรกดาวน์น้อยครั้งกว่า

การทดลองแรงดันเพิ่มสามารถใช้ได้กับการป้อนแรงดันทุกรูปคลื่นแรงดัน โดยกรณีแรงดันกระแสตรงและกระแสลับสามารถป้อนแรงดันได้ 2 วิธี วิธีแรก ดังแสดงในรูปที่ 3.10 (ก) เป็นการป้อนแรงดันแบบต่อเนื่องโดยมีอัตราการเพิ่มแรงดันคงที่ โดยมักมีแรงดันเริ่มต้น (u_0) มีค่าเท่ากับศูนย์ และอัตราการเพิ่มแรงดันอยู่ในช่วง $2 - 5 \text{ kV/s}$ วิธีที่สองเป็นการป้อนแรงดันโดยมีการเพิ่มแรงดันเป็นขั้นๆ แต่ละขั้นมีแรงดันเพิ่มขึ้น Δu และคงค่าแรงดันนั้นไว้เป็นเวลา Δt_s ซึ่งขึ้นอยู่กับความเหมาะสมในการนำผลการทดลองไปใช้งาน เช่น 10 วินาที, 1 นาที, 1 ชั่วโมงและ 8 ชั่วโมง เป็นต้น โดยเวลาที่ใช้ในการเปลี่ยนระดับแรงดันแต่ละขั้น Δt_s ต้องมีค่าน้อยมากๆ เมื่อเทียบกับ Δt_p (ดังรูป 3.5 ข).



(ก) แรงดันเพิ่มแบบต่อเนื่อง



รูปที่ 3.5 การทดลองวิธีแรงดันเพิ่ม กรณีแรงดันกระแทกแรงและกระแสน้ำ

เพื่อให้ได้ผลการทดลองที่สามารถแสดง ลักษณะสมบัติของวัสดุทดสอบ (แกบพรงกลม) และ วิเคราะห์ข้อมูลต่อไปได้อย่างถูกต้อง ใน การทดลองแต่ละครั้งพารามิเตอร์ต่างๆ ที่มีผลกระทบต่อ ค่าแรงดันเบรกดาวน์ต้องทำการควบคุมให้เหมือนกันในทุกการทดลอง เช่น รูปคลื่นแรงดันที่ใช้ ทดลอง , สภาวะที่ทำการทดลอง, อุปกรณ์วัดแรงดันและส่วนแสดงผล เป็นต้น โดยพารามิเตอร์ของ การทดลองแรงดันเพิ่มนั้นประกอบด้วย

- แรงดันเริ่มต้น (u_0)
- ช่วงเวลาระหว่างการทดลองแต่ละครั้ง (Δt_p)
- แรงดันเพิ่มแต่ละขั้น (Δu)
- ช่วงเวลาคงแรงดันแต่ละขั้น (Δt_s)
- เวลาที่ใช้เพิ่มแรงดันแต่ละขั้น ($\Delta t_z << \Delta t_s$)
- อัตราการเพิ่มแรงดัน (v_u)
- จำนวนครั้งที่ทำการทดลอง (n)

มีรายละเอียดดังต่อไปนี้

- แรงดันเริ่มต้น (u_0) จะเริ่มต้นจากศูนย์หรือมากกว่าก็ได้ โดยที่ต้องเป็นค่าแรงดันที่ไม่มีโอกาสเกิด เบรกดาวน์จึงเป็นค่าแรงดันเริ่มต้นได้ โดยทั่วไปกำหนดจากค่าแรงดันเบรกดาวน์ต่ำสุด (u_{dmin}) ที่ พบจากการทดลองในเบื้องต้น ตามความสัมพันธ์ $u_{dmin} > 1.1u_0$ หรือ u_0 ควรต่ำกว่า u_{dmin} อย่างน้อย 10 เปลอร์เซ็นต์ ดังนั้นก่อนทำการทดลองจริงควรทำการทดลองเบื้องต้นเพื่อสามารถกำหนด u_0 ได้ อย่างเหมาะสม

- ช่วงเวลาระหว่างการทดลองแต่ละครั้ง (Δt_p) ควรเว้นระยะทดสอบในแต่ละครั้งให้เท่า ๆ กัน สำหรับการทดลองด้วยแกบพรงกลมมาตรฐานนั้นตามมาตรฐาน IEC 60052 นั้นกำหนดไว้ที่ 30 s.

- แรงดันเพิ่มแต่ละขั้น (Δu) โดยค่าต่ำสุดขึ้นอยู่กับความสามารถของอุปกรณ์จ่ายแรงดัน ส่วนค่าสูงสุดไม่ควรมีค่ามากกว่าส่วนเบี่ยงเบนมาตรฐาน (s) ของแรงดันเบรกดาวน์ของวัสดุทดสอบโดยทั่วไปกำหนดไว้ประมาณ 0.5 s
- ช่วงเวลาคงแรงดันแต่ละขั้น (Δt_s) ขึ้นอยู่กับวัตถุประสงค์ของการทดลอง เช่น การทดสอบความคงทนอยู่ได้ของวัสดุทดสอบให้เวลาคงแรงดันเท่ากับ 1 นาที หรือจะกำหนดเป็นชั่วโมงก็ได้แล้วแต่วัตถุประสงค์การใช้งาน
- เวลาที่ใช้เพิ่มแรงดันแต่ละขั้น ($\Delta t_z < \Delta t_s$) Δt_z ควรตั้งกว่า Δt_s มากๆ มิฉะนั้น Δt_z จะมีผลกระทบต่อผลการทดสอบ
- อัตราการเพิ่มแรงดัน (v_u) กำหนดจากวัตถุประสงค์การทดลองโดยทั่วไปจะอยู่ในช่วง 2 – 5 kV/s เช่น การทดสอบเบรกดาวน์ของน้ำมันหมักเปล่งตามมาตรฐาน IEC 156-1963 กำหนดอัตราการเพิ่มแรงดันเท่ากับ 2 kV/s เป็นต้น โดยปกติเวลาใช้อัตราการเพิ่มแรงดันในช่วง 3-5 kV/s ซึ่งอัตราการเพิ่มแรงดันในช่วงนี้ไม่มีผลกระทบต่อผลการทดสอบ โดยในการทดลองแรงดันกระแสตรงใช้อัตราการเพิ่มแรงดันเท่ากับ 5 kV/s (ค่าเฉลี่ยจากการวัดจริงในช่วงที่ใช้ทดลอง)
- จำนวนครั้งที่ทำการทดสอบ (n) มีความสัมพันธ์โดยตรงกับความแม่นยำของผลการทดลองกล่าวคือจำนวนครั้งที่ทำการทดสอบยิ่งมากผลการทดสอบที่ได้ยิ่งมีความแม่นยำสูง การกำหนดจำนวนครั้งที่ทำการทดสอบสามารถทำได้โดยใช้วิธีการกำหนดจากขอบเขตความคลาดเคลื่อนการกระจาย (distribution free tolerance limits) ทั้งนี้จำนวนครั้งที่ทำการทดสอบ (n) มากกว่าหรือเท่ากับ 20 ครั้ง สามารถหาลักษณะสมบัติเชิงสถิติได้ทุกรูปนี้ โดยจำนวนครั้งการทดสอบน้อยกว่านี้หมายความสำหรับการคำนวนค่าเฉลี่ยเท่านั้น

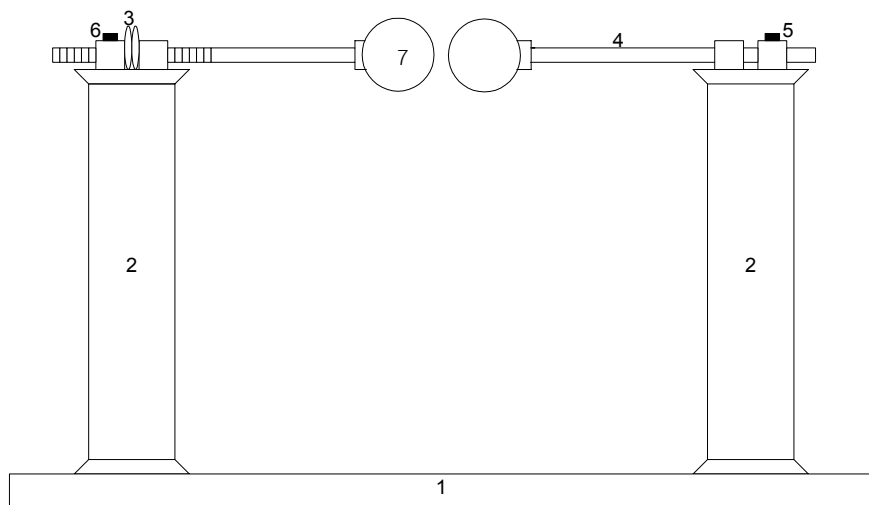
บทที่ 4

การทดลองผลของความชื้นต่อแรงดันเบรกดาวน์

ในบทนี้จะกล่าวถึงวิธีการทดลอง ซึ่งประกอบด้วย ชุดทดลอง การเตรียมชุดทดลอง การทดลองและเก็บข้อมูล โดยทำการทดลองด้วยแรงดันอิมพัลส์ฟ้าผ่ารูปคลื่นมาตรฐาน $1.2/50 \mu\text{s}$ และแรงดันกระแสสลับให้กับแกปทรงกลม ที่ระยะแgapต่าง ๆ เพื่อศึกษาผลผลกระทบของความชื้น ที่มีต่อการเกิดเบรกดาวน์ของแกปทรงกลม

4.1 ชุดทดลอง

ชุดทดลองที่ใช้ในการหาแรงดันเบรกดาวน์ในอากาศ ใช้ทรงกลมเส้นผ่านศูนย์กลาง 25 cm ในการทดลอง เนื่องจากขีดจำกัดของหม้อแปลงทดสอบ แสดงตามรูปที่ 4.1

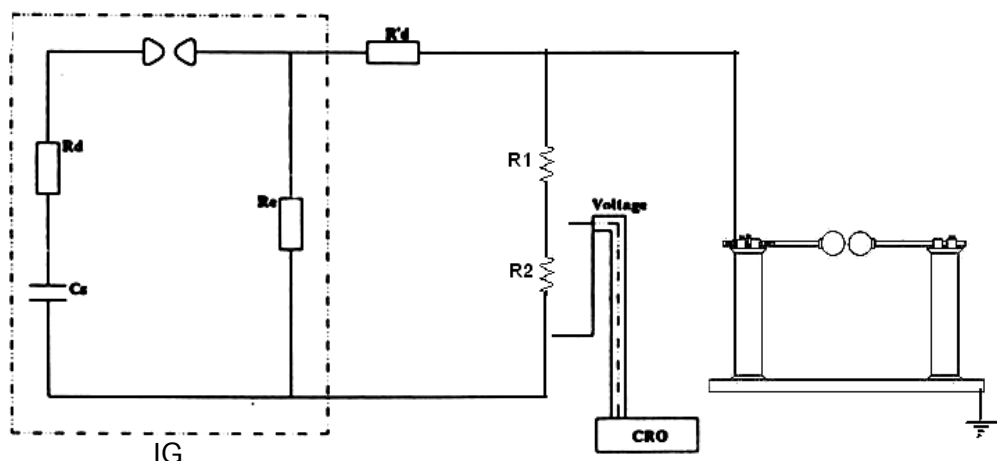


รูปที่ 4.1 ชุดทดลองแกปอากาศทรงกลมมาตรฐาน

1. สายเหล็ก
2. ขนาดวงรีบ
3. เกียร์ขับเคลื่อนทรงกลมเพื่อปรับระยะ
4. ก้านยึดทรงกลม
5. ที่ต่อสายแรงสูง
6. ที่ต่อสายกราวน์
7. ทรงกลมเส้นผ่านศูนย์กลางขนาด 25 cm ต่อ กับ แกนตัวนำ แนวอน

4.2 การทดลองด้วยแรงดันอิมพัลส์

4.2.1 เครื่องกำเนิดแรงดันอิมพัลส์ที่ใช้ในการทดลอง



รูปที่ 4.2 วงจรเครื่องกำเนิดแรงดันอิมพัลส์เพื่อวัดแรงดันเบรกดาวน์ของแกบปรงกลม

อุปกรณ์ที่ใช้ในการทดลอง (Control Room)

- เครื่องกำเนิดสัญญาณอิมพัลส์ รุ่น E Series 1400 kV 70kJ
- เครื่องวัดสัญญาณอิมพัลส์ รุ่น 721
- เครื่องวัดแรงดันอิมพัลส์ รุ่น 642

ทั้งหมด ออกแบบและประกอบสร้างโดย ผู้ผลิตจาก HAEFELY SWITCHZERLAND

ประกอบด้วย

IG = เครื่องกำเนิดสัญญาณอิมพัลส์ การต่อวงจร ใช้การต่ออนุกรม 1,2,4,8 ขั้น
ขั้นกับประยะของแกบปรงกลมมาตราฐาน

C_s = ค่าความจุไฟฟ้าภายในวงจร ค่าพลังงานสูงสุด 30 kJ

R_d = ค่าความต้านทานที่ต่ออนุกรมภายในวงจร 36Ω

R_e = ค่าความต้านทานที่ต่อขนาดภายในวงจร 1800Ω

R'_d = ค่าความต้านทานที่ต่อภายนอก

$VD(R1,R2)$ = เครื่องวัดแบ่งแยกแรงดัน

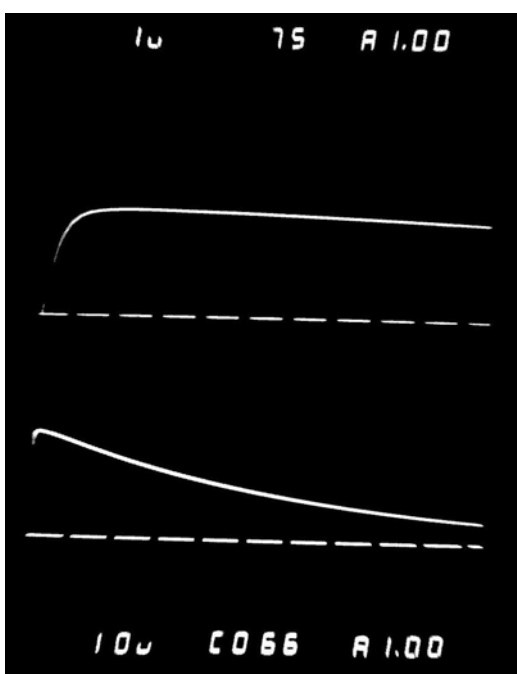
CRO = เครื่องวัดแรงดันอิมพัลส์

4.2.2 การเตรียมชุดทดลอง

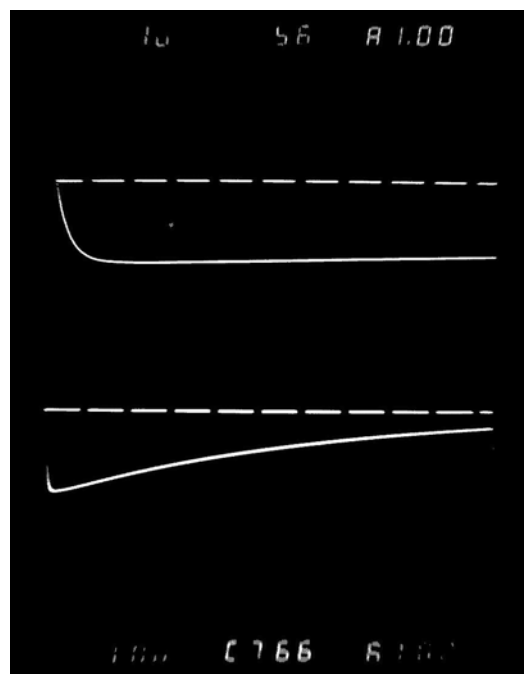
เลือกอุปกรณ์ต่าง ๆ ในการทดลอง ดังนี้

- เลือกจำนวนชั้น ของเครื่องกำเนิดแรงดันอิมพัลส์เพื่อใช้สร้างแรงดันได้เพียงพอ กับแรงดัน อิมพัลส์ที่ต้องการ โดยที่แต่ละชั้นนั้นจะสามารถสร้างแรงดันอิมพัลส์ได้สูงสุด 100 KV และ เพื่อเป็นการยืดอายุการใช้งานของอุปกรณ์ จึงกำหนดให้ใช้งานไม่เกิน 60 KV
- ใช้วัสดุเดจดิไวเดอร์แบบตัวต้านทาน ระดับแรงดัน 400 KV วัดแรงดันเพราระแรงดันของ แกปทรองกลมนั้นไม่เกิน 300 KV
- เลือกขั้วของแรงดันที่ต้องการสร้างโดยการกลับทิศของ Power Diode
- เลือกค่าความต้านทานหน่วง R_d เนื่องจากในทางปฏิบัติรูปคลื่นที่ได้มักแตกต่างไปจากค่า ทฤษฎี โดยเฉพาะค่าเวลาช่วงหน้าคลื่น และค่ายอดของแรงดัน อาจทำให้เกิดการแกว่งได้ ทำให้ไม่ได้รูปคลื่นที่ต้องการ ทั้งนี้เนื่องจากในวงจร มีความเห็นว่า ซึ่งหลักเลี่ยงไม่ได้ จึง จำเป็นต้องมีความต้านทานหน่วง ในการทดลองนี้ใช้ค่า 616 Ω สำหรับการต่อ 1,2,4 ชั้น และ 808 Ω สำหรับการต่อ 8 ชั้น โดยดูได้จากรูปคลื่นแรงดันอิมพัลสมาร์ฐานจากการ สอดเทียบก่อนทำการทดลอง

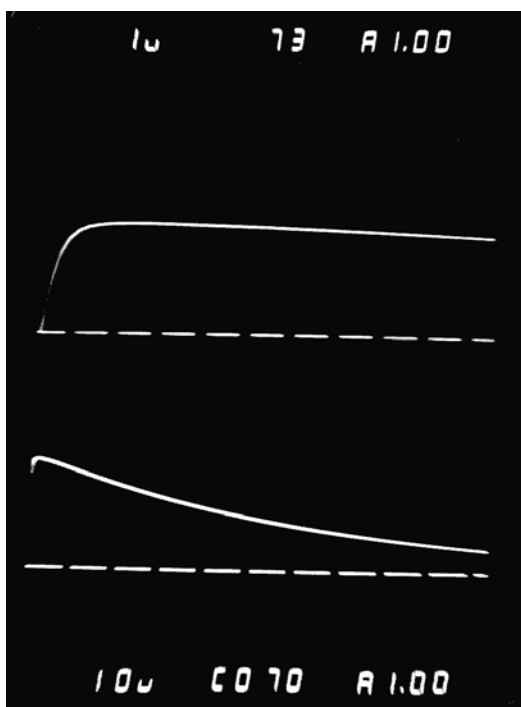
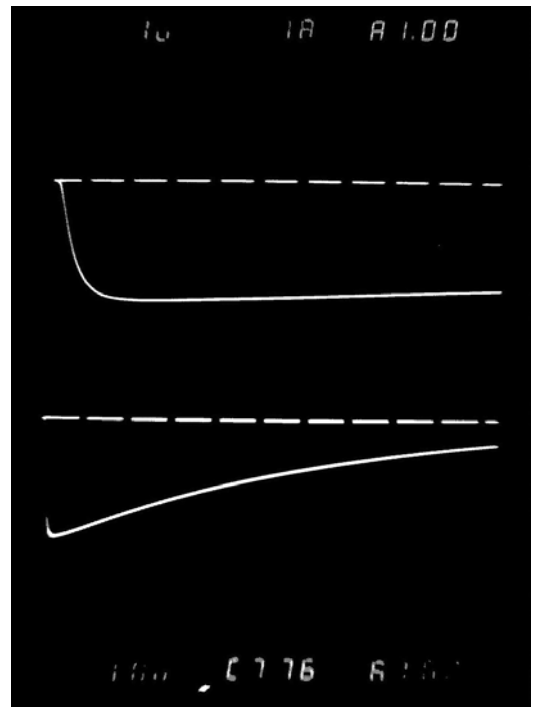
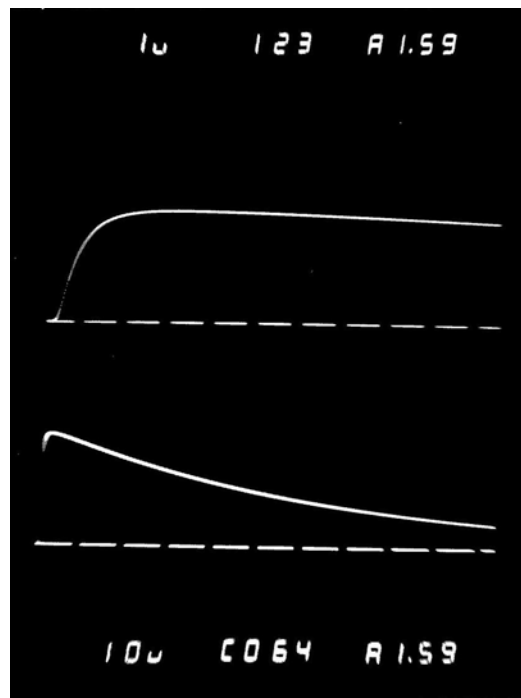
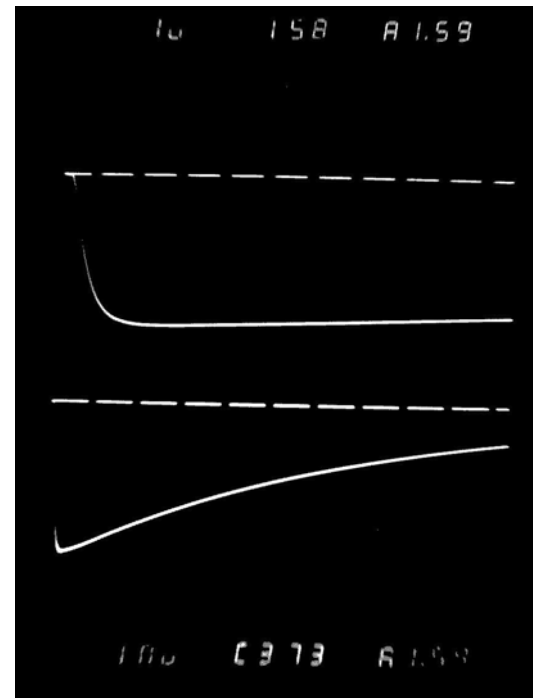
โดยวัดหน้าคลื่น และหางคลื่นให้ได้รูปคลื่นตรงตามที่มาตรฐานกำหนดแสดงตามรูปที่ 4.3
(ก – ข.) ได้ดังนี้



ก) ต่อแบบ 1,2 ชั้น ข) ต่อแบบ 1,2 ชั้น



ก) ต่อแบบ 1,2 ชั้น ข) ต่อแบบ 1,2 ชั้น

ค) ต่อแบบ 4 ขั้น ขีบvak 1.2/50 μs ง) ต่อแบบ 4 ขั้น ขีвлบ 1.03/50 μs จ) ต่อแบบ 8 ขั้น ขีบvak 1.03/51.67 μs ฉ) ต่อแบบ 8 ขั้น ขีвлบ 1.03/51.67 μs

รูปที่ 4.3 รูปคลื่นแรงดันอิมพัลส์จากการ Calibrate (ก-ฉ)

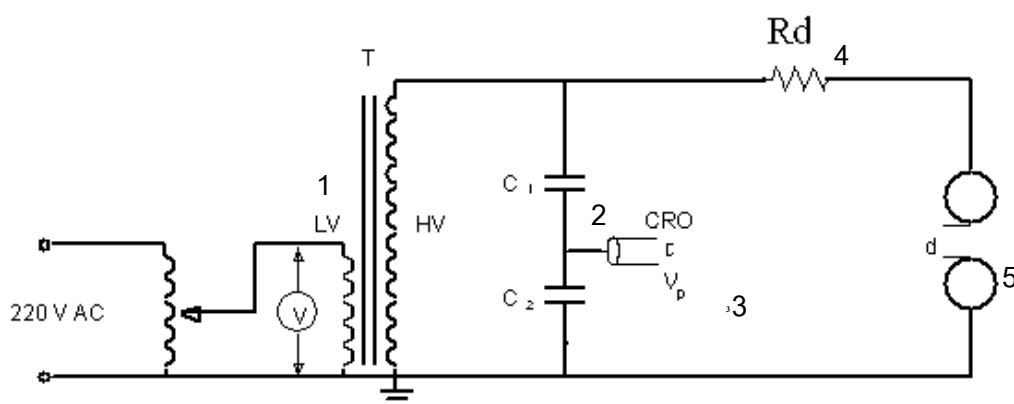
4.2.3 วิธีการทดลองและการเก็บข้อมูล

นี่คือการเป็นการทดลองเพื่อศึกษาถึงผลกระทบของความชื้น การหาแรงดันเบรกดาวน์ของแกปอากาศทรงกลมจึงเลือกระยะแกปอยมาศึกษา 5 ระยะ ได้แก่ ระยะ 1,3,6,9,12 cm เพื่อดูผลของแรงดันเบรกดาวน์ที่เกิดขึ้นตามระยะแกปอากาศ เมื่อป้อนด้วยแรงดันอิมพัลส์ทั้งข้อบากและลบ ทำการตรวจสอบรูปคลื่นแรงดันอิมพัลส์ โดยป้อนแรงดันที่ระดับต่ำที่ไม่เกิดเบรกดาวน์ วัดเวลาหน้าคลื่น และหลังคลื่น เพื่อเปรียบเทียบกับรูปคลื่นแรงดัน อิมพัลส์ที่ผ่านมาตรฐาน 1.2/50 μs บันทึกสภาพอากาศขณะที่ทดลอง ได้แก่ อุณหภูมิ ความดัน ความชื้น สัมพัทธ์ จากนั้นหาค่า $U_{50\%}$ ของแรงดันเบรกดาวน์ ด้วยวิธีปรับขึ้นและลงซึ่งเป็นวิธีที่สะดวก โดยมีจำนวนครั้งที่ป้อนแรงดันขึ้นลงเป็น 20 ครั้ง และบันทึกค่าแรงดันในแต่ละแกปอากาศ และนำข้อมูลที่ได้ทั้งหมดจากวิธีปรับขึ้นลงมาหาค่า $U_{50\%}$ และ SD ซึ่งเป็นส่วนเบี่ยง เบนมาตรฐานของแรงดันเบรกดาวน์ (ข้อมูลการทดสอบแรงดันเบรกดาวน์ที่ได้ทั้งหมด แสดงในภาคผนวก ก.)

ความชื้นที่นำมาวิเคราะห์นั้นใช้ค่าความชื้นสัมบูรณ์ซึ่งหาได้จากการคำนวณความชื้นสัมบูรณ์ของอากาศในเทอมอุณหภูมิเทอร์โมมิเตอร์กระปาห์แห้งและเปียกของ Psychrometer จากความสัมพันธ์ของอุณหภูมิ กับ เปอร์เซนต์ความชื้นสัมพัทธ์ และค่าแรงดันเบรกดาวน์ที่บันทึกทั้งหมดนั้น ต้องแปลงไปเป็นค่าที่สภาวะมาตรฐาน โดยใช้ค่า ความหนาแน่นอากาศสัมพัทธ์ และค่าตัวประกอบแก้ไขความชื้น (จากหัวข้อ 3.1.2.3) ตามมาตรฐาน IEC 60052

4.3 การทดลองด้วยแรงดันกระเสสลับ

4.3.1 วงจรทดลองแรงดันกระเสสลับ



รูปที่ 4.4 วงจรทดลองแรงดันกระเสสลับ

ประกอบด้วย

1. หม้อแปลงทดสอบ พิกัด 200 KV 100 KVA
2. โวลเตจดิไวด์เครื่องแบบตัวเก็บประจุ พิกัดแรงดัน 300 KV อัตราส่วนแรงดัน 5595.65 : 1
3. ดิจิตอลอสซิโลสโคปสำหรับบันทึกค่าอยอดแรงดัน
4. ค่าความต้านทาน R_d 130 kΩ
5. ชุดทดลองแกปทรงกลมมาตรฐาน ขนาด 25 เซนติเมตร แนวอน

4.3.2 วิธีการทดลองและการเก็บข้อมูล

การเบรกดาวน์ของแรงดันกระแสสลับนี้จะทำให้แหล่งจ่ายแรงดันลัดวงจร ดังนั้นจึงต้องใช้ความต้านทานน้ำต่อคันเพื่อลดกระแสลัดวงจร โดยความต้านทานนี้มีค่าประมาณ $100 \text{ k}\Omega$ ถึง $1 \text{ M}\Omega$ โดยเลือกระยะแกปอากาศทรงกลมมาศึกษา 4 ระยะ ได้แก่ ระยะ 1,3,6,9 เซนติเมตร เมื่อจากหม้อแปลงทดสอบพิกัดแรงดันสูงสุด 200 KV บันทึกสภาพอากาศขณะที่ทดลอง ได้แก่ อุณหภูมิ ความดัน เปอร์เซนต์ความชื้นสัมพัทธ์ การป้อนด้วยแรงดันกระแสสลับให้กับแกปทรงกลมนั้นเราใช้วัดแรงดันเพิ่ม โดยเพิ่มแรงดันไม่เร็วไป จนกว่าค่าจากเครื่องวัดไม่ได้ค่าที่วัดได้จากการเบรกดาวน์หลายๆ ครั้ง จะนำมาหาค่าเฉลี่ยเพื่อหาค่ากลาง โดยที่ค่าเบี่ยงเบนมาตรฐานไม่สูงมากนัก ในที่นี้วัดแรงดันเบรกดาวน์ประมาณ 5-6 ครั้ง โดยการวัดครั้งแรกค่าที่ได้อาจต่ำกว่าปกติเนื่องจากอาจมีอะไรบางอย่างที่ผิดปกติ และแต่ละครั้งที่วัดแรงดันต้องทิ้งเวลาอย่างน้อย 30 วินาที เพื่อให้ชั่วนิวนคืนตัว บันทึกและคำนวณค่าเหมือนในการทดสอบด้วยแรงดันอิมพัลส์ (ข้อมูลการทดสอบแรงดันเบรกดาวน์ที่ได้ทั้งหมด แสดงในภาคผนวก จ.)

4.4 การทำความสะอาดชุดทดลอง

ในการทดลอง ค่าแรงดันที่วัดได้จากการทดลองนั้นควรรวมมักร่วมกับค่าที่ได้จากการทดสอบนั้นๆ อย่างไรก็ตาม ต้องนับถือว่าค่าที่ได้จากการทดสอบนั้นๆ ไม่สามารถใช้ในการคำนวณได้ แต่ต้องคำนึงถึงความแม่นยำของผลลัพธ์ที่ได้จากการทดลอง ดังนั้นก่อนและหลังการใช้งานแกปทรงกลมมาตรฐาน จึงควรขัดมันและเช็ด ผิวทรงกลมก่อนเสมอ

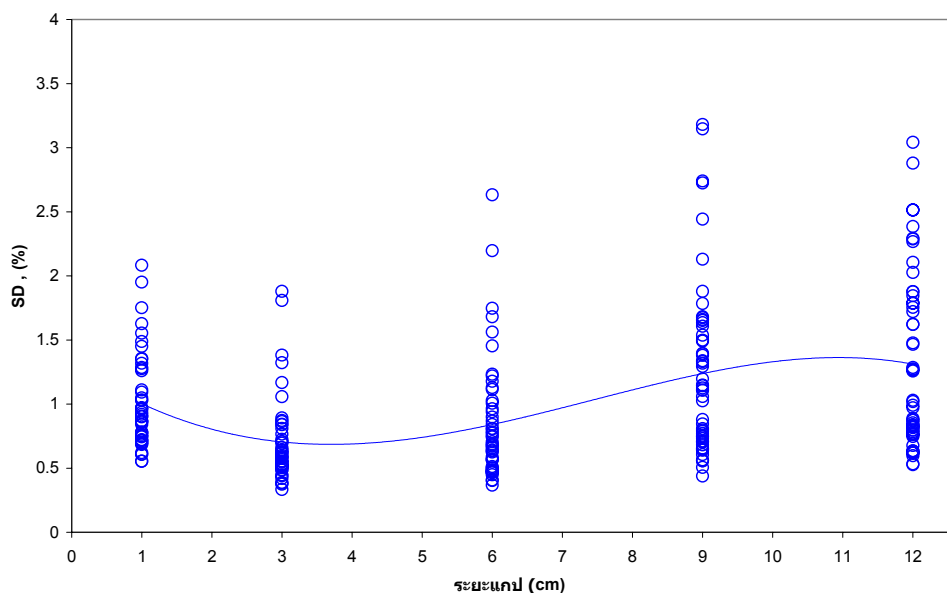
บทที่ 5

ผลการทดลองและวิเคราะห์ผล

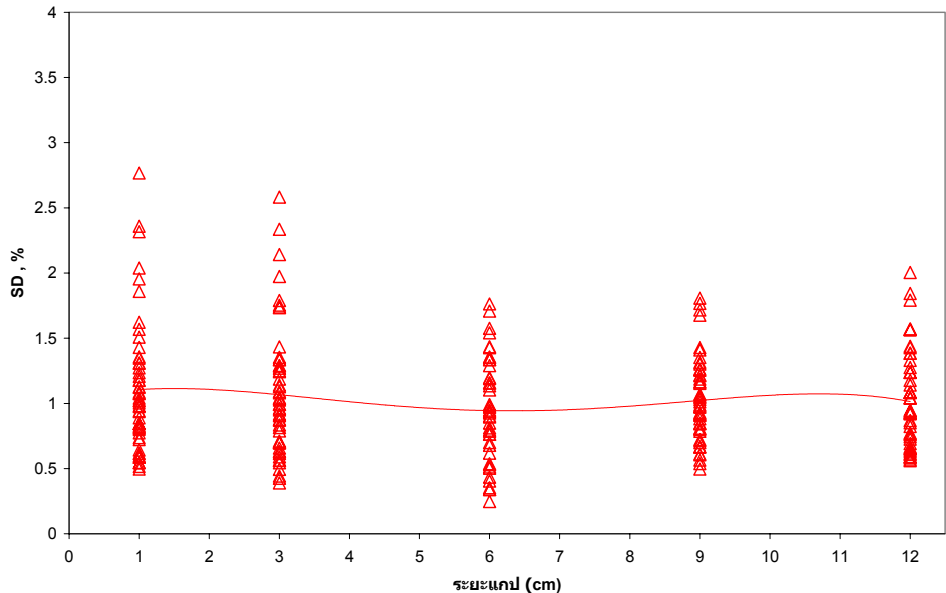
เนื่องจากข้อมูลจากการทดลองมีเป็นจำนวนมากและมีการซ้อนทับกัน ดังนั้นเพื่อให้การวิเคราะห์ข้อมูลง่ายขึ้นจึงแทนข้อมูลด้วยวิธีการเข้ารูป (Curve Fitting) โดยใช้การเข้ารูปแบบสมการเชิงเส้น (Linear Curve Fitting) และการเข้ารูปด้วยสมการพหุนาม (Polynomial Curve Fitting) เป็นส่วนกราฟหรือช่วงข้อมูลโดยเลือกข้อมูลบริเวณขอบของแต่ละระดับแรงดันมาคำนวณด้วยวิธีกำลังสองน้อยที่สุด (Least Square Estimations) ซึ่งแสดงวิธีการหาในภาคผนวก ฉ.

5.1 ค่าเบี่ยงเบนมาตรฐานจากการทดลอง

รูปที่ 5.1 และ รูปที่ 5.2 แสดงค่าเบี่ยงเบนมาตรฐานจากการทดลองหาแรงดันเบรกดาวน์อิมพัลส์ที่ระยะแกปต่างๆ ซึ่งพบว่าไม่ว่าจะเป็นแรงดันเบรกดาวน์อิมพัลส์ขั้วบวกหรือขั้วลบ ค่าเบี่ยงเบนมาตรฐานจะมีค่าไม่ต่างกันมากนักคือมีค่าประมาณ 1 % เมื่อเทียบกับค่า $U_{50\%}$



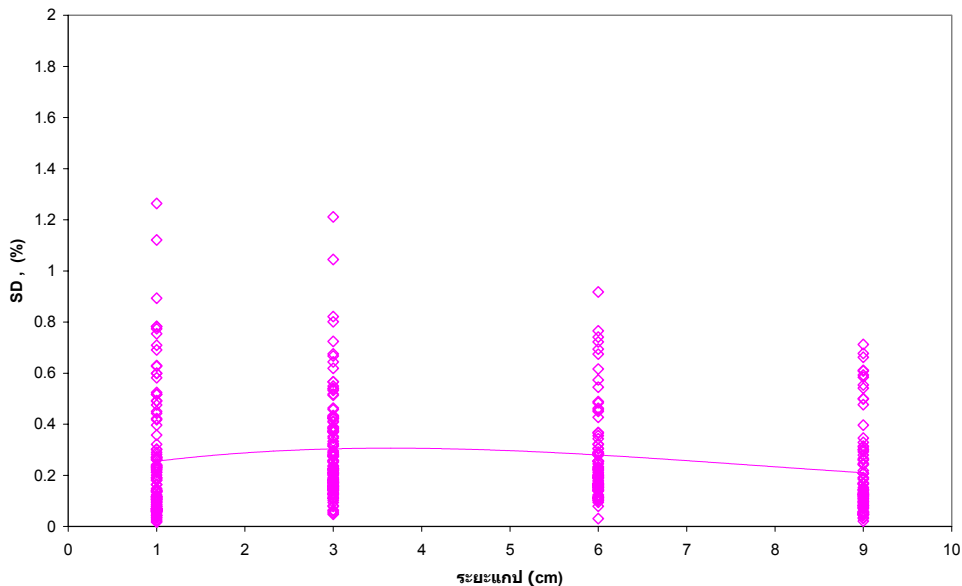
รูปที่ 5.1 ค่าเบี่ยงเบนมาตรฐานของการทดสอบด้วยแรงดันอิมพัลส์ขั้วบวก ที่ระยะแกปต่าง ๆ



รูปที่ 5.2 ค่าเบี่ยงเบนมาตรฐานของกราฟทดสอบด้วย แรงดันอิมพัลส์ข้าวลบ ที่ระยะแกปต่าง ๆ

โดยเฉพาะอย่างยิ่งสำหรับแรงดันเบรกดาวน์อิมพัลส์ข้าวลบนั้นค่าเบี่ยงเบนมาตรฐานมีค่าค่อนข้างจะคงที่ไม่กว่าจะทดลองที่ระดับแรงดันเท่าไหรก็ตาม ในขณะที่ข้าวบกนั้นจะมีค่าลดลงเมื่อแรงดันเพิ่มขึ้นจนถึงที่ระยะแกป ประมาณ 3 – 4 cm. โดยจะมีค่าเบี่ยงเบนมาตรฐานต่ำที่สุดประมาณ 0.5 % และจะเพิ่มสูงขึ้นเรื่อย ๆ ตามระดับแรงดันที่ป้อนจนมีค่ามากที่สุดที่แกป 12 cm.

จากผลการทดลองด้วยแรงดันกระแทกสัปในรูปที่ 5.3 ค่าเบี่ยงเบนมาตรฐานของผลการทดลองในระยะแกปต่าง ๆ แสดงให้เห็นว่าค่าเบี่ยงเบนมาตรฐานจะมีค่าไม่ต่างกันมากนัก โดยมีค่าเฉลี่ยประมาณ 0.2-0.3 % เท่านั้นและมีค่าค่อนข้างจะคงที่ และมีค่าต่ำกว่าค่าเบี่ยงเบนมาตรฐานของผลการทดสอบด้วยแรงดันอิมพัลส์มาก



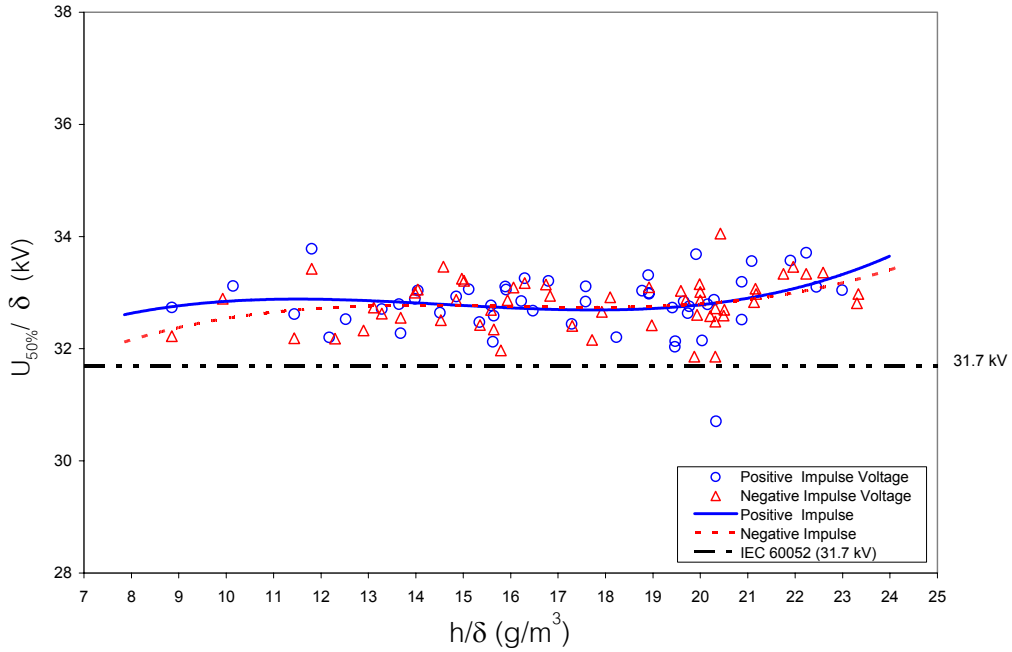
รูปที่ 5.3 ค่าเบี่ยงเบนมาตรฐานของการทดสอบด้วย แรงดันกวาระแสส์ลับ ที่ระยะแกpaceต่าง ๆ

5.2 ผลของความชื้นต่อแรงดันเบรกดาวน์

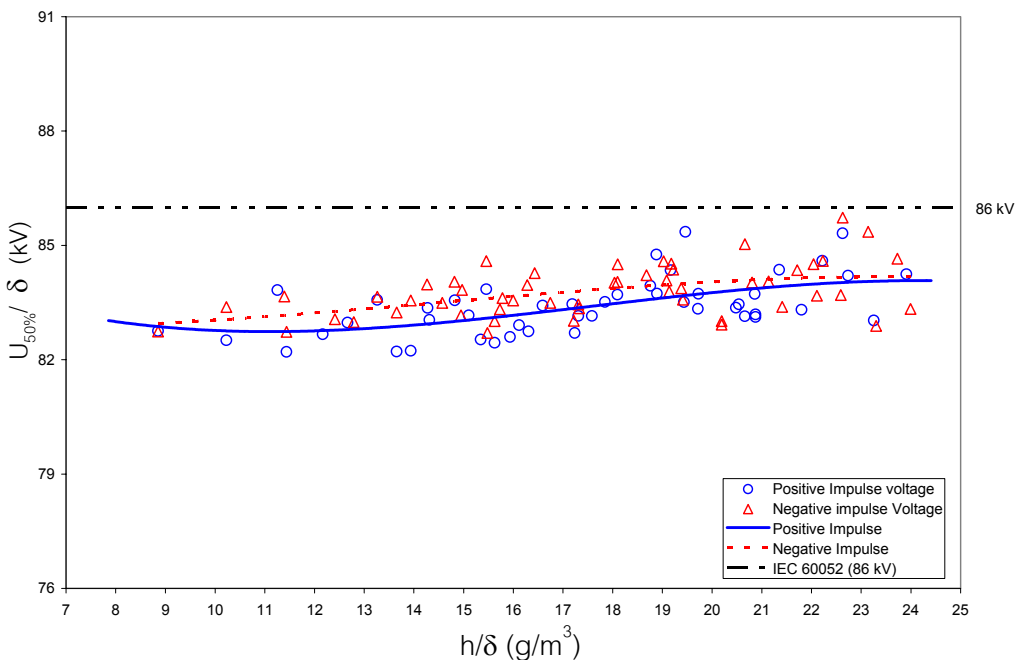
ผลการทดลองหาแรงดันเบรกดาวน์ของแกปทรงกลมมาตรฐานด้วยแรงดันอิมพัลล์ และแรงดันกวาระแสส์ลับนั้นความชื้นที่นำมาวิเคราะห์ใช้ค่าความชื้นสัมบูรณ์ ซึ่งหาได้จากการ ความชื้นสัมบูรณ์ของอากาศในเทอมอุณหภูมิเทอร์โมมิเตอร์กับแรงดันกวาระเบ้าแบบเดียวกันของ Psychrometer จากความสัมพันธ์ของอุณหภูมิ กับเบอร์เซนต์ความชื้นสัมพัทธ์[12] ในรูปที่ 3.3 และค่าความหนาแน่นอากาศสัมพัทธ์ จากสมการที่ 3.3

5.2.1 ผลการทดลองด้วยแรงดันอิมพัลล์

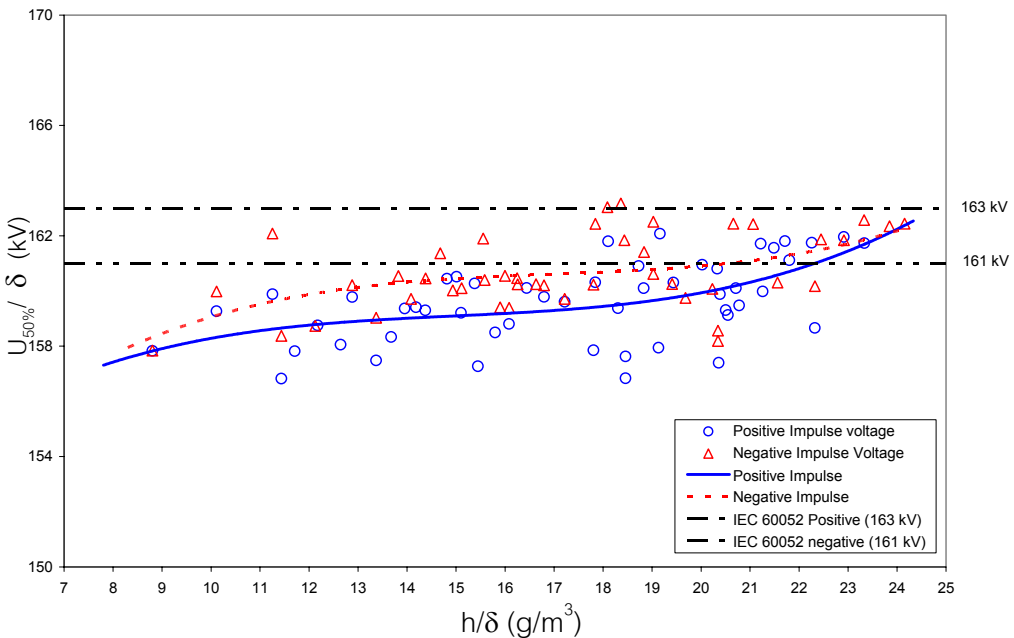
รูปที่ 5.4 ถึง รูปที่ 5.8 แสดงค่าแรงดันเบรกดาวน์ $U_{50\%}$ ของแกปทรงกลมกับค่าความชื้น สัมพัทธ์ต่อความหนาแน่นสัมพัทธ์อากาศ (h/δ) ที่ระยะแกpace 1,3,6,9 และ 12 cm. โดยใช้การเข้าวูป ข้อมูลด้วยสมการพหุนาม (Polynomial Curve Fitting) ในการวิเคราะห์ผลข้อมูล (ข้อมูลการทดสอบบดูได้จากตาราง ภาคผนวก ง.)



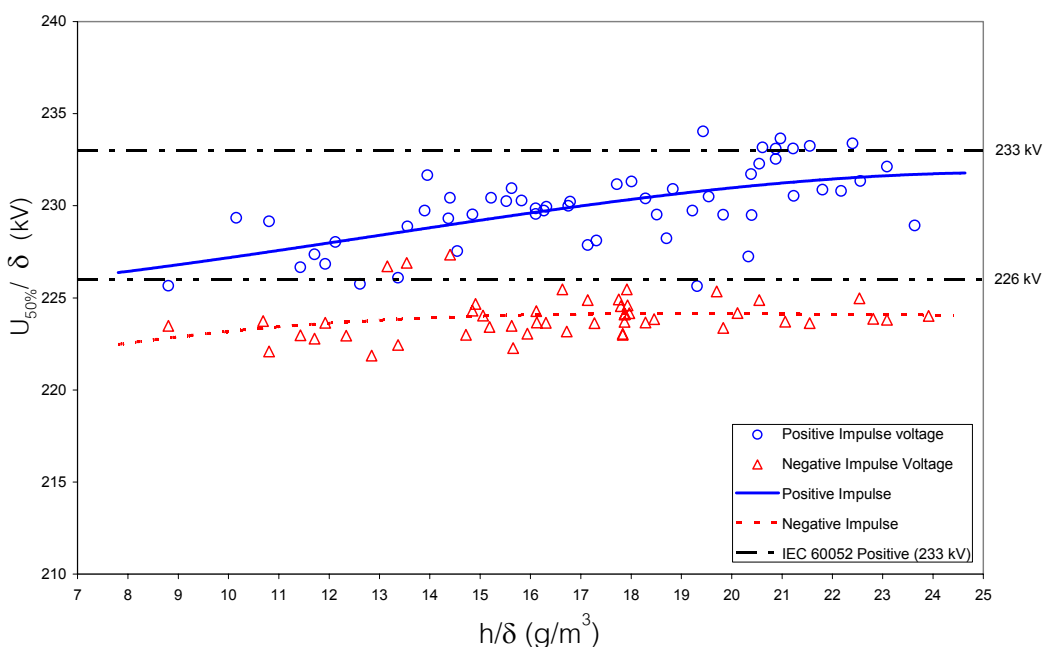
รูปที่ 5.4 ผลการทดลองแรงดันเบรกดาวน์อิมพลัส ระยะแกpal 1 cm. ที่ความชื้นค่าต่าง ๆ



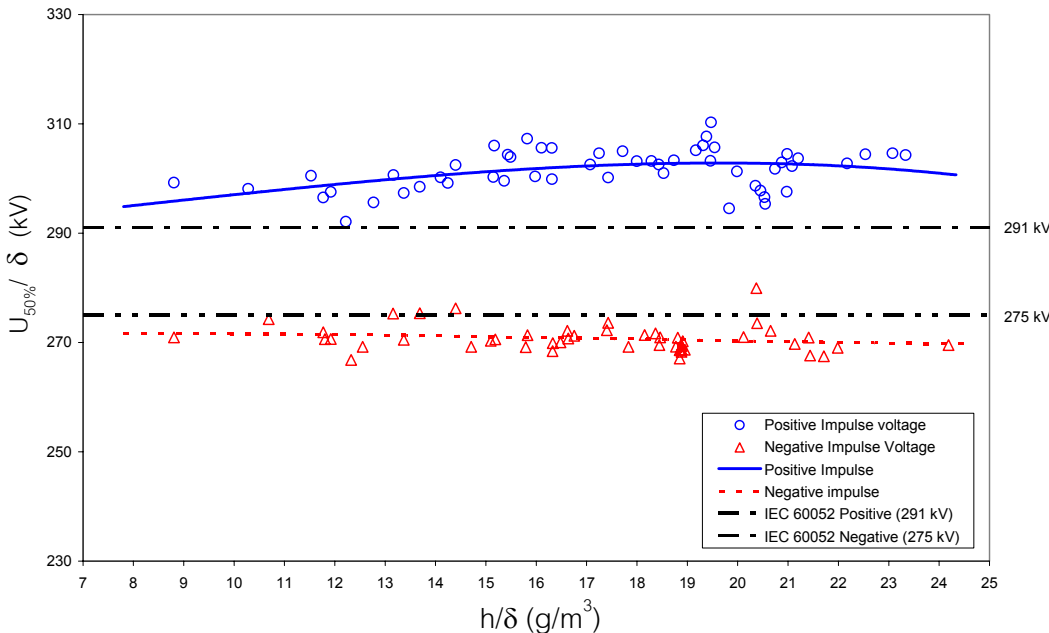
รูปที่ 5.5 ผลการทดลองแรงดันเบรกดาวน์อิมพลัส ระยะแกpal 3 cm. ที่ความชื้นค่าต่าง ๆ



รูปที่ 5.6 ผลการทดลองแรงดันเบรกดาวน์อิมพลัส ระยะแกบ 6 cm. ที่ความชื้นค่าต่าง ๆ



รูปที่ 5.7 ผลการทดลองแรงดันเบรกดาวน์อิมพลัส ระยะแกบ 9 cm. ที่ความชื้นค่าต่าง ๆ



รูปที่ 5.8 ผลการทดลองแรงดันเบรกดาวน์อิมพัลส์ ระยะแกป 12 cm. ที่ความชื้นค่าต่าง ๆ

จากผลการทดลองพบว่า แรงดันเบรกดาวน์ของแกปทรงกลมมาตรฐานจะมีค่าสูงขึ้นเมื่อค่า h/δ เพิ่มขึ้น สาเหตุที่เป็นเช่นนี้ เพราะโมเลกุลของน้ำในอากาศมีลักษณะคล้ายก้ามที่จับอิเล็กตรอนได้ดี เพราะมีออกซิเจนเป็นส่วนประกอบอยู่ ทำให้อากาศที่มีความชื้นมีความคงทนต่อแรงดันไฟฟ้าสูง

ในกรณีที่แกปมีขนาดเล็ก ๆ จากการทดลองคือ ระยะแกป 1 cm. นั้นจะเห็นได้ว่า เมื่อความชื้นเพิ่มขึ้นค่าแรงดันที่เกิดเบรกดาวน์จะค่อนข้างคงที่ไม่เปลี่ยนแปลงไปตามค่าความชื้นที่เพิ่มขึ้น โดยที่แรงดันเบรกดาวน์อิมพัลส์ข้าบ梧และข้าลบมีค่าใกล้เคียงกัน

เมื่อเพิ่มระยะแกปให้กว้างขึ้นเป็น 3 cm. จะสังเกตเห็นได้ว่าค่าแรงดันจะมีค่าต่ำอยู่ เมื่อเพิ่มตามความชื้นที่เพิ่มขึ้น แต่ค่าแรงดันการเกิดเบรกดาวน์ยังคงมีค่าใกล้เคียงกันระหว่างอิมพัลส์ข้าบ梧และข้าลบ เมื่อระยะแกปทรงกลมอยู่ที่ 6 cm. ค่าแรงดันยังคงเพิ่มขึ้นตามความชื้น แต่ค่าแรงดันเบรกดาวน์ของอิมพัลส์ข้าลบนั้นมีค่าสูงกว่าแรงดันเบรกดาวน์ของอิมพัลส์ข้าบ梧 เล็กน้อย จนเมื่อระยะแกปทรงกลมเป็น 9 cm. ค่าแรงดันเบรกดาวน์ของอิมพัลส์ข้าลบกลับตกลงมาต่ำกว่าแรงดันเบรกดาวน์ของอิมพัลส์ข้าบ梧 อันเนื่องมาจากการแกปกว้างขึ้นทำให้สนานไฟฟ้าเริ่มมีค่าไม่ค่อยสม่ำเสมอ ค่าแรงดันเบรกดาวน์ที่เกิดขึ้นสำหรับอิมพัลส์ข้าบ梧จะจึงมีค่าสูงกว่าแรงดันเบรกดาวน์ของแรงดันอิมพัลส์ข้าลบ โดยที่ข้าลบค่าแรงดันเบรกดาวน์เริ่มคงที่เมื่อ

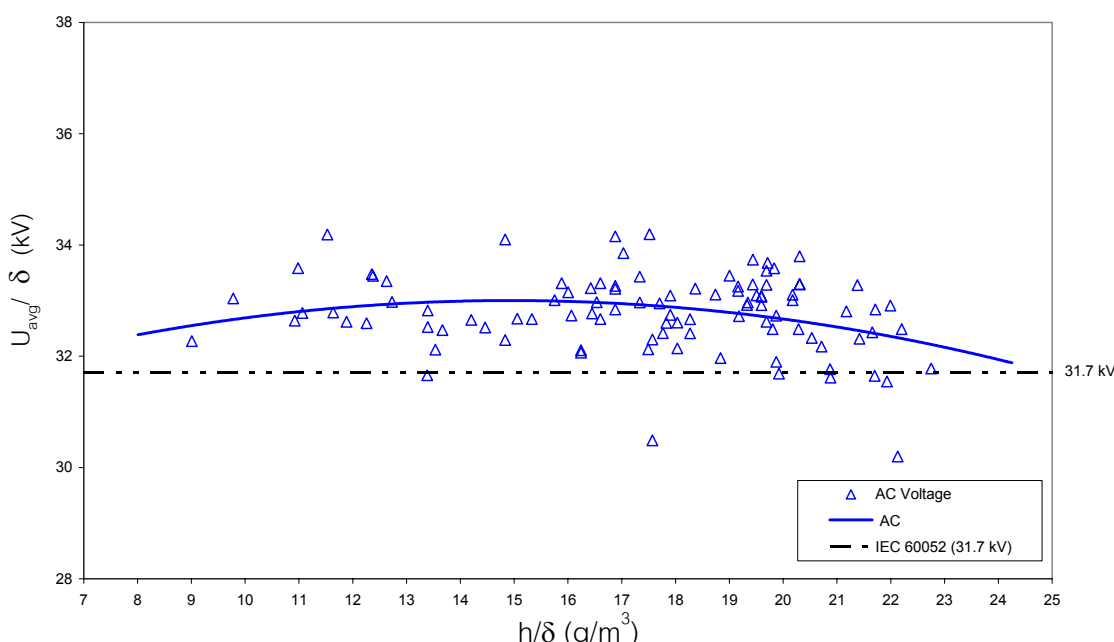
ความชื้นสูงเกินกว่า 16 g/m^3 ในขณะที่ค่าแรงดันเบรกดาวน์อิมพัลส์ขับ梧ยังคงเพิ่มขึ้น เมื่อความชื้นเพิ่มขึ้น

สำหรับที่ระยะแกป 12 cm . ระยะห่างกว้างมาก ค่าแรงดันเบรกดาวน์ที่เกิดขึ้นสำหรับอิมพัลส์ขับ梧จึงมีค่าสูงกว่าแรงดันเบรกดาวน์ของแรงดันอิมพัลส์ขับอย่างเห็นได้ชัดเจน เมื่อความชื้นเพิ่มขึ้นจะสังเกตเห็นได้ว่าแรงดันเบรกดาวน์มีค่าคงที่ทั้งอิมพัลส์ขับ梧และขับลับ

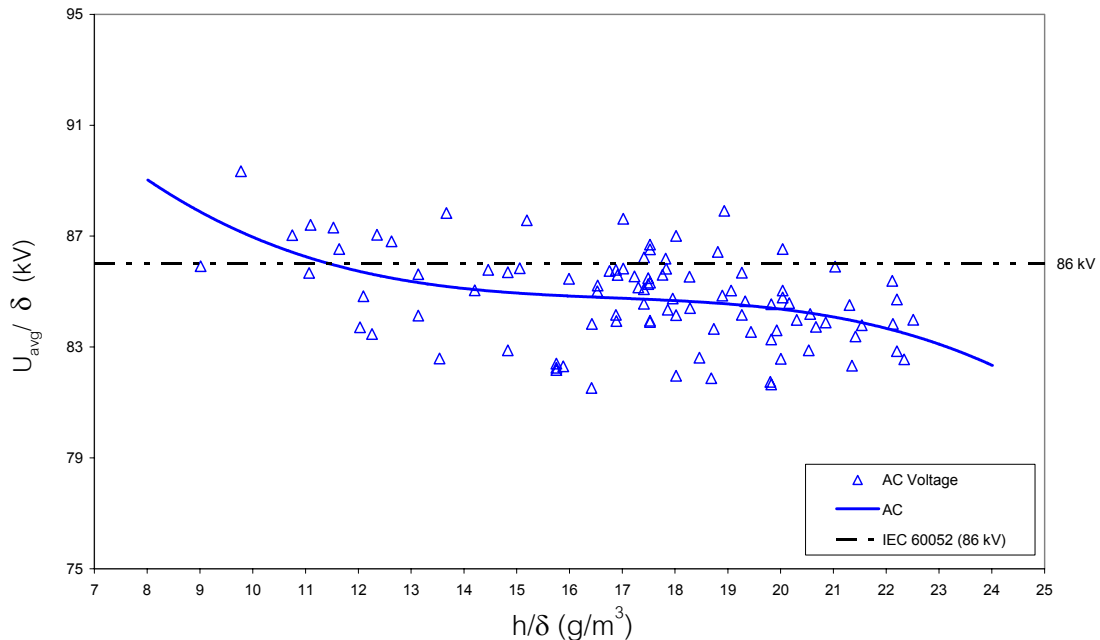
5.2.2 ผลการทดลองด้วยแรงดันกระแสสลับ

ผลการทดลองแรงดันเบรกดาวน์ของแกปทรงกลมมาตรฐานด้วยแรงดันกระแสสลับนั้น ใช้วิธีการวิเคราะห์และการหาค่าพารามิเตอร์ต่างๆ เมื่อทำการทดลองแรงดันเบรกดาวน์ด้วยแรงดันอิมพัลส์ แต่แรงดันที่นำมาวิเคราะห์เป็นแรงดันเฉลี่ย U_{avg} โดยทดลองแรงดันเบรกดาวน์กระแสสลับที่ระยะแกป $1,3,6$ และ 9 cm . (ข้อมูลการทดสอบดูได้จากตาราง ภาคผนวก ๑.)

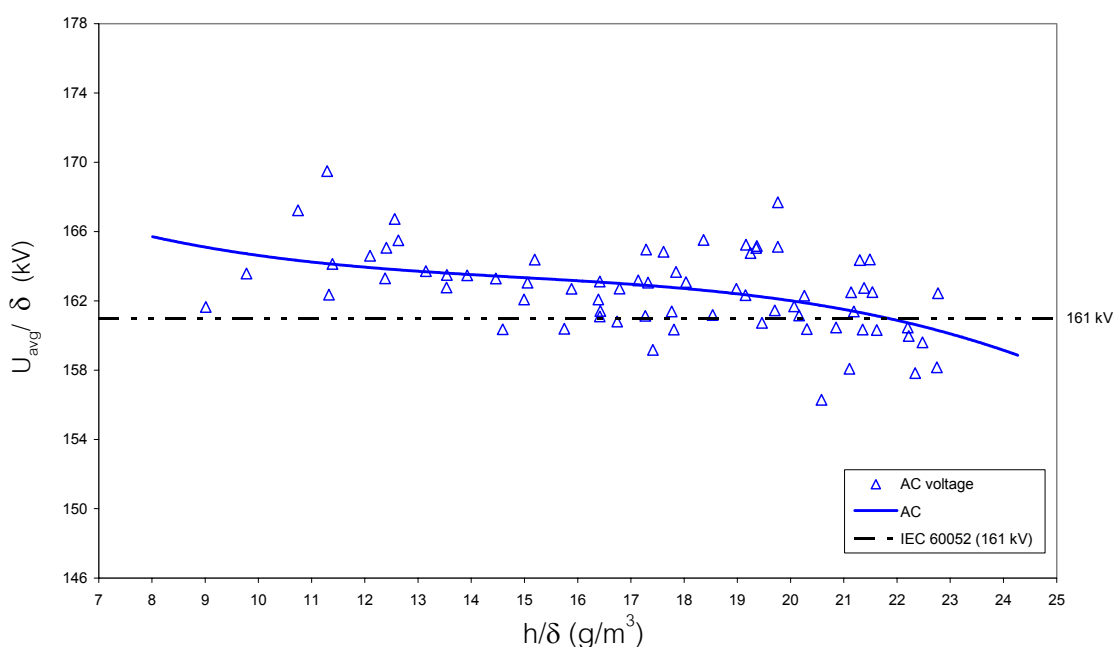
รูปที่ 5.9 ถึง รูปที่ 5.12 แสดงค่าแรงดันเบรกดาวน์ U_{avg} ของแกปทรงกลมกับค่า h/δ ที่ระยะแกป $1,3,6,9 \text{ cm}$. โดยใช้การเข้ารูปข้อมูลด้วยสมการพหุนาม (Polynomial Curve Fitting) ในการวิเคราะห์ผลข้อมูล



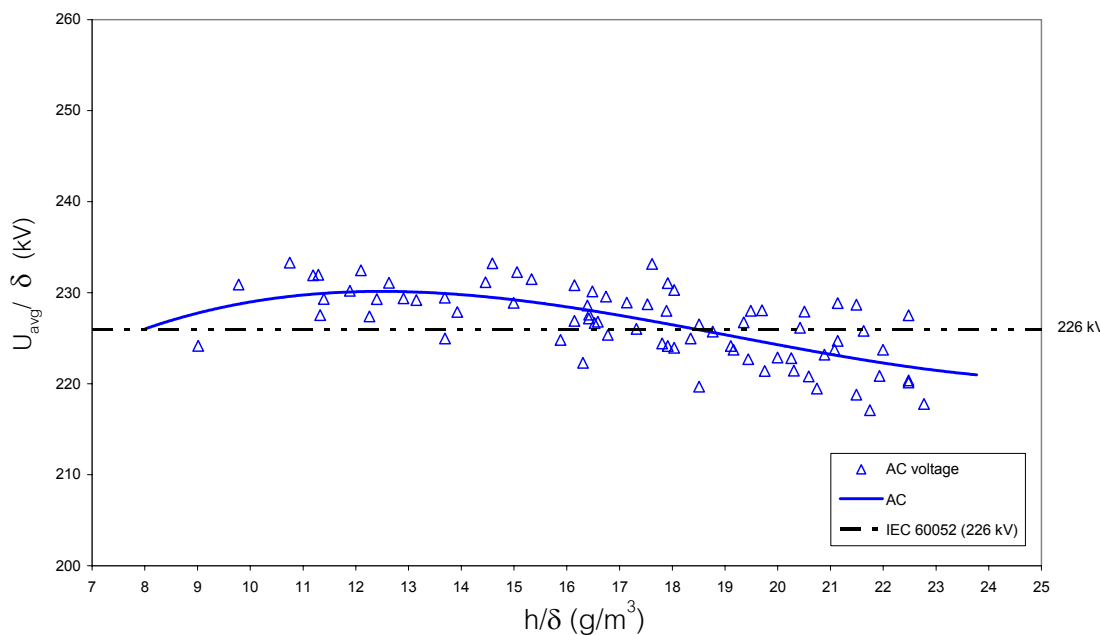
รูปที่ 5.9 ผลการทดลองแรงดันเบรกดาวน์กระแสสลับ ที่ระยะ 1 cm . ที่ความชื้นค่าต่าง ๆ



รูปที่ 5.10 ผลการทดลองแรงดันเบรกด้านกราฟกระแสลับ ที่ระยะ 3 cm. ที่ความชื้นค่าต่าง ๆ



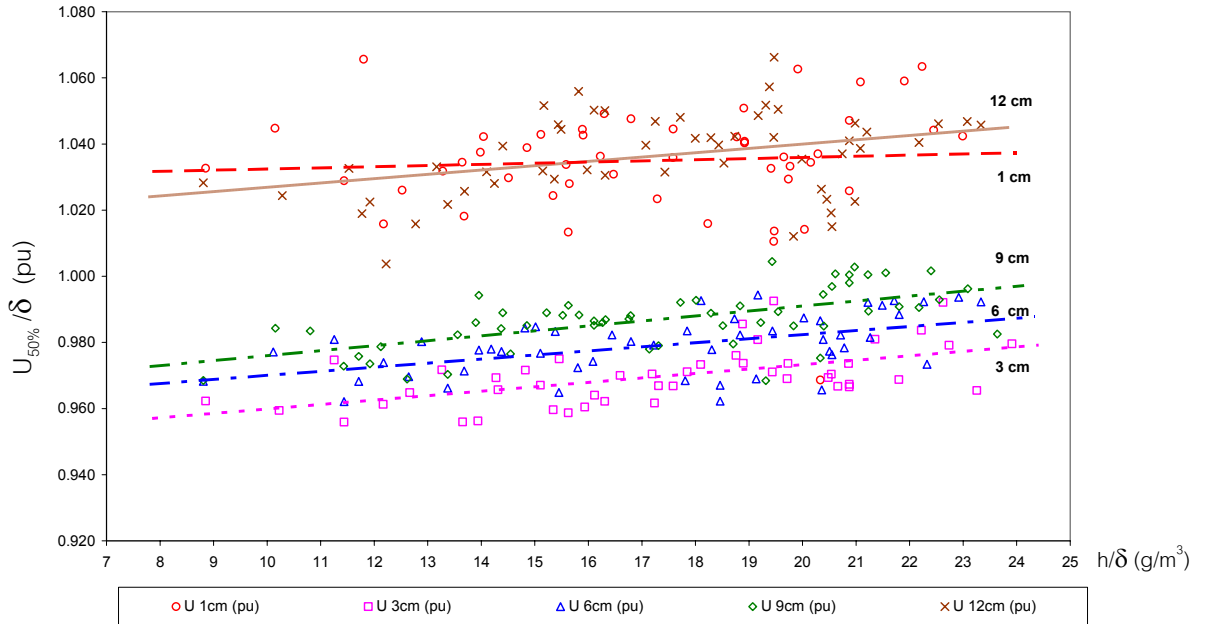
รูปที่ 5.11 ผลการทดลองแรงดันเบรกด้านกราฟกระแสลับ ที่ระยะ 6 cm. ที่ความชื้นค่าต่าง ๆ



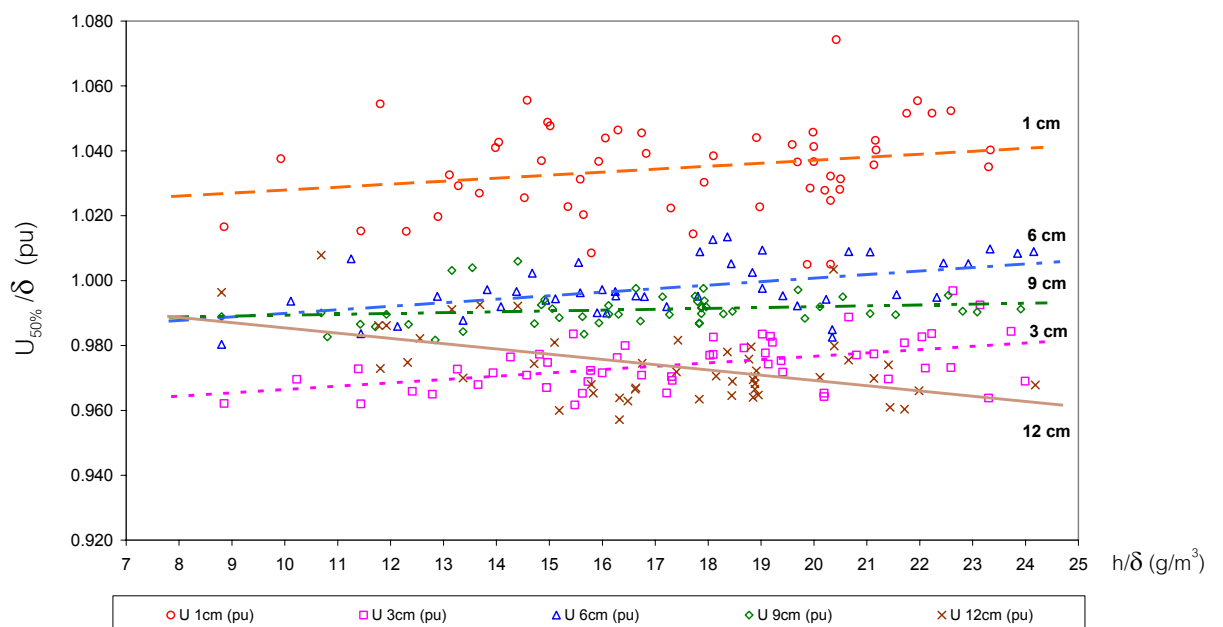
รูปที่ 5.12 ผลการทดลองแรงดันเบรกดาวน์กระแทกสลับ ที่ระยะ 9 cm. ที่ความชื้นค่าต่าง ๆ

จากผลการทดลอง พบร่วมกับค่าแรงดันเบรกดาวน์ของแก็ปทรงกลมมาตรฐาน จะมีค่าลดลง เมื่อค่าความชื้นเพิ่มขึ้น ซึ่งต่างจากในกราฟทดลองด้วยแรงดันอิมพัลส์ ในกรณีที่แกปมีขนาดเล็ก ๆ คือ ระยะแกป 1 cm. พบร่วมกับค่าความชื้นเพิ่มขึ้นค่าแรงดันเบรกดาวน์จะคงที่ไม่เปลี่ยนแปลงไปตามค่าความชื้นที่เพิ่มขึ้น กล่าวคือความชื้นไม่มีผลต่อการทดสอบแรงดันเบรกดาวน์ที่แกปเล็ก ๆ แต่เมื่อเพิ่มระยะแกปให้กว้างขึ้นเรื่อย ๆ ผลปรากฏว่าเมื่อความชื้นเพิ่มขึ้น ค่าแรงดันเบรกดาวน์กลับลดต่ำลง

การวิเคราะห์หาความสัมพันธ์ของความชื้นที่มีผลต่อแรงดันเบรกดาวน์ ทำโดยการแปลงค่าแรงดันเบรกดาวน์ที่ทดลองให้เป็นค่าเบอร์ยูนิตของค่าแรงดันมาตรฐาน IEC ที่ระยะแกปต่าง ๆ (ตามภาคผนวก ค.) ดังแสดงในรูปที่ 5.13 ถึง รูปที่ 5.15 สำหรับแรงดันอิมพัลส์ข้าบ梧 ข้าบ梧 และแรงดันกระแทกสลับ ตามลำดับ และใช้การวิเคราะห์ข้อมูลแบบเชิงเส้น (Linear Curve Fitting) เนื่องจากข้อมูลมีการกระจายที่ไม่กว้างมากนักเมื่อเทียบเป็นเบอร์ยูนิต ซึ่งความสัมพันธ์ของความชื้นนี้ จะแสดงในรูปของค่าสมประสิทธิ์ความชื้น (humidity coefficient)



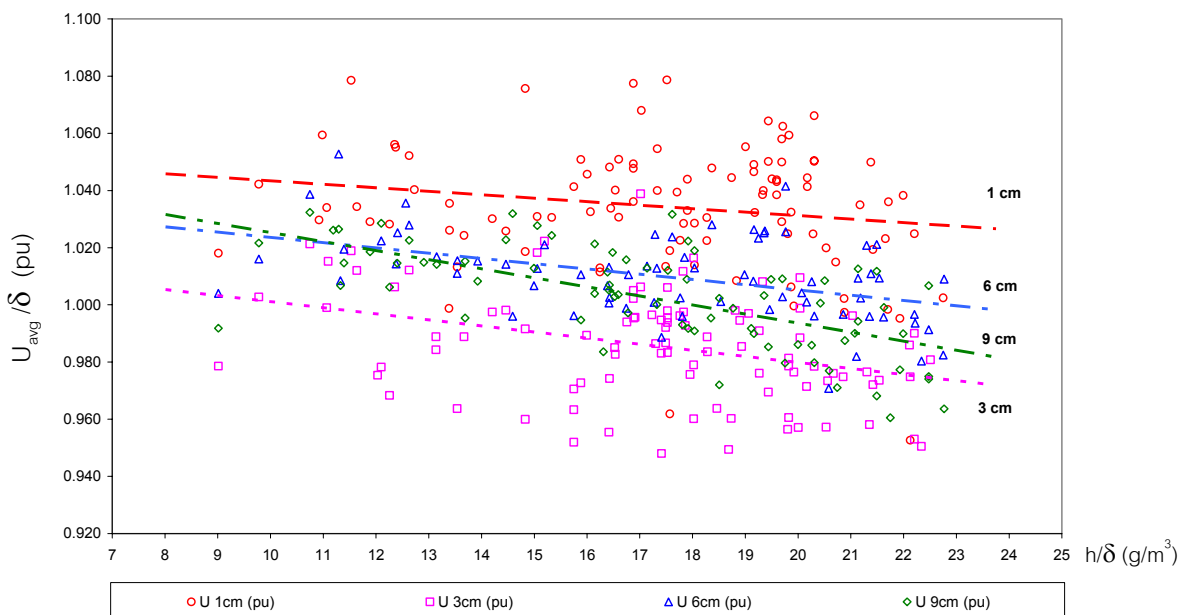
រូបថត 5.13 នៃការពារការងារនៃមិនុយក្នុងផលស្អាត់របស់វាក្នុងរបៀបបែករីយុទ្ធនិតិ



រូបថត 5.14 នៃការពារការងារនៃមិនុយក្នុងផលស្អាត់របស់វាក្នុងរបៀបបែករីយុទ្ធនិតិ

จาก รูปที่ 5.13 แสดงให้เห็นว่าค่าแรงดันเบรกดาวน์มีแนวโน้มเพิ่มขึ้น เมื่อความชื้นเพิ่มขึ้น ตามระดับแรงดันที่เพิ่มขึ้นจากการเพิ่มระยะแกปให้สูงขึ้น ต่างจากแรงดันอิมพัลส์ขั้วลบในรูปที่ 5.14 ที่เพิ่มขึ้นในช่วงแรกๆ และค่อยๆ ลดลงตามระยะแกปที่เพิ่มขึ้น โดยเฉพาะที่แกปสูงๆ กลับ มีค่าลดลงมากเมื่อความชื้นมีค่ามากขึ้น แสดงให้เห็นว่าความชื้นมีผลต่อแรงดันเบรกดาวน์อิมพัลส์ เมื่อระดับแรงดันสูงขึ้น และมีผลต่อแรงดันเบรกดาวน์สำหรับแรงดันอิมพัลส์ขั้วลบมาก ในกรณีที่ระยะแกปกว้างหรือที่ระดับแรงดันสูง

จากความสัมพันธ์ของความชื้นต่อการเกิดเบรกดาวน์ดังกล่าว ค่าแรงดันเบรกดาวน์อิมพัลส์ขั้วบวกของแกปทรงกลมมาตรฐาน เพิ่มขึ้นตาม h/δ ด้วยอัตราเฉลี่ย 0.112% ต่อ g/m^3 ส่วน แรงดันอิมพัลส์ขั้วบนนั้น ค่าแรงดันเบรกดาวน์ของแกปทรงกลมมาตรฐาน เพิ่มขึ้น h/δ ด้วยอัตราเฉลี่ย 0.082% ต่อ g/m^3 ที่ระยะแกป $1-9\text{ cm}$. สำหรับที่แกปสูงๆ คือ 12 cm . ค่าแรงดันเบรกดาวน์ของแกปทรงกลมกลับลดลงด้วยอัตรา 0.162% ต่อ g/m^3



รูปที่ 5.15 แรงดันเบรกดาวน์กระแสน้ำสัดปันในระบบเปอร์ฟูนิต

ในรูปที่ 5.15 แสดงให้เห็นว่าเมื่อความชื้นเพิ่มขึ้นตามระดับแรงดันที่เพิ่มขึ้นจากการเพิ่มระยะแกปค่าแรงดันเบรกดาวน์มีค่าลดลง แสดงให้เห็นว่าความชื้นมีผลต่อการทดสอบแรงดันกระแสน้ำสัดปันที่ทุกระดับแรงดัน จากความสัมพันธ์ดังกล่าวค่าแรงดันเบรกดาวน์ของแกปทรงกลมมาตรฐานนั้นมีอัตราลดลงตาม h/δ ด้วยอัตราเฉลี่ย 0.208% ต่อ g/m^3

ความสัมพันธ์ของแรงดันเบรกดาวน์ตามความชื้นสัมบูรณ์ในรูปของสัมประสิทธิ์ความชื้น
จากการทดลองในรูปที่ 5.13- 5.15 ได้แสดงไว้ในตารางที่ 5.1

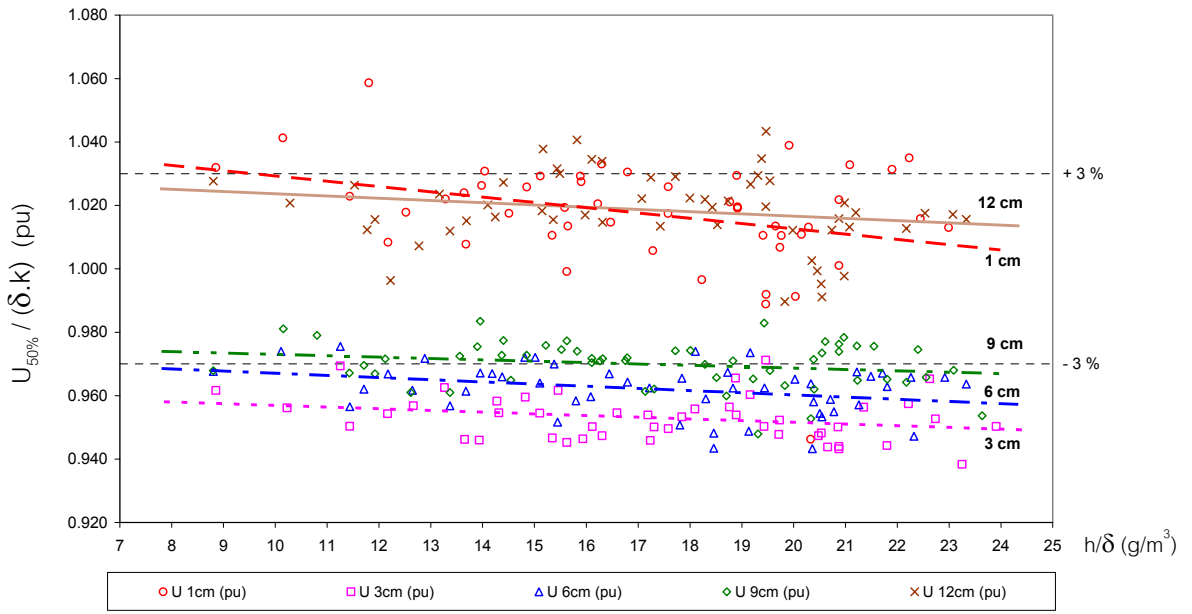
ตารางที่ 5.1 สัมประสิทธิ์ความชื้นที่ได้จากการทดลอง (%) ต่อ g/m^3

ระยะแกบ (cm) ระดับ สูบค่าน	แรงดันอิมพัลส์ ขั่วบวก	แรงดันอิมพัลส์ขั่วลบ	แรงดันกระasseสลับ
1	0.03	0.09	-0.12
3	0.13	0.10	-0.21
6	0.12	0.11	-0.18
9	0.15	0.03	-0.32
12	0.13	-0.16	na
เฉลี่ย	0.112	0.082	-0.208

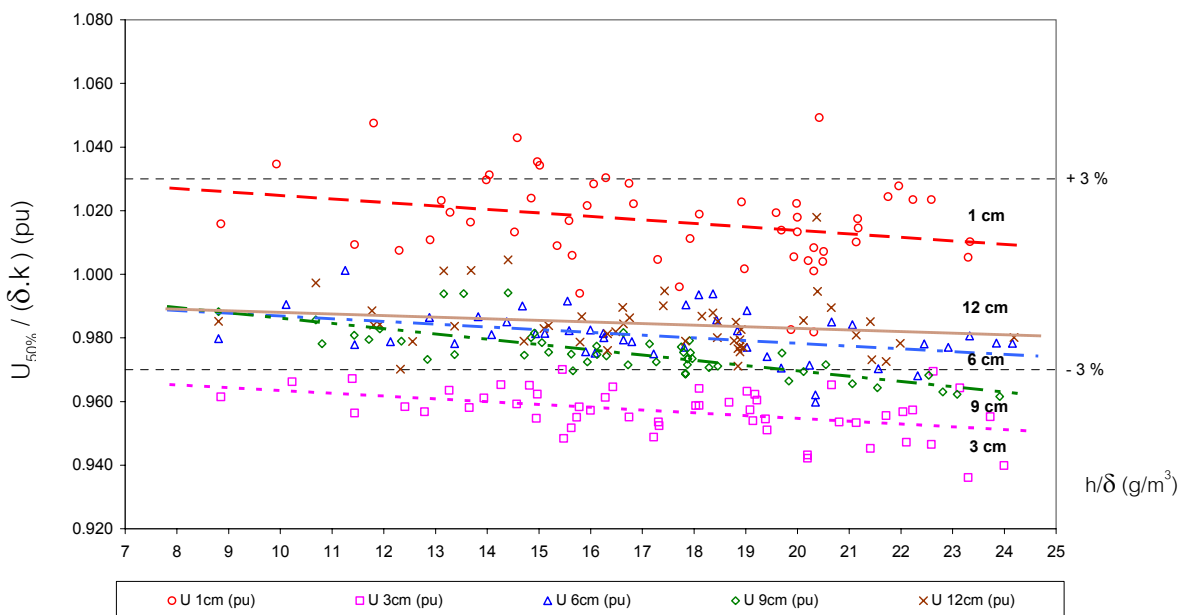
5.3 ตัวประกอบแก้ไขความชื้น (Humidity Correction Factor,k)

การวัดแรงดันด้วยแกปทรงกลมมาตรฐานนั้นได้มีการคำนึงถึงผลของความชื้นในบรรยากาศด้วยโดยใช้ค่าตัวประกอบแก้ไขความชื้นแปลงเป็นค่าตามที่มาตรฐาน IEC 60052 กำหนด ดังนั้นจึงนำค่าแรงดันเบรกดาวน์ที่ได้จากการทดลอง มาแปลงค่าด้วยตัวประกอบแก้ไขความชื้นตามมาตรฐาน IEC 60052 (คำนวนจากสมการ 3.3) แล้วแสดงผลเป็นค่าเบอร์ยูนิต ดังแสดงตามรูปที่ 5.16 ถึง รูปที่ 5.18 (+3% และ -3% เป็นความแม่นยำของการวัดด้วยแกปทรงกลมมาตรฐาน)

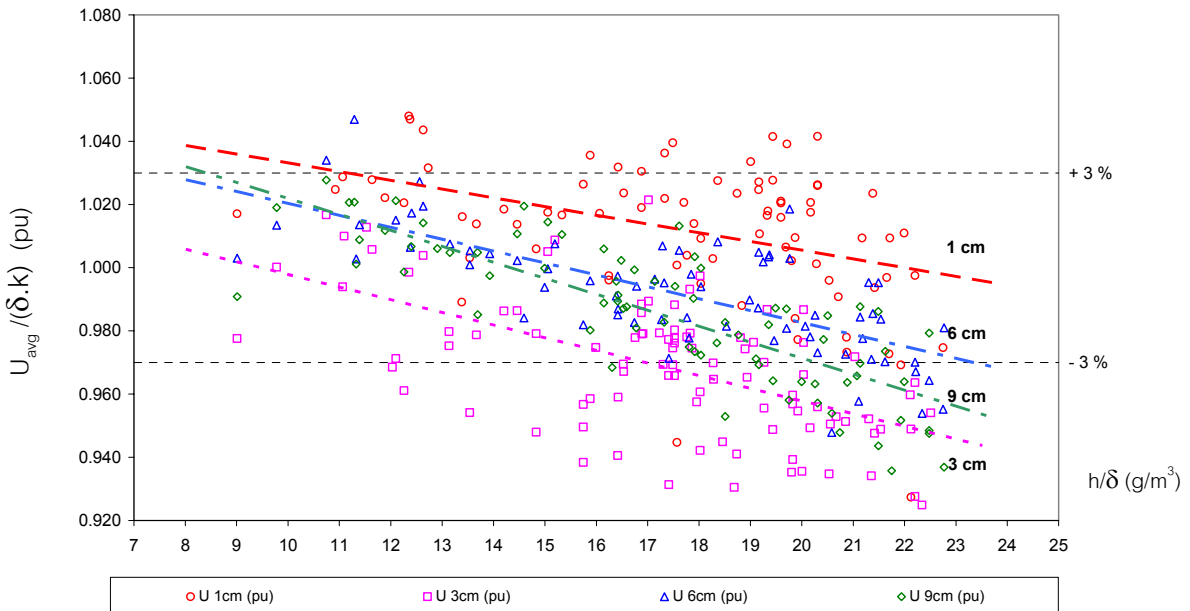
จากรูปที่ 5.16 และ 5.17 ผลการทดลองด้วยแรงดันอิมพัลส์ ในช่วง h/d ไม่เกิน 15 g/m^3 ซึ่งเป็นค่าที่มาตรฐาน IEC กำหนดไว้ ค่าแรงดันเบรกดาวน์ที่แปลงด้วยค่า k ตามมาตรฐานยังคงใช้ได้อยู่ แม้จะยังไม่ดีนัก แต่หลังจากช่วงที่ h/d มีค่าเกิน 15 g/m^3 ปรากฏว่าค่าแรงดันเบรกดาวน์ที่แปลง กลับลดลงเรื่อยๆ เมื่อค่าความชื้นเพิ่มขึ้น และแรงดันเบรกดาวน์อิมพัลส์ขั่วลบนั้นลดลงมากกว่าขั่วบวก โดยเฉพาะที่ความชื้นสูงๆ



รูปที่ 5.16 แรงดันเบรกดาวน์อิมพัลส์ขับ ragazzi เมื่อแปลงค่าด้วยตัวประกอบแก้ไขความชื้น (k)
ในระบบเปอร์ฟูนิต



รูปที่ 5.17 แรงดันเบรกดาวน์อิมพัลส์ข่าวลบ เมื่อแปลงค่าด้วยตัวประกอบแก้ไขความชื้น (k)
ในระบบเปอร์ฟูนิต



รูปที่ 5.18 แรงดันเบรกดาวน์กราฟแสสลับ เมื่อแปลงค่าด้วยตัวประกอบแก้ไขความชื้น (k)
ในระบบเปอร์ญิต

ส่วนผลการทดลองด้วยแรงดันกราฟแสสลับตามรูปที่ 5.13 นั้นในช่วงที่ h/δ ไม่เกิน 15 g/m^3 การแปลงค่าแรงดันเบรกดาวน์ กลับทำให้แรงดันเบรกดาวน์ลดลงอย่างเห็นได้ชัด และลดลงอย่างต่อเนื่องเมื่อ h/δ เกิน 15 g/m^3 เนื่องจากอัตราของค่าสัมประสิทธิ์แก้ไขความชื้นนั้นเป็นค่าที่ลดลงจากที่แสดงใน รูปที่ 5.18

5.4 ผลของความชื้นที่มีต่อระยะแกปอากาศ

เมื่อเปรียบเทียบค่าแรงดันเบรกดาวน์ที่เกิดขึ้นจากรูป 5.13 – 5.15 จะเห็นได้ว่าความคลาดเคลื่อนของแรงดันเบรกดาวน์จากการทดลองเกินค่าที่มาตรฐานที่กำหนดไว้คือ $\pm 3\%$ เมื่อระยะแกปเปลี่ยนไป ซึ่งอาจมีผลของระยะแกปมาเกี่ยวข้องด้วย ดังนั้นจึงนำแรงดันเบรกดาวน์ที่ได้จากการทดลองกับค่าแรงดันเบรกดาวน์ตามมาตรฐาน IEC 60052 [1] มาเปรียบเทียบกันให้อยู่ในรูปของ $\% U_b$ ตามสมการ

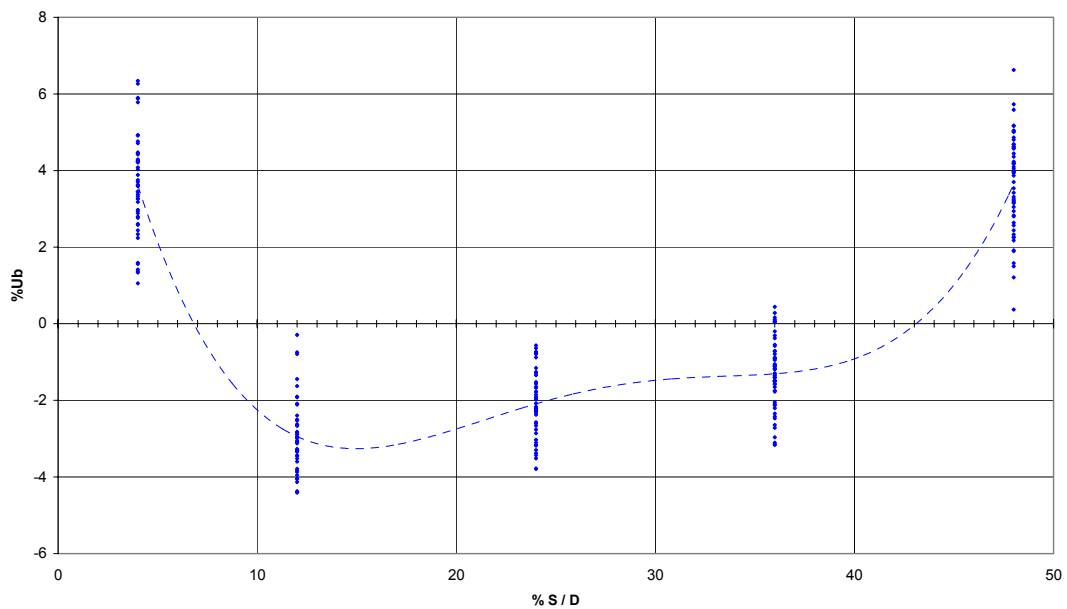
$$\frac{\% \text{Ub} = (\text{U}_{50\%}/\delta - \text{U}_{\text{IEC}}) \times 100}{\text{U}_{\text{IEC}}} \quad (5.1)$$

แล้วเขียนกราฟโดยแทนระยะแกปด้วย % S/D เมื่อ

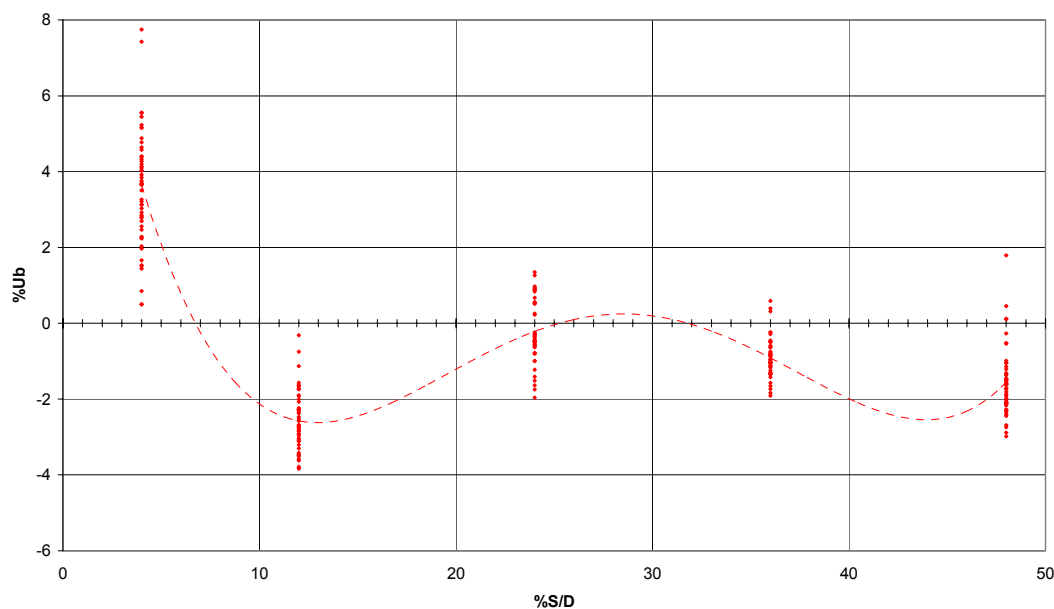
$$\% \text{S/D} = \frac{\text{ระยะแกป (cm)} \times 100 \%}{\text{เส้นผ่านศูนย์กลางทรงกลม}}$$

$$= \frac{\text{ระยะแกป (cm)} \times 100 \%}{25 \text{ cm}} \quad (5.2)$$

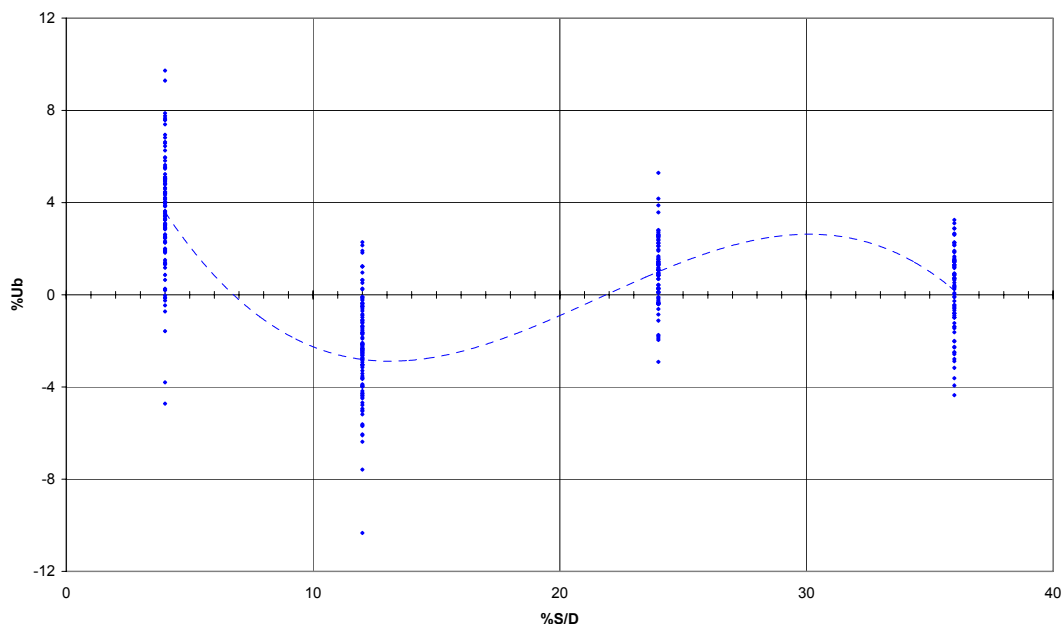
ดังแสดงในรูปที่ 5.19 ถึง 5.21



รูปที่ 5.19 เปอร์เซนต์ค่าแรงดันเบรกดาวน์อิมพัลส์ข้าบ梧 เทียบกับค่ามาตรฐาน (%Ub) กับ %S/D



รูปที่ 5.20 เปอร์เซนต์ค่าแรงดันเบรกดาวน์คอมพลัสส์ขั้วลบเทียบกับค่ามาตรฐาน (%Ub) กับ %S/D



รูปที่ 5.21 เปอร์เซนต์ค่าแรงดันเบรกดาวน์กระแสສลับ เทียบกับค่ามาตรฐาน (%Ub) กับ %S/D

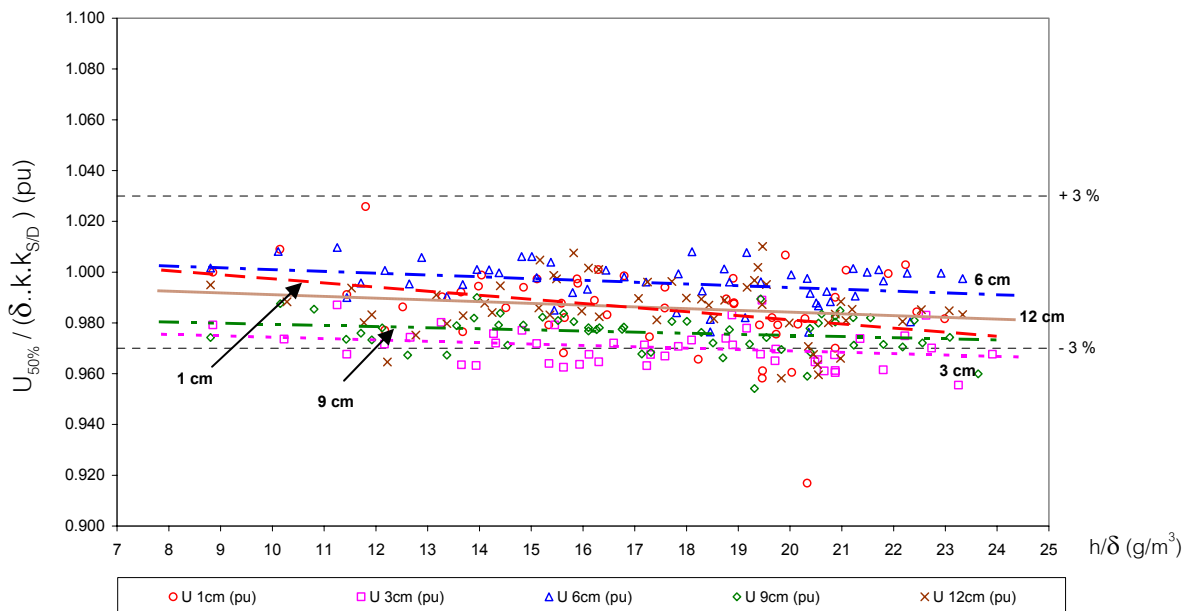
จากรูปที่ 5.19 ถึง รูปที่ 5.21 พบร่วมกันที่แกบ 3 cm. หรือ % S/D ประมาณ 10-20 % ค่า %P_s จะต่ำกว่าค่าที่มาตรฐาน IEC 60052 กำหนดไว้คือไม่เกิน 3% ทั้งแรงดันอิมพัลส์และแรงดันกระเพาะสลับ แต่เปลี่ยนแปลงตามระยะแกบ และจะสังเกตได้ว่าเมื่อระยะแกบเพิ่มขึ้น ความชื้นมีผลต่อแรงดันเบรกดาวน์อย่าง จนเมื่อระยะแกบสูงๆ กลับมีค่าสูงขึ้น โดยเฉพาะแรงดันอิมพัลส์ ข้อบากจะมีผลมากกว่าแรงดันอิมพัลส์ขัวลับและแรงดันกระเพาะสลับ หากเป็นผลมาจากการควบคุมการสตีร์มเมอร์มีการเปลี่ยนแปลงไปตามระยะแกบ

ดังนั้นในวิทยานิพนธ์นี้จึงเสนอให้ใช้ แฟคเตอร์ $K_{S/D}$ ในกรณีแก้ไขผลของระยะแกบที่มีต่อแรงดันเบรกดาวน์ของแกบทรงกลมมาตรฐานขนาด 25 cm. โดยแสดงตามสมการในตารางที่ 5.2

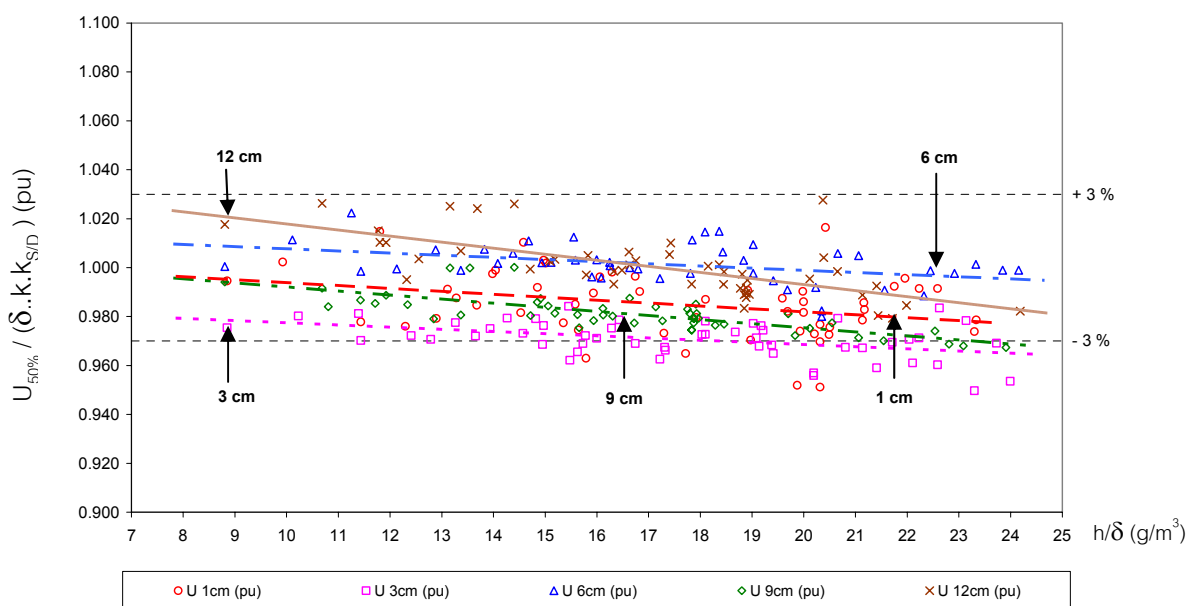
ตารางที่ 5.2 ค่าแฟคเตอร์แก้ไขผลระยะแกบอากาศ

แรงดันรูปคลื่น	$K_{S/D}$
อิมพัลส์ขัวบาก	$1 + [7.22 - 1.15 \times (\%S/D) + 0.036 \times (\%S/D)^2 - 0.0003 \times (\%S/D)^3]$
อิมพัลส์ขัวลับ	$1 + [5.22 - 1.26 \times (\%S/D) + 0.051 \times (\%S/D)^2 - 0.0006 \times (\%S/D)^3]$
กระเพาะสลับ	$1 + [12.05 - 2.61 \times (\%S/D) + 0.14 \times (\%S/D)^2 - 0.0022 \times (\%S/D)^3]$

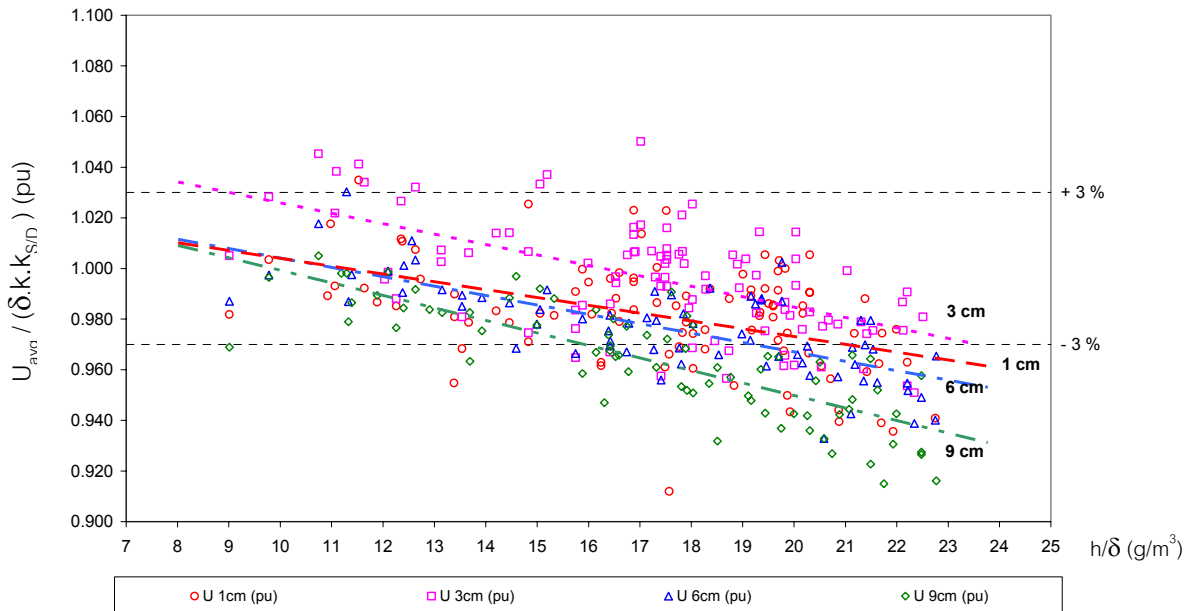
รูปที่ 5.22 ถึง รูปที่ 5.24 แสดงแรงดันเบรกดาวน์อิมพัลส์และแรงดันเบรกดาวน์กระเพาะสลับที่แปลงค่าตามมาตรฐาน IEC 60052 และแก้ผลของระยะแกบแล้ว แสดงในรูปของค่าเบอร์ยูนิต



รูปที่ 5.22 แรงดันเบรกดาวน์อิมพัลส์ข้าวบาก เมื่อแปลงค่าตามมาตรฐาน IEC
และแก้ผลของระยะแกpal ในระบบเปอร์ยูนิต



รูปที่ 5.23 แรงดันเบรกดาวน์อิมพัลส์ข้าวลบ เมื่อแปลงค่าตามมาตรฐาน IEC
และแก้ผลของระยะแกpal ในระบบเปอร์ยูนิต



รูปที่ 5.24 แรงดันเบรกดาวน์กราฟแสสลับ เมื่อเปลี่ยนค่าตามมาตรฐาน IEC

และแก้ผลของระยะแกป ในระบบเปอร์เซนต์

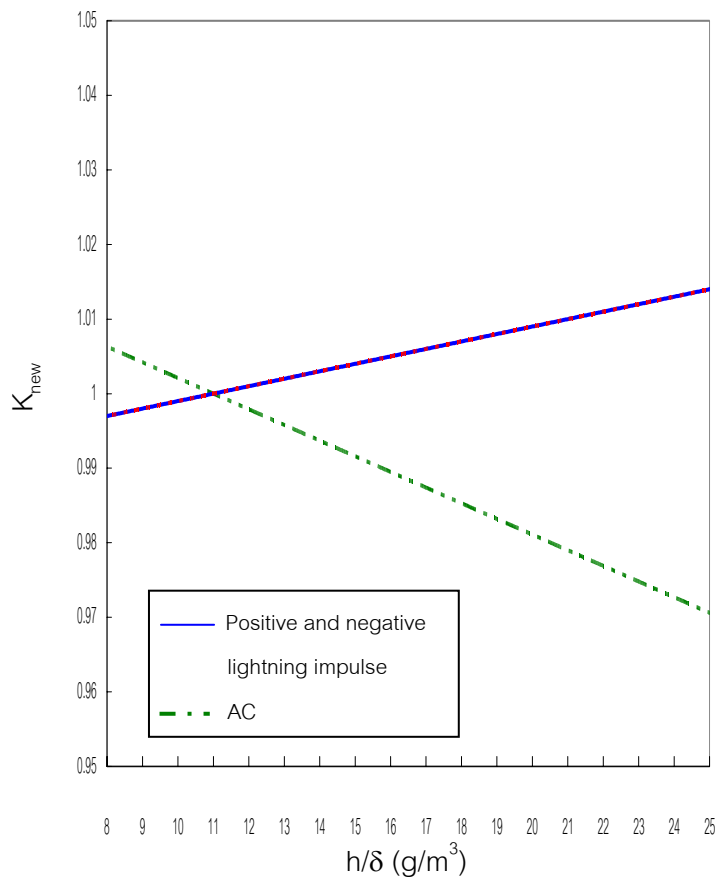
จะเห็นได้ว่าเมื่อเราแก้ผลระยะแกป แล้วค่าแรงดันเบรกดาวน์ยังคงอยู่ในช่วงค่าที่ยังยอมรับได้คือ $\pm 3\%$ สำหรับแรงดันอิมพัลส์ และแรงดันกราฟแสสลับที่ h/δ ไม่เกิน 15 g/m^3 ดังนั้นในงานวิจัยต่างๆ จึงถือว่าความชื้นไม่ค่อยมีผลต่อแรงดันเบรกดาวน์มากนักสำหรับแกปทรงกลมมาตรฐาน แต่ถ้าพิจารณาที่ h/δ เกินกว่า 15 g/m^3 แล้วจะพบว่าที่ความชื้นสูงๆ มีผลต่อแรงดันเบรกดาวน์อย่างมาก

5.5 ตัวประกอบแก้ไขความชื้นใหม่ (k_{new})

จากการวิเคราะห์จะ看出อาจสรุปได้ว่าการใช้ค่าตัวประกอบแก้ไขความชื้นตามที่มาตรฐาน IEC กำหนดนั้น ใช้แก้ไขได้ไม่ดีนักเมื่อค่า h/δ สูงเกินกว่า 15 g/m^3 จึงควรใช้ค่าตัวประกอบการแก้ไขความชื้นค่าใหม่ที่สามารถแก้ผลของความชื้นได้ในภูมิภาคที่มีความชื้นสูงๆ ที่ได้จาก การทดลอง และที่ h/δ เท่ากับ 11 g/m^3 จะไม่มีการแก้ไขผลความชื้นเนื่องจาก ที่ภาวะมาตรฐานความชื้นสัมบูรณ์มีค่าเท่ากับ 11 g/m^3 และความหนาแน่นอากาศสัมพัทธ์เท่ากับ 1 โดยที่ค่าตัวประกอบการแก้ไขความชื้นใหม่ที่ k_{new} เพื่อปรับแก้ให้แสดงไว้ในตารางที่ 5.3 และรูปที่ 5.25

ตารางที่ 5.3 ค่าตัวประกอบแก้ไขความชื้นที่เสนอ K_{new} ในพังก์ชันของ h/δ

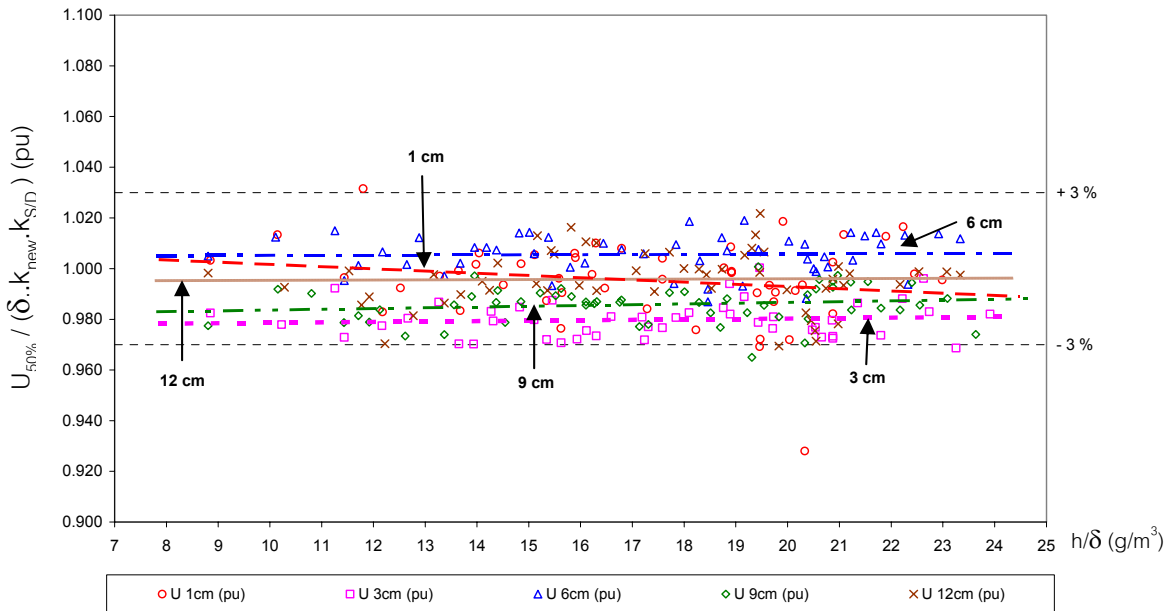
แรงดันรูปคลื่น	K_{new}	Humidity Range (g/m ³)
อิมพัลส์ข้าวบาก	$1 + 0.001 (h/\delta - 11)$	$8 \leq h/\delta \leq 25$
อิมพัลส์ข้าวคลบ	$1 + 0.001 (h/\delta - 11)$	
กระแสสลับ	$1.015 - 0.002 (h/\delta - 11)$	
หมายเหตุ	งานวิจัยนี้ทำการทดลองในช่วง h/δ เท่ากับ 8 - 25 g/m ³	



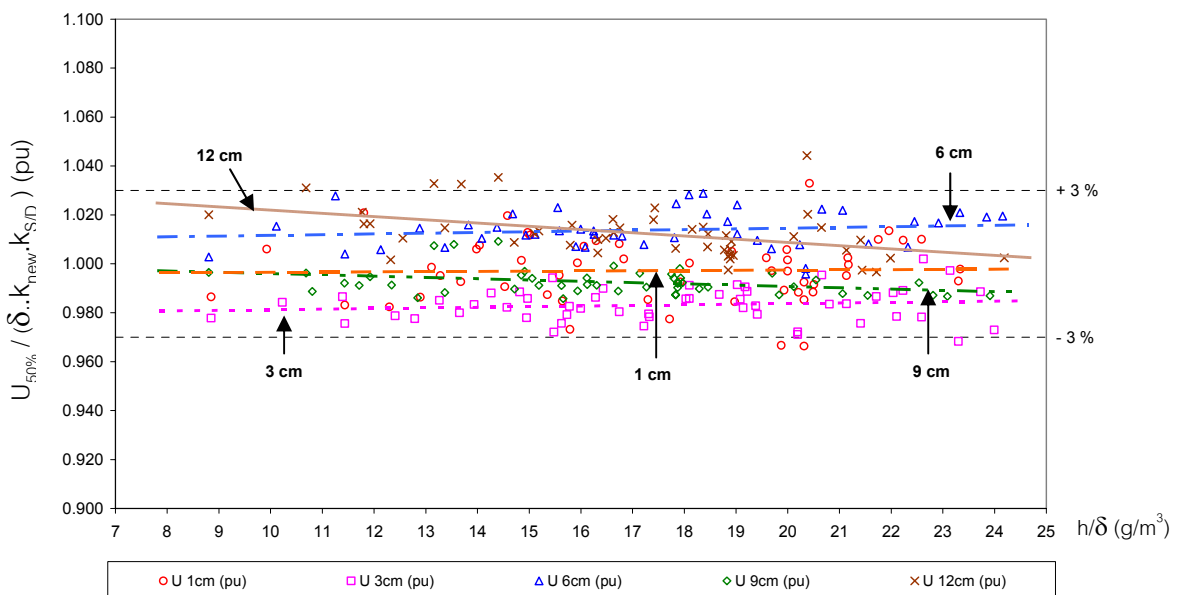
รูปที่ 5.25 ค่าตัวประกอบแก้ไขความชื้นที่เสนอสำหรับการทดสอบด้วย

แรงดันอิมพัลส์รูปคลื่นมาตรฐาน 1.2/50 μs และ แรงดันกระแสสลับ

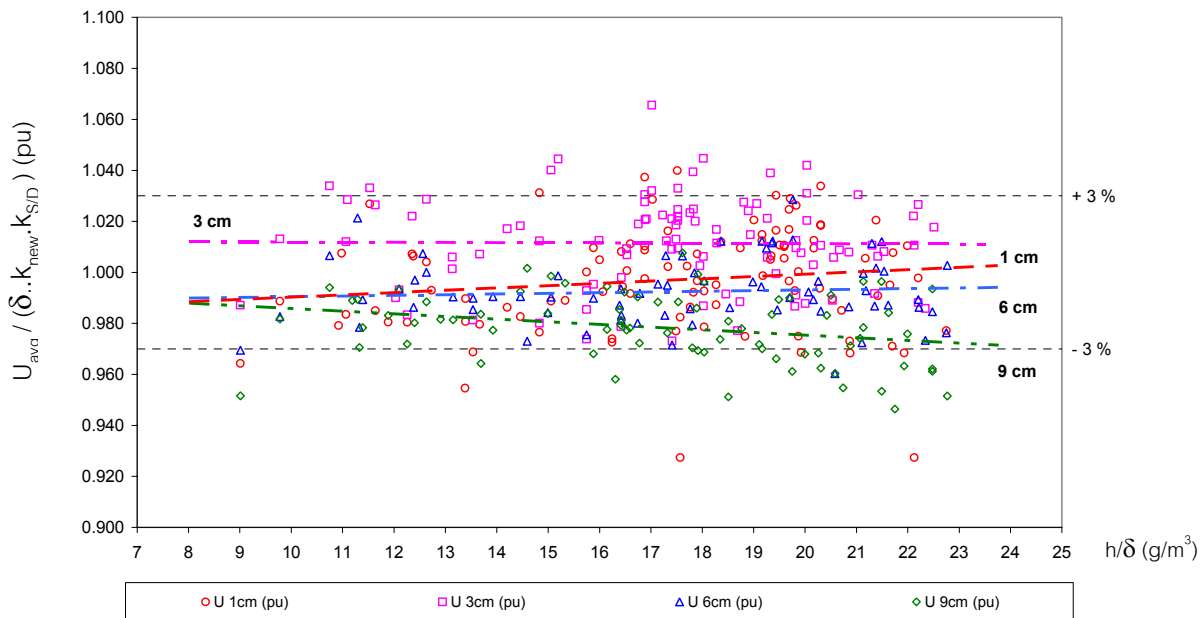
กราฟแสดงค่าแรงดันเบรกดาวน์ เมื่อ ใช้ตัวประกอบแก้ไขความชื้นที่เสนอ และ แก้ผลของความชื้นที่มีต่อแกปอากาศ (% S/D) แล้ว แสดงไว้ในรูปที่ 5.26 – 5.28



รูปที่ 5.26 แรงดันเบรกดาวน์อิมพัลส์ข้าวบาก เมื่อแปลงค่าด้วยตัวประกอบแก้ไขความชื้นที่เสนอ และแก้ผลของความชื้นที่มีต่อแกปอากาศ ในระบบเปอร์ญิตรูปที่ 5.26 – 5.28



รูปที่ 5.27 แรงดันเบรกดาวน์อิมพัลส์ข้าวบาก เมื่อแปลงค่าด้วยตัวประกอบแก้ไขความชื้นที่เสนอ และแก้ผลของความชื้นที่มีต่อแกปอากาศ ในระบบเปอร์ญิตรูปที่ 5.26 – 5.28



อุปที่ 5.28 และดันเบรกดาวน์กระแสສลับ เมื่อแปลงค่าด้วยตัวประกอบแก้ไขความชื้นที่เสนอ
และแก้ผลของความชื้นที่มีต่อแก่ปอากาศ ในระบบเบอร์ยูนิต

จะเห็นได้ว่าเมื่อใช้ค่าตัวประกอบแก้ไขความชื้นที่เสนอ สามารถแก้ผลของความชื้นได้
ดีกว่ามาก โดยเฉพาะขั้วบากสำหรับการทดลองด้วยแรงดันคอมพัลล์ ล้วนการแก้ผลของความชื้น
สำหรับกระแสສลับนั้นยังคงใช้ได้ดีเช่นกัน

บทที่ 6

สรุปผลการทดลองและข้อเสนอแนะ

6.1 สรุปผลการทดลอง

การวัดแรงดันสูงด้วยแกปทรงกลมมาตรฐานที่ภาวะอากาศต่างๆ ของห้องทดลอง ไฟฟ้าแรงสูง คณะวิศวกรรมศาสตร์ จุฬาลงกรณ์มหาวิทยาลัย เพื่อวิเคราะห์ถึงผลของความชื้นที่มีต่อการเกิดแรงดันเบรกดาวน์ของแกปทรงกลม โดยใช้แรงดันอิมพัลส์วูปคลื่นมาตรฐาน $1.2/50 \mu\text{s}$ และแรงดันทดลองกระระยะสั้น สามารถสรุปได้ว่า

1. ในกรณีที่จะยังแกปเมื่อขนาดแคบๆ หรือที่แรงดันเบรกดาวน์ค่าต่ำๆ พบร่วมกับความชื้นไม่ค่อยมีผลต่อแรงดันเบรกดาวน์ที่เกิดขึ้น ทั้งในกรณีของแรงดันเบรกดาวน์อิมพัลส์ฟ้าผ่ารูปคลื่นมาตรฐาน $1.2/50 \mu\text{s}$. ข้อบวก ข้อลบ หรือแรงดันเบรกดาวน์กระระยะสั้น

2. จากผลการทดลอง พบร่วมกับความชื้นเพิ่มขึ้นตามระยะแกป และมีค่าคงที่เมื่อระยะแกปกว้างๆ

3. สำหรับแรงดันอิมพัลส์ข้อลบนั้นค่าแรงดันเบรกดาวน์ของแกปทรงกลมมาตรฐานเพิ่มขึ้นตามความชื้นและระยะแกปจนถึงระยะแกปค่าหนึ่ง แรงดันเบรกดาวน์จะเริ่มคงที่และที่ระยะแกปกว้างๆ ค่าแรงดันเบรกดาวน์ก็ลดลงต่ำลง

4. สำหรับการทดลองด้วยแรงดันกระระยะสั้นค่าแรงดันเบรกดาวน์ของแรงดันกระระยะสั้นมีค่าลดลงเมื่อความชื้นสูงขึ้น

5. การใช้ค่าตัวประกอบแก้ไขความชื้น ตามที่มาตรฐาน IEC 60052 กำหนดยังคงใช้ได้สำหรับการทดลองด้วยแรงดันอิมพัลส์ที่ $h/δ$ ไม่เกิน 15 g/m^3 ส่วนการทดลองที่ $h/δ$ มากกว่า 15 g/m^3 การแก้ไขผลของความชื้นยังไม่เด่นัก ส่วนแรงดันกระระยะสั้นนี้ไม่สามารถนำมาใช้แก้ไขได้ จึงเสนอให้ใช้ค่าตัวประกอบแก้ไขความชื้นใหม่ให้เหมาะสมสำหรับการทดลองในสภาวะอากาศที่มีความชื้นสูง

6.2 ข้อเสนอแนะ

1. ในงานวิจัยนี้ไม่ได้ศึกษาผลความซึ้งของแรงดันเบรกดาวน์ด้วยการทดสอบแรงดันกระ แสตbling หรือรูปคลื่นแรงดันแบบอินอกเหนือจากรูปคลื่นแรงดันอิมพัลส์รูปคลื่นมาตรฐาน $1.2/50 \text{ ms}$ เช่นรูปคลื่นแรงดันความชันสูง (Steep front Impulse) ที่เวลาเบรกดาวน์อยู่ในช่วงน้อยกว่า 1 ms เพราะการเกิดความบกพร่องในระบบไฟฟ้ามาจากหลายสาเหตุไม่ใช่มาจากการฟ้าผ่าเท่านั้น และลักษณะรูปคลื่นฟ้าผ่าจริงก็แตกต่างจากรูปคลื่นมาตรฐาน ซึ่งจากการวิจัยในอดีตพบว่ามีผลต่อแรงดันเบรกดาวน์ในแกปทรงกลมมาตรฐานนี้ เช่นกัน ดังนั้นควรมีการศึกษาวิจัยในประเด็นนี้เพิ่มเติม

2. ผลการศึกษานี้ทำที่ทรงกลมขนาด 25 cm.Ø ควรทำที่ทรงกลมขนาดใหญ่กว่านี้ เพื่อยืนยัน K_{new} ที่เสนอและโดยเฉพาะอย่างยิ่งผลของ %S/D.

เอกสารอ้างอิง

1. IEC 60052.International Standard Voltage Measurement by Means of Standard Air Gaps,^{3rd} Edition,2002.
2. Gourgoulis,D.E.; Mikropoulos P.N.;and Stassinopoulos C.A.. Sparkover Voltage of Sphere Gaps Under Standard Lightning and Switching Impulse Voltages. IEE Proc.-Sci. Meas. Technol., 143, N 3, (May 1996) : 187-194.
3. Gourgoulis,D.E.;and Stassinopoulos C.A.. Sparkover Breakdown of Sphere Gaps Stressed by Standard Impulse Voltages. IEE Proc.-Sci. Meas. Technol., 144, N. 6, (November 1997) : 187-194.
4. Jose G.,and Fernando H. Study of the Breakdown Voltage of the Air in High Altitude,Applying Lightning Impulse (1.2/50 us) Under Conditions of Controlled Humidity and Temperature. High Voltage Engineering Symposium,22-27 August 1999 Conf. Pub. No. 467, 1999.
5. De Salles C.;Pennachi J.P.;and Martinez M.L.B.. A New Proposal to Determind the Humidity Correction Factor for Lightning Impulse Tests and Application to Commercial Configurations. IEEE Bologna PowerTech Conf. Proc., 2, (23 -26 June) ,2003.
6. Petcharaks K.. Applicability of the Streamer Breakdown Criterion to Inhomogeneous Gas Gaps. Diss. ETH No. 11192. Swiss Federal Institute of Technology, Zurich, 1995.
7. สำราญ สังฆะอด. วิศวกรรมไฟฟ้าแรงสูง. กรุงเทพมหานคร คณะวิศวกรรมศาสตร์ จุฬาลงกรณ์มหาวิทยาลัย,2547.
8. IEC 60-1.International Standard High-Voltage Test Techique, 2nd Edition,(n.p.): 1989.
9. คอมสัน เพ็ชรรักษ์. ความรู้พื้นฐานเกี่ยวกับการวัดแรงดันสูง. คณะวิศวกรรมศาสตร์ จุฬาลงกรณ์มหาวิทยาลัย,2544.
10. Kuffel E.;and Abdullah M. High Voltage Engineering. First Edition,(n.p.): Pergamon Press,1970

11. Steven C.C.;and Raymond P.C. Numerical Method for Engineers:With Software and Programming Applications. Fourth Edition,(n.p.): McGraw-Hill Companies.,2002
12. Giuseppe Zingales. Study of the Breakdown Voltage of the Air in High Altitude,Applying Lightning Impulse (1.2/50 us) Under Conditions of Air Humidity Measurement for H.V. Tests.. High Voltage Engineering Symposium,22-27 August 1999 Conf. Pub. No. 467, 1999.
13. Calva P.A.; Cabrera G.P.; Mejia J.; Portillo A.R.; Perez E.; Espino F.P.;and Fonseca J. Study of the Breakdown Voltage of the Air in High Altitude,Applying Lightning Impulse (1.2/50 us) Under Conditions ofAir Humidity Measurement for H.V. Tests.. High Voltage Engineering Symposium,22-27 August 1999 Conf. Pub. No. 467, 1999.
14. Kuffel, E.; Zaengl, W.; and Kuffel, J. High Voltage Engineering Fundamentals 2nd edition, Oxford: Newnes, 2000.
15. Ravindra, A., and Wolfgang, M. High Voltage Insulation Engineering: Wiley Eastern Ltd., New Age International Publishers ., 1995.
16. Vibholm, S.; and Thyregod, P. A Study of the Up-and-Down Method for non-Normal Distribution Functions. IEEE Trans on Electrical Insulation .23, n.3(June 1988): 357-364.
- 17.Montanari,G.C.; Mazzanti, G.; Cacciari, M.; and Fothergill J.C. In Search of convenient Techniques for Reducing Bias in the Estimation of Weibull Parameter for Uncensored Tests.. IEEE Trans. on Dielectrics and Electrical Insulation,vol.1, No.3.(June 1997) :306-313.

ภาคผนวก

ภาคผนวก ก

ข้อมูลความชื้นจากการเอนุนิยมวิทยาในรอบ 5 ปี

ค่าเฉลี่ยของความชื้นสัมพัทธ์ (%RH) อุณหภูมิ (องศาเซลเซียส) และความดันอากาศ (มิลลิบาร์) ในบริเวณกรุงเทพมหานคร ประเทศไทย จากการเอนุนิยมวิทยาในรอบ 5 ปี ตั้งแต่ปี พ.ศ.2542 – 2546 (ค.ศ. 2000 - 2004) แสดงในตารางต่อไปนี้

ตาราง ก.1 ข้อมูลความชื้นสัมพัทธ์ (%RH) ปี พ.ศ. 2543

Daily Mean Relative Humidity (%)												
		STATION : BANGKOK METROPOLIS						YEAR : 2000				
DATA	JAN	FEB	MAR	APR	MAY	JUN	JUL	AUG	SET	OCT	NOV	DEC
1	62	54	78	73	74	77	73	74	84	82	62	68
2	62	54	70	76	71	72	82	73	80	78	54	66
3	60	55	65	76	72	84	83	79	85	76	57	63
4	60	55	74	75	79	89	80	72	83	80	60	62
5	63	55	74	75	79	84	80	71	87	81	60	63
6	74	54	76	76	77	79	86	70	79	83	66	60
7	75	55	76	72	71	74	81	72	75	81	66	62
8	78	54	76	70	69	75	71	80	68	86	65	62
9	78	56	73	74	66	77	74	84	69	75	65	64
10	76	64	75	80	66	71	73	75	66	76	57	67
11	78	74	72	80	66	70	75	73	69	81	62	71
12	75	73	55	81	71	63	82	69	75	76	65	66
13	78	76	52	80	74	70	78	73	70	81	62	62
14	78	75	57	92	82	72	79	75	71	82	61	65
15	77	79	66	90	82	67	76	71	80	87	63	63
16	76	75	56	84	72	79	79	65	68	84	58	65
17	72	75	58	83	75	83	76	69	60	82	62	65
18	76	77	66	81	79	84	75	73	75	73	66	64
19	74	75	70	78	80	82	73	77	86	78	69	62
20	62	76	72	83	77	79	82	69	82	75	67	61
21	58	76	67	75	83	80	80	71	81	77	62	62
22	59	74	70	82	85	80	75	73	80	81	61	61
23	60	75	72	86	83	83	74	82	77	80	64	57
24	54	75	84	74	79	82	72	87	80	79	63	56
25	60	70	68	77	74	81	71	79	80	80	66	56
26	59	74	64	75	72	76	65	77	75	80	80	69
27	54	60	64	75	76	89	66	77	78	78	74	61
28	56	58	66	76	71	81	66	73	88	86	67	63
29	56	74	82	74	68	75	69	83	88	85	67	60
30	58		76	74	74	74	75	80	80	86	66	63
31	56		75		82		71	77		83		61

ตาราง ก.2 ข้อมูลความชื้นสัมพัทธ์ (%RH) ปี พ.ศ. 2544

Daily Mean Relative Humidity (%)													
		STATION : BANGKOK METROPOLIS						YEAR : 2001					
DATA		JAN	FEB	MAR	APR	MAY	JUN	JUL	AUG	SET	OCT	NOV	DEC
1		56	66	77	79	82	73	72	70	69	83	81	70
2		59	72	75	77	89	70	67	69	66	84	85	69
3		59	75	74	72	88	76	69	69	68	86	81	81
4		57	78	75	73	88	78	70	70	69	82	75	85
5		65	75	66	73	78	70	75	85	80	87	75	75
6		71	71	69	73	76	73	67	91	79	84	65	71
7		71	75	76	72	72	86	84	83	81	85	68	67
8		78	79	74	71	70	85	80	80	73	87	65	69
9		75	76	82	72	77	76	87	69	79	86	61	61
10		76	86	89	78	72	72	81	79	76	88	61	62
11		77	71	92	76	71	79	79	73	71	82	64	63
12		73	66	94	72	79	77	77	74	78	81	62	65
13		75	63	84	76	76	69	68	76	80	82	64	71
14		83	69	80	70	66	73	70	81	76	80	72	70
15		76	60	74	73	71	68	73	64	78	83	67	61
16		64	53	73	74	90	68	72	74	80	72	63	63
17		59	51	72	68	81	76	70	76	68	76	63	66
18		62	56	70	72	78	69	69	76	81	83	60	68
19		63	71	81	69	75	63	69	66	85	89	60	65
20		61	74	78	63	77	62	67	71	80	79	57	61
21		78	77	81	66	79	70	66	70	84	70	59	61
22		77	77	89	67	73	74	74	67	84	68	58	56
23		74	75	80	67	76	68	74	69	88	88	64	54
24		73	62	75	70	72	66	71	67	87	88	64	53
25		74	51	76	70	71	77	66	65	90	83	65	57
26		73	71	73	76	77	76	71	67	89	85	48	61
27		74	73	71	72	80	74	73	70	87	85	55	64
28		73	74	68	70	77	81	69	71	87	85	61	63
29		74		66	76	71	77	69	72	86	82	67	60
30		61		70	79	72	75	66	68	82	80	68	58
31		69		76		70		73	72		83		59

ตาราง ก.3 ข้อมูลความชื้นสัมพัทธ์ (%RH) ปี พ.ศ. 2545

Daily Mean Relative Humidity (%)													
		STATION : BANGKOK METROPOLIS						YEAR : 2002					
DATA		JAN	FEB	MAR	APR	MAY	JUN	JUL	AUG	SET	OCT	NOV	DEC
1		60	59	76	69	70	73	75	75	73	79	81	81
2		53	76	76	73	73	75	75	75	72	82	80	80
3		53	78	76	71	83	80	79	79	72	78	70	78
4		58	74	76	69	75	76	84	70	74	81	63	76
5		61	74	81	68	75	78	80	70	71	84	62	69

Daily Mean Relative Humidity (%)													
STATION : BANGKOK METROPOLIS							YEAR : 2001						
DATA	DATA	DATA	DATA	DATA	DATA	DATA	DATA	DATA	DATA	DATA	DATA	DATA	DATA
6	58	73	76	70	75	75	75	73	74	80	63	75	
7	55	76	85	74	74	76	82	71	68	86	67	79	
8	56	74	80	73	70	74	79	69	68	64	63	80	
9	59	78	66	67	80	74	78	72	75	62	64	75	
10	61	75	69	68	83	72	77	68	80	58	61	68	
11	62	76	77	71	92	82	79	69	81	57	73	65	
12	70	74	75	74	78	79	74	73	80	64	79	71	
13	75	76	76	63	81	77	77	71	73	66	78	68	
14	76	74	79	67	81	76	76	72	69	64	84	68	
15	72	73	79	70	75	75	83	74	67	69	82	67	
16	75	70	78	71	77	77	84	75	72	76	82	68	
17	74	71	78	70	77	73	84	74	67	82	80	66	
18	69	71	78	70	81	75	83	76	75	75	75	67	
19	67	72	69	69	77	73	82	70	83	77	71	73	
20	76	64	62	69	91	79	77	67	82	76	71	73	
21	76	73	73	68	82	79	79	84	78	75	68	71	
22	65	73	72	71	77	80	76	80	90	83	76	60	
23	60	74	74	66	73	84	66	71	88	76	88	61	
24	63	75	63	70	72	82	68	77	85	82	78	65	
25	72	74	71	77	78	85	65	82	86	77	81	65	
26	75	78	75	81	77	82	68	82	77	81	76	70	
27	78	75	75	80	73	88	70	74	81	93	69	79	
28	75	76	72	74	74	86	73	69	78	88	68	68	
29	65		72	69	78	77	78	76	80	80	72	69	
30	56		74	71	76	76	83	75	79	81	70	67	
31	59		75		77		76	74		87		66	

ตาราง ก.4 ข้อมูลความชื้นสัมพัทธ์ (%RH) ปี พ.ศ. 2546

Daily Mean Relative Humidity (%)													
STATION : BANGKOK METROPOLIS							YEAR : 2003						
DATA	JAN	FEB	MAR	APR	MAY	JUN	JUL	AUG	SET	OCT	NOV	DEC	
1	67	56	76	75	73	71	91	68	79	88	62	56	
2	69	55	77	69	71	71	81	68	72	77	62	58	
3	62	59	76	64	72	70	84	68	72	77	61	57	
4	62	65	78	68	70	77	75	78	70	64	45	56	
5	63	54	69	67	66	72	78	74	74	69	62	58	
6	66	57	71	69	67	72	86	72	79	73	64	54	
7	69	55	67	71	65	68	85	75	72	86	71	57	
8	66	60	74	75	70	63	82	75	65	85	67	59	
9	64	70	79	75	70	64	85	73	67	76	64	59	
10	63	75	66	72	79	67	74	74	73	75	61	62	
11	65	78	71	72	76	65	70	73	74	76	61	65	
12	60	75	74	71	79	68	74	78	76	80	57	61	

Daily Mean Relative Humidity (%)												
STATION : BANGKOK METROPOLIS YEAR : 2001												
DATA	JAN	FEB	MAR	APR	MAY	JUN	JUL	AUG	SET	OCT	NOV	DEC
13	64	75	71	72	85	63	86	74	85	83	61	57
14	65	76	78	71	69	65	85	78	82	78	62	56
15	69	74	71	73	69	61	77	71	81	81	64	56
16	71	76	74	70	67	70	75	78	79	71	67	56
17	73	76	73	69	69	78	68	89	83	69	64	55
18	78	77	74	67	68	76	69	86	82	73	65	60
19	72	73	73	71	71	71	69	76	83	64	72	55
20	60	73	73	68	72	69	72	75	85	68	74	54
21	69	76	76	71	74	71	68	79	87	66	73	55
22	71	73	74	72	75	79	69	78	78	65	59	58
23	76	76	84	69	68	86	79	76	80	81	60	62
24	74	72	77	72	70	78	86	82	83	87	62	60
25	69	76	78	71	72	64	90	77	84	83	59	64
26	73	75	86	68	67	78	91	71	83	76	63	63
27	77	72	73	65	63	77	81	72	88	72	60	55
28	78	73	75	65	62	78	77	69	86	69	55	60
29	73		79	76	63	78	78	61	84	64	54	61
30	57		75	67	66	88	79	73	87	58	57	60
31	59		77		70		88	88		62		54

ตาราง ก.5 ข้อมูลความชื้นสัมพัทธ์ (%RH) ปี พ.ศ. 2547

Daily Mean Relative Humidity (%)												
STATION : BANGKOK METROPOLIS YEAR : 2004												
DATA	JAN	FEB	MAR	APR	MAY	JUN	JUL	AUG	SET	OCT	NOV	DEC
1	58	77	69	73	75	68	67	79	76	81	55	58
2	60	77	67	70	74	67	68	68	88	84	55	54
3	57	80	75	70	79	63	69	81	88	74	54	55
4	60	80	80	68	78	64	68	78	84	70	55	56
5	59	77	77	73	88	76	71	81	82	74	55	55
6	54	78	79	71	83	80	69	80	77	77	56	49
7	55	85	67	69	78	86	76	72	70	74	55	51
8	58	92	56	67	80	83	77	71	66	70	58	54
9	63	74	54	71	76	79	73	83	68	67	64	54
10	70	66	55	71	75	85	79	80	69	67	73	56
11	80	61	76	71	72	82	69	75	69	76	68	57
12	84	54	78	72	65	84	71	71	70	72	68	58
13	82	57	80	74	70	81	65	65	83	67	64	54
14	72	56	79	64	70	85	74	63	82	66	64	57
15	79	56	77	69	78	77	65	66	73	64	65	51
16	79	58	76	60	63	76	59	69	73	66	76	55
17	77	68	73	58	76	73	62	70	85	60	65	57
18	77	73	72	58	73	83	66	76	85	56	58	58
19	75	77	77	66	71	90	68	89	79	57	56	49

Daily Mean Relative Humidity (%)												
STATION : BANGKOK METROPOLIS YEAR : 2001												
DATA	JAN	FEB	MAR	APR	MAY	JUN	JUL	AUG	SET	OCT	NOV	DEC
20	78	80	80	67	79	81	68	78	78	58	62	58
21	80	78	74	68	92	71	66	73	86	60	53	54
22	70	80	79	67	85	66	76	76	78	63	46	65
23	66	81	76	69	68	67	82	68	75	63	53	66
24	57	78	62	71	68	64	77	68	72	62	53	59
25	56	74	63	70	68	69	82	68	76	61	59	66
26	61	68	67	68	74	69	75	71	73	50	65	57
27	59	68	72	71	74	69	76	70	73	54	64	56
28	63	74	76	84	70	74	75	74	61	61	59	53
29	69	73	75	71	70	71	73	76	68	60	62	53
30	79		74	67	67	70	72	74	80	61	60	57
31	81		73		68		76	79		57		56

ตาราง ก.6 ชั้นarelative humidity (องศาเซลเซียส) ปี พ.ศ.2543

Daily Mean Dry Temperature (Celsius)												
STATION : BANGKOK METROPOLIS YEAR : 2000												
DATA	JAN	FEB	MAR	APR	MAY	JUN	JUL	AUG	SET	OCT	NOV	DEC
1	28.4	25	25.7	30.7	30.4	29	30.2	29.9	27.9	28.1	27.6	29.8
2	28.5	23.9	26.3	31.1	30.2	29.7	28.2	30.1	28.6	29	25.9	30.6
3	29.5	25.2	28.7	31.3	30.7	27.6	28.8	28.7	27.3	29.9	25.5	30
4	29.3	25.8	29.1	31.8	28.8	26.6	29.1	28.9	27.6	28.2	25.1	28.3
5	29.7	26.8	30.2	31.4	28.7	28	29	29	26.8	28.1	25.5	27.7
6	28.2	27.5	29.9	30.8	29.3	29.6	27.4	29.5	27.9	27.8	25.8	27.6
7	28.4	27	30.5	31.5	30.4	30.3	28.4	29.4	28.5	28.1	26.4	27.8
8	28.2	27.1	30.3	31.3	31.2	29.7	29.3	28.6	29.5	27.2	27.5	28.7
9	28.3	27.5	30.4	31.5	31.3	29.6	29.3	27.8	28.9	28.8	27.9	29.1
10	28.9	28.1	30	28.3	31.5	30.1	29.1	29.4	29.3	29.3	28.2	29.2
11	28.9	28.1	30.1	27.8	31.1	29.9	28.1	30.7	28.7	28.4	29	29.2
12	28.7	28.5	30.4	28.2	30.5	30.3	27	30.8	28.5	28.6	29.1	28.9
13	28.3	28.3	30	27.8	29.9	29.6	28.2	30.3	29.4	28.1	28.3	29.4
14	28.8	29	30.1	26	29.3	30.4	28.2	29.6	29.4	28.3	28.9	28.9
15	28.5	28.9	29.8	26.7	29.2	30.6	28.2	28.6	28.3	27.2	29.8	27.8
16	28.2	29.3	30.5	28.2	29.9	29.1	28.1	29.6	29.4	27.6	29.3	28.8
17	28.4	28.8	30.5	27.4	29.6	28.4	28.5	29.7	30	27.5	28.7	29.2
18	28.4	28.5	30.7	28.3	29.5	27.9	29.3	29.4	28.6	28.7	27.8	29
19	27.2	29	30.7	28.8	29.4	28.7	29	28.3	27.9	28.9	28.6	29.5
20	26.5	29	30.6	28.6	29.1	28.2	28.2	29.6	28.5	29.9	29.7	30
21	27.3	29.4	30.6	30.1	28	28.4	28.1	29.6	28.7	30	27	29.9
22	27.8	29.8	30.8	28.2	28	28.6	28.5	29.2	28.4	28.6	25	28.8
23	28.1	29.7	31.3	28.2	28.7	28.2	28.8	27	29	28.6	25.7	27.7
24	28.8	30.2	27	30	29.5	27.8	29.5	26.4	28.4	28.4	27.8	25.6
25	29.6	29.6	29.5	30	30.3	28.2	29	28.2	28.9	28.9	29.2	25.4

Daily Mean Dry Temperature (Celsius)												
STATION : BANGKOK METROPOLIS YEAR : 2000												
DATA	JAN	FEB	MAR	APR	MAY	JUN	JUL	AUG	SET	OCT	NOV	DEC
26	29	28.7	29.5	30.3	30.2	28.3	29.7	28.5	28.9	28.8	27.4	26
27	25.7	27.4	29.4	30.6	29.5	27.3	29.9	28.7	29	29.3	29.3	26.6
28	25.1	29.8	30.3	30.1	30.7	28.3	29.8	28.4	26.9	28	30.1	26.5
29	25.4	28.1	28.8	30.5	31.6	29.5	29.6	27.2	27.4	27.8	29.6	28.6
30	25.8		29.6	30.5	31.1	30.1	29.2	28.3	28.6	27.2	29.7	29.5
31	26.5		30.1		28.9		30.1	28.2		27.5		29.3

ตาราง ก.7 ข้อมูลอุณหภูมิ (องศาเซลเซียส) ปี พ.ศ.2544

Daily Mean Dry Temperature (Celsius)												
STATION : BANGKOK METROPOLIS YEAR : 2001												
DATA	JAN	FEB	MAR	APR	MAY	JUN	JUL	AUG	SET	OCT	NOV	DEC
1	27.5	29.7	30	30	29.3	31.2	29.5	29.6	30.5	28.1	28.4	28.1
2	27.3	29.3	30.4	30.5	27.5	31.5	29.6	29.2	31	28.1	26.8	28.6
3	27.6	29.6	30.6	31.2	27.7	30	29.8	29.8	30.9	27.6	28.7	28.1
4	28.2	29.4	30.5	31.4	27.7	29.8	29.9	30.6	30.9	28.3	29.9	26.6
5	28.6	29.5	30.9	31.4	30.2	30.1	29.3	27.5	29.3	27.9	29.7	27.8
6	27.4	29.7	31.2	31.3	30.9	30.1	30.1	26.8	29.5	28.3	30.6	28.9
7	28.8	30.1	30.3	31.5	31.6	28.2	28.4	28.3	29.2	27.9	29.3	29.5
8	28.5	29.5	29.9	31.6	30	28.2	29	28.9	30.1	27.9	30	29.3
9	29.1	29.4	27.2	31.9	28.9	29.8	28	29.6	28.4	28	29.7	28.5
10	29.5	26.7	24.5	31.8	29.7	29.8	28.2	28.1	28.6	26.6	28.8	28.3
11	29.2	27.8	23.8	31.9	29.8	28.2	29.2	28.6	29.8	27.9	26.8	28.6
12	29.3	29.3	23.9	31.1	28.8	28.9	28.7	28.9	29.2	28.7	27.3	28.5
13	29.1	30.8	24.8	31.4	29.7	29.2	30	28.6	28	28.5	28	28.8
14	27.5	28.8	26.9	32.1	31	29.4	29.9	27.9	29	29.5	25.1	28.2
15	28.2	28.7	28.5	31.2	30.2	29.3	29.8	29.6	29.2	28.8	23.4	27.3
16	28.2	27.5	29.3	31	26.8	29.5	29.9	28.4	30.7	30.5	24.5	27.9
17	27.6	27	30.5	32.2	28.9	28.9	29.5	28.4	31.4	29.7	25.4	29.5
18	27.7	28.1	30.6	32.1	28.9	30	29.9	28.6	28.9	27.6	25.6	29.7
19	28.7	28.7	28.2	32.4	29.6	30	30.2	30.2	28	26.8	25.2	29.9
20	30.4	29.3	28.5	32.6	29.1	30.5	30.3	29.2	28.8	28.5	25	29.6
21	28.3	29.4	28.5	32.5	29.3	29.3	29.9	29.5	28.3	29.7	24.5	28.6
22	28.5	29.5	27.3	32.4	30.4	29	29.2	29.9	28.3	29.7	24.5	24.9
23	29.5	29.7	29	32.7	29.3	30.1	29.3	30.1	27.3	25.8	25	23
24	29.7	30.2	29.6	32.4	29.8	29.9	30.8	30.4	28	26.9	25.9	23.7
25	29.5	29.8	29.9	32.3	30.2	29	31.1	30.9	27.6	28	26.4	24
26	29.5	29.4	30.6	30.8	29.4	28.8	30.7	30.5	27.5	27.9	26.3	24.6
27	29.2	29.8	30.2	30.8	29	29	30.5	29.4	27.5	27.7	25.5	25.6
28	29.7	30.1	31	32.4	29.2	28.1	30.5	29.5	27.5	27.9	26	26.8
29	28.4		31.4	31.5	30.2	29.5	30.2	29.6	27.9	28.4	26.7	26.1
30	28.5		31.2	29.6	30.4	29.6	30.6	29.9	28.8	28.6	27.7	25.2
31	28.9		30.9		30.7		29.5	29.6		27.8		25.3

ตาราง ก.8 ข้อมูลอุณหภูมิ (องศาเซลเซียส) ปี พ.ศ.2545

Daily Mean Dry Temperature (Celsius)													
		STATION : BANGKOK METROPOLIS							YEAR : 2002				
DATA		JAN	FEB	MAR	APR	MAY	JUN	JUL	AUG	SET	OCT	NOV	DEC
1	26.2	28.7	29.6	31.2	30.4	30.9	30.5	30.5	29	29.2	28.2	27.9	
2	25.8	28.2	29.7	31.3	31	30.1	30.6	30.4	28.9	28.9	28.2	28.3	
3	24.3	27.7	29.4	31.3	29	29.9	29.7	29.2	28.5	29.5	28.4	29	
4	24.4	28.4	29.7	31.7	30.2	29.9	29.5	29.7	28.5	28.5	26.3	29.8	
5	24.8	28.5	28.6	31.3	30.5	29.8	29.9	29.1	29.7	28.3	25.5	30.3	
6	26.2	28.4	29	31	30.5	30.1	30.3	28.7	29	28.8	25.8	29.1	
7	26.1	28.2	25.3	31.1	31.6	30.4	29.5	29.5	30.1	26.2	27.6	28.8	
8	25.8	28.7	23.7	31	31.9	31.1	30.5	30	29.7	28.3	28	28.9	
9	26.1	28.6	26.7	32.2	30	30.9	30.7	28.8	28.7	28.4	27	28.2	
10	26.4	28.8	28.7	32.2	29	31.2	30.9	29.2	28.6	28	28.7	27.1	
11	26.9	28.8	29.1	32	27.1	29.2	30.8	29.9	28	27.5	28.3	28.4	
12	27.2	29.7	29.2	28.4	29.3	29.4	30.9	29	28.9	28.4	29.2	28.1	
13	27.6	29.4	29.5	30.9	29.3	29.5	30.6	29.2	29.4	28.6	29.3	28	
14	27.1	29.4	29.5	31.3	29.7	29.8	30.8	28.4	29.8	29.3	28.3	27.8	
15	27.6	29.4	29.5	31.3	30.3	30.9	29.6	29	29.4	29.6	29.7	28.9	
16	28.1	29	29.9	31.7	29.2	30.5	29.5	27.9	28.9	29.6	29.7	29	
17	27.9	29.6	29.8	32	28.8	30.4	28.8	28.1	29.5	29.4	29.4	29.4	
18	28.5	29.6	29	31.7	28.3	30.3	28.5	28.4	28.3	30.1	29.1	30.1	
19	28.7	29.9	30.6	32	30	30.4	29	28.3	28	29.9	29	29.7	
20	28.8	30	31.2	31.8	26.7	29	30.4	28.9	28.3	30.1	29.2	30	
21	29.3	29.1	30.2	32.2	28.3	29.6	30	27.2	28.4	29.5	30.3	29.6	
22	29.4	29.2	30.4	32	29.4	29.6	30.3	28.7	26.3	28.4	28.5	28.5	
23	28.2	29.5	30.3	31	30.4	28.2	29.9	29.9	26.8	29.3	26.8	28.8	
24	28.8	29.7	30.5	30.7	31.1	29.4	30.2	28.8	27	27.9	28.3	29.2	
25	28.3	29.5	31.3	29.7	30.4	28.5	30.1	28.8	27	29.2	27.7	29.4	
26	28.3	28.1	30.9	29	30.5	29.6	30.6	28.5	29.2	27.7	27.6	29.2	
27	28.4	29.4	31.2	29.5	30.7	28.8	30.2	30.2	28.8	26.2	28.5	28.2	
28	28.4	29.5	31.3	31.2	30	29.1	29.8	29.8	29.7	27.2	28.7	25.8	
29	28.8		31	31.7	29.5	29.9	28.3	28.3	28.6	29.2	28.5	26.8	
30	28.1		30.8	31.3	30	30.1	28.3	28.2	28.6	29.1	29.7	28.8	
31	28.4		30.8		30.4		29.5	28.2		27.7		29.2	

ตาราง ก.9 ข้อมูลอุณหภูมิ (องศาเซลเซียส) ปี พ.ศ.2546

Daily Mean Dry Temperature (Celsius)													
		STATION : BANGKOK METROPOLIS							YEAR : 2003				
DATA		JAN	FEB	MAR	APR	MAY	JUN	JUL	AUG	SET	OCT	NOV	DEC
1	29.5	29.2	30	30.1	29.4	30.6	26.2	30.4	27.7	27.3	29.9	27.5	
2	29.3	29.5	30.3	30.8	30.9	30.2	28.3	30.2	28.7	29.3	29.9	26.8	
3	29	29	30.4	31.4	30.7	29.5	28.4	30.3	28.4	29	30.3	27.2	
4	27.2	28.3	30.2	31.8	32	28.6	30.5	28.4	28.5	30	30.3	27.4	
5	28	26.7	31.1	32	32.9	30.4	28.4	29.5	28.9	30.2	30.2	28	

Daily Mean Dry Temperature (Celsius)													
		STATION : BANGKOK METROPOLIS						YEAR : 2003					
DATA		JAN	FEB	MAR	APR	MAY	JUN	JUL	AUG	SET	OCT	NOV	DEC
6	28.3	25.7	30.7	31.5	33.3	30.3	27.7	29.5	28	30.1	30.7	29.1	
7	28.5	26.8	31.2	31.1	33.6	31.1	28.3	29.6	29.4	27.9	29.7	29	
8	27	27.7	30.5	31.5	32.2	31.9	28.6	29.7	29.8	28.7	30.2	28.9	
9	27.1	28.4	28	31.4	30.5	30.9	28.1	30.4	29.6	30	30.5	29.3	
10	26.6	29	29.6	31.4	29.2	31.5	29.8	30.3	29.1	30.5	30.9	29.2	
11	25.8	29.8	29.2	31.2	29.8	31.5	29.9	29.9	28.9	30.3	30.5	28.9	
12	25.2	29.1	29.3	31.2	29.5	30.7	30.1	29.6	28.7	29.6	29.6	29.3	
13	24.9	29.5	29.2	31.8	27.8	30.8	27.9	30.3	27	28.4	27.3	27.1	
14	25.2	28.8	26.4	32.1	30.2	31.6	27.9	30.1	27	28.7	29.1	25.7	
15	26.3	29.6	28.8	31.3	31.1	31.7	29.4	31	28	27.6	30.5	25.1	
16	26.5	29.6	29.5	30.9	30.6	29.8	29.7	30.5	28.8	28.6	30.5	25	
17	26.6	29.7	29.9	31.7	30.3	28.5	30.6	27.7	28.1	28.8	30.4	26.8	
18	26.9	29.7	30.2	31.5	30.6	29.4	31.7	27.9	28.8	29.2	29.9	26.9	
19	27.1	29.9	30.4	31.7	30.5	29.4	30.9	29.3	27.6	29.5	29.8	27	
20	26.9	30.1	30.5	32.2	30.4	29.8	30.3	29.1	27.2	29.7	30.1	23.6	
21	27.2	29.5	29.6	31.8	29.7	30.4	30.3	28.6	27	29.9	30.2	22.9	
22	28	29.7	29.6	31.9	30	29	29.7	29.1	28.7	29.6	31	23.5	
23	27.8	29.7	27.4	32.2	30.7	27.3	28.1	28.9	29	27.3	29.3	25.9	
24	27.6	30.2	28.3	30.7	30.1	28.8	27.6	28.1	28.4	26.3	29.9	27.4	
25	28.5	29.6	28.2	30.8	29.9	30.5	26.5	28.1	28.1	27.5	30.6	28	
26	28.4	29.6	26.6	32	30.9	28.8	27.2	29.3	27.7	28.8	30	27.7	
27	28.3	30.4	29.4	32	31	29.3	28.4	29.1	27	29.4	29.8	26.2	
28	28.5	30.3	29.6	31.9	31	29	29.3	29.9	28	29.1	28.6	25.9	
29	27.7		28.2	29.2	31	28.6	28.7	31	28.2	29.9	27.7	26.8	
30	27.8		29.1	31.2	30.8	27.2	29	29.2	27.3	29.9	27.5	27.1	
31	28.7		29.1		30.5		30	26.4		29.9		27.8	

ตาราง ก.10 ข้อมูลอุณหภูมิ (องศาเซลเซียส) ปี พ.ศ.2547

Daily Mean Dry Temperature (Celsius)													
		STATION : BANGKOK METROPOLIS						YEAR : 2004					
DATA		JAN	FEB	MAR	APR	MAY	JUN	JUL	AUG	SET	OCT	NOV	DEC
1	28	29.4	30	31.1	31.8	30.8	30.9	28.3	30.2	27.7	30.8	28	
2	28	29.3	30.6	31.4	31.5	31.5	30.8	29.2	27.5	27.2	30.1	28.6	
3	28.4	29.3	30.4	31.3	30.9	31.9	31.3	27.7	26.8	28.1	30.2	29	
4	28.9	29.3	30	31.2	30.4	31.5	31	28.6	27.8	29.3	30.3	28.8	
5	29.2	29	29.5	31.3	28.4	30.2	30.9	28.4	28.5	29.4	30.6	27.9	
6	29	28.6	29.3	31.7	28.4	30.4	31.3	28	29	28.6	31.3	27.4	
7	28.3	26.6	29.5	31.7	30.4	28.7	30.9	29.6	28.9	29.3	31.1	26.8	
8	28.6	23.3	28.6	31.9	30	28.9	28.6	29.7	29.3	29.8	31.1	24.9	
9	28.3	24	28.4	31.8	30.4	29	29.6	27.4	29	30.7	31.4	25.6	
10	28.5	25.2	30	31.5	30.4	28.4	28.2	27.8	28.9	30.4	30.6	26.4	
11	28.1	26.8	29.8	31.7	30.7	28.7	29.3	28.3	30.2	29.4	31.3	27.1	

Daily Mean Dry Temperature (Celsius)													
STATION :			BANGKOK METROPOLIS					YEAR : 2004					
DATA	JAN	FEB	MAR	APR	MAY	JUN	JUL	AUG	SET	OCT	NOV	DEC	
12	25.4	28	30	32.1	30.8	28.1	28.9	29.1	29.4	28.7	31.9	27.4	
13	25.5	26.1	30.3	31.6	30.5	28.5	30.1	29.7	27.3	30.4	31.9	26.9	
14	27.8	25.4	30.2	32.3	30.4	27.2	29.3	30	27.4	30.7	32.3	26.1	
15	28	26.8	30.2	32.6	30	28.8	30.5	29.3	28.4	30.3	31.4	26.5	
16	28	27.4	30	33	30.5	28.8	31.8	29.3	29.1	30.2	29.5	26.5	
17	28.5	28.1	29.9	32.3	28.9	28.6	31.2	29.8	28.1	30.3	29.8	27.5	
18	28.4	28.4	30	32.9	31	27	30.2	28.9	27.9	29.8	29.4	27.5	
19	28.8	28.3	29.9	32.7	30.7	26.9	30.4	26.5	28.1	30.3	29.1	27.6	
20	28.4	28.2	29.6	32.7	29.5	28.9	29.8	28.6	28.6	30.5	28.4	26.4	
21	27.8	28.7	30.1	31.5	26.5	30.6	30	29.6	27.4	30.7	27.7	27.2	
22	27.1	28.7	30.3	32.5	26.1	30.5	28.8	29	29.2	30.4	27.6	27.1	
23	27.7	28.5	31	32.9	29.7	29.4	28.3	30.4	30.1	29.8	27.1	27.5	
24	27.3	28.9	31.6	32.4	30.2	30.1	28.9	30.6	30.3	30.1	28.9	28.1	
25	24.4	29.2	31	32.2	30.2	29.7	28.1	30.6	29.8	30.3	29.1	28	
26	25.6	29.2	31.2	32.7	29.7	29.5	28.7	30.5	30.5	29.6	28.1	28.1	
27	27	29.2	30.9	32.5	29.9	29.9	28.3	30.4	30.7	28.7	28.4	28	
28	27.9	28.9	30.9	28.2	30.7	29	28.6	29.9	31.3	29.9	29	27.7	
29	28.8	29.4	31	30.7	31.1	29.9	29.1	29.8	30	31.4	29	26.9	
30	28.7		31.1	32.4	31.5	30.4	29.1	29.9	27.8	31	29.2	27.4	
31	28.8		31.1		30.6		28.7	29.2		30.8		26.9	

ตาราง ก.11 ข้อมูลความดันอากาศ (มิลิบาร์) ปี พ.ศ. 2543

Daily mean pressure (milibar)													
STATION :			BANGKOK METROPOLIS					YEAR : 2000					
DATA	JAN	FEB	MAR	APR	MAY	JUN	JUL	AUG	SET	OCT	NOV	DEC	
1	1010	1015	1011	1006	1009	1004	1004	1007	1007	1012	1010	1010	
2	1010	1016	1012	1006	1010	1004	1003	1007	1006	1011	1012	1011	
3	1010	1015	1011	1007	1009	1004	1003	1007	1008	1010	1013	1011	
4	1009	1012	1010	1006	1010	1006	1003	1007	1009	1009	1014	1011	
5	1010	1011	1008	1006	1011	1007	1004	1007	1009	1010	1012	1011	
6	1010	1010	1008	1007	1011	1008	1006	1007	1008	1010	1010	1011	
7	1010	1010	1008	1009	1010	1008	1007	1006	1008	1010	1010	1011	
8	1010	1010	1009	1007	1008	1008	1006	1007	1008	1008	1010	1010	
9	1010	1010	1009	1006	1007	1008	1004	1007	1007	1007	1011	1009	
10	1009	1010	1009	1008	1005	1008	1004	1008	1005	1007	1012	1010	
11	1009	1010	1008	1009	1004	1008	1006	1007	1004	1007	1011	1011	
12	1009	1009	1008	1008	1004	1008	1008	1008	1007	1007	1010	1010	
13	1009	1008	1008	1007	1004	1008	1008	1009	1009	1005	1009	1010	
14	1008	1008	1008	1006	1005	1007	1006	1009	1008	1005	1009	1011	
15	1009	1009	1008	1008	1006	1006	1004	1008	1007	1008	1009	1012	
16	1010	1009	1007	1008	1006	1005	1005	1006	1008	1009	1010	1013	
17	1010	1009	1006	1009	1005	1006	1007	1005	1010	1008	1010	1012	
18	1011	1010	1006	1009	1006	1007	1007	1007	1009	1006	1010	1010	

Daily mean pressure (milibar)												
STATION : BANGKOK METROPOLIS YEAR : 2000												
DATA	JAN	FEB	MAR	APR	MAY	JUN	JUL	AUG	SET	OCT	NOV	DEC
19	1011	1009	1008	1008	1005	1006	1006	1007	1009	1007	1010	1009
20	1012	1009	1007	1007	1005	1007	1007	1005	1009	1007	1009	1010
21	1014	1009	1009	1007	1006	1007	1008	1003	1010	1007	1011	1011
22	1013	1009	1008	1008	1008	1008	1007	1003	1010	1007	1012	1011
23	1012	1009	1009	1008	1008	1009	1006	1004	1011	1007	1012	1012
24	1011	1009	1010	1007	1008	1007	1006	1005	1010	1009	1010	1012
25	1012	1009	1010	1006	1007	1007	1007	1005	1010	1010	1009	1013
26	1013	1009	1011	1006	1007	1007	1007	1006	1009	1010	1011	1013
27	1015	1011	1011	1007	1007	1007	1005	1006	1008	1010	1011	1012
28	1015	1011	1010	1008	1006	1007	1005	1008	1008	1010	1010	1011
29	1015	1010	1010	1010	1006	1005	1006	1007	1009	1009	1010	1010
30	1016		1009	1010	1005	1005	1007	1006	1011	1009	1011	1010
31	1016		1008		1005		1007	1006		1009		1010

ตาราง ก.12 ข้อมูลความดันอากาศ (มิลิบาร์) ปี พ.ศ. 2544

Daily mean pressure (milibar)												
STATION : BANGKOK METROPOLIS YEAR : 2001												
DATA	JAN	FEB	MAR	APR	MAY	JUN	JUL	AUG	SET	OCT	NOV	DEC
1	1010	1008	1012	1010	1009	1008	1007	1007	1007	1009	1012	1011
2	1010	1007	1012	1008	1008	1009	1005	1005	1006	1009	1012	1010
3	1011	1008	1011	1008	1007	1009	1003	1007	1006	1009	1011	1011
4	1011	1009	1011	1008	1009	1008	1003	1008	1007	1010	1010	1010
5	1011	1009	1011	1008	1009	1006	1003	1008	1007	1010	1011	1010
6	1012	1008	1010	1010	1009	1005	1004	1006	1009	1009	1012	1010
7	1010	1007	1009	1010	1008	1006	1005	1006	1010	1009	1011	1010
8	1009	1008	1009	1008	1008	1006	1006	1007	1010	1009	1011	1011
9	1010	1009	1011	1008	1008	1006	1008	1008	1008	1010	1011	1012
10	1009	1010	1012	1009	1007	1006	1009	1007	1008	1011	1011	1011
11	1008	1009	1012	1009	1008	1007	1008	1007	1008	1011	1011	1011
12	1009	1009	1011	1009	1007	1008	1007	1007	1009	1010	1010	1012
13	1010	1009	1012	1010	1006	1008	1006	1008	1008	1008	1011	1013
14	1010	1011	1012	1012	1006	1008	1006	1009	1009	1007	1013	1014
15	1012	1012	1012	1012	1006	1007	1007	1009	1009	1008	1015	1015
16	1013	1014	1010	1010	1007	1006	1008	1007	1009	1009	1015	1014
17	1013	1013	1008	1008	1008	1006	1008	1005	1008	1009	1014	1013
18	1012	1012	1008	1007	1008	1006	1007	1006	1008	1010	1014	1014
19	1011	1011	1009	1006	1007	1006	1007	1007	1008	1012	1015	1014
20	1010	1009	1008	1005	1006	1005	1006	1007	1007	1011	1015	1015
21	1010	1008	1007	1004	1006	1004	1004	1006	1008	1009	1015	1015
22	1009	1008	1008	1005	1006	1004	1005	1005	1008	1007	1014	1017
23	1009	1009	1008	1006	1006	1004	1007	1006	1008	1008	1014	1018
24	1009	1009	1007	1007	1005	1005	1006	1006	1008	1008	1012	1017
25	1008	1008	1007	1007	1004	1005	1006	1006	1007	1008	1011	1017

Daily mean pressure (milibar)												
STATION : BANGKOK METROPOLIS YEAR : 2000												
DATA	JAN	FEB	MAR	APR	MAY	JUN	JUL	AUG	SET	OCT	NOV	DEC
26	1008	1010	1005	1008	1006	1005	1006	1005	1007	1009	1013	1018
27	1008	1012	1005	1008	1007	1005	1006	1004	1007	1010	1014	1018
28	1009	1012	1006	1006	1007	1007	1007	1004	1008	1010	1012	1018
29	1011		1006	1007	1006	1007	1008	1003	1009	1010	1011	1017
30	1011		1008	1009	1006	1007	1008	1004	1009	1011	1011	1016
31	1009		1009		1007		1009	1006		1012		1015

ตาราง ก.13 ข้อมูลความดันอากาศ (มิลิบาร์) ปี พ.ศ. 2545

Daily mean pressure (milibar)												
STATION : BANGKOK METROPOLIS YEAR : 2002												
DATA	JAN	FEB	MAR	APR	MAY	JUN	JUL	AUG	SET	OCT	NOV	DEC
1	1015	1014	1010	1012	1006	1008	1006	1006	1006	1010	1011	1011
2	1018	1014	1010	1011	1007	1006	1007	1006	1008	1010	1012	1012
3	1018	1013	1009	1009	1007	1005	1007	1006	1007	1009	1013	1012
4	1017	1012	1009	1007	1007	1005	1007	1005	1006	1009	1014	1011
5	1016	1012	1010	1008	1006	1006	1006	1005	1006	1009	1014	1011
6	1015	1012	1011	1009	1006	1006	1005	1007	1007	1009	1013	1012
7	1016	1012	1013	1009	1006	1006	1004	1007	1006	1011	1012	1012
8	1016	1012	1015	1009	1007	1005	1004	1007	1007	1012	1012	1012
9	1016	1011	1014	1008	1008	1005	1005	1008	1007	1013	1013	1014
10	1015	1011	1013	1007	1007	1006	1004	1008	1007	1013	1011	1015
11	1012	1013	1012	1008	1006	1008	1004	1009	1008	1011	1011	1015
12	1011	1013	1012	1011	1007	1008	1006	1009	1008	1010	1011	1016
13	1010	1013	1011	1010	1008	1007	1006	1009	1010	1010	1010	1017
14	1010	1012	1011	1009	1009	1007	1005	1008	1010	1011	1008	1016
15	1011	1013	1009	1010	1009	1006	1005	1007	1011	1011	1008	1015
16	1011	1013	1008	1009	1007	1007	1006	1006	1010	1010	1009	1014
17	1010	1013	1009	1009	1008	1007	1009	1006	1008	1009	1011	1012
18	1009	1015	1012	1008	1008	1006	1010	1005	1008	1008	1011	1011
19	1010	1015	1012	1010	1006	1006	1010	1005	1009	1008	1010	1009
20	1011	1015	1010	1009	1006	1007	1009	1005	1009	1010	1010	1008
21	1011	1015	1009	1007	1007	1006	1010	1008	1008	1010	1010	1008
22	1011	1016	1008	1007	1008	1007	1009	1008	1008	1010	1011	1010
23	1012	1014	1007	1008	1008	1009	1010	1009	1008	1010	1011	1011
24	1012	1012	1007	1008	1008	1009	1008	1010	1008	1010	1011	1011
25	1011	1012	1007	1008	1009	1009	1007	1010	1010	1010	1012	1011
26	1010	1012	1008	1008	1008	1009	1006	1009	1010	1010	1013	1010
27	1011	1011	1008	1008	1008	1008	1006	1008	1010	1010	1014	1010
28	1013	1010	1008	1008	1008	1009	1006	1009	1011	1009	1014	1012
29	1014		1009	1007	1008	1008	1006	1010	1011	1010	1013	1013
30	1014		1009	1006	1008	1006	1006	1008	1010	1010	1012	1012
31	1015		1010		1008		1006	1006		1011		1011

ตาราง ก.14 ข้อมูลความดันอากาศ (มิลิบาร์) ปี พ.ศ. 2546

Daily mean pressure (milibar)													
		STATION : BANGKOK METROPOLIS						YEAR : 2003					
DATA		JAN	FEB	MAR	APR	MAY	JUN	JUL	AUG	SET	OCT	NOV	DEC
1	1012	1013	1009	1009	1009	1005	1009	1008	1008	1008	1011	1013	
2	1014	1013	1008	1007	1008	1005	1010	1006	1008	1008	1012	1013	
3	1015	1013	1008	1007	1007	1007	1010	1004	1007	1009	1012	1012	
4	1015	1015	1007	1007	1006	1008	1008	1005	1007	1009	1011	1011	
5	1014	1016	1007	1007	1005	1008	1008	1005	1009	1009	1011	1012	
6	1014	1015	1008	1009	1005	1008	1008	1005	1009	1009	1010	1011	
7	1015	1012	1008	1011	1005	1008	1007	1006	1008	1010	1010	1012	
8	1015	1011	1010	1009	1006	1008	1007	1007	1005	1010	1010	1012	
9	1014	1011	1012	1009	1009	1007	1009	1006	1005	1010	1009	1012	
10	1015	1010	1013	1010	1010	1006	1008	1006	1006	1009	1010	1012	
11	1015	1011	1012	1011	1008	1007	1007	1007	1007	1008	1011	1012	
12	1016	1010	1013	1010	1008	1008	1006	1007	1007	1008	1012	1013	
13	1015	1011	1014	1009	1008	1008	1008	1007	1007	1009	1013	1014	
14	1015	1012	1015	1009	1007	1008	1009	1007	1007	1010	1012	1014	
15	1015	1012	1012	1009	1007	1006	1009	1006	1007	1011	1011	1014	
16	1015	1011	1011	1011	1008	1005	1009	1006	1008	1012	1010	1013	
17	1015	1011	1012	1011	1008	1006	1009	1007	1009	1011	1010	1013	
18	1016	1012	1012	1009	1008	1008	1007	1007	1009	1010	1010	1013	
19	1015	1011	1011	1007	1009	1007	1005	1005	1009	1010	1010	1015	
20	1013	1011	1009	1007	1010	1007	1005	1004	1009	1010	1010	1018	
21	1012	1012	1011	1008	1009	1006	1005	1007	1010	1010	1011	1018	
22	1011	1012	1012	1009	1008	1006	1004	1009	1010	1011	1012	1016	
23	1010	1011	1012	1009	1007	1008	1005	1009	1009	1012	1013	1015	
24	1009	1010	1011	1008	1007	1008	1006	1006	1009	1011	1013	1013	
25	1010	1009	1012	1008	1008	1007	1007	1006	1009	1011	1012	1012	
26	1011	1010	1012	1008	1007	1008	1009	1008	1009	1011	1012	1013	
27	1012	1010	1011	1008	1004	1009	1010	1010	1008	1013	1011	1015	
28	1013	1010	1010	1008	1003	1008	1009	1010	1007	1014	1012	1016	
29	1014		1009	1009	1004	1009	1009	1009	1007	1012	1013	1017	
30	1014		1010	1010	1004	1008	1009	1009	1008	1011	1013	1016	
31	1014		1010		1005		1009	1009		1010		1014	

ตาราง ก.15 ข้อมูลความดันอากาศ (มิลิบาร์) ปี พ.ศ. 2547

Daily mean pressure (milibar)													
		STATION : BANGKOK METROPOLIS						YEAR : 2004					
DATA		JAN	FEB	MAR	APR	MAY	JUN	JUL	AUG	SET	OCT	NOV	DEC
1	1013	1009	1009	1011	1006	1010	1005	1005	1006	1012	1010	1013	
2	1013	1009	1007	1011	1007	1010	1005	1006	1009	1012	1011	1013	
3	1013	1009	1007	1012	1007	1008	1006	1007	1010	1012	1011	1012	
4	1013	1009	1009	1012	1007	1008	1006	1008	1009	1011	1011	1012	
5	1014	1010	1010	1011	1008	1006	1007	1008	1009	1011	1011	1013	

Daily mean pressure (milibar)												
STATION :				BANGKOK METROPOLIS					YEAR : 2004			
DATA	JAN	FEB	MAR	APR	MAY	JUN	JUL	AUG	SET	OCT	NOV	DEC
6	1014	1013	1011	1009	1009	1006	1008	1008	1009	1012	1011	1015
7	1014	1014	1013	1009	1009	1007	1009	1007	1009	1011	1011	1016
8	1014	1015	1016	1009	1008	1007	1010	1007	1008	1011	1011	1016
9	1014	1016	1014	1009	1007	1007	1009	1008	1009	1011	1010	1014
10	1014	1016	1010	1010	1008	1007	1009	1008	1010	1012	1011	1014
11	1013	1015	1009	1010	1008	1007	1009	1008	1010	1012	1011	1015
12	1014	1015	1010	1008	1006	1008	1008	1009	1010	1013	1012	1016
13	1013	1015	1010	1007	1005	1007	1009	1009	1012	1013	1012	1014
14	1012	1013	1010	1007	1006	1006	1007	1008	1011	1013	1011	1012
15	1012	1012	1010	1008	1007	1007	1008	1007	1009	1013	1010	1011
16	1012	1012	1010	1008	1007	1007	1008	1006	1009	1012	1011	1012
17	1011	1010	1010	1007	1008	1008	1008	1007	1010	1011	1013	1012
18	1011	1010	1009	1006	1007	1009	1007	1008	1009	1011	1013	1011
19	1011	1011	1008	1009	1006	1008	1006	1006	1009	1010	1013	1010
20	1011	1012	1007	1010	1006	1009	1005	1005	1010	1011	1013	1010
21	1011	1011	1008	1009	1007	1009	1005	1006	1011	1011	1013	1011
22	1012	1010	1008	1007	1007	1009	1007	1008	1011	1012	1013	1010
23	1012	1011	1008	1007	1007	1007	1007	1008	1009	1012	1013	1010
24	1013	1011	1007	1008	1007	1007	1007	1008	1009	1013	1012	1012
25	1014	1011	1007	1008	1008	1007	1006	1007	1009	1013	1012	1012
26	1013	1010	1008	1008	1008	1006	1006	1005	1010	1013	1013	1011
27	1011	1010	1010	1007	1010	1006	1006	1005	1009	1013	1014	1011
28	1010	1010	1011	1009	1010	1007	1007	1005	1008	1012	1014	1012
29	1009	1010	1010	1008	1008	1006	1008	1006	1010	1011	1013	1013
30	1010		1010	1006	1008	1004	1007	1007	1012	1011	1012	1012
31	1010		1011		1009		1006	1006		1010		1014

ภาคผนวก ๖

Maximum Likelihood Parameter Estimation

Maximum Likelihood Parameter Estimation หรือ MLE เป็นวิธีทางคณิตศาสตร์ที่ใช้ในการหาพารามิเตอร์ของฟังก์ชันความน่าจะเป็นจากชุดข้อมูลใดๆ วิธี MLE จะให้ค่าพารามิเตอร์โดยไม่ขึ้นกับชนิดการกระจายของข้อมูลข้อควรระวังในการหาพารามิเตอร์ด้วยวิธีนี้คือจะให้ผลที่คลาดเคลื่อนมากถ้าข้อมูลที่ใช้คำนวนหาพารามิเตอร์มีจำนวนน้อย [18] และการจะนำพารามิเตอร์ที่คำนวนได้จากวิธีนี้ไปใช้นั้น ควรจะรู้และแนนอนก่อนว่าข้อมูลมีฟังก์ชันความน่าจะเป็นแบบใด การคำนวนพารามิเตอร์ทำได้โดย ถ้าสมมติให้ x เป็นตัวแปรสุ่มแบบต่อเนื่องที่มีฟังก์ชันความน่าจะเป็น $f(x; \theta_1, \theta_2, \dots, \theta_k)$ โดย $\theta_1, \theta_2, \dots, \theta_k$ เป็นพารามิเตอร์ในฟังก์ชันความน่าจะเป็นที่ต้องการทราบค่า x_1, x_2, \dots, x_R เป็นเหตุการณ์ที่เป็นอิสระต่อกัน R เหตุการณ์ จะได้ Likelihood Function; L และ Logarithmic Likelihood Function; $\ln(L)$ ดังสมการที่ (๖.๑) และ (๖.๒) ตามลำดับ

$$L(\theta_1, \theta_2, \dots, \theta_k | x_1, x_2, \dots, x_R) = \prod_{i=1}^R f(x_i; \theta_1, \theta_2, \dots, \theta_k) \quad (\text{๖.๑})$$

$$\ln(L) = \sum_{i=1}^R \ln(f(x_i; \theta_1, \theta_2, \dots, \theta_k)) \quad (\text{๖.๒})$$

ค่า $\theta_1, \theta_2, \dots, \theta_k$ คาดเดาหาได้โดยให้ $\frac{\partial L}{\partial \theta_j}$ หรือ $\frac{\partial \ln(L)}{\partial \theta_j}$ มีค่าเท่ากับ 0 โดย j มีค่าเท่ากับ 1 ถึง k จากนั้นคำนวนหาค่าพารามิเตอร์โดยใช้กระบวนการ iteration

ภาคผนวก ค

แรงดันเบรกดาวน์ของแกปท่องกลมมาตรฐาน

ตาราง ค.1 แรงดันเบรกด้านอิมพัลส์ข่าวลบ กระแสสลับ และ กระแสตรง ของเกปทรงกลม
มาตรฐาน จากตารางที่ 2 ของ IEC 60052 (2002)

Gap cm.	Sphere Diameter cm											
	2	5	6.25	10	12.5	15	25	50	75	100	150	200
0.05	2.8											
0.10	4.7											
0.15	6.4											
0.20	8.0	8.0										
0.25	9.6	9.6										
0.30	11.2	11.2										
0.40	14.4	14.3	14.2									
0.50	17.4	17.4	17.2	16.8	16.8	16.8						
0.60	20.4	20.4	20.2	19.9	19.9	19.9						
0.70	23.2	23.4	23.2	23.0	23.0	23.0						
0.80	25.8	26.3	26.2	26.0	26.0	26.0						
0.90	28.3	29.2	29.1	28.9	28.9	28.9						
1.0	30.7	32.0	31.9	31.7	31.7	31.7	31.7					
1.2	(35.1)	37.6	37.5	37.4	37.4	37.4	37.4					
1.4	(38.5)	42.9	42.9	42.9	42.9	42.9	42.9					
1.5	(40.0)	45.5	45.5	45.5	45.5	45.5	45.5					
1.6		48.1	48.1	48.1	48.1	48.1	48.1					
1.8		53.0	53.5	53.5	535.0	53.5	53.5					
2.0		57.5	58.5	59.0	59.0	59.0	59.0	59.0	59.0	59.0		
2.2		61.5	63.0	64.5	64.5	64.5	64.5	64.5	64.5	64.5		
2.4		65.5	67.5	69.5	70.0	70.0	70.0	70.0	70.0	70.0		
2.6		(69.0)	72.0	74.5	75.0	75.5	75.5	75.5	75.5	75.5		
2.8		(72.5)	76.0	79.5	80.0	80.5	81.0	81.0	81.0	81.0		
3.0		(75.5)	79.5	84.0	85.0	85.5	86.0	86.0	86.0	86.0	86.0	
3.5		(82.5)	(87.5)	95.0	97.0	98.0	99.0	99.0	99.0	99.0	99.0	
4.0		(88.5)	(95.0)	105	108	110	112	112	112	112	112	
4.5		(101)		115	119	122	125	125	125	125	125	
5.0		(107)		123	129	133	137	138	138	138	138	138
5.5			(131)	138	143	149	151	151	151	151	151	151
6.0			(138)	146	152	161	164	164	164	164	164	164
6.5			(144)	(154)	161	173	177	177	177	177	177	177
7.0			(150)	(161)	169	184	189	190	190	190	190	190
7.5			(155)	(168)	177	195	202	203	203	203	203	203
8.0				(174)	(185)	206	214	215	215	215	215	215
9.0					(185)	(198)	226	239	240	241	241	241
10.0						(195)	(209)	244	260	265	266	266
11.0							(219)	261	286	290	292	292
12.0								(229)	275	309	315	318
13.0									(289)	331	339	342
14.0										(302)	353	366

ตาราง ก.1 (ต่อ)

Gap cm.	Sphere Diameter cm											
	2	5	6.25	10	12.5	15	25	50	75	100	150	200
15						(314)	373	387	390	390	390	390
16						(326)	392	410	414	414	414	414
17						(337)	411	432	438	438	438	438
18						(347)	429	453	462	462	462	462
19						(357)	445	473	486	486	486	486
20						(366)	460	492	510	510	510	510
22							489	530	555	560	560	560
24							515	565	595	610	610	610
26							(540)	600	635	655	660	660
28							(565)	635	675	700	705	
30							(585)	665	710	745	750	
32							(605)	695	745	790	795	
34							(625)	725	780	835	840	
36							(640)	750	815	875	885	
38							(655)	(775)	845	915	930	
40							(670)	(800)	875	955	975	
45							(850)	945	1050	1080		
50							(895)	1010	1130	1180		
55							(935)	(1060)	1210	1260		
60							(970)	(1110)	1280	1340		
65								(1160)	1340	1410		
70								(1200)	1390	1480		
75								(1230)	1440	1540		
80									(1490)	1600		
85									(1540)	1660		
90									(1580)	1720		
100									(1660)	1840		
110									(1730)	(1940)		
120									(1800)	(2020)		
130										(2100)		
140										(2180)		
150										(2250)		

ตาราง ค.2 แรงดันเบรกดาวน์อิมพัลส์ข่าววก ของแกปทรงกลมมาตรฐาน
จากตารางที่ 3 ของ IEC 60052 (2002)

Gap cm.	Sphere Diameter cm											
	2	5	6.25	10	12.5	15	25	50	75	100	150	200
0.05												
0.10												
0.15												
0.20												
0.25												
0.30	11.2	11.2										
0.40	14.4	14.3	14.2									
0.50	17.4	17.4	17.2	16.8	16.8	16.8						
0.60	20.4	20.4	20.2	19.9	19.9	19.9						
0.70	23.2	23.4	23.2	23.0	23.0	23.0						
0.80	25.8	26.3	26.2	26.0	26.0	26.0						
0.90	28.3	29.2	29.1	28.9	28.9	28.9						
1.0	30.7	32.0	31.9	31.7	31.7	31.7	31.7					
1.2	(35.1)	37.8	37.6	37.4	37.4	37.4	37.4					
1.4	(38.5)	43.3	43.2	42.9	42.9	42.9	42.9					
1.5	(40.0)	46.2	45.9	45.5	45.5	45.5	45.5					
1.6		49.0	48.6	48.1	48.1	48.1	48.1					
1.8		54.5	54.0	53.5	535.0	53.5	53.5					
2.0		59.5	59.0	59.0	59.0	59.0	59.0	59.0	59.0	59.0		
2.2		64.0	64.0	64.5	64.5	64.5	64.5	64.5	64.5	64.5		
2.4		69.0	69.0	70.0	70.0	70.0	70.0	70.0	70.0	70.0		
2.6		(73.0)	73.5	75.5	75.5	75.5	75.5	75.5	75.5	75.5		
2.8		(77.0)	78.0	80.5	80.5	80.5	81.0	81.0	81.0	81.0		
3.0		(81.0)	82.0	85.5	85.5	85.5	86.0	86.0	86.0	86.0	86.0	
3.5		(90.0)	(91.5)	97.5	98.0	98.5	99.0	99.0	99.0	99.0	99.0	
4.0		(97.5)	(101)	109	110	111	112	112	112	112	112	
4.5		(108)		120	122	124	125	125	125	125	125	
5.0		(115)		130	134	136	138	138	138	138	138	138
5.5			(139)	145	147	151	151	151	151	151	151	151
6.0			(148)	155	158	163	164	164	164	164	164	164
6.5			(156)	(164)	168	175	177	177	177	177	177	177
7.0			(163)	(173)	178	187	189	190	190	190	190	190
7.5			(170)	(181)	187	199	202	203	203	203	203	203
8.0				(189)	(196)	211	214	215	215	215	215	215
9.0				(203)	(212)	233	239	240	241	241	241	241
10.0				(215)	(226)	254	263	265	266	266	266	266
11.0					(238)	273	287	290	292	292	292	292
12.0					(249)	291	311	315	318	318	318	318
13.0						(308)	334	339	342	342	342	342
14.0						(323)	357	363	366	366	366	366

ตาราง ก.2 (ต่อ)

Gap cm.	Sphere Diameter cm											
	2	5	6.25	10	12.5	15	25	50	75	100	150	200
15						(337)	380	387	390	390	390	390
16						(350)	402	411	414	414	414	414
17						(362)	422	435	438	438	438	438
18						(374)	442	458	462	462	462	462
19						(385)	461	482	486	486	486	486
20						(395)	480	505	510	510	510	510
22							510	545	555	560	560	560
24							540	585	600	610	610	610
26							570	620	645	655	660	660
28							(595)	660	685	700	705	
30							(620)	695	725	745	750	
32							(640)	725	760	790	795	
34							(660)	755	795	835	840	
36							(680)	785	830	880	885	
38							(700)	(810)	865	925	935	
40							(715)	(835)	900	965	980	
45							(890)	980	1060	1090		
50							(940)	1040	1150	1190		
55							(985)	(1100)	1240	1290		
60							(1020)	(1150)	1310	1380		
65							(1200)	1380	1470			
70							(1240)	1430	1550			
75							(1280)	1480	1620			
80									(1530)	1690		
85									(1580)	1760		
90									(1630)	1820		
100									(1720)	1930		
110									(1790)	(2030)		
120									(1860)	(2120)		
130										(2200)		
140										(2280)		
150										(2350)		

ภาคผนวก ง.

ข้อมูลการทดลองด้วยแรงดันอิมพัลส์

ง.1 ข้อมูลแรงดันเบรกดาวน์อิมพัลส์ขั้วบวก

ตารางที่ ง.1 ข้อมูลแรงดันเบรกดาวน์ด้วยวิธีปรับขึ้นลง อิมพัลส์ขั้วบวก ที่ระยะแกป 1 cm.

Atmosphere			Peak Voltage (kV)																				$U_{50\%} / \delta$	% σ
H(%)	P(mmHg)	T($^{\circ}$ C)	1	2	3	4	5	6	7	8	9	10	11	12	13	14	15	16	17	18	19	20		
71	760	28	32.1	31.2	32.4	31.1	32.4	31.2	32.2	30.7	32.1	31.4	32.4	31.5	31.6	31.3	32.2	31.2	32.4	31.3	32.3	31.3	32.03	1.75
69	760	28.5	32.1	31.3	31.9	31.2	32.1	31.3	32.2	31.4	32.3	31.2	32.2	31.3	32.3	31.4	32.1	31.3	32.5	31.6	32.3	31.2	32.13	1.49
64	759	30.5	32.6	31.5	32.5	31.4	32.5	32.7	32.4	33.4	32.4	33.6	32.6	31.4	32.6	31.5	32.4	31.5	32.5	31.4	32.4	31.4	32.87	2.08
64	759	31	32.1	31.4	32.2	31.5	32.2	31.3	32.3	31.4	32.2	31.5	32.4	31.4	32.2	31.4	32.3	31.4	32.3	31.4	32.3	31.5	32.52	1.36
64	759	31	34.3	32.4	30.8	32.4	31	32.6	33.9	32.6	33.8	32.4	33.8	32.6	34.4	32.7	30.6	32.7	30.7	32.8	30.6	32.8	33.19	3.74
68	759.5	29	32.8	32.2	31.3	32.3	31.3	32.1	32.6	32.2	32.8	32.1	32.8	32.1	32.6	32.2	32.5	32.2	32.6	32.1	32.9	32.3	32.76	1.35
65.5	760	30	32.1	31.3	32.2	33.1	32.1	32.8	32.1	31.3	32.1	33.1	32.1	33	32.2	33	32.1	31.3	32.3	31.3	32.3	33.2	32.79	1.95
71	760	28.5	31.1	30.4	31.1	32.2	31.3	32.1	31.4	32.2	31.5	32.2	31.6	32	31.6	32	32.3	32.2	31.9	32.3	31.8	32.3	32.15	1.63
67	762	29	33	32.2	33	32	33.1	32.2	31.8	32	32.5	32.1	31.9	32.2	32.6	32	32.5	33.1	32.4	32.1	32.7	32.3	32.73	1.28
58	759	31	32.3	31.3	32.2	31.6	32.3	31.7	32.4	32.7	32.3	32.7	32.1	32.7	32.1	32.8	32.1	32.6	32.2	32.7	32.2	32.7	32.98	1.26
58	759	31	32.6	32.2	32.6	32.3	32.7	32.3	32	32.1	32.6	32.3	31.7	32.1	32.6	32.5	32.1	32.2	32.7	32.2	31.9	32.3	32.99	0.86
46.5	758	31.5	32	31.2	31.5	31.1	31.5	31.1	31.6	31.3	31.2	31.3	31.9	31.3	31.1	31.4	31.4	31.1	31	31.4	31.6	31.1	32.12	0.86
56	760.5	31	31.9	31.5	31.7	31.4	31.6	31.4	31.5	31.5	31.9	31.4	31.8	31.6	32	31.3	31.5	31.4	31.8	31.4	31.9	31.3	32.20	0.70
53	759	31	32.1	31.9	32.1	31.8	31.8	31.8	31.9	31.6	31.7	31.5	31.9	31.7	32	31.5	31.7	31.4	31.8	31.6	31.8	31.6	32.44	0.61
81	759	28	33.8	32.6	33.5	32.8	33.6	33.2	33.7	32.8	33.8	33.1	33.7	33.2	33.7	33	33.5	33	33.5	33.3	33.7	33.1	33.71	1.11
63	761	31.5	33	32.5	33.1	33.5	33	32.6	33.2	32.6	33.1	32.8	33.2	32.6	33	32.5	33.1	32.6	33.1	32.6	33	32.7	33.56	0.87
59.5	761	31.5	33	32.3	33	33.6	33	32.6	33	33.5	33.1	32.6	33.1	33.7	33	32.6	33	33.5	33	32.7	33.1	32.8	33.69	1.09

Atmosphere			Peak Voltage (kV)																				$U_{50\%} / \delta$	% σ	
H(%)	P(Hg)	T($^{\circ}$ C)	1	2	3	4	5	6	7	8	9	10	11	12	13	14	15	16	17	18	19	20			
46	758.5	32	32.4	31.7	32.5	31.9	32.6	32	32.5	31.9	32.8	32	32.6	32	32.6	32.2	32.6	32.2	32.2	32.5	32.2	33.11	0.97		
77	761	29.5	32.8	32.1	32.9	32.3	32.7	32.2	32.8	32.4	32.8	32.5	32.7	32.6	32.7	32.4	32.8	32.5	32.9	32.6	32.7	32.5	33.04	0.70	
51	760	32	32.2	32	32.3	31.8	32.4	32	32.2	31.7	32.3	31.7	32.4	31.7	32.4	32	32.3	32	32.2	32	32.2	31.9	32.84	0.74	
64	761.5	30	33	32.2	32.4	32.3	32.7	31.9	32.2	32.1	32.6	32.4	32.5	32.2	32.8	32.3	32.9	32.1	32.3	31.9	32.5	32	32.84	0.97	
62.5	762	30.5	32.3	31.9	32.4	31.8	32.5	31.9	32.4	32	32.4	32	32.2	32	32.2	32.2	32.4	31.8	32	31.9	32.2	32	32.63	0.69	
79.5	759.5	28.5	32.9	32.7	32.9	32.5	32.8	32.3	33	32.5	32.9	32.6	32.9	32.5	33	32.4	33	32.3	32.9	32.4	32.9	32.5	33.10	0.77	
54	762	29	32.5	32.1	32.5	32.1	32.7	32.1	32.5	32.1	32.5	32.1	32.4	32.1	32.1	32.1	32.4	31.9	32.3	32	32.3	32	32.59	0.69	
61	761	26	32.9	32.3	33.1	32.8	33	32.9	33.1	32.5	33.2	32.8	33.2	32.6	33	32.7	33.1	32.5	33	32.8	33	32.8	32.93	0.75	
57	762	28	32.9	32.2	32.9	32.3	32.9	32.6	32.8	32.3	32.9	32.3	32.8	32.1	32.5	32.2	32.8	32.2	32.7	32.2	32.8	32.2	32.77	0.94	
56.5	762	28.5	32.9	32.3	32.8	32.5	32.8	32.4	33	32.4	32.8	32.6	33.3	32.7	33.1	32.8	33.2	32.6	32.9	32.6	33	32.4	33.05	0.86	
56	762	29	32.8	32.2	32.8	32.4	32.9	32.3	32.5	32.2	32.9	32.3	32.7	32.3	32.9	32.2	32.6	32.2	32.8	32.2	32.5	32.3	32.85	0.84	
53	760.5	30	32.8	32.4	33.1	32.5	33	32.6	32.9	32.5	32.9	32.7	32.9	32.5	33.1	32.5	33	32.5	32.8	32.6	32.9	32.4	33.26	0.72	
47	760.5	29	32.7	31.9	32.8	32.2	32.6	32.1	32.6	32	32.7	32	32.7	32.2	32.7	32.1	32.6	32.2	32.6	32.2	32.7	32	32.79	0.96	
47	761.5	26	32.9	32.6	32.8	32.5	32.9	32.4	32.7	32.4	32.7	32.4	32.5	32.5	32.7	32.4	32.5	32.3	32.7	32.4	32.7	32.4	32.61	0.56	
43	759	28	33.4	32.8	33.5	33.2	33.5	33.1	33.5	33.2	33.6	33.1	32.2	32.7	33.4	33.2	33.4	32.9	33.4	33.4	32.9	33.1	33	33.78	1.02
53	761.5	25.5	33.6	32.5	33.4	32.5	32.7	32.5	33	32.5	32.7	32.5	32.5	32.4	31.9	32.4	31.9	32.5	32.2	32.4	32.1	32.5	32.53	1.29	
47	759	28.5	32.2	32.1	32.4	31.7	33	32.2	32.4	32.1	32.7	32.1	32.3	32	32.5	32	32.3	32	32.5	32.2	32.6	32.4	32.71	0.91	
57.5	762	26	33	32.4	33.2	32.8	33	32.7	33.2	32.8	33	32.8	32.8	32.6	33.1	32.8	33.2	32.9	33	32.8	33.2	32	32.89	0.90	
52	759.5	29	32.8	32.4	32.7	32.5	32.9	32.4	33	32.4	32.6	32.5	33	32.5	32.7	32.4	32.5	32.5	32.7	32.4	32.7	32.4	33.06	0.62	
63	760.5	24.5	33	32.5	33.5	32.9	33.3	33	33.2	32.9	33.4	33	33.4	33.1	33.2	33	33.4	33	33.2	33.1	33.4	32.8	33.04	0.75	
53	761	28	32.7	32	32.4	32.2	32.5	32.2	32.7	32.7	32.4	32.9	32.2	32.3	32.1	32.5	32.1	32.7	32.1	32.5	32.2	32.4	32.1	32.64	0.78
56	760.5	28	32.4	32.2	32.5	32	32.2	32	32.3	32	32.3	31.9	32.1	31.9	32.3	32	32.3	32.2	32.4	32.1	32.3	32	32.47	0.55	
80	761	28	33.4	32.6	33.5	32.8	33.6	33.2	33.7	32.8	33.8	33.1	33.6	33.2	33.7	32.8	33.5	33	33.5	33.3	33.4	33.1	33.57	1.05	
60	759	28	32.8	32.2	31.3	32.3	31.3	32.1	32.6	32.2	32.7	32.2	32.7	32.1	32.6	32.3	32.6	32.2	32.6	32.1	32.9	32.3	32.68	1.32	
63	759	27.5	33	32.3	33.1	32.8	33	32.9	33.1	32.7	33.2	32.8	33.2	32.7	33.1	32.7	33.1	32.5	33	32.8	33.11	0.78			
68	760	27	33.5	33	32.8	33.1	33.5	33	32.6	33.2	32.8	33.1	32.8	33.2	32.9	33.5	32.8	33.1	32.8	33.1	33.1	33.31	0.70		

Atmosphere			Peak Voltage (kV)																				$U_{50\%} / \delta$	% σ
H(%)	P(Hg)	T($^{\circ}$ C)	1	2	3	4	5	6	7	8	9	10	11	12	13	14	15	16	17	18	19	20		
71	760	27.5	32.4	31.9	32.4	31.8	32.5	31.9	32.4	32	32.4	32	32.2	32	32.2	32.2	32.4	31.8	32	31.9	32.3	32	32.20	1.55
50	761	26	32.5	31.5	32.5	31.6	32.3	32.7	32.1	32.8	32.4	32.9	32.4	31.5	32.1	31.5	32.3	31.5	32.4	31.6	32.5	31.4	32.28	0.62
53	761.5	27	32.9	32.5	33.1	32.8	33	32.9	33.1	32.7	33.2	32.8	33.2	32.6	33	32.7	33	32.6	33	32.8	33	32.8	33.21	0.72
62	761.5	30.5	32.7	32.2	32.8	32.3	32.7	32.2	32.7	32.3	32.8	32.2	32.7	32.3	32.7	32.2	32.8	32.3	32.7	32.2	32.8	32.4	33.03	0.78
46	768.5	24.5	34.1	33.8	33.9	33.2	33.5	33.1	33.8	33.3	34	33.4	33.8	33.3	33.9	33.2	33.8	33.3	33.5	33.3	33.4	33.3	33.12	0.92
40	766	24.5	33	32.7	33.4	32.7	33.4	32.7	33.2	32.7	33	32.8	33.6	32.8	33.4	32.7	33.1	32.7	33.5	32.9	33.7	33	32.74	1.03

ตารางที่ ง.2 ข้อมูลแรงดันเบรกดาวน์คิวบิวส์ปรับขึ้นลง อิมพัลส์ขั่วบาก ที่ระยะแกน 3 cm.

Atmosphere			Peak Voltage (kV)																				$U_{50\%} / \delta$	% σ
H(%)	P(Hg)	T($^{\circ}$ C)	1	2	3	4	5	6	7	8	9	10	11	12	13	14	15	16	17	18	19	20		
67	760	29	89.4	83.4	84.6	83.2	84.7	83	84.7	83	85.2	83.2	85	82.9	84.9	83	84.8	83	85.1	83.2	85.1	83.1	85.36	1.81
65	760	29	84.9	82.7	84.7	82.4	84.9	82.9	84.6	83	84.5	83	84.5	82.7	84.2	83	84.1	82.7	84.1	82.8	84.1	82.9	84.76	1.06
64	759	31	82.3	81.1	82.8	81.1	82.4	81.4	82	81.5	79.5	81.3	82	80.9	82.3	81.2	78.9	81.6	82.2	81	82.2	81.1	83.19	1.17
64	759	31	82.6	80.2	83.3	79.6	83.2	80	82.6	80.3	84.1	79.8	82.5	80.4	82.8	80.3	83	80.4	81.5	79.2	82	79.7	83.12	1.88
80	761	27	83.4	81	82.8	80.5	83.7	82.6	83.2	81.3	83.6	81.1	83.4	83.3	83.7	82	83.8	81.9	84.1	82.2	83.9	82.4	83.14	1.32
78.5	761.5	27.5	83.4	82.6	83.8	83.2	84.1	82.8	84.2	82.6	83.6	82.6	82.9	82.8	83.6	82.4	83.6	82.4	83.3	83.8	83.7	82.5	83.73	0.71
55.5	760	29.5	82.5	81.4	82	81.6	82.5	82	82.9	81.7	82.2	81.5	82.2	81.3	82.7	82.4	83.3	82.1	81	82.4	83.2	82.7	83.42	0.77
57.5	760	29.5	83.2	82.1	83	81.3	83.3	81.7	82.6	81.7	82.7	81	82.6	81.7	82.7	81.7	82.8	81.2	83.1	81.8	82.5	81.7	83.46	0.86
70	761	28	85.6	84.9	81.1	84	82.5	84	82.9	84.9	82.1	83	82.9	84.4	82.8	84.9	82.8	84.6	83.1	84.5	83	84.4	84.35	1.38
70	761	28.5	84.3	82.9	81.9	82.8	83.9	82.9	82.3	83.1	82.2	82.8	83.3	83	82.6	83.2	82.3	83	82.2	83.1	82.5	83.1	83.73	0.69
69	761.5	28.5	82.8	82.4	83.1	82.5	83	82.2	83	82.7	83.1	82.4	83.1	82.8	83	82.7	83.1	82.4	81.4	82.5	83.3	82.6	83.51	0.53

Atmosphere			Peak Voltage (kV)																				$U_{50\%} / \delta$	% σ
H(%)	P(Hg)	T($^{\circ}$ C)	1	2	3	4	5	6	7	8	9	10	11	12	13	14	15	16	17	18	19	20		
68	761.5	29	82.6	81.7	82.7	81.7	82.7	82	82.5	81.8	82.7	82.9	82.6	81.8	82.8	83.5	82.7	82.3	82.9	82.2	81.5	82.3	83.34	0.63
58	760	31	82.9	82.3	81.1	82	81.6	81.9	82.8	82.1	82.7	82	82.5	82	81.5	82.3	81.5	82.3	81.5	82.1	82.6	82	83.74	0.59
46	758	31.5	82.6	81.5	80.5	81.4	82.1	81.6	82.1	81.6	82.1	81.8	82.2	81.6	82.4	82.1	82.4	81.6	82.2	81.7	81.4	82	83.85	0.58
58	760	30	82.4	81.6	82.4	81.8	82.5	81.8	82.3	81.9	82.5	81.8	82.5	81.7	82.6	81.6	82.4	82	82.5	82.1	82.6	81.8	83.52	0.44
53	758	31	81.7	80.3	81.4	80.8	81.5	80.9	81.8	80.9	81.4	81.6	81.3	81.7	81.3	82	81.3	80.9	81.5	81	81.6	81	83.15	0.51
81	759.5	28	83.3	81.9	83.8	82.8	84.1	83.2	83.9	84.9	84	83.4	83.9	83.5	84.1	83.7	84	83.7	83.9	83.7	84	84.2	84.60	0.73
48	758.5	31.5	81.2	80.2	81.1	80.7	81.1	80.7	81.3	80.9	81.2	81	81.3	80.7	81.3	80.9	81.2	80.9	81.1	80.9	81	80.8	82.90	0.33
78	761	29	84.3	83.5	84.6	85.2	84.7	84	84.8	84.1	84.1	83.9	84.7	83.8	84.6	83.9	84.7	84.1	84.7	83.9	84.4	84	85.32	0.51
71	761.5	30	82.1	81.4	82.4	81.7	82.4	81.9	82.3	81.8	82.4	81.8	82.7	82	82.6	81.7	82.4	81.6	82.5	81.9	82.7	81.7	83.31	0.49
65	761.5	30.5	82.7	81.9	82.3	81.9	82.2	82.1	82.7	81.8	82.3	81.8	82.5	82	82.8	81.5	82.1	81.3	82.3	81	82.8	82.1	83.46	0.59
63	761.5	31	82.5	81.4	81.8	81.5	82.7	81.6	82.3	81.8	82.3	81.8	82.2	81.5	81.9	81.5	81.9	81.4	82.3	81.5	82.3	81.4	83.36	0.50
52.5	760	32	82.7	81.5	82.2	81.6	81.8	81.6	82.2	82	82.3	81.4	81.9	81.6	82.2	81.5	82.2	81.4	81.9	81.4	81.5	80.8	83.71	0.53
50	760	32	82.1	81.8	80	81.5	79.5	81.5	80.3	81.2	80	81	80.5	81.1	79.8	81.4	80.4	80.8	80.5	81.2	80.3	81.2	82.70	0.87
74	761	30	83.4	81.8	83.1	82.1	83.2	82.7	83.4	83.1	83.2	82.8	83.1	82.9	83.3	82.9	83.3	83	83	82.5	83.3	82.4	84.21	0.52
80	759.5	29	82.6	81.2	82.5	81.4	82.5	81.5	82.3	81.7	82.2	81.1	82.2	81.4	81.7	81.6	81.7	81.5	82.7	81.7	82.5	81.5	83.03	0.62
55	762	29	82.2	81.1	82.5	81	81.8	81.2	81.9	81.4	82.3	81.4	82.2	81.4	82	81.2	82.2	81.2	82.1	81.6	82.2	81.5	82.60	0.58
59.5	762	27	82.8	82.1	83.1	82.2	83	81.2	82.9	81.9	83.2	82.1	80.9	82.5	81.1	82.6	81.6	82.6	81.6	82.5	81.5	82.5	82.53	0.84
53	760	30	82.7	81.2	82.2	80.8	82.1	80.8	81.7	80.3	82.2	81	81.7	80.4	81.9	81.1	81.8	81	81.5	80.6	81.6	81	82.75	0.81
47	760	29	82	80.6	82.2	80.8	81.7	80.8	81.6	80.6	81.4	80.8	81.5	80.6	81.2	80.7	81.7	80.6	81.3	80.6	81.2	80.6	82.21	0.65
47	761.5	26	82.3	82	82.3	81.8	82.3	81.7	82.6	81.6	82.4	82	82.6	81.8	82.6	81.9	82.1	81.9	82.2	81.7	82.3	81.8	82.21	0.39
41	759	28	82.8	82.2	83.2	82.4	83.5	81.9	83.2	84.3	84	83.3	83.5	82	83.2	82	83.9	82.1	82.9	82	82.8	82.4	83.82	0.89
50	761.5	26	82.5	82.2	83.3	82.4	83	82.5	82.5	82.2	83	82.5	83	82.5	82.5	82.1	82.8	82	82.9	82.2	82.9	82.1	82.67	0.45
47	760	28.5	82.9	81.9	83.1	82.7	83.1	82	82.9	82.3	83	82.2	82.9	82.1	82.8	82.4	82.7	82.1	82.8	82.4	83.2	82.5	83.57	0.49
55.5	762	27	82.4	81.8	82.4	83.1	82.5	83.1	82.5	82.8	82.6	83.1	82.7	83	82.7	83.3	82.5	82.9	82.4	83	82.6	82.8	83.05	0.42
51	759.5	29	82.8	82.3	83.1	82	83.1	81.8	82.6	82	82.5	81.8	82.9	81.9	82.6	81.8	82.8	82.2	82.8	82.2	82.5	82.3	83.56	0.53
64	760	24.5	83.9	83	83.9	83	83.7	83	83.5	83.4	83.9	83.4	83.7	83.2	83.8	83.4	83.6	83.3	83.7	83.3	84	83.3	83.36	0.38

Atmosphere			Peak Voltage (kV)																				$U_{50\%} / \delta$	% σ
H(%)	P(Hg)	T($^{\circ}$ C)	1	2	3	4	5	6	7	8	9	10	11	12	13	14	15	16	17	18	19	20		
52	760	29	82.6	82.1	82.7	82.2	82.6	81.8	82.8	81.8	82.4	81.7	82.4	81.5	82.2	81.4	82.4	81.4	82.3	81.6	81.8	81.6	83.17	0.55
57	760	28	82.4	81.1	82.3	81.4	82	81.5	81.8	81.3	82.1	81.2	82	81.1	81.9	81.2	81.7	81.1	82.1	81.2	82	81.1	82.45	0.55
87	758	28	83.6	82	83	82.2	83.7	83.6	83.3	82.1	83.6	82	83.6	83.4	83.7	83	83.8	82.2	84.1	83.2	83.9	83.7	84.24	0.84
78	761	28	84	83.4	84.2	83	83.7	83.1	84	83	84.6	83.1	84	83	84	83.2	83.8	83	84.1	83.2	84.5	83.7	84.36	0.64
68	760	27	82.6	82	82.7	81.7	82.7	82	83.1	82.5	82.7	83.1	82.6	82	82.8	83.9	82.7	82.3	83	82.5	82	83	83.15	0.62
50.5	761	26.5	82.9	82.4	83.3	82.4	83	82.5	82.5	82.2	83	82.5	83.1	82.5	83	82.5	82.7	82.3	82.8	82.4	82.9	82.4	82.97	0.37
54	761.5	27	82.4	81.4	82.5	81.4	81.8	81.3	81.9	81.4	82.3	81.4	82.6	81.6	82.4	81.5	82.2	81.4	82.2	81.6	82.2	81.5	82.24	0.55
62	762	30.5	83.3	82	83.3	82.4	83.4	82.6	83	82	82.5	81.8	82.8	82.1	82.9	82.1	83.2	82.1	82.7	82.7	83.1	82.7	83.94	0.60
45	768.5	25	83.9	82.7	84	83.2	83.8	82.7	83.9	82.7	84	83.2	83.9	82.8	83.8	82.9	84	83.1	84.2	82.9	84	83	82.51	0.66
40	766	24.5	84	83	84	83	84.4	83.2	84.2	82.9	83.6	83	83.9	83	83.4	83.1	84.5	83.3	84	83	84.6	82.9	82.76	0.71

ตารางที่ ง.3 ข้อมูลแรงดันเบรกดาวน์ด้วยวิธีปรับขึ้นลง อิมพัลส์ขั่วบาก ที่ระยะแกป 6 cm.

Atmosphere			Peak Voltage (kV)																				$U_{50\%} / \delta$	% σ	
H(%)	P(Hg)	T($^{\circ}$ C)	1	2	3	4	5	6	7	8	9	10	11	12	13	14	15	16	17	18	19	20			
70	759	29	157.6	149.3	158.1	152.8	158.9	149.9	157	159	158.5	149	159.1	150.3	158.8	150.5	158.6	150.3	159.2	156	158.3	151	157.40	2.63	
64	760	29.5	158.3	154.5	151.4	153.9	158.1	154.6	157.8	154.1	157.8	154.8	158.3	154.3	157.6	154.4	157.4	154.6	158.3	155	150.9	155.8	157.94	1.45	
60	760	30	160.6	159	156.2	152.5	156.3	153	156.5	153	156.7	152.8	156.4	152.3	156.9	152.1	156	151.1	156.9	152.4	156.7	153.1	157.63	1.68	
60	760	30	156.6	152.3	156.6	152.4	156.2	152.1	156.4	152.7	155.8	152.2	156	153.2	155.4	152	155.4	152.4	155.8	153	156.2	152.3	156.84	1.22	
63.5	759	31	158.8	154.6	158.6	155.2	158.4	155.1	157.3	154.6	157	159	158	155.4	158.1	155.4	158.2	155.1	158	155.4	157.1	155.4	160.10	1.01	
79	758	28	159.4	155.3	159	162	159.2	161.3	159.3	161.9	160.1	155.7	159	161.3	158.8	161.4	158.7	162.5	158.5	161.3	158.9	161.8	161.80	1.23	
75	758	28.5	161.3	158.3	161.3	158.5	160.9	158.3	160.5	158	161.3	158.6	162.1	159.3	156	159	161.2	158.7	160.6	158.5	157	158.9	161.71	1.03	
73	758	29	159.1	155.2	159.4	155.3	159	155.7	159.2	155.2	159.2	156	159	155.9	159.6	155.9	159.4	155.8	159	155.8	159.5	155.8	159.98	1.18	
70	758	29	159.2	155.7	159	155.6	159.1	155.5	159	155.6	159	155.8	159.5	155.7	159	155.8	158.7	155.4	158.9	156	159.1	155.4	159.88	1.12	
66	759	30	160	156.6	159.5	156.7	159.1	156.7	159.3	156.7	159.3	157.6	159.4	156.6	159.8	156.7	158.8	155.6	159.2	157	159	155.3	160.81	0.96	
65	759	30	159.3	156.7	159	157.3	159.2	157.4	159.3	157.4	159.3	156.5	159.2	156.8	159.1	157	159.6	157.1	159.3	157.1	158.8	156.3	160.95	0.75	
63	759	31	159.4	153.1	157.8	152.1	157.2	152.9	156.1	156.8	156.2	157.2	157	153.2	158.7	153.2	158.3	153.1	158.3	153.3	158.3	153.5	159.13	1.56	
80.5	758	27.5	164	160.2	151.9	160.9	152	159.3	163.5	159.3	162.4	159.4	154.3	159.9	162.8	159.5	162.8	159.1	162.3	159.4	163.7	159.3	161.57	2.20	
81	758	28	164.3	159.1	162.6	159.9	154.5	159.5	163.4	159.9	155.5	159.2	164	160	157.5	159.8	157	161.3	155.8	158	162.4	160.6	161.75	1.75	
76	762	28	158.7	154.3	157.5	159.3	158.1	159.9	158.2	159.7	158.1	159	158.3	158.9	158.2	158.8	158.3	157	158.1	158.7	157.8	159.1	159.47	0.74	
75	762	28	159.3	157.6	159.2	157.6	159.3	158.7	157.9	156.5	157.3	157.8	159.1	157.3	158.5	157.6	158.7	157.7	158.6	157.9	158.3	157.8	159.31	0.49	
59.5	760	30	158.8	155.6	157.9	155.2	157.6	156.2	157.7	155.9	157.6	155.9	157.4	155.9	157.5	155.8	157.2	155.9	157.4	155.5	157.8	156.2	159.38	0.66	
70	761	28	163.1	160.4	161.9	160.3	162.2	159.8	161.2	160.2	161.6	158.8	161.3	159.7	161.5	160.2	161.1	159.6	161.1	159.5	161.2	158.8	162.08	0.71	
46	758.5	31	159.5	152.2	156.4	153.9	157.7	156.4	158.6	156.6	157.8	156.6	159.1	157	159	156.7	158.6	156.6	158.1	155.2	157.7	157	160.51	1.13	
68	760	27.5	162.6	158.3	162.9	158.6	161.2	157.8	161.1	159	161.3	160.2	161.3	159	161	160.5	160.9	159.6	161.5	159.9	161.8	160.6	161.80	0.87	
44.5	758	32	157.6	155.7	156.9	155.9	154.9	156.5	155.1	156.5	155.6	156.3	155.9	156.5	156.5	156	156.3	156.1	157	155.9	156.5	155.8	156.7	160.28	0.41
58	760	30	158.6	155.9	157.9	157	158	156.6	159.1	157.3	157.7	156.6	158.4	157.5	158.3	156.5	158.4	157.8	158.7	157	158.8	157.2	160.31	0.56	
53	758	31.5	156.1	152.1	154	152.4	154.6	152.8	154.8	152.8	155.4	153.1	154.8	153.6	154.3	153.8	154.8	153.7	155	154	155.3	154.1	157.85	0.69	

Atmosphere			Peak Voltage (KV)																				$U_{50\%} / \delta$	% σ
H(%)	P(Hg)	T($^{\circ}$ C)	1	2	3	4	5	6	7	8	9	10	11	12	13	14	15	16	17	18	19	20		
49	759	31.5	158.6	156.3	157.5	155.8	157.4	155.8	157	155.8	156.7	156.1	156.3	156.1	155.7	156.3	157.2	155.6	156.7	155.3	157.1	156.4	160.11	0.51
48.5	759	32.5	156	154.4	155.9	155.4	155.8	155.4	155.8	154.6	155.9	154.7	156.8	155.4	156	154	156	154.4	156.6	155.2	156	155.4	159.61	0.48
79	761	29	161.1	159.4	161.3	159.9	161.4	158.6	160.4	159.2	161.3	159.5	158	159.6	160.9	159.5	161.2	159.5	159.7	159.4	161.2	159.4	161.96	0.63
79	759	28.5	158.9	155	158.3	155.3	157.7	155.3	158.2	155.9	157.7	156.4	157.5	155.2	156.4	156.1	157.6	154.9	157.6	155.7	157.3	155.3	158.66	0.81
56.5	762	28	158	155.2	157.2	156.1	157.4	154.6	156.4	155.2	156.8	155.3	157.3	155.6	156.8	155.5	156.8	155.6	156	154.3	156.8	155.4	157.27	0.64
59.5	762	27.5	158.3	156.8	158.3	156.8	158.9	156.4	158	156.9	158	156.4	158.2	156.8	158.3	157.2	158.4	156.6	158.2	157.2	158.2	157.9	158.49	0.50
46	759.5	29	156.9	155	156.8	155.2	156.4	155.3	157	154.7	153.9	155.2	153.1	155.9	154.2	155.6	154.2	155.8	154.6	155.7	154.4	156	157.48	0.68
47	761.5	26	156.3	152.9	157.8	155.1	156.9	154.9	157.7	155.5	157.3	157	157.7	156.1	157.6	156.9	157.8	155.9	157.7	156.7	157.6	156.8	156.83	0.81
41	759	28	159.4	156.6	159.7	156.7	158.3	157.2	158.1	157.6	159.6	157.5	159	156.7	159	157.5	159	157.4	158.2	157.5	159.1	157.5	159.88	0.63
49	761.5	27	158	156	157.1	159.5	158.2	155.9	158.6	156.1	158.1	155.9	158.1	156.1	158.3	157.1	157.1	156.6	157.8	156.2	158.1	157.4	158.05	0.67
47	760	28	158.6	157.7	159.4	158	159.2	157.2	159.2	157.5	158.7	157.3	158.2	157.8	158.4	157.7	158.8	156.9	159.4	157.5	158.8	157.4	159.78	0.50
55	762	27	159.7	158	159.3	158.6	159.4	158.6	160	158.6	159.3	158.6	158.9	158.6	158.8	157.9	159.9	158	158.4	158	158.4	158.3	159.41	0.40
51	760	29	159.6	157.5	158.4	157.4	159.3	157.7	159.3	158.4	159.3	157.7	159.2	157.6	158.6	157.8	158.6	158	158.6	157.3	158.5	157.6	160.45	0.47
64.5	760.5	24.5	160.8	158.2	160.4	158.4	160.1	159.1	160.5	159.7	161	158.4	160	158.8	160.8	158.5	160.4	159.6	160	158.8	160.4	159.5	159.30	0.57
48	759.5	26	157.7	156.2	158.2	156.2	158.6	156.8	157.7	156.9	158	155.8	157.7	155.7	157.2	156.4	157.8	156.2	158.6	157.1	158.3	156.7	157.82	0.59
52	760	29	158.2	157	158.2	157	158.2	156.6	157.4	156.8	157.2	156.1	157.5	156.8	157.5	156.2	157.8	156.2	157.2	156	158	156.1	159.21	0.48
51	761.5	28	160.6	158.2	160.6	157.4	159.5	157.3	158.4	156.3	158.4	156.8	158.2	156.4	158.3	156.6	158.7	157.6	159	156.8	158.5	158.2	159.37	0.78
57	760	28.5	158.6	156.8	157.6	156.7	157.6	156.8	157.8	156	157.1	156.3	157.4	155.8	157.5	156	157.6	156.6	157	156.1	157.5	156.4	158.80	0.47
90	758	27	162	159.7	161.3	159.9	161.4	159.7	160.4	159.2	161.3	160.2	158.7	159.6	160.9	159.5	161.2	160	159.7	159.4	161.2	159.4	161.74	0.57
71	761	28	160	158.1	159.3	158.6	159.4	158.5	160	158.4	160.3	158.6	158.9	158.6	160	158.3	159.9	158.2	158.4	158	158.6	158.3	160.31	0.47
65	762	29	160.2	157.5	158.4	157.4	159.3	157.7	159.3	158.4	159.3	158	159.2	157.6	158.9	157.9	158.6	157.9	158.4	158	158.5	157.5	160.10	0.48
82	761	27.5	159.9	158	159.1	162	159.2	161	159.3	161.9	160.1	157.7	159	161.2	158.8	161.4	158.7	161.9	158.5	161.3	158.9	161.8	161.12	0.90
63	759	27.5	159.7	157.7	159.2	157	159.3	157.6	159.7	157	158.8	157	159.1	157.7	160.2	156.9	158.9	157.5	158.3	157.4	156	160	159.79	0.77
50	761	26	159.8	158	159.1	157.9	159.3	157.7	159.3	158.4	159.3	157.7	159.2	157.6	158.6	157.8	158.6	158	158.6	157.3	158.5	157.9	158.75	0.45
53	761.5	27.5	158.3	157.1	158.2	157	158.2	156.6	157.4	156.8	157.8	156.7	157.5	156.8	157.5	156.6	157.8	156.6	157.2	156.9	158	157.5	158.33	0.37
62	762	30	161.9	157.4	160.6	158	160.1	158.1	159.8	157.4	158.3	157.6	160.1	157.8	157.9	157.5	159.8	157.7	159.9	157.4	158.2	157.8	160.90	0.84

Atmosphere			Peak Voltage (kV)																				$U_{50\%} / \delta$	% σ
H(%)	P(Hg)	T($^{\circ}$ C)	1	2	3	4	5	6	7	8	9	10	11	12	13	14	15	16	17	18	19	20		
44.5	768.5	25	162	160.4	161.7	160	161.2	160.1	161.4	160.5	161.2	160.1	161.5	160.4	162	161	161.8	160.7	161.7	160.3	162.5	160.5	159.27	0.47
41	766	24	160.8	157.6	160.8	157.9	160.9	158.1	159.8	158.4	160.9	158.7	161.4	158.8	161.7	158.6	162	158.4	160.7	157.9	160.9	157.9	157.83	0.94

ตารางที่ ง.4 ข้อมูลแรงดันเบรกความด้วยวิธีปรับขึ้นลง อิมพัลส์ขั่วบวก ที่ระยะแกenge 9 cm.

Atmosphere			Peak Voltage (kV)																				$U_{50\%} / \delta$	% σ
H(%)	P(Hg)	T($^{\circ}$ C)	1	2	3	4	5	6	7	8	9	10	11	12	13	14	15	16	17	18	19	20		
66	759	30	224	218	233	217	225	218	227	217	226	215	227	215	225	232	229	216	227	216	226	231	227.24	2.73
61	760	30.5	228	218	226	218	225	218	222	219	224	219	225	216	224	219	226	219	225	218	224	218	225.64	1.65
65	760	29.5	236	227	218	227	236	231	221	226	237	227	237	227	239	226	238	226	237	227	239	229	234.03	2.74
60	760	31	228	218	226	217	226	235	226	236	231	221	231	221	230	223	229	219	230	222	229	221	230.50	2.44
59	760	31	229	219	227	220	230	222	234	220	229	220	229	221	229	220	226	231	228	220	229	221	229.73	2.13
64	759	31	230	225	230	225	219	224	232	226	231	225	231	225	231	226	235	225	231	226	231	225	232.54	1.68
75	758	28.5	230	224	230	226	231	226	230	227	231	226	231	227	231	236	230	236	231	227	230	236	233.11	1.49
74	758	29	233	227	234	227	235	227	232	227	233	227	233	226	233	228	224	226	233	226	233	227	233.25	1.54
72	758	29	233	226	233	227	234	227	234	226	233	226	236	226	234	226	233	227	233	226	233	226	233.65	1.66
64	759	31	227	220	226	234	227	232	227	221	226	232	228	224	228	232	226	233	227	234	227	233	233.10	1.78
63	759	31	233	228	222	227	221	226	231	226	231	227	231	228	222	227	231	227	224	227	232	227	232.28	1.50
62.5	759	31	231	227	230	226	231	227	232	227	221	227	229	228	221	226	222	229	224	227	225	227	231.72	1.38
79.5	758	27	233	226	234	226	233	226	232	236	233	227	236	227	232	241	233	227	233	226	233	226	233.16	1.88
81.5	758	28	233	225	233	228	236	226	233	227	235	226	233	226	236	226	232	228	233	227	231	235	233.38	1.67

Atmosphere			Peak Voltage (kV)																				$U_{50\%} / \delta$	% σ	
H(%)	P(Hg)	T($^{\circ}$ C)	1	2	3	4	5	6	7	8	9	10	11	12	13	14	15	16	17	18	19	20			
86	758	28	231	225	231	225	229	225	218	223	230	224	229	226	228	226	227	225	227	223	226	223	228.93	1.40	
82	759	27	233	226	234	226	230	225	231	226	229	226	231	226	230	226	232	227	230	227	228	231	230.54	1.20	
70	757	28.5	227	219	224	229	226	228	226	228	226	228	226	223	225	228	226	228	227	222	224	229	229.51	1.13	
74.5	761	28	226	220	225	231	227	229	227	230	226	231	227	230	227	226	228	229	227	230	228	226	229.49	1.11	
48	759	31.5	225	219	224	220	228	224	228	224	230	224	226	223	227	224	227	224	225	224	223	224	229.85	1.15	
48	759	31.5	226	220	225	223	225	224	226	223	226	223	225	224	222	223	226	223	225	228	226	224	229.55	0.81	
54	761	28.5	231	223	230	227	232	225	228	227	228	233	228	232	230	226	227	226	228	225	228	227	230.43	1.14	
53.5	761	29	228	225	228	226	228	230	228	225	228	231	229	226	229	226	229	226	227	226	229	226	230.25	0.75	
53	761	29.5	229	226	227	225	231	226	228	226	228	227	228	226	229	225	229	227	229	226	225	226	230.28	0.73	
44	758	31	229	220	228	224	228	225	220	223	228	223	228	222	228	222	224	223	224	222	223	220	229.32	1.33	
53	759.5	30.5	226	225	229	222	227	225	227	225	227	225	227	226	227	225	227	225	226	225	227	225	230.22	0.64	
53	759.5	30	229	225	228	224	229	225	227	225	226	225	226	226	227	224	227	225	225	225	227	225	229.94	0.66	
57	760	28	230	228	231	228	231	230	231	228	230	228	229	227	228	228	228	227	229	227	228	227	230.95	0.61	
50	761	31	227	224	227	224	227	225	228	225	227	224	228	224	227	224	225	223	226	224	227	224	229.74	0.71	
62	761	29.5	228	226	228	227	228	226	227	226	226	226	227	224	227	226	226	227	226	226	226	225	229.52	0.44	
57.5	761	27	234	227	232	227	232	227	231	227	228	226	230	227	229	227	228	226	229	226	227	226	229.53	1.03	
46	759.5	29	224	220	223	221	225	222	225	222	224	222	225	221	224	223	225	222	224	221	224	222	226.09	0.71	
47	762	26	228	224	228	226	228	226	228	225	226	225	227	226	227	226	227	226	227	226	228	226	226.66	0.51	
56	760	24	233	227	231	226	228	227	231	228	230	228	229	227	230	227	231	229	230	228	229	227	228.03	0.80	
55	761.5	25	225	219	226	232	227	227	228	224	227	225	228	225	227	226	226	225	228	226	227	226	225.75	1.06	
58	761	26.5	227	226	230	226	228	227	228	226	228	225	229	224	226	225	226	224	229	226	229	225	227.54	0.77	
40.5	758.5	27.5	227	225	230	227	228	226	228	226	228	226	226	228	227	228	226	227	226	226	225	227	225	229.15	0.57
48	759.5	26	228	225	230	225	228	225	228	224	228	226	227	225	227	226	227	227	226	226	226	225	227.36	0.65	
55	759	24	227	224	228	226	230	225	228	225	229	225	228	226	230	227	230	227	228	228	225	225	226.84	0.85	
51	759.5	28.5	230	225	228	226	229	225	230	227	229	226	229	226	228	227	229	227	229	226	229	227	230.42	0.70	
51	761.5	28	231	228	229	226	229	226	229	227	230	226	229	226	230	228	260	226	230	227	231	228	231.66	3.18	

Atmosphere			Peak Voltage (kV)																				$U_{50\%} / \delta$	% σ
H(%)	P(Hg)	T($^{\circ}$ C)	1	2	3	4	5	6	7	8	9	10	11	12	13	14	15	16	17	18	19	20		
49	760	28	228	223	228	225	228	225	229	226	229	227	229	226	228	227	228	227	229	228	231	228	229.74	0.79
59	760	29	228	223	226	223	226	223	225	225	226	223	225	223	226	225	226	225	226	223	226	224	227.87	0.65
61	758.5	28	229	226	229	226	226	225	230	226	229	226	229	226	228	226	229	226	227	226	229	227	229.99	0.68
71	760	26	227	226	228	225	228	225	228	227	228	227	229	226	229	226	228	228	229	227	229	227	228.11	0.56
87	758	27	235	227	221	227	234	231	224	228	233	227	233	227	232	226	232	226	233	227	232	229	231.35	1.64
84	758	28	232	226	232	227	233	227	231	226	230	228	236	226	232	226	231	227	230	226	231	227	232.12	1.29
61	760	29	228	222	228	231	227	233	227	222	227	230	228	224	228	232	226	232	227	232	227	231	231.16	1.39
62	760	29	228	221	226	232	227	232	227	221	226	232	228	226	228	232	226	232	227	233	227	233	231.31	1.61
63	760.5	29	226	220	225	231	227	229	227	230	226	231	227	230	227	226	228	229	227	230	228	226	230.40	1.11
65	762	29	230	227	229	228	229	228	229	227	231	228	230	228	230	226	229	228	229	227	229	227	230.91	0.56
82	761	27.5	233	228	231	227	233	226	232	226	231	226	232	226	231	226	233	227	232	226	233	226	230.87	1.32
81	761	28	230	227	230	228	231	227	231	227	230	227	230	227	230	227	231	228	230	227	231	227	230.80	0.74
52.5	761	27	229	227	228	227	228	226	229	228	230	226	229	226	230	224	229	226	229	226	230	226	228.88	0.76
63	760.5	29	226	225	228	224	228	226	228	225	227	223	228	224	227	223	225	222	227	223	225	223	228.22	0.88
46	768	24.5	232	228	232	228	232	229	233	231	233	229	233	228	262	229	232	229	233	228	233	229	229.35	3.15
41	766	24	231	226	230	225	229	225	232	226	231	226	232	225	231	226	229	226	233	225	232	224	225.65	1.34

ตารางที่ ง.5 ข้อมูลแรงดันเบรกดาวน์ด้วยวิธีปรับขึ้นลง อิมพัลส์ขั่วบาก ที่ระยะแกป 12 cm.

Atmosphere			Peak Voltage (kV)																				$U_{50\%} / \delta$	% σ
H(%)	P(Hg)	T($^{\circ}$ C)	1	2	3	4	5	6	7	8	9	10	11	12	13	14	15	16	17	18	19	20		
61.5	760	30.5	312	301	312	304	311	301	310	302	307	300	294	300	307	300	311	300	310	301	308	302	310.27	1.72
61	760	30.5	301	293	300	309	300	309	300	308	300	293	297	293	300	292	299	309	300	294	301	312	306.05	2.03
66	760	29	298	292	286	292	304	291	299	308	299	310	299	308	299	307	300	313	301	308	300	308	305.14	2.38
59.5	760	31	295	292	297	310	294	300	295	301	294	304	313	302	294	301	312	302	312	302	311	301	307.67	2.27
60	760	31	313	301	312	300	312	297	293	304	293	301	312	300	312	304	294	287	293	286	293	286	305.68	3.04
64	759	31	310	302	295	303	293	290	295	297	295	302	296	302	296	301	296	289	296	289	295	289	302.92	1.85
70	758	29.5	303	300	306	300	304	300	306	312	307	300	293	300	293	299	291	287	292	292	299	292	304.47	2.11
68.5	758	29.5	298	293	298	294	289	282	285	278	284	291	301	308	300	292	284	292	284	291	293	291	296.58	2.52
68	758	30	293	284	292	297	293	284	293	284	291	299	292	285	292	299	292	286	291	300	292	299	297.58	1.79
65	759	31	302	293	286	287	285	292	298	294	299	308	315	311	301	305	302	294	302	294	285	293	303.69	2.88
63	759	31	299	287	295	287	296	288	291	286	281	287	279	287	293	286	296	286	293	287	293	286	295.36	1.79
78.5	758	27	306	299	305	300	293	283	290	284	290	284	291	299	307	299	301	299	305	297	291	295	298.67	2.51
82	758	28	297	290	297	306	297	307	298	310	299	312	299	305	290	289	295	304	297	304	310	306	304.43	2.29
79	759	27	299	290	294	300	298	300	296	290	296	290	297	291	298	294	296	301	298	291	298	291	297.77	1.27
70	757	28.5	292	286	292	296	293	289	293	297	293	290	285	288	291	288	292	286	290	288	283	287	294.52	1.26
78	761	27.5	301	295	302	298	301	297	303	297	301	296	300	302	300	297	300	298	300	301	303	301	301.77	0.78
48	759	31.5	301	293	303	297	301	304	300	303	300	298	300	297	296	299	298	300	293	298	295	298	305.62	1.02
48.5	759	31	301	296	300	306	302	303	299	305	300	296	300	301	300	303	300	302	299	301	299	303	307.26	0.84
52	761	30	302	295	299	295	299	295	300	295	297	293	286	290	287	291	298	304	299	293	297	301	300.37	1.62
50	761	30	293	286	293	286	292	287	292	298	292	301	308	300	297	298	294	291	296	300	296	300	299.56	1.88
46	759	31.5	295	294	295	293	303	294	300	305	303	294	300	296	294	296	290	295	301	296	299	306	304.34	1.48
56	760.5	30.5	308	304	310	305	308	305	300	305	298	293	283	291	299	302	299	292	299	301	300	291	304.98	2.29
54	761	30.5	301	298	299	291	300	293	300	292	302	295	302	295	304	295	286	292	302	299	303	300	302.54	1.62

Atmosphere			Peak Voltage (kV)																				$U_{50\%} / \delta$	% σ
H(%)	P(Hg)	T($^{\circ}$ C)	1	2	3	4	5	6	7	8	9	10	11	12	13	14	15	16	17	18	19	20		
44	760	32	302	294	303	299	303	299	292	299	306	298	294	297	294	298	304	298	303	297	302	298	306.02	1.27
56.5	760	28	302	296	303	301	303	300	304	300	302	301	303	300	303	300	301	300	301	300	300	298	303.93	0.63
50	759	31	305	296	303	299	301	294	299	297	299	296	301	299	301	298	305	297	299	297	300	297	305.58	0.97
67	760	29	299	297	301	295	300	296	301	299	304	300	301	296	303	296	305	300	301	296	295	299	303.22	0.99
57	761.5	27.5	300	298	300	296	293	298	302	295	301	296	300	299	300	299	301	298	301	296	299	295	300.26	0.82
46	759.5	29	298	290	297	290	295	292	297	290	296	291	294	292	294	292	295	290	295	292	292	292	297.33	0.88
47	762	26.5	296	290	297	292	300	292	296	291	297	293	299	292	300	292	297	292	297	302	299	302	296.51	1.29
59	760	24	300	293	300	294	297	295	298	294	298	294	300	295	299	294	298	297	297	294	300	295	295.60	0.82
60	760.5	23	300	293	301	294	290	296	289	297	302	295	293	296	290	295	301	293	289	290	288	293	292.08	1.47
58.5	761	26	298	295	299	294	297	295	298	302	296	303	299	300	298	302	298	302	298	299	298	300	299.16	0.83
42	759	28	298	295	298	297	301	296	299	297	299	297	300	295	291	295	302	299	291	300	293	299	300.49	1.03
56	759	24	298	294	301	295	301	297	299	297	302	299	299	295	298	294	301	298	300	297	301	297	297.54	0.82
51	759.5	28.5	301	296	300	297	301	299	304	298	302	298	299	296	301	296	298	296	303	296	298	296	302.46	0.85
50	760.5	28.5	298	295	296	295	301	297	298	295	298	296	299	295	299	297	298	297	298	295	297	294	300.19	0.60
48	759.5	28	299	295	299	297	299	296	298	295	299	298	299	295	298	296	298	297	299	295	299	298	300.64	0.53
60	760	29	298	295	298	294	298	296	297	293	297	295	296	293	296	294	298	296	300	297	298	295	300.18	0.63
61	758.5	28.5	302	299	301	298	301	299	303	299	301	298	303	301	303	299	301	300	301	300	302	299	304.63	0.53
76	760	26	301	298	300	295	300	298	302	304	300	304	302	303	301	296	299	296	303	298	301	298	300.96	0.89
90	758	27	299	293	300	293	304	292	299	308	299	309	300	307	301	307	300	308	301	308	300	306	304.30	1.76
89	758	27	300	295	301	310	296	300	295	301	295	304	310	302	290	304	310	302	309	302	307	301	304.61	1.88
62	760.5	29	300	297	302	299	301	299	303	297	301	296	300	302	300	298	301	297	301	296	302	296	303.14	0.76
63	760.5	29	301	296	301	297	301	304	300	303	301	299	300	297	296	299	298	300	298	301	293	301	303.18	0.87
63.5	760.5	29	299	296	299	296	300	295	300	296	300	297	300	297	301	297	302	299	303	296	300	299	302.55	0.75
77	761	28	300	298	300	298	300	297	302	303	300	303	302	303	301	296	299	296	303	298	301	297	302.25	0.80
73	761	28	300	298	300	296	300	296	300	296	300	297	300	297	301	297	302	297	300	298	300	298	301.30	0.62
81	761	28	304	299	303	298	303	299	303	299	301	298	303	301	303	299	301	300	301	300	302	299	302.77	0.64

Atmosphere			Peak Voltage (kV)																				$U_{50\%} / \delta$	% σ
H(%)	P(Hg)	T($^{\circ}$ C)	1	2	3	4	5	6	7	8	9	10	11	12	13	14	15	16	17	18	19	20		
63	759	27	300	297	299	297	299	296	298	296	300	295	303	296	300	294	300	295	299	296	300	297	299.88	0.77
53	761	27	299	295	299	295	298	296	297	294	297	295	296	294	296	295	298	296	300	297	300	296	298.47	0.62
62	760.5	29.5	300	295	300	297	302	298	301	297	300	297	301	300	301	297	300	296	301	300	300	297	303.32	0.68
48	768	24	304	298	305	300	305	304	306	304	306	300	303	299	301	298	303	302	303	300	303	301	298.10	0.83
41	766	24	304	300	305	300	304	301	306	299	304	300	307	301	305	300	304	301	305	301	304	301	299.22	0.80

ง.2 ข้อมูลแรงดันเบรกดาวน์คอมพลัสขัวลับ

ตารางที่ ง.6 ข้อมูลแรงดันเบรกดาวน์ด้วยวิธีปรับขั้นลง ขัวลับ ที่ระยะแกpal 1 cm.

Atmosphere			Peak Voltage (kV)																				$U_{50\%} / \delta$	% σ	
H(%)	P(Hg)	T($^{\circ}$ C)	1	2	3	4	5	6	7	8	9	10	11	12	13	14	15	16	17	18	19	20			
90	759	27	31.9	30.7	31.8	30.9	31.7	31.9	31.7	32.8	33.6	32.7	33.4	32.5	33.8	32.8	33.5	32.8	33.4	32.7	33.6	32.8	32.81	2.73	
74.5	760	28	33.1	32.2	33	34	33.8	32.9	33.9	34.3	33.5	34.3	33.7	34.2	34	34.2	34	33.6	34.2	33.8	34	33.6	34.05	1.56	
72.5	760	28	32.1	31.1	31.9	31.5	31.7	31.5	31.8	31.5	31.2	31.4	31.8	31.4	31.7	31.2	31.7	31.4	31.5	31.4	31.8	31.2	31.86	0.73	
72	760	28.5	31.6	31.3	31.7	31.2	31.8	31.4	31.1	31.2	32	31.2	32	31.1	31.6	31.3	31.5	31.9	31.8	31.2	31.7	31.2	31.86	0.97	
72	760	28.5	32	31.1	31.7	32.3	32.8	32.3	32.1	32.4	32.1	32.4	31.9	32.3	32.7	32.2	32.7	33.5	32.8	32.2	33	32.3	32.72	1.55	
72	760	28.5	31.9	31	32.1	32.3	32.5	32.5	32.1	32.8	32.2	32.9	32.2	31.9	32.4	31.7	32.2	31.9	32.1	31.6	32.2	31.6	32.48	1.35	
65	760.5	30	33	32.4	33.1	32.7	33.1	32.6	32.9	32.7	33	32.5	32.1	32.5	33	32.6	32.2	32.5	32	32.6	32.4	32.6	33.15	0.95	
65	760	30	32.4	32	32.4	32.1	32.5	32.1	32.4	32	32.4	32.1	32.5	32.1	32.4	32.5	32.4	32.6	32.3	32.6	32.4	32.2	32.86	0.60	
64	760	30	32.3	32.1	32.3	32.6	32.4	31.9	32.3	32.5	32.3	32.5	33	32.5	32	32.5	32.2	32.5	32.2	32.2	31.9	32..3	32	32.86	0.85
65	760	30	32.4	32.2	32.6	32.9	32.5	33	32.7	32.2	32.6	32.2	32.5	32.9	32.4	32.3	32.6	32.4	31.9	32.2	32.5	32.3	33.01	0.85	
68.5	759	29.5	32.8	31.6	32.2	31.8	32.3	32.1	32.5	32	32.2	32	32.3	31.9	32.3	32.1	32.4	32.2	32.3	31.9	32.3	32.1	32.69	0.68	

Atmosphere			Peak Voltage (kV)																				$U_{50\%} / \delta$	%σ
H(%)	P(Hg)	T(°C)	1	2	3	4	5	6	7	8	9	10	11	12	13	14	15	16	17	18	19	20		
68.5	759.5	29.5	32.1	31.9	31.3	31.9	32.1	32	32.2	32.7	32.1	32.5	32.2	32.7	32.3	31.9	31.6	31.9	32.3	31.8	32.4	31.8	32.59	1.09
65.5	762	29	32.4	32.1	31	32	32.5	31.9	31.6	32	32.6	31.8	32.4	31.9	32.3	31.9	32.7	31.7	32.3	31.8	32.7	31.9	32.42	1.29
58	759	31	32.9	32.2	32.8	32.1	32.5	32.1	32.4	32	32.4	32.2	32.6	32.1	32.4	32.8	32.4	32.7	32.4	32	32.8	32.2	33.10	0.81
47	758	31.5	30.8	30.4	30.8	31.9	31	31.5	31	31.4	31	31.2	31.1	30.5	31	30.4	30.9	32.8	31	31.4	32.3	31.7	31.97	1.93
56	760.5	30.5	31.9	31	32.1	31.4	32.3	31.6	31	31.3	31.9	31.2	32.2	31	32.2	31.3	32	31.4	31.7	31.4	31.7	31.3	32.16	1.33
53	758.5	31	31.9	31.5	32.1	31.4	32	31.5	32	31.4	31.8	31.5	31.8	31.6	32	31.4	32.1	31.5	31.8	31.5	31.4	31.9	32.41	0.80
81	759	28	31.5	31.1	31.6	32.4	33.5	32.5	33.7	33	33.5	33	33.8	33.2	33.7	33.1	33.5	32.9	33.6	32.9	33.5	33.2	33.34	2.12
65	761	31.5	31.9	31.5	31.9	31.5	32.3	33	32.2	33	32.2	32.9	33.9	33	32.5	33.1	33.8	33.1	32.6	32.9	32.8	33.2	33.33	1.96
46.5	758.5	32	32.6	31.7	32.7	31.8	32.6	31.9	32.6	31.9	32.5	31.9	32.6	32	32.6	32.1	32.6	32.1	32.5	32.1	32.5	32.1	33.09	1.01
76	761.5	30	32.6	32.2	32.7	32.3	32.9	32.3	32.7	32.4	32.6	32.3	32.7	32.3	32.7	32.2	32.8	32.3	32.6	32.2	32.8	32.3	32.98	0.72
52	760	32	32.5	31.4	32.4	31.5	32.5	31.5	32.4	31.6	32.2	31.6	32.5	31.6	32.1	31.6	32.1	31.5	32.1	31.5	32	31.6	32.66	1.20
64	762	30.5	32.6	32.2	32.5	32.1	32.4	31.8	32.6	31.8	32.5	31.8	31.9	31.8	32.2	31.8	31.9	31.9	32.2	31.8	31.9	31.8	32.58	0.85
80	759.5	28.5	33.7	32.4	33.4	32.5	33.2	32.4	33.2	32.4	33.5	32.6	33.5	32.6	33.3	32.5	33.4	32.5	33.5	32.5	33.5	32.4	33.36	1.41
54	762	29	32.3	31.8	32.2	31.9	32.1	31.8	32.1	31.8	32.1	31.9	32.1	32	32.3	31.9	32	31.8	32	31.9	32.1	31.9	32.34	0.45
61	761	26	33.4	32.2	33.5	32.6	33.3	32.4	32.9	32.4	33	32.5	33.2	32.4	32.8	32.6	33.2	32.5	33.2	32.5	32.8	32.7	32.87	1.10
60	762.5	26	34	33	33.6	33	33.9	33.1	33.5	33.2	33.7	33.1	33.9	33.2	33.7	33.4	34	33.1	34	33.3	33.6	32.9	33.46	1.06
60	762.5	26.5	33	32.1	33.1	33.4	33	33.9	33	33.7	33.2	32.3	32.8	33.7	33	33.3	32.8	33.3	33.1	33.6	32.9	33.9	33.21	1.43
57	762	28	32.8	32	32.4	31.9	33	32.1	32.8	32.2	32.6	32.1	33.1	32.3	32.9	32	33	32.1	32.9	32.1	32.5	32.2	32.69	1.21
55	762	29	33.1	32	32.7	32.1	33	32.2	33.1	32.2	33	32.2	32.5	32.2	33	32.3	33	32.2	32.5	32.2	32.5	32.3	32.86	1.10
53	760.5	30	33	32.3	33	32.3	33	32.3	32.8	32.2	33.3	32.5	32.6	32.2	32.9	32.2	33.2	32.4	33	32.4	32.9	32.4	33.17	1.09
46.5	760.5	28.5	32.7	32.3	32.8	32.2	32.6	32.2	32.5	32.1	32.5	32.1	32.6	32.2	32.5	32	32.7	32	32.6	32.1	32.6	32.2	32.73	0.77
47	761.5	26	32.3	31.6	32.3	31.8	32.3	31.9	32.3	31.8	32.3	32	32.4	32.1	32.4	32	32.3	32.1	32.4	32	32.4	32.1	32.18	0.73
43	759	28	33.3	32.4	33.2	32.2	33.4	32.9	33.4	32.9	33.2	32.6	33.3	33.1	33.3	33	33.3	32.8	33.2	33.1	33.3	33.1	33.43	0.99
53	761.5	26	32.5	32	32.4	32	32.4	32.2	32.4	32.2	32.3	32	32.4	32.2	32.4	32.2	32.5	32.1	32.6	32	32.6	32.2	32.32	0.60
47	759	28.5	32.7	31.8	32.5	31.8	32.5	31.9	32.6	32.2	32.6	32.1	32.1	31.8	32.5	31.8	32.4	31.9	32.6	32.2	32.3	31.8	32.63	0.95
57.5	762	26	33	33	33.3	32.6	33	33	33	32.5	33.2	32.8	32.9	32.9	33.5	32.7	33	32.7	33.4	32.9	33.2	32.9	33.00	0.77

Atmosphere			Peak Voltage (kV)																				$U_{50\%} / \delta$	%σ
H(%)	P(Hg)	T(°C)	1	2	3	4	5	6	7	8	9	10	11	12	13	14	15	16	17	18	19	20		
51.5	759.5	29	32.9	32.7	32.8	32.6	32.7	32.6	33.1	32.6	33.1	32.8	32.9	32.7	33	32.9	32.9	32.7	32.8	32.5	33	32.4	33.25	0.58
63	760.5	24.5	33.3	33	33.4	33	33.2	32.9	33.2	33	33.4	33	33.3	33	33.3	33.2	33.4	32.9	33.2	32.7	33.2	33	33.05	0.58
53	760	28	32.4	32	32.4	32	32.3	31.9	32.5	32	32.4	32	32.3	32	32.3	32	32.4	32	32.3	32.1	32.4	32	32.51	0.60
56	760	28	32.3	31.9	32.4	32	32.2	32	32.2	32	32.2	31.9	32.3	31.9	32.2	31.9	32.3	32	32.2	31.9	32.3	31.9	32.42	0.52
77	758	28	32.9	32.5	32.8	32.4	32.9	32.4	32.7	32.5	32.8	32.5	32.8	32.5	32.9	32.5	32.8	32.5	32.8	32.5	32.9	32.5	33.07	0.55
80	759	28	33	31.1	32.8	32.4	33.5	32.5	33.7	33	33.5	33	33.8	33.2	33.7	33.1	33.5	32.9	33.6	32.9	33.5	32.9	33.46	1.86
77	759	28	33	32	32.4	31.9	33	32.1	32.8	32.2	32.6	32.1	33.1	32.3	32.9	32	33	32.1	32.9	32.1	32.5	32.2	32.83	1.21
82	761	27	32.8	32	32.9	32.4	33	32.5	33	32.7	33	32.7	32.9	32.7	33.1	32.7	33	32.7	33.1	32.9	33.1	32.8	32.98	0.83
61	759	28	32.2	33.5	32.6	33.3	32.4	32.9	32.4	33	32.5	33.2	32.4	32.8	32.6	33.2	32.5	33.2	32.5	32.8	32.6	32.8	33.14	1.02
65	759	27	32.9	32.5	32.9	32.6	32.8	32.6	32.8	32.5	32.9	32.5	32.7	32.4	32.9	32.6	32.9	32.5	32.8	32.5	32.8	32.5	32.94	0.52
70	760	27.5	33	32	32.8	32.5	32.8	32.6	32.7	32.5	32.8	32.5	32.7	32.4	32.9	32.5	32.9	32.6	32.8	32.5	32.8	32.6	32.92	0.64
50.5	761	26	32	31.1	32.1	32.3	32.5	32.5	32.1	32.8	32.2	32.9	32.2	31.9	32.4	31.7	32.2	31.9	32.1	31.6	32.2	31.6	32.18	1.31
53	761.5	27	32.2	31.6	32.9	32.3	32.8	32.3	32.1	32.4	32.1	32.4	31.9	32.3	32.7	32.2	32.7	32.9	32.8	32.3	32.8	32.3	32.55	1.08
75	761.5	27.5	33	30.9	32.7	31.2	32.4	30.9	31.9	32.5	33.8	32.8	32.3	32.9	33.2	32.4	32	32.7	33	32.7	31.9	32.7	32.60	2.28
62	761.5	30.5	32.7	32.1	32.8	32.2	32.7	32.3	33	32.2	32.7	32.3	32.8	32.2	32.7	32.3	32.9	32.1	32.7	32.1	32.8	32.3	33.03	0.93
45	768.5	24.5	33.5	33.1	33.7	33	33.9	33.1	33.4	33.2	33.3	33.1	33.2	33.1	33.8	33.2	33.4	33.1	33.7	33.1	33.3	33.1	32.89	0.81
40	766	24.5	33	32.1	32.9	32.2	32.9	32.2	32.9	32.3	32.8	32.2	32.9	32.1	32.8	32.2	32.8	32.2	32.8	32.2	32.9	32.3	32.23	1.08

ตารางที่ ง.7 ข้อมูลแรงดันเบรกดาวน์ด้วยวิธีปรับขึ้นลง อิมพัลส์ขั่วๆ ลับ ที่ระยะแกป 3 cm.

Atmosphere			Peak Voltage (kV)																				$U_{50\%} / \delta$	% σ
H(%)	P(Hg)	T($^{\circ}$ C)	1	2	3	4	5	6	7	8	9	10	11	12	13	14	15	16	17	18	19	20		
90	759	27	84.7	79.5	83.2	79.8	82.8	87	84	79.9	83.6	80.8	82.8	80.3	85.3	79.7	82.4	80.9	83.9	80.4	82.6	80.9	82.89	2.48
90	759	27.5	83.2	79.3	82.2	86.1	84.4	81.1	84.4	80.1	84	80.6	84.2	80.6	84.2	81.4	84.3	80.6	83.5	80.8	84.3	81.3	83.33	2.33
89	759	27.5	84.4	80.8	84.4	79.9	83.5	85.5	83.5	86.3	84.2	81.4	85.1	81.8	82.9	85.9	83.5	85.1	83.2	86	83.7	85.6	84.65	2.14
67.5	759.5	29.5	82.5	80.5	82.5	81.7	80.3	81.2	82.4	80.8	81.4	81.8	81.7	81.2	82.3	81.4	82.2	81.3	82.3	81.5	82.4	81.3	82.92	0.78
67.5	759.5	29.5	82.3	81	81.9	81.5	82.4	81.5	82	81.2	82	81.4	82.4	81.2	82.4	81.3	82.1	81.4	81.9	81.1	82.2	81.3	83.01	0.57
80	761	27	87.2	83.8	85.5	83.9	85.9	84	82.7	83.7	86.1	84	85.4	83.7	83.9	83.8	85.5	83.5	84.5	84.1	85.9	84.4	85.03	1.12
71	762	28	84.4	81.6	83.5	82.3	84.5	82.7	83.9	81.6	84.3	81.5	83.4	82.1	83.9	83.4	84.1	83.2	81.8	83.3	81.3	82.4	83.58	1.22
70	762	28	83.8	82.5	84	81	84.3	82.3	83.6	82.6	84.1	82.4	84.2	82.7	83.1	82.4	83.2	82.5	84.5	83.5	82.7	84	83.79	1.07
55	760.5	29.5	88.2	85.2	80.6	83.5	81.7	84.3	82.3	83.8	81.3	82.5	82	83.6	82.4	83.7	82.3	83.9	82	83.5	82.4	82.3	84.27	1.34
54.5	760.5	29.5	84.5	81.2	84	80.9	83.7	81.8	83.1	81.8	83.6	81.9	83.9	82.1	83.3	82.7	83.7	82.3	82.8	82.4	83.2	82.4	83.96	1.08
65	762	29.5	82	79.6	81	83.4	81.2	83.1	82.2	83.6	82.4	83.3	85	83.2	85.5	83.5	82.5	84.4	82.2	84.7	82.5	81.6	83.88	1.72
64	762	29.5	83.2	81.3	83.4	82.1	83.7	82.2	84.5	82.1	83.2	82.2	84.6	82.2	83.3	82	84.8	82.3	84.7	82	84.1	83	84.08	1.29
62.5	762	30	83.9	80	84.1	82.9	85.2	83.1	85.2	80.4	85	82.1	83.3	83	83.5	83.3	84.2	82.9	85.2	82.1	84.5	83	84.52	1.73
59	760	30.5	84	81.7	82.8	81.9	83.1	82.2	82.7	82.2	83.4	82.3	83.6	82.5	84.2	82.2	83.1	82.5	83	82.7	83.1	80.6	84.22	0.92
59	760	31	83.8	82	83.2	82.2	82.6	82.2	82.8	82.5	82.9	82	82.7	82.3	83.6	82.5	83.5	82.2	82.6	82.1	83.8	82.5	84.37	0.64
46	758	31.5	85	81.4	83.9	82	83.5	81.7	84.1	82.2	82.5	81.9	84.2	82.2	83.4	81.8	82	81.7	82.6	81.8	82.3	82	84.59	1.03
57	760.5	30.5	83.6	81.3	81.8	81.2	84	81.9	83.9	81.6	83.6	81.6	82.9	81.7	84	81.7	83.8	81.8	83.7	82.2	83.2	81.6	84.02	1.23
53	758	31	83.8	81.1	83.3	81.3	82.8	81	81.4	81.1	82.2	81.2	82.4	81.2	81.4	80.9	81.4	80.9	81.4	80.9	81.2	80.9	83.45	0.82
71.5	758.5	30	82.5	80.9	82.9	82	83	82.3	83.1	82.3	82.7	84.3	82.8	83.8	82.9	83.9	83	83.7	83	84	83.4	82.5	84.51	0.94
82	760	28.5	85	83.6	85.1	83.9	85.1	84	85.2	83.5	84.8	84.1	85.1	84.2	83.6	84.4	83.7	84.1	85.1	84.2	84.7	83.9	85.36	0.68
47	758.5	31.5	83.6	81.6	80.2	81.8	82.8	81.4	82.2	81.6	80.9	81.4	81.2	81.7	81.2	81.6	82.5	81.8	81	81.6	81	82.3	83.62	0.73
78	761	29	84.1	81.5	82.9	82.3	83	84.6	87.8	84.8	86.9	85	83.7	84.8	85.5	84.8	86.3	84.9	85.8	85.1	85.7	84.6	85.73	1.78
72	761.5	30	83.3	81.2	82.1	81.9	83.6	81.7	82.9	82.1	82.4	81.9	82.8	82	82.6	82.1	84	82.2	83.3	81.9	83.2	82	83.68	0.84

Atmosphere			Peak Voltage (kV)																				$U_{50\%} / \delta$	%σ
H(%)	P(Hg)	T(°C)	1	2	3	4	5	6	7	8	9	10	11	12	13	14	15	16	17	18	19	20		
64	761.5	31	83.2	81.4	83.3	82	83.4	81.4	83.2	81.8	83.3	82.1	83.6	81.6	83.4	81.8	82.4	81.9	83.1	81.9	83.8	82	84.03	0.97
52.5	760	32	83.7	81.6	83.4	81.5	83.5	81.4	82.2	81.5	81.8	81.6	82.5	81.9	82.2	81.3	83.2	81.4	82.7	81.3	81.9	81.6	84.04	0.85
48.5	759	32.5	81.3	80.2	81.3	80.1	80.9	80.1	81.2	80	81.2	80.3	82.5	80.5	82	80.3	80.9	80.2	81.5	80.3	82	80.7	83.02	0.90
74.5	761.5	29.5	84.2	82.9	84.9	82.8	84	83.1	84.7	83.2	84.4	82.5	84.5	82.4	84.3	82.4	83.5	82.5	84.3	82.4	83.9	83.1	84.59	1.02
80	759.5	28.5	84.1	81.4	83.5	81.3	82.7	82	84.1	82.1	84	82	82.4	81.9	83.2	82	83.4	82.1	83.5	81.9	83.8	82	83.70	1.05
55	762	28.5	82.3	81	82.3	81.5	82.4	81.3	82.7	81.6	82.1	81.7	82.3	81.5	82.1	81.8	82.8	81.8	82.2	81.8	82.2	81.7	82.70	0.56
58	762.5	27	84.1	81.3	84.9	81.9	83.8	82.5	82.8	82.2	83	81.8	82.9	82.6	82.8	82.5	84	82.6	84.1	82.8	83	82	83.16	1.03
61	762	27	83.2	81	83.3	82.4	84	82.8	83.1	82.7	83.1	82.9	83.2	82.9	83.4	83	83.7	83	83.2	83	83.1	82.7	83.32	0.70
52	760	30	84.3	81	82	81.1	82.2	81.4	84.2	81.1	83.2	81.4	82	81.4	83.9	81.4	82.3	81.2	82.6	81.3	83.6	81.9	83.55	1.19
47	760	29	82.5	80.5	81.7	82.4	81.9	82.6	82.1	82.4	82.3	82.6	82	82.5	81.7	82.4	81.7	82.6	81.9	82.6	81.8	82.6	83.24	0.62
47	761.5	26	83.1	82.3	83.1	82.2	82.7	82.3	83.1	82.2	82.9	82.4	82.9	82.4	82.9	82.5	83	82.4	82.7	82.4	82.5	82.3	82.73	0.36
41.5	759	28	82.4	82.3	83.3	81.9	83.3	82.1	82.8	82.8	82.7	82.4	83.2	82.3	83.2	82.2	83.8	82	83.4	82.3	83.6	82.3	83.66	0.69
51	761.5	26	83.9	82	84	82.6	83.6	83	83.6	83	83	82	82.9	82.5	82.8	82.1	84	82.5	84.1	82.4	83.6	82.3	83.06	0.81
47	760	28.5	82.9	82.1	82.8	82.1	83.1	82.3	82.9	82.4	83	82.7	82.8	82.8	83.2	82.6	83	82.5	83.2	82.4	82.8	82	83.65	0.44
56.5	762	27	83.2	82.7	83.8	83	83.5	83	83.7	83.2	84.4	83.1	83.2	82.7	83.7	83.1	84.1	83.1	81.5	82.9	82	83.2	83.49	0.79
51.5	759.5	29	83	81.9	83.2	82.6	83.2	82.2	83.2	82.3	83.1	82.4	83.2	82.1	83.1	82.5	82.7	82	82.7	82.3	83.3	82.3	83.83	0.55
64	760.5	24.5	84.9	83.8	84.9	84.3	84.6	84.2	84.9	84.2	84.4	84.2	84.4	83.1	84.6	83.4	84.3	83.8	84.2	83.7	84.2	83.3	83.97	0.58
52.5	760	28.5	83	82.3	83.6	82.7	83.9	82.7	83.5	82.7	83.1	82.3	83.3	82.4	83.3	83.6	83.8	82.4	83.7	82.8	83.7	82.6	84.05	0.66
57	760	28	82.8	81.9	82.8	81.8	82.6	82	82.8	81.8	82.2	81.8	82.6	81.8	82.1	81.6	82.6	81.7	82.7	81.9	82.6	81.6	83.01	0.52
79	758	28	84	82.4	83.4	82.4	83.7	82.2	84.5	82.1	84.1	82.2	84.6	82.2	83.3	82.5	84.8	82.3	84.7	83.3	84.1	83	84.35	1.14
78	759	28	83	82.1	82.8	82.1	82.6	82	82.8	82	82.2	82	82.6	82.4	83	82.1	82.9	82.2	83	82	83.2	82	83.39	0.49
77	759	28	83.4	82	83.4	82.1	83.7	82.2	84.5	82.1	83.2	82.2	84.6	82.2	83.3	82	84.8	82.3	84.7	82	84.3	83.2	84.06	1.24
61	759	28	83	81.8	82.8	81.9	83.1	82	82.7	81.9	83.4	82.1	83.6	82.5	83.3	82.2	83.1	82	83	81.9	82.7	82	83.49	0.70
67	760	27	83.6	82	83.2	82.6	83.3	82.2	82.8	82.5	82.9	82	82.7	82.3	83.6	82.5	83.5	82.5	82.9	82.1	83.8	82.9	83.35	0.63
70	760	27	85	81	84	82	83.5	85.5	83.5	86.3	83.9	82.9	85.1	81.8	82.9	85.9	83.5	85.1	83.2	85.4	82.7	85.6	84.50	1.75
51	761	26.5	83.1	82.2	82.8	82.1	83.1	82.3	82.9	82.4	83	82.7	82.8	82.8	83	82.6	83	82.5	83.2	82.4	82.8	81.9	82.99	0.43

Atmosphere			Peak Voltage (kV)																				$U_{50\%} / \delta$	% σ
H(%)	P(Hg)	T($^{\circ}$ C)	1	2	3	4	5	6	7	8	9	10	11	12	13	14	15	16	17	18	19	20		
54	761.5	27	84	82.5	84	81	84.3	82.3	83.6	82.6	84.1	82.4	84.2	82.7	83.1	82.4	83.3	82.5	84	83.5	82.7	84	83.55	1.03
62	762	30	82.2	82.1	82.9	82.7	83	82.9	83.5	82.5	83.2	82.4	83.4	83.2	83.5	83.1	83.5	86.1	83.2	85.7	83.3	85.7	84.58	1.31
45	768.5	25	86.4	82.9	84	83.3	86.2	83.5	85.7	83.2	84.3	83.3	84.2	83.6	85.7	83.6	84.8	83.3	85.7	83.6	86.1	82.9	83.38	1.43
40	766	24.5	83.4	82.2	84	83	84.4	83	84.2	82.9	83.6	83	83.9	83	83.7	83.1	84.5	83.3	85	83	84.6	82.9	82.74	0.87

ตารางที่ 1.8 ข้อมูลแรงดันเบรกด้านคัวบิวต์ปรับขึ้นลง อิมพัลส์ขั่วโลก ที่ระยะแกป 6 cm.

Atmosphere			Peak Voltage (kV)																				$U_{50\%} / \delta$	% σ
H(%)	P(Hg)	T($^{\circ}$ C)	1	2	3	4	5	6	7	8	9	10	11	12	13	14	15	16	17	18	19	20		
88	759	28	166	158.8	161.6	158.8	165	158.3	159.7	158.1	162.1	158.3	161.9	158.3	164.2	158.8	160.9	158.1	164	159.6	161	158.7	162.44	1.36
87	760	28	163.1	158.2	160.9	157.7	164.6	158.1	164.6	158.3	161.2	158.1	162.1	158.7	163.6	159.2	166.5	158	163.2	159.2	161.1	158.2	162.35	1.67
85	759	28	161.3	158.3	162.6	158.6	162	158.6	163.7	158.4	162.6	160.2	163.6	159.1	162.5	159.2	161.9	158.3	163	158.7	163.3	158.8	162.57	1.29
70	759.5	29	156.9	153.2	157.3	153.7	159.3	153.6	160.3	154.3	158	154.9	160.2	154.6	158.1	155.2	159	154.3	158.3	154.4	158	153.6	162.42	1.54
70	759.5	29	158	154.4	157.7	154.5	156.5	155.7	159.4	154.5	157	154.3	159.2	155.1	153.9	154.4	158	154.6	156.7	154.4	156.9	154.6	158.56	1.09
80	761	27	165	160.1	164.3	159.2	165.6	160.2	163.4	160.4	162.7	160.2	163.8	159.7	161.9	160	161.6	160.6	162	160	160.9	159.8	158.19	1.09
74	762	28	162.8	157.4	160.3	158	159.6	157.2	160.2	157.9	159.5	158.3	159.7	158.4	158.8	158.2	159	158.4	158.6	157.9	159.4	158.3	162.44	0.55
72	762	28	160.4	157.5	159.5	158.2	159.2	158	160.2	157.9	158.7	158.2	159.8	158.4	157	158.1	160.1	158.5	157.3	158.1	158	158.3	160.07	0.56
71	762	28	159.7	158.2	159.7	158.2	159.3	158.5	159.2	158.3	160.5	158	159	158	158.8/	158.3	160.2	158.4	161.4	158	161.3	158.2	159.75	0.69
56	761	29	161	156.6	158.6	156.6	160.5	157.3	158.5	157.7	159.7	157.9	160.8	158	158.6	158.1	161.1	156.5	158.2	158	160	157.2	160.25	0.87
56	760.5	29	158.9	157.1	160.3	157.3	159.5	157.9	157	158.2	157.4	158.3	156.9	157.6	160.4	157.3	160.5	157.4	159.2	157.8	156.8	158.7	160.46	0.76
62	762	30	160.2	155.3	161.8	156.5	161.1	156.7	159.9	156.9	161	157.8	158.4	157.2	158.6	156.8	158.8	157.2	159.6	158	158.4	157.4	160.61	1.07
60	761	30	163.9	157.2	162.3	157.9	159	157.6	159.4	157.9	161.6	158.4	158.8	157.9	158.8	158.1	162.5	158.5	163.6	158.3	157.4	158.4	161.84	1.16
59.5	760	30.5	162.1	157.9	159.9	157.7	158.9	157.7	159.9	157.6	160	157.5	159.4	158.5	157.6	158.1	157.3	157.7	156.6	157	161.1	157.2	161.41	0.75

Atmosphere			Peak Voltage (kV)																				$U_{50\%}/\delta$	%σ
H(%)	P(Hg)	T(°C)	1	2	3	4	5	6	7	8	9	10	11	12	13	14	15	16	17	18	19	20		
67	760	28	166.8	159.8	162.3	161.1	161.6	159.3	161.3	159.9	164.4	160.5	164.7	160	160.5	160	161.1	159.2	160.6	158.9	169.9	159	163.17	1.59
66	760	28	161.3	159	165.6	159.7	164	159.9	163.7	159.8	160.8	160	164.5	159.8	163.4	159.4	161.1	159.5	164	159.7	164	159.1	163.04	1.36
45	758	32	156.8	156	159.5	155.6	161.1	156.2	161.8	156.4	160.6	156.7	160.8	157	155.7	157.1	155.8	159.6	156.1	159.9	155.8	156.8	161.90	1.34
58	760	30	159.8	157.7	164.1	158.3	163.8	158.2	162.9	158	159.5	158.4	161.3	157.6	158.7	157.8	159.1	157.8	162.9	158.6	162.7	157.8	162.43	1.43
53	758	31.5	160.8	156	160.4	155.8	157.8	155	155.9	154.7	156	154.5	155.6	155.1	157.4	154.5	156.4	155.2	157.6	155.2	158.9	155.1	160.23	0.99
51	759	31	161.3	155.8	159.9	156.2	156.6	155.9	158.6	155.6	156.7	156.2	156.9	155.6	158	155.6	156.9	155.8	156.5	155.3	157.8	156.3	160.24	0.74
48.5	759	32.5	156.4	153.4	155.6	154.8	155.9	153.3	155.6	154.1	157.6	154.4	157.1	155	156.8	154.7	156.2	154.7	156.8	154.8	158.8	155.7	159.71	0.90
79	761	29	159.3	157.5	161	158.3	162.5	159.1	162.5	157.5	162.7	158.4	163	158.7	159.2	158.8	159.7	158.9	162.4	158.6	161.3	158.7	161.84	1.15
80	759	28.5	159.1	156.9	160.4	156.9	161.3	157.7	160.3	158	158.3	155.8	161.9	156.3	157.9	155.7	159.5	155.7	157.9	155.5	161.4	155.6	160.17	1.33
56.5	762	28.5	157.6	155.5	158.6	155.7	159.8	155.4	158.4	156.3	160.8	158	159.4	157.4	158.1	157.5	159.9	157.4	157.9	157.6	160.4	157.7	159.41	0.98
57	762	28	158.4	158	158.4	158	160.4	158.2	160.3	158.1	161.2	158.2	159.4	158.5	163.1	158.9	161.4	158.4	160.3	158.3	158.5	158.3	160.40	0.89
52	760	30	161.9	155.6	157.7	156.1	157.7	155.7	157.2	155.9	161.3	156.1	158.6	156.2	162	156.8	160.6	156.3	161	156.1	159.1	156.1	160.55	1.31
46	759.5	29	159.6	157.1	159.1	157.6	154.9	157.3	155.5	158.1	155.7	156.8	155.6	157.8	155.9	157.3	156.6	157	155.3	156.9	155.2	157.1	159.03	0.70
47	761.5	26	158.9	158.1	159.6	157.1	158.7	157.4	158.4	158	158.4	157.1	158.2	157.5	158.6	158	158.9	157.4	158.3	158	158.4	158	158.37	0.39
41	759	28	162.6	159.7	161.5	159.6	161.3	159.6	160.1	158.8	160.1	158.8	161.3	159.8	160.9	158.8	161.6	159.2	160.8	160.1	161.2	159.3	162.08	0.58
47	761.5	27	158.9	157.4	159	157.3	158.3	158.2	158.6	157.7	158.4	157.1	158.3	157.6	158.7	157.5	158.6	157	158.7	157.1	158.3	157	158.73	0.41
47	760	28	158.7	157.7	159.6	157.6	159.6	158.2	159.4	158.3	159.1	158.1	159.7	157.7	159.2	157.8	159.1	157.8	159.7	157.7	159.5	157.8	160.21	0.51
54	760	27.5	159.5	158.6	159.8	158.7	159.6	158.8	159.1	158.6	159.2	158.6	159.3	159.1	159.3	158.8	159.7	158.8	159.7	159.1	159.3	158.9	160.46	0.24
50.5	759.5	29	159.3	159.1	159.4	158.9	159.9	158.5	159.8	158.4	159.5	158.9	159.5	158	159.4	158.8	159.6	159	159.7	158.5	159.9	158.4	161.37	0.35
67	760.5	24.5	160.6	159	160.7	160.2	160.7	159.9	160.7	160.5	160.7	160.6	160.9	159.6	160.3	160.1	161	160	161.4	160	160.9	160.2	160.03	0.34
52	759.5	29	158.2	156.4	159	156.2	158.7	155.8	158.9	157.6	159.3	157.7	160.1	156.9	159.2	157.7	158	156.5	158.3	156.8	159.1	157.1	160.10	0.76
50.5	761	28	161.4	158.6	161	157.1	161.2	157.9	158.8	158.1	159.1	158.5	161.2	157.3	159.4	158.3	160.8	158	161	157	160.7	157.7	160.55	0.91
57	760	28.5	158.7	157.3	157.6	156.1	157.8	157.2	157.8	157.1	159.1	156.2	158.9	157.8	158	156.7	157.6	157.4	158	156.6	158.2	156.7	159.39	0.50
83.5	761	27	159	157.3	160.2	158.1	161.1	159.1	161.5	157.5	161.4	158.4	161	158.2	159.9	158.4	159.7	158.9	160.7	158.6	161.3	158.6	160.30	0.85
82	761	28	162	159	160.7	160.2	160.7	159.9	160.7	160.5	160.7	160.7	160.9	159.7	160.2	160.1	161	159.9	161.4	160	160.9	160.2	161.87	0.34
63	759	27.5	159.4	158	159.6	157.6	159.6	158.2	159.4	158.3	159.1	158.1	159.7	157.7	159.2	157.8	159.1	157.8	159.7	159.5	157.8	160.21	0.50	

Atmosphere			Peak Voltage (kV)																				$U_{50\%} / \delta$	% σ
H(%)	P(Hg)	T($^{\circ}$ C)	1	2	3	4	5	6	7	8	9	10	11	12	13	14	15	16	17	18	19	20		
53	761.5	27.5	162	158.4	159.5	158.2	159.2	158	160.2	157.9	158.7	158.2	159.8	158.4	157	158.1	160.1	158.5	157.3	158.1	158	158.3	159.71	0.54
62	762	30	161	157.6	161.8	157.7	159.4	158.8	162.2	158.3	162.1	159.1	162.4	159.2	163	159.4	163.4	158.8	160.9	159	162.1	158.8	162.51	1.15
44.5	768.5	25	161.9	160.2	162.4	160.9	164.4	161.1	163.1	161.6	164.7	160.4	162.9	160.5	161.9	160.2	161.7	160.7	161.6	161	162.4	161.8	159.98	0.79
41	766	24	161	157.4	160.8	157.9	160.9	158.1	159.8	158.4	160.4	158.4	161.4	158.8	161.7	158.6	162	158.9	161.1	157.9	160.9	158	157.84	0.95

ตารางที่ ง.9 ข้อมูลแรงดันเบรกดาวน์ด้วยวิธีปรับขึ้นลง อิมพัลส์ขั่วโลก ที่ระยะแกบ 9 cm.

Atmosphere			Peak Voltage (kV)																				$U_{50\%} / \delta$	% σ
H(%)	P(Hg)	T($^{\circ}$ C)	1	2	3	4	5	6	7	8	9	10	11	12	13	14	15	16	17	18	19	20		
84	758	28	226	217	222	218	221	217	220	216	223	218	221	227	223	218	223	218	221	230	225	216	223.81	1.69
83	758	28	224	216	222	218	224	218	224	217	223	219	224	219	222	225	224	217	224	220	224	217	223.86	1.38
82	758	28	225	219	224	218	220	226	224	220	228	221	224	220	225	222	218	220	224	219	225	221	224.98	1.28
87	758	28	223	218	222	218	222	218	227	220	223	219	221	218	226	218	225	216	220	228	226	216	224.02	1.67
79	759	27.5	222	217	224	216	220	221	217	226	220	228	226	219	228	220	221	217	221	229	221	218	223.70	1.81
78.5	759	28	228	218	222	219	227	220	222	219	222	217	223	217	226	218	223	219	221	220	222	219	223.62	1.23
71	757	28.5	223	217	226	220	226	221	218	221	218	223	218	220	218	224	219	223	219	221	219	220	224.18	1.19
70	757	28.5	221	218	223	216	224	219	221	216	224	219	223	217	220	218	224	216	222	217	222	218	223.36	1.30
60	760	30	224	219	220	218	221	219	223	220	218	220	218	222	219	222	218	222	218	222	219	221	223.84	0.74
73	762	28.5	228	221	226	221	229	221	222	220	223	221	223	221	223	222	226	220	222	221	227	220	224.88	1.13
68	762	29	227	222	223	221	227	223	225	221	225	222	221	222	220	221	227	222	223	221	225	221	225.35	0.92

Atmosphere			Peak Voltage (kV)																				$U_{50\%} / \delta$	% σ
H(%)	P(Hg)	T($^{\circ}$ C)	1	2	3	4	5	6	7	8	9	10	11	12	13	14	15	16	17	18	19	20		
48	759	31	222	214	219	214	220	218	221	214	219	215	219	215	219	215	221	217	219	217	219	215	222.27	1.09
47.5	759	31.5	221	214	220	217	221	215	222	215	219	215	222	218	219	218	219	214	218	216	219	218	223.05	1.12
54	759	30	230	220	230	220	227	219	225	219	222	220	224	219	221	219	220	217	221	218	220	218	225.46	1.46
56	760	27.5	227	220	226	221	225	221	222	221	222	221	227	221	224	220	225	221	224	221	225	222	224.67	0.95
55	761	28	224	221	226	221	225	220	225	221	222	220	221	220	225	221	224	221	223	220	222	220	224.04	0.89
63	760	28	229	219	222	219	221	219	221	220	226	220	223	220	221	219	221	220	227	220	221	220	223.63	0.97
61	760	28	224	220	222	221	222	221	221	221	221	220	222	220	221	219	222	220	221	220	221	220	223.17	0.38
44	759	32	223	215	221	217	220	216	221	215	220	216	221	216	219	215	220	216	219	217	218	215	223.41	1.02
53	760	30	220	219	225	219	223	219	219	219	220	219	220	219	221	219	220	219	220	219	221	219	223.64	0.71
57	760	28	221	219	221	219	221	220	223	220	221	221	223	221	223	220	222	222	223	221	222	222	223.48	0.56
51	761	30.5	219	214	220	219	224	219	222	219	220	219	220	219	224	219	222	219	220	219	222	219	223.66	0.98
48	758.5	31.5	223	218	220	218	219	216	223	217	218	218	219	217	225	216	224	216	219	218	219	218	224.27	1.14
60	761	29.5	224	220	226	221	224	220	226	219	224	220	224	220	226	221	221	220	225	221	224	222	225.46	1.05
57.5	761	27	225	219	225	220	225	223	225	222	226	221	225	222	225	222	225	221	225	221	223	222	224.30	0.91
46	759.5	29	222	218	219	217	221	219	221	218	222	218	220	217	220	218	222	218	220	217	221	219	222.44	0.73
47	762	26	225	221	225	221	224	222	224	223	224	221	224	221	224	220	225	220	225	221	225	221	222.96	0.81
57	760	24	226	222	226	222	224	222	226	222	224	222	226	222	225	221	226	221	226	222	226	223	222.95	0.85
56	761.5	25	225	220	225	220	223	221	224	221	224	221	223	221	223	220	225	221	224	221	223	221	221.86	0.75
57	761	27	224	220	223	220	222	220	224	220	222	221	223	221	223	220	223	221	224	221	223	221	223.00	0.62
40.5	758.5	27.5	221	217	221	217	220	217	222	217	220	218	222	218	222	218	222	219	221	221	223	220	222.08	0.91
48	759.5	26	222	220	221	220	222	221	224	219	222	221	223	221	223	221	224	222	225	222	223	222	222.79	0.67
55	759	24	225	221	225	222	226	223	226	225	226	223	226	222	226	224	225	223	224	223	225	222	223.64	0.72
51	759.5	28.5	228	224	228	223	225	223	225	222	225	224	227	224	227	223	225	223	225	222	225	223	227.34	0.73
51	762	27.5	229	225	226	224	226	223	229	224	227	225	227	224	228	224	226	225	226	223	227	224	226.90	0.72
48	760	28	227	223	228	223	228	223	224	223	224	223	227	223	228	223	224	222	226	223	224	223	226.71	0.87
59	760	29	223	220	224	220	222	221	222	222	223	219	223	220	224	222	223	221	225	221	222	221	224.88	1.04

Atmosphere			Peak Voltage (kV)																				$U_{50\%} / \delta$	% σ
H(%)	P(Hg)	T($^{\circ}$ C)	1	2	3	4	5	6	7	8	9	10	11	12	13	14	15	16	17	18	19	20		
61	758.5	29	224	220	224	219	221	218	224	220	224	218	224	220	225	220	223	221	223	219	224	219	224.92	0.89
73	760	26	226	222	224	223	227	221	229	223	224	223	224	223	224	222	227	223	224	222	224	221	224.55	0.61
85	758	28	222	219	221	219	221	220	223	220	221	221	223	221	223	221	223	220	223	221	222	223	224.17	1.05
78	759	27	223	220	226	221	224	220	226	219	224	220	224	220	226	221	221	220	225	221	224	222	224.14	0.98
74	762	28	224	221	225	222	224	221	226	219	224	220	224	220	226	221	221	220	225	221	224	221	224.10	0.85
70	762	28	224	222	223	221	223	220	224	220	224	221	224	220	226	221	221	220	225	220	222	220	223.70	0.97
65	762	29	223	221	224	221	224	220	226	219	224	220	224	220	226	221	221	220	225	221	223	221	224.59	0.54
83.5	761	27	223	220	223	221	222	221	223	219	222	221	223	221	222	221	223	222	224	222	223	221	223.05	0.61
54	761	27	222	221	224	221	222	221	224	219	222	221	223	221	223	221	224	221	222	220	223	221	223.00	1.03
63	760.5	29	224	219	225	219	224	219	221	218	224	220	221	219	221	219	224	219	223	219	220	219	223.67	1.35
47	768	25	228	222	230	222	230	224	229	224	229	223	229	223	229	223	228	224	229	223	229	224	223.74	1.17
41	766	24	229	222	229	224	229	224	228	224	228	223	228	224	228	223	229	224	228	223	229	224	223.48	1.04

ตารางที่ ง.10 ข้อมูลแรงดันเบรกความด้วยวิธีปรับขึ้นลง อิมพัลส์ขั้วโลก ที่ระยะแกป 12 cm.

Atmosphere			Peak Voltage (kV)																				$U_{50\%} / \delta$	% σ
H(%)	P(Hg)	T($^{\circ}$ C)	1	2	3	4	5	6	7	8	9	10	11	12	13	14	15	16	17	18	19	20		
80	758	28	265	260	264	261	265	260	265	261	263	265	262	272	263	275	274	263	275	262	275	263	269.03	2.00
79	758	28	267	261	271	261	265	262	265	261	272	261	264	262	266	261	265	262	266	261	263	266	267.46	1.21
78	758	28	270	262	265	261	266	262	266	260	268	261	265	262	265	262	265	273	264	261	266	261	267.61	1.17
88	758	28	266	261	266	261	265	266	264	272	266	263	266	267	265	274	265	275	267	261	265	268	269.54	1.44

Atmosphere			Peak Voltage (kV)																				$U_{50\%} / \delta$	% σ	
H(%)	P(Hg)	T($^{\circ}$ C)	1	2	3	4	5	6	7	8	9	10	11	12	13	14	15	16	17	18	19	20			
78	759	28	273	268	264	269	265	270	265	273	264	269	263	267	273	269	265	268	264	268	267	273	270.90	1.15	
77	759	28	268	264	267	264	266	271	268	265	266	268	264	267	265	269	264	268	265	272	265	268	269.74	0.86	
73	758	28.5	272	264	267	263	269	275	274	266	272	265	273	266	270	266	269	265	271	267	265	266	272.12	1.29	
72	758	28.5	277	272	273	285	271	281	272	281	272	276	272	278	273	278	273	279	272	283	272	279	279.93	1.56	
72	757.5	28.5	279	265	278	267	273	266	273	265	277	267	272	265	274	264	270	266	270	264	266	268	273.51	1.59	
71	757	28.5	274	270	265	266	263	264	276	265	262	264	276	264	269	264	268	265	264	265	267	265	271.00	1.43	
60	760	30	270	264	269	265	270	265	269	265	268	264	268	265	271	262	271	265	261	263	270	264	270.92	1.13	
51.5	759	30.5	266	260	265	263	264	260	265	262	264	260	265	260	265	264	265	260	264	262	266	264	268.41	0.78	
52	759	30.5	267	263	265	263	267	264	269	264	272	264	265	263	266	264	262	262	264	262	264	263	265	270.04	0.90
53	759	30	265	260	266	261	266	263	266	264	269	263	263	267	263	271	266	267	264	268	263	267	262	269.85	1.04
54	759	30	271	261	265	271	263	265	264	271	266	265	266	264	267	264	267	263	269	265	266	265	270.72	0.94	
59	760	30	273	265	275	265	276	266	264	270	265	266	265	268	265	263	265	263	266	264	265	265	269	271.38	1.32
58	760.5	30	266	262	264	264	265	264	269	264	263	269	264	265	264	269	263	264	263	265	263	269	269.22	0.85	
44	759	32	274	260	270	261	267	262	267	261	267	262	266	262	265	259	264	262	263	261	264	263	270.56	1.06	
56	760.5	28.5	266	265	267	263	267	266	270	265	267	265	266	266	267	265	268	266	267	265	268	265	269.15	0.57	
53.5	761	31	271	265	266	266	267	267	271	266	269	266	270	266	272	266	264	266	264	267	265	271	272.27	0.87	
49.5	758.5	31.5	271	263	269	263	266	263	266	264	271	264	271	264	271	264	266	263	265	264	265	263	272.13	1.05	
48.5	758.5	31	268	264	267	265	267	265	267	265	266	265	269	264	266	263	267	264	266	263	265	263	271.33	0.60	
67	760	28	271	264	270	269	271	268	269	267	272	268	271	268	270	268	270	268	270	268	269	268	271.66	0.64	
57	761.5	27	270	265	269	268	269	268	269	266	269	266	269	266	269	268	270	267	269	267	269	266	269.22	0.53	
46	759.5	29	268	265	268	263	268	265	268	267	268	266	268	265	268	265	268	267	268	267	268	265	270.51	0.57	
47	762	26.5	272	270	272	271	272	271	272	270	272	269	272	270	271	268	271	275	270	275	271	270	271.85	0.62	
58	760	24	271	266	271	267	271	269	271	269	271	267	270	272	270	272	270	272	269	272	269	271	269	269.19	0.61
57	761	24	270	263	269	264	270	266	270	267	270	267	269	267	270	267	270	268	268	268	270	268	266.80	0.74	
62	761	26	268	267	270	268	272	267	271	270	270	267	271	270	271	270	271	272	270	271	271	269	270.30	0.57	
43	759	28	270	266	267	264	267	267	270	267	268	267	270	267	269	266	269	265	268	267	269	268	270.60	0.57	

Atmosphere			Peak Voltage (kV)																				$U_{50\%} / \delta$	% σ
H(%)	P(Hg)	T($^{\circ}$ C)	1	2	3	4	5	6	7	8	9	10	11	12	13	14	15	16	17	18	19	20		
55	759	24	272	267	272	268	272	270	272	271	274	271	272	270	272	271	272	272	273	270	272	271	270.65	0.59
51	759.5	28.5	275	269	275	272	275	271	273	271	274	270	274	272	274	272	277	273	274	272	274	270	276.24	0.72
50	761	28	277	271	276	271	273	271	274	271	275	272	273	271	275	271	276	272	274	271	273	272	275.34	0.64
48	760	28	278	271	273	271	272	271	273	272	275	271	273	271	273	271	273	272	273	271	275	272	275.29	0.46
60	760	29	272	269	273	268	271	269	269	268	272	268	273	268	272	268	271	269	270	269	271	269	273.57	0.63
61	758.5	28	272	266	270	267	272	266	268	266	268	266	272	266	267	266	269	266	270	265	272	266	271.23	0.85
77	760	26	267	266	267	266	267	266	268	267	271	268	273	269	270	266	270	268	271	269	271	267	269.25	0.76
90	758	27	271	261	265	271	263	265	264	271	266	265	266	264	267	264	266	263	269	265	266	264	268.29	0.94
89	758	27	274	270	265	266	263	264	272	265	262	264	272	264	269	263	268	264	265	264	266	265	268.74	1.09
86	758	27	270	264	269	265	270	265	269	265	268	264	268	265	271	262	271	263	270	264	270	264	269.35	1.09
82	758	28	274	263	265	263	264	264	265	262	266	263	266	260	266	264	268	262	271	264	272	264	268.68	1.08
72	762	28	267	263	266	263	267	264	269	265	272	264	268	263	266	264	262	264	262	264	263	266	267.07	0.95
71	762	28	270	262	268	263	268	265	268	267	268	266	268	265	268	265	268	267	268	265	268	265	268.58	0.69
64	762	29	270	265	270	267	269	267	269	266	269	266	269	264	269	265	270	265	269	265	269	264	270.23	0.77
54	761	27	273	265	278	267	273	266	273	265	277	267	272	265	274	264	270	266	270	264	271	268	270.85	1.57
60	760.5	30	271	266	267	263	264	263	266	263	267	264	266	263	267	263	270	264	262	266	263	267	269.52	0.93
47	768	25	278	272	278	273	282	272	284	273	283	272	282	272	283	272	283	273	282	272	284	273	274.26	1.84
41	766	24	276	270	274	269	277	270	278	271	276	272	279	272	277	271	279	270	281	271	277	270	270.94	1.39

ภาคผนวก จ.

ข้อมูลการทดสอบแรงดันกระเส슬ับ

จ.1 ข้อมูลแรงดันเบรกดาวน์กระเส슬ับ

ตารางที่ จ.1 ข้อมูลแรงดันเบรกดาวน์ตัวอย่างวิธีแรงดันเพิ่ม ที่ระยะgap 1 cm.

%RH	P (Hg)	T (K)	Um						%σ
			1	%σ	3	4	5	average	
60	758	31	32.06	32.09	32.24	32.27	32.28	32.19	0.33
60	758	31	32.33	32.33	32.29	32.35	32.35	32.33	0.08
60	758	31	32.31	32.29	32.34	32.50	32.32	32.35	0.26
47	758	32	31.20	31.11	31.32	31.32	31.31	31.25	0.30
47	758	32	31.31	31.27	31.29	31.29	31.32	31.30	0.06
73.5	759	28	32.52	32.66	32.64	32.68	32.71	32.64	0.23
73.5	759	28	32.81	32.67	32.68	32.71	32.83	32.74	0.23
82	759	27.5	29.32	29.27	30.18	30.26	30.53	29.91	1.93
81	760	28	31.54	32.32	32.26	32.29	32.44	32.17	1.12
77	761	28.5	30.23	30.91	31.75	31.78	31.97	31.33	2.35
75	761	28	32.03	32.02	32.18	32.35	31.70	32.06	0.75
68.5	759	29	30.08	30.40	31.80	31.95	31.93	31.23	2.92
68	758	29	31.92	31.97	31.98	32.02	32.01	31.98	0.13
82	761	27	31.78	32.47	32.55	33.03	33.36	32.64	1.84
76	761	28.5	31.56	31.55	31.81	32.83	32.18	31.99	1.68
73.5	761	28.5	32.05	31.64	31.60	31.87	32.08	31.85	0.70
68.5	761	29	32.21	32.24	32.37	32.63	32.26	32.34	0.53
68.5	761	29	31.31	31.38	31.48	31.69	31.75	31.52	0.61
66	760	30	32.23	32.24	33.22	32.94	33.15	32.76	1.48
66	760	30	32.31	33.03	31.96	33.29	33.15	32.75	1.77
66	760	30	33.01	32.91	33.43	33.44	33.43	33.24	0.79
61	758	29	31.47	32.25	31.86	32.05	31.90	31.91	0.90
72	761	28	32.80	33.82	32.66	33.95	33.74	33.39	1.83
71	761	28	30.97	33.93	33.83	34.33	34.19	33.45	4.19
70	761	28	32.85	32.93	32.95	32.61	33.52	32.97	1.02
67.5	761	27	33.54	33.61	33.76	33.89	33.80	33.72	0.42
65	761	27	33.82	33.88	33.92	34.02	33.96	33.92	0.22
60	761	28	32.41	32.54	32.73	33.37	33.66	32.94	1.65
57	761	29	32.39	32.48	32.68	32.69	32.68	32.58	0.43
78	760.5	26	33.02	33.10	33.53	33.66	33.53	33.37	0.86
77	761	26.5	33.76	34.30	34.22	34.22	33.52	34.00	1.01
78	760	28	32.88	33.11	32.82	33.07	32.89	32.95	0.39
74	760	28	31.91	31.89	32.26	32.52	32.26	32.17	0.83
67	761	29	33.19	32.86	32.84	32.79	32.81	32.90	0.50
85	759.5	27	32.52	32.56	32.72	32.78	32.81	32.68	0.40
81.5	759.5	27.5	30.74	32.45	32.91	33.50	33.17	32.55	3.33

%RH	P (Hg)	T (K)	Um						%σ
			1	2	3	4	5	average	
79	760	28	31.56	32.11	32.17	32.28	32.46	32.11	1.05
63	760	29.5	31.45	31.50	31.53	31.52	31.49	31.50	0.10
55.5	760	30.5	29.56	29.61	30.06	29.42	31.06	29.94	2.24
55.5	760	30.5	31.41	30.65	32.13	32.29	32.13	31.72	2.17
83	760	28	30.61	30.93	30.89	32.49	32.41	31.47	2.89
80	760	28	29.97	30.71	31.78	31.61	32.12	31.24	2.81
72	761.5	29	30.01	31.31	31.80	31.97	31.99	31.41	2.65
68	761.5	30	29.93	31.21	31.45	31.37	31.85	31.16	2.34
54	760.5	30	33.98	33.61	34.17	34.27	34.49	34.10	0.97
54	760.5	30	34.24	34.00	30.63	34.16	34.19	33.44	4.72
53.5	760.5	30	33.45	33.59	33.27	33.72	33.70	33.55	0.55
49	758	31	33.72	33.90	33.76	33.43	33.74	33.71	0.51
65	759.5	28	31.83	31.85	32.68	33.42	33.62	32.68	2.58
65	759.5	28	32.11	32.94	34.29	34.22	34.19	33.55	2.92
57	762	30	32.87	31.97	32.98	33.23	33.70	32.95	1.93
47	760	31.5	31.94	32.51	31.98	32.53	32.59	32.31	0.99
56	761	30.5	31.99	32.31	32.30	32.99	32.42	32.40	1.13
56	761	31.5	32.44	32.47	32.52	32.23	32.59	32.45	0.42
61	761.5	31	33.38	34.69	34.28	34.61	34.59	34.31	1.58
60	761.5	31	33.22	33.70	34.02	34.07	34.05	33.81	1.08
59.5	761.5	31	32.85	32.41	32.31	32.09	32.26	32.39	0.88
59	761.5	31	32.32	32.09	32.03	32.08	32.22	32.15	0.37
54	760	33	33.90	34.03	33.86	34.01	34.07	33.97	0.26
54	760	33	33.77	33.80	33.73	33.58	33.69	33.71	0.25
54	760	33	32.10	31.99	31.89	31.48	31.40	31.77	0.99
53	760	33	32.00	31.99	32.09	32.14	32.11	32.07	0.21
49	758.5	33	33.22	33.33	33.59	33.57	33.57	33.45	0.51
50	758.5	33	33.07	32.94	33.08	32.93	33.11	33.03	0.25
50	758.5	33	31.63	31.58	31.28	31.49	31.57	31.51	0.44
49	758.5	33	31.76	31.86	31.84	31.84	31.86	31.83	0.13
61.5	759	28	33.81	34.29	34.21	34.35	34.40	34.21	0.68
61.5	759	28	35.34	34.59	35.30	35.21	35.19	35.13	0.88
61.5	759	28	33.57	32.73	32.33	32.44	33.14	32.84	1.56
61.5	759	28	31.47	32.99	32.44	33.05	32.44	32.48	1.96
44	759	33	31.62	31.68	31.54	32.06	32.29	31.84	1.01
43.5	759	33	32.49	32.39	32.46	32.38	32.31	32.40	0.22
47.5	759.5	33	32.38	32.44	32.73	32.66	32.49	32.54	0.46
47.5	759.5	33	32.06	32.05	31.94	32.14	32.25	32.09	0.36
48	759.5	33	34.49	34.59	34.21	34.98	34.81	34.61	0.85
48	759.5	32.5	34.47	34.38	34.12	34.27	34.40	34.33	0.40
48	758.5	33.5	31.31	31.43	31.20	30.93	31.11	31.19	0.61
48	758.5	33.5	31.59	31.60	31.61	31.60	31.81	31.64	0.30
40	763	28	32.32	32.47	32.47	32.48	32.51	32.45	0.23
40.5	762.5	28	32.54	32.65	32.56	32.53	32.52	32.56	0.16
41	761.5	29	32.21	32.22	32.26	32.26	32.34	32.26	0.15

%RH	P (Hg)	T (K)	Um						%σ
			1	2	3	4	5	average	
41	760	29.5	32.18	32.09	32.04	32.11	32.16	32.11	0.18
55.5	761.5	24.5	33.25	33.92	33.86	33.41	33.59	33.61	0.86
55	762	25	36.38	36.35	36.23	36.12	36.27	36.27	0.29
54	762	25	33.60	33.43	33.58	33.63	33.47	33.54	0.26
43.5	760	30	30.75	31.05	31.32	31.28	31.32	31.14	0.79
44	760	30	31.67	31.57	31.40	31.70	31.64	31.59	0.39
55	760.5	25	33.43	33.37	33.42	33.26	33.43	33.38	0.21
45.5	759.5	31	34.56	34.68	34.89	34.88	34.72	34.75	0.40
45.5	759.5	31	31.78	31.41	31.49	31.59	31.93	31.64	0.67
54	763.5	24	32.72	32.79	33.22	33.26	33.27	33.05	0.82
53.5	763.5	24	35.25	35.93	35.95	36.07	36.03	35.85	0.83
53	764	23	35.17	34.99	35.14	34.98	35.04	35.06	0.25
49.5	764	24.5	35.06	35.58	34.91	35.18	35.13	35.17	0.71
50	761	21	32.67	32.77	32.64	32.82	32.90	32.76	0.32
59	762.5	24	33.27	33.17	33.24	32.98	33.36	33.20	0.44
52	763	27	33.95	34.14	33.96	34.10	34.10	34.05	0.26
52	763	27	32.51	32.50	32.37	32.47	32.35	32.44	0.23
60	760.5	25	33.81	33.87	33.76	34.38	34.00	33.96	0.73
61.5	760.5	25	32.74	33.02	33.05	33.05	32.84	32.94	0.43
60	761.5	26	32.82	33.66	33.04	33.66	32.76	33.19	1.33
83	761.5	25	33.83	33.72	33.79	34.03	33.88	33.85	0.35
76	763	27	31.07	31.03	31.45	31.69	31.79	31.41	1.11
66	763	28	30.86	30.88	32.16	30.28	30.86	31.01	2.24
54.5	761	26.5	32.28	32.27	32.48	32.36	32.39	32.35	0.27
55	761	27	32.30	32.33	32.70	32.49	32.60	32.48	0.53
56	761	27	32.25	32.31	32.34	32.40	32.44	32.35	0.23
55	761	28	32.34	32.47	32.30	32.50	32.40	32.40	0.26
56	761	28	32.00	32.22	32.68	32.34	32.64	32.38	0.88
66	760	28	32.60	32.66	32.63	32.78	33.53	32.84	1.20
67	760	28	32.60	32.83	32.97	33.23	32.80	32.89	0.71

ตารางที่ จ.2 ข้อมูลแรงดันเบรกดาวน์ตัวอย่างแรงดันเพิ่ม ที่ระยะแกป 3 cm.

%RH	P (Hg)	T (K)	Um						%σ
			1.00	2.00	3.00	4.00	5.00	average	
59	758	31.5	78.94	80.24	80.98	81.11	81.96	80.65	1.40
59	758	31.5	81.71	81.48	81.94	82.64	83.02	82.16	0.79
59	758	31.5	82.44	81.02	82.84	82.69	82.98	82.39	0.96
47.5	758	32	78.54	80.83	80.45	79.50	81.09	80.08	1.32
47.5	758	32.5	83.80	83.15	83.55	82.78	83.21	83.30	0.47
73	759	28	82.61	83.47	84.87	84.61	84.76	84.06	1.17
73	759	28	85.26	85.75	85.83	86.05	86.36	85.85	0.47

%RH	P (Hg)	T (K)	Um						%σ
			1.00	2.00	3.00	4.00	5.00	average	
73	759	28	84.53	84.68	84.76	84.87	85.90	84.95	0.64
83	759	27.5	81.93	84.10	83.67	82.74	82.75	83.04	1.03
81.5	760	28	77.90	80.50	81.53	82.52	82.24	80.94	2.31
81	760	28	81.70	84.86	83.52	86.02	85.45	84.31	2.05
76	761	28.5	78.50	83.09	83.25	84.16	84.76	82.75	2.99
77	761	28.5	76.52	73.62	79.53	81.82	81.81	78.66	4.52
75.5	761	28	81.95	82.71	84.27	83.60	83.59	83.22	1.09
75	761	28	80.51	82.03	81.67	81.35	82.55	81.62	0.94
68.5	759	29	81.52	81.27	83.40	83.64	83.99	82.77	1.54
68	758	29	77.28	81.84	82.27	79.78	83.64	80.96	3.07
82.5	761	27	83.94	83.85	82.91	82.88	84.14	83.55	0.72
81	761	27.5	80.89	83.26	83.78	83.62	84.22	83.15	1.58
76	761	28	80.96	81.60	81.42	81.89	82.62	81.70	0.76
74	761	28.5	80.00	83.60	83.81	83.57	83.92	82.98	2.02
69.5	761	29	80.99	82.34	83.24	82.72	83.50	82.56	1.20
66	760	30	81.60	83.03	83.01	83.43	82.81	82.78	0.84
61	758	29	77.38	79.60	80.02	80.84	81.39	79.85	1.93
71	761	28	81.02	82.33	82.26	83.13	84.60	82.67	1.60
69	761	26.5	80.99	84.42	85.18	85.72	86.36	84.53	2.49
64	761	27	81.85	84.06	84.79	85.15	85.52	84.27	1.73
60	761	28	81.79	82.85	83.27	83.80	83.63	83.07	0.96
57	761	29	82.42	83.69	83.17	84.12	84.16	83.51	0.88
75	761	26.5	85.06	85.00	85.48	85.82	86.27	85.53	0.62
79	760	27.5	84.21	84.68	85.09	85.16	85.71	84.97	0.66
75	760	28	82.06	82.57	82.83	83.31	83.69	82.89	0.77
67	761	29.5	81.30	79.48	80.96	81.51	82.77	81.20	1.46
87	759.5	27	79.73	84.53	84.40	85.05	85.01	83.74	2.70
83	759.5	27.5	83.11	83.24	84.13	84.69	85.03	84.04	1.02
64.5	760	29	80.02	80.56	82.48	82.21	82.26	81.50	1.39
62.5	760	29.5	79.88	81.12	80.35	80.99	80.71	80.61	0.63
56	760	30	79.36	79.39	79.45	80.00	80.94	79.82	0.84
55	760	30.5	79.41	79.86	80.09	80.57	80.36	80.06	0.56
82	760	28	71.64	79.23	81.22	83.78	84.08	79.99	6.34
81	760	28	79.96	80.43	81.07	81.45	82.87	81.16	1.38
71	761.5	29	78.33	80.07	80.27	80.18	80.38	79.85	1.07
68	761.5	30	74.37	79.22	79.86	80.44	82.81	79.34	3.90
57	760.5	30	85.92	87.61	89.33	88.35	88.07	87.86	1.43
57	760.5	30	86.81	87.66	87.33	87.52	88.81	87.63	0.84
55	760.5	30	88.13	87.94	87.58	86.91	87.69	87.65	0.53
54.5	760.5	30	87.15	87.79	88.01	87.47	87.11	87.51	0.45
49	758.5	31	85.95	85.74	86.63	87.39	87.20	86.58	0.85
65	759.5	28	86.03	88.40	88.86	88.28	89.84	88.28	1.58
65.5	760	28	84.28	86.33	86.21	87.45	87.75	86.40	1.58
63	761	29	84.32	87.55	88.55	87.51	89.06	87.40	2.11
58	761	30	89.40	89.82	88.60	88.80	89.00	89.12	0.55

%RH	P (Hg)	T (K)	Um						%σ
			1.00	2.00	3.00	4.00	5.00	average	
57	761	30.5	88.78	89.49	89.40	89.52	89.76	89.39	0.41
57	762	30	86.35	86.56	85.94	88.09	88.23	87.03	1.21
57	762	30	84.82	86.97	86.48	89.52	89.76	87.51	2.40
47	760	31.5	80.88	81.27	81.45	81.61	80.24	81.09	0.68
47	760	31.5	81.32	81.64	82.37	81.87	81.29	81.70	0.54
47	760	31.5	77.88	79.56	79.95	81.35	81.93	80.13	1.99
57	761	30.5	79.57	82.46	80.63	82.17	81.15	81.19	1.45
57	761	30.5	83.96	79.07	83.79	83.67	83.44	82.79	2.52
56.5	761	30.5	83.81	83.58	83.89	84.18	84.32	83.96	0.35
56	761	31.5	77.99	78.23	79.95	80.69	80.55	79.48	1.62
55	761	32	86.11	85.61	86.20	86.14	87.13	86.24	0.64
57	761.5	31.5	87.16	87.33	87.20	87.23	88.34	87.45	0.57
56.5	761.5	31.5	86.28	88.22	86.85	87.53	87.31	87.24	0.84
56	761.5	32	82.65	82.47	81.42	82.07	82.36	82.19	0.58
56	761.5	32	83.99	83.58	83.26	83.17	83.20	83.44	0.42
53	760	33	84.29	85.15	86.14	86.65	86.53	85.75	1.18
53	760	33	87.98	87.88	87.46	87.10	88.67	87.82	0.68
51.5	759	32.5	83.09	82.32	81.92	82.75	82.00	82.41	0.60
52	759	32.5	80.03	81.22	81.10	80.78	80.64	80.75	0.58
48.5	758.5	32.5	86.23	86.26	87.19	86.72	87.48	86.78	0.64
49	758.5	32.5	86.68	86.53	86.41	86.71	86.79	86.62	0.18
49	758.5	32.5	82.08	82.05	82.54	82.33	82.59	82.32	0.31
50	758.5	32.5	83.33	83.75	83.34	83.28	83.41	83.42	0.22
61.5	759	28	86.76	88.24	88.85	89.16	90.20	88.64	1.43
62	759	28	91.73	91.35	92.00	92.25	92.09	91.88	0.38
62	759	28	86.52	82.60	86.84	86.26	85.64	85.57	2.01
61.5	759	28	85.41	85.44	85.20	85.54	85.76	85.47	0.24
43.5	759	33	80.71	81.72	81.05	81.47	81.91	81.37	0.60
48	759	33	78.53	79.90	79.95	80.68	80.33	79.88	1.02
48	759	33	83.11	82.53	81.52	81.62	82.48	82.25	0.82
48	759	33	86.41	85.88	87.55	88.57	89.23	87.53	1.61
48	759	33	86.02	86.61	86.81	87.24	85.61	86.46	0.75
40.5	762.5	28	84.44	85.47	85.57	85.48	85.82	85.35	0.62
41.5	761.5	29	82.25	82.74	82.63	83.16	83.95	82.95	0.78
41	760	29.5	81.24	82.57	81.80	82.38	82.25	82.05	0.65
56	761.5	24	82.10	84.98	85.05	84.98	85.86	84.59	1.71
44	760	30	80.96	81.46	81.59	81.57	82.05	81.52	0.48
55	760.5	25	87.03	87.01	86.84	87.50	87.22	87.12	0.29
45.5	759.5	31	80.24	80.83	80.66	80.91	81.79	80.88	0.70
45.5	759.5	31	85.40	87.56	86.68	87.62	87.19	86.89	1.05
54	763.5	24	87.42	86.91	88.33	87.77	88.30	87.75	0.68
53.5	763.5	24	91.10	91.50	91.37	92.69	92.71	91.87	0.95
53	764	23	88.87	88.27	88.77	89.19	89.42	88.90	0.49
50	764	24.5	89.66	91.50	91.45	91.82	92.80	91.44	1.24
50	761	21	85.47	84.57	85.68	85.85	85.57	85.43	0.58

%RH	P (Hg)	T (K)	Um						%σ
			1.00	2.00	3.00	4.00	5.00	average	
59	762.5	23.5	85.05	87.20	87.75	87.81	88.55	87.27	1.52
51	763	27	88.16	88.07	87.01	88.12	87.68	87.81	0.55
51	763	27	85.25	82.71	85.37	85.37	85.40	84.82	1.39
56	760	26	80.25	81.10	81.53	81.65	82.58	81.42	1.04
61.5	760.5	25	84.24	84.84	84.20	85.24	86.49	85.00	1.10
60	761.5	26	83.63	83.93	84.83	84.47	85.53	84.48	0.89
83	761.5	25	83.44	83.10	83.13	83.87	84.25	83.56	0.60
76	763	27	75.78	75.76	78.34	76.52	78.43	76.97	1.73
66.5	763	28	81.79	82.43	82.68	82.22	81.67	82.16	0.52
54.5	761	26.5	84.55	84.98	84.81	84.62	84.76	84.75	0.20
55	761	27	84.95	85.01	85.33	84.89	86.48	85.33	0.78
56	761	27	83.71	84.45	88.40	85.69	86.16	85.69	2.11
55	761	28	85.33	85.20	85.77	85.99	89.20	86.30	1.92
55.5	761	28	85.78	86.38	87.29	88.10	88.45	87.20	1.29

ตารางที่ ๔.๓ ข้อมูลแรงดันเบรกดาวน์ด้วยแรงดันเพิ่ม ที่ระยะแกบ 6 cm.

%RH	P (Hg)	T (K)	Um						%σ
			1.00	2.00	3.00	4.00	5.00	average	
57	758	31.5	158.28	157.14	157.53	159.49	159.92	158.47	0.76
56.5	758	31.5	160.35	159.98	154.09	159.17	160.56	158.83	1.70
56	758	32	161.31	161.44	160.98	159.75	160.87	160.87	0.42
47.5	758	32	154.78	155.90	156.95	159.33	158.13	157.02	1.14
47.5	758	32	158.13	158.67	159.93	158.91	159.24	158.98	0.42
72	759	28	161.72	161.72	163.38	164.33	165.23	163.28	0.96
72	759	28	164.85	164.39	165.80	166.78	167.27	165.82	0.74
83.5	759	27	153.15	155.53	160.48	162.38	163.76	159.06	2.86
83	759	27	161.84	161.23	163.10	163.73	165.66	163.11	1.06
81	760	28	155.33	159.21	159.70	159.79	160.41	158.89	1.28
75	761	28.5	156.06	158.29	163.44	163.18	163.26	160.84	2.14
74	761	28	159.73	160.21	160.38	162.27	162.02	160.92	0.71
69	759	29	157.74	158.42	159.19	160.14	161.27	159.35	0.88
81	761	27.5	159.48	161.38	161.63	161.75	162.71	161.39	0.73
78	761	28	151.74	159.43	159.48	161.56	162.71	158.98	2.69
74	761	28.5	156.45	158.50	159.07	159.91	160.25	158.83	0.95
69.5	761	29	149.79	159.50	161.55	162.81	162.62	159.25	3.42
6	760	30	158.08	157.96	158.18	158.24	156.31	157.75	0.52
61	758	29	158.37	158.84	157.68	159.04	160.35	158.86	0.62
71	761	26	162.90	164.34	164.43	165.47	166.13	164.65	0.75
65	761	27	163.20	162.63	163.75	163.68	156.02	161.86	2.03
60	761	28	155.32	160.75	161.23	162.07	160.85	160.05	1.68
56.5	761	29	158.08	159.69	160.93	161.16	160.98	160.17	0.82

%RH	P (Hg)	T (K)	Um						%σ
			1.00	2.00	3.00	4.00	5.00	average	
79	760.5	26	159.97	166.09	162.47	166.34	166.85	164.34	1.82
75	761	27	164.79	163.56	163.96	164.26	164.97	164.31	0.35
80	760	27.5	160.03	161.98	164.64	164.28	164.10	163.01	1.20
76	760	28	160.96	160.56	160.50	161.47	162.29	161.15	0.46
66	761	29.5	157.84	159.19	159.83	159.24	160.32	159.28	0.58
88	759.5	27	160.28	160.31	163.06	161.27	161.48	161.28	0.70
81	759.5	28	158.41	158.93	160.09	152.23	161.84	158.30	2.30
77	760	28	153.44	159.19	151.49	157.72	160.84	156.53	2.52
67	760	29	157.07	157.67	158.67	159.15	160.60	158.63	0.86
62	760	29.5	158.43	157.37	159.10	159.48	159.69	158.81	0.59
55	760	30.5	154.53	154.69	157.14	156.96	158.23	156.31	1.04
53	758	31.5	151.79	157.02	158.15	158.27	157.46	156.54	1.73
83	760	28	152.14	155.69	157.50	158.78	158.98	156.62	1.81
82	760	28	156.94	155.89	157.93	159.56	159.85	158.03	1.07
81.5	760	28	151.99	156.25	157.89	157.37	157.90	156.28	1.59
71	761.5	29.5	151.75	152.30	155.52	155.47	156.44	154.30	1.37
69	761.5	30	158.46	156.82	160.52	159.63	159.86	159.06	0.92
47	760	31.5	156.03	156.43	157.05	157.09	158.35	156.99	0.56
50	758.5	32	155.87	157.24	157.08	157.42	158.14	157.15	0.52
51	758.5	32	160.75	160.77	160.19	160.31	161.77	160.76	0.38
61	759	28	153.34	155.25	161.63	163.00	161.90	159.02	2.77
43.5	759	33	156.83	158.23	158.23	158.56	159.46	158.26	0.60
47	760	33	158.06	157.18	159.15	159.75	160.56	158.94	0.84
47.5	760	33	158.17	159.21	159.86	158.32	158.51	158.82	0.44
47.5	758.5	33.5	158.66	157.51	159.15	159.16	159.72	158.84	0.52
48	758.5	33.5	158.35	157.37	158.06	158.69	158.89	158.27	0.38
40.5	762.5	28.5	161.43	162.19	162.50	163.89	163.93	162.79	0.67
41.5	761.5	29.5	160.37	160.90	161.78	162.01	161.01	161.21	0.42
41.5	760	29.5	164.29	160.28	163.01	163.56	162.01	162.63	0.96
56	761.5	24	163.58	165.41	166.85	164.90	166.79	165.50	0.83
44	760	30	160.42	160.66	158.58	160.49	160.39	160.11	0.54
55	760.5	25	164.01	165.25	165.94	165.65	167.29	165.63	0.71
46	759.5	31	158.42	157.26	158.89	159.87	159.57	158.80	0.65
54	763.5	23.5	169.94	171.41	170.15	172.17	172.13	171.16	0.62
53	764	23	168.68	168.88	170.37	168.75	169.66	169.27	0.43
44	763.5	27	160.30	161.77	163.25	163.97	160.94	162.05	0.95
50	761	21	163.81	164.20	161.11	165.71	165.59	164.08	1.13
60	762.5	23.5	166.75	167.36	168.82	168.80	169.00	168.15	0.61
51	763	28	162.10	162.11	161.59	162.50	164.21	162.50	0.62
57	760	26	160.61	162.43	163.67	163.32	159.09	161.82	1.20
63	761	24.5	165.85	166.70	162.71	166.53	166.82	165.72	1.04
59	761.5	26	162.79	161.93	163.52	162.59	163.40	162.84	0.40
83	761.5	25	162.08	161.11	164.60	165.07	164.60	163.49	1.09
76	763	27	157.41	157.33	157.83	158.25	157.48	151.60	0.25
67.5	763	28	159.81	160.14	163.42	163.12	164.90	162.28	1.36

%RH	P (Hg)	T (K)	Um						%σ
			1.00	2.00	3.00	4.00	5.00	average	
54	761	26	162.47	162.60	166.76	163.48	163.40	163.74	1.07
54	761	26.5	157.71	161.52	160.35	165.79	168.16	162.71	2.59
56.5	761	27	159.23	159.57	160.05	160.42	159.56	159.77	0.29
56	761	27	160.03	160.39	164.25	164.28	163.85	162.56	1.33
55	761	28	160.96	160.56	161.60	161.48	162.88	161.49	0.54
55.5	761	28	161.72	163.07	163.71	163.12	164.20	163.17	0.57
66	760	28	162.71	162.77	163.06	164.39	165.69	163.72	0.79
67	760	28	162.47	163.51	163.85	164.44	164.89	163.83	0.57

ตารางที่ จ.4 ข้อมูลแรงดันเบริกดาวน์ตัวอย่างแรงดันเพิ่ม ที่ระยะแกบ 9 cm.

%RH	P (Hg)	T (K)	Um						%σ
			1.00	2.00	3.00	4.00	5.00	average	
56	758	32	220.30	220.88	221.62	220.38	221.74	220.98	0.30
57	758	32	221.43	222.43	222.63	223.40	221.46	222.27	0.38
60	758	30	209.70	211.26	218.51	220.14	217.93	215.51	2.18
60	758	30	220.80	219.52	224.30	223.75	222.78	222.23	0.91
58	758	30	223.02	223.95	223.48	223.79	224.22	223.69	0.21
50	759	31	215.72	217.51	217.89	218.28	218.82	217.64	0.54
50	759	31.5	220.11	219.76	220.77	220.45	220.38	220.29	0.17
48	758	32	220.07	221.46	221.27	220.84	221.66	221.06	0.29
47.5	758	32	221.43	220.80	221.62	221.23	221.85	221.39	0.18
71	759	28	224.22	223.37	226.39	227.05	226.35	225.48	0.71
84	759	27	212.11	215.14	215.22	220.61	213.82	215.38	1.48
83	759	27	210.25	214.94	219.52	219.45	221.27	217.09	2.06
80	760	28	210.71	216.69	222.32	219.06	224.69	218.69	2.47
75	761	28.5	225.35	226.86	226.43	226.74	227.25	226.53	0.32
74	761	28	212.93	220.03	222.16	224.34	225.11	220.91	2.21
70.5	759	29	225.15	224.92	224.84	225.03	223.21	224.63	0.36
79	761	28	223.02	225.19	219.48	225.19	226.47	223.87	1.23
78.5	761	28	227.91	227.71	225.31	225.62	227.05	226.72	0.53
75	761	28.5	221.23	222.36	222.67	223.29	222.55	222.42	0.34
71.5	761	29	211.40	214.21	214.94	220.14	223.68	216.87	2.28
70	761	29	212.69	217.70	218.71	221.93	223.06	218.82	1.86
65	760	30	211.80	218.40	221.50	222.05	222.32	219.21	2.02
63	758	29	217.12	222.20	221.85	222.74	223.25	221.43	1.12
70	761	28	211.99	223.17	223.75	224.06	226.12	221.82	2.53
72	761	26	227.21	227.71	228.57	228.92	229.11	228.30	0.36
64	761	27	223.29	226.08	225.66	227.64	224.72	225.48	0.72
62	761	27.5	228.37	228.64	228.41	228.57	228.80	228.56	0.08
60	761	28	223.95	224.22	225.35	226.51	228.18	225.64	0.77
56.5	761	29	225.38	225.81	225.35	226.20	226.74	225.90	0.26

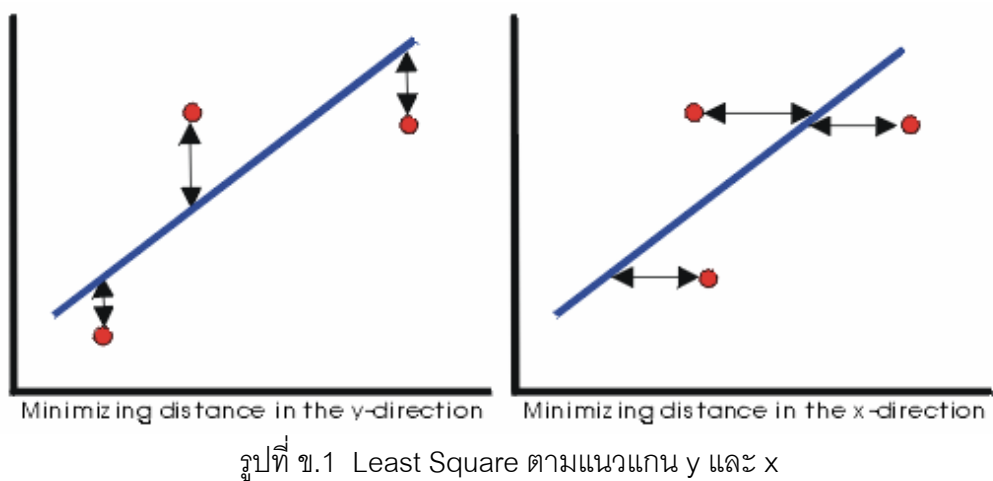
%RH	P (Hg)	T (K)	Um						%σ
			1.00	2.00	3.00	4.00	5.00	average	
74	761	27	219.52	220.26	224.53	224.69	225.89	222.98	1.29
81.5	760	27	220.65	221.31	221.19	224.34	223.99	222.29	0.78
74.5	760	28	222.51	223.13	224.92	224.26	224.76	223.92	0.47
65	761	30	210.98	218.63	221.43	222.28	223.33	219.33	2.27
88	759.5	27	212.34	217.04	217.74	217.74	216.26	216.22	1.04
85	759.5	27	218.40	222.51	222.16	223.87	223.68	222.12	0.99
68	760	29	214.21	218.32	219.52	219.83	220.61	218.50	1.16
61	760	30	218.63	221.93	223.06	223.64	222.94	222.04	0.90
55	760	31	218.01	218.75	219.91	220.73	221.35	219.75	0.63
53	758	31.5	215.60	217.39	221.04	221.04	220.42	219.10	1.13
82	760	28	214.52	220.22	221.74	209.63	223.75	217.97	2.66
82	760	28	224.49	225.38	225.85	225.35	225.35	225.28	0.22
82	760	28	211.84	218.63	218.90	218.32	223.21	218.18	1.87
70	761.5	29.5	217.70	218.40	221.23	221.81	222.51	220.33	0.97
69	761.5	29.5	219.29	215.72	212.42	220.42	222.05	217.98	1.78
51	758.5	32	223.33	225.66	107.08	223.33	221.77	200.23	26.02
61	759	27.5	228.99	225.54	226.86	227.48	228.06	227.39	0.57
43.5	759	33	217.82	217.54	218.94	219.33	219.72	218.67	0.43
51	760	30.5	226.16	226.43	226.08	226.20	228.49	226.67	0.45
51	760	30.5	223.21	223.56	222.32	222.08	222.90	222.81	0.27
47.5	760	33	219.29	221.62	220.57	219.21	220.03	220.14	0.45
47	760	33	222.82	222.74	223.44	222.51	223.29	222.96	0.17
48	758.5	33.5	213.97	215.33	218.40	219.02	219.95	217.33	1.18
48	758.5	33.5	223.37	224.34	223.87	224.34	221.54	223.49	0.52
49	758	33	225.07	224.06	224.30	224.45	224.37	224.45	0.17
40.5	762.5	28.5	226.51	227.48	227.01	227.87	228.26	227.43	0.30
41	761.5	29	228.14	227.40	227.44	227.64	227.56	227.64	0.13
41	760	29.5	222.86	222.90	223.91	225.46	225.11	224.05	0.54
56	761.5	24	231.32	233.42	234.62	234.82	234.50	233.74	0.62
44.5	760	30	218.98	220.61	221.62	222.47	222.71	221.28	0.69
54	760.5	25	228.95	228.37	230.97	232.80	226.28	229.47	1.09
55	760.5	25	230.55	232.06	230.58	231.87	231.36	231.28	0.30
46	759.5	31	223.87	225.93	223.91	224.49	223.13	224.27	0.47
54	763.5	23.5	230.39	235.90	235.05	235.82	234.12	234.26	0.97
53	764	23	236.68	236.17	236.02	236.33	235.59	236.16	0.17
44	763.5	27	227.29	226.24	226.01	227.21	228.72	227.09	0.47
50	761	21	227.01	227.56	227.91	228.10	227.13	227.54	0.21
60	762.5	23	233.19	233.73	235.28	234.85	234.35	234.28	0.36
51	763	28	225.23	225.89	226.98	227.32	227.21	226.53	0.41
50	761	28	227.60	226.78	227.25	228.10	227.75	227.50	0.22
57	760	26	229.03	228.29	228.95	228.45	227.52	228.45	0.27
63	761	25	226.90	229.30	228.80	231.75	231.90	229.73	0.92
58	761.5	26	225.03	226.86	228.22	228.37	228.37	227.37	0.64
75	763	27	213.75	214.45	215.05	217.23	218.20	215.74	0.88
74	763	27	220.52	219.21	218.77	220.04	220.88	219.89	0.40

%RH	P (Hg)	T (K)	Um						%σ
			1.00	2.00	3.00	4.00	5.00	average	
73	763	27.5	223.30	223.06	224.19	223.37	225.18	223.82	0.39
69	763	28	228.61	228.53	228.49	227.95	228.29	228.37	0.12
53	761	26	228.45	228.64	228.53	228.57	229.58	228.75	0.20
54	761	26	228.17	228.25	228.49	228.63	230.88	228.89	0.49
56	761	27	228.57	229.05	229.96	230.43	231.39	229.88	0.49
56.5	761	27	229.03	230.86	232.00	233.01	233.86	231.75	0.82
55	761	28	229.05	230.04	230.85	231.70	230.78	230.48	0.43
56	761	28	228.80	228.98	230.85	230.34	230.39	229.87	0.40

ภาคผนวก ๙

Least Square Estimations

Least Square เป็นการทำ Linear Regression โดยหากราฟเส้นตรงที่ผ่านกลุ่มของข้อมูลแล้วทำให้ค่ากำลังสองของระยะทางจากจุดข้อมูลไปยังเส้นตรงมีค่าน้อยที่สุด ซึ่งอาจเป็นระยะทางตามแนวแกนตั้งหรือแนวแกนนอนก็ได้ ถ้าเป็น Regression ตามแนวแกนนอนหรือแกน x คือ ส่วนเบี่ยงเบนของข้อมูลตามแนวแกน x กับเส้นตรงมีค่าน้อยที่สุด และกลับกันในกรณีแกน y วิธีนี้ใช้ได้ดีกับชุดข้อมูลที่มีแนวโน้มเป็นเส้นตรง [11]



รูปที่ ๙.๑ Least Square ตามแนวแกน y และ x

๙.1 Regression ตามแนวแกน y

สมมติว่ามีชุดข้อมูลอยู่ N ตัว ได้แก่ $(x_1, y_1), (x_2, y_2), \dots, (x_n, y_n)$ ให้เส้นตรง $y = \hat{a} + \hat{b}x$ เป็นเส้นตรงที่ทำให้ค่ากำลังสองของระยะทางตามแนวตั้งจากจุดข้อมูลไปยังเส้นตรงนี้มีค่าน้อยที่สุด ตามสมการ

$$\sum_{i=1}^N (\hat{a} + \hat{b}x_i - y_i)^2 = \min(a, b) \sum_{i=1}^N (a + bx_i - y_i)^2 \quad (๙.๑)$$

$$\hat{a} = \frac{\sum_{i=1}^N y_i}{N} - \hat{b} \frac{\sum_{i=1}^N x_i}{N} = \bar{y} - \hat{b}\bar{x} \quad (๙.๒)$$

$$\hat{b} = \frac{\sum_{i=1}^N x_i y_i - \frac{\sum_{i=1}^N x_i \sum_{i=1}^N y_i}{N}}{\sum_{i=1}^N x_i^2 - \frac{\left(\sum_{i=1}^N x_i\right)^2}{N}} \quad (๙.๓)$$

๑.๒ Regression ตามแนวแกน x

สมมติว่ามีชุดข้อมูลอยู่ N ตัว ได้แก่ $(x_1, y_1), (x_2, y_2), \dots (x_n, y_n)$ ให้เส้นตรง $x = \hat{a} + \hat{b}y$ เป็นเส้นตรงที่ทำให้ค่ากำลังสองของระยะทางตามแนวโนนจากจุดข้อมูลไปยังเส้นตรงนี้มีค่าน้อยที่สุด ตามสมการ

$$\sum_{i=1}^N (\hat{a} + \hat{b}y_i - x_i)^2 = \min(a, b) \sum_{i=1}^N (a + by_i - x_i)^2 \quad (๑.๔)$$

$$\hat{a} = \frac{\sum_{i=1}^N x_i}{N} - \hat{b} \frac{\sum_{i=1}^N y_i}{N} = \bar{x} - \hat{b}\bar{y} \quad (๑.๕)$$

$$\hat{b} = \frac{\sum_{i=1}^N x_i y_i - \frac{\sum_{i=1}^N x_i \sum_{i=1}^N y_i}{N}}{\sum_{i=1}^N y_i^2 - \frac{\left(\sum_{i=1}^N y_i\right)^2}{N}} \quad (๑.๖)$$

๑.๓ Correlation Coefficient

Correlation Coefficient ρ เป็นค่าที่บ่งบอกว่า Linear Regression นั้นให้สมการเส้นตรงที่พอดีกับข้อมูลมากน้อยเพียงใด โดย ρ มีค่าตามสมการ

$$\rho = \frac{\sigma_{xy}}{\sigma_x \sigma_y} \quad (๑.๗)$$

σ_{xy} คือ Covariance ของ x และ y σ_x คือส่วนเบี่ยงเบนมาตรฐานของ x σ_y คือส่วนเบี่ยงเบนมาตรฐานของ y ค่า Correlation Coefficient คาดเดา $\hat{\rho}$ ของข้อมูล N ตัว สามารถหาได้ดังนี้

$$\hat{\rho} = \frac{\sum_{i=1}^N x_i y_i - \frac{\sum_{i=1}^N x_i \sum_{i=1}^N y_i}{N}}{\sqrt{\left(\sum_{i=1}^N x_i^2 - \frac{\left(\sum_{i=1}^N x_i \right)^2}{N} \right) \left(\sum_{i=1}^N y_i^2 - \frac{\left(\sum_{i=1}^N y_i \right)^2}{N} \right)}} \quad (๑.๘)$$

$\hat{\rho}$ จะมีค่าอยู่ในช่วง [-1, 1] ถ้าค่า $\hat{\rho}$ มีค่าเข้าใกล้ 1 หรือ -1 แสดงว่าข้อมูลยิงมีแนวโน้มเป็นเส้นตรง คือเป็นเส้นตรงที่มีความชันเป็นบวกและลับตามลำดับ แต่ถ้า $\hat{\rho}$ มีค่าเป็นศูนย์ แสดงว่าข้อมูลไม่มีแนวโน้มที่จะเรียงตัวเป็นเส้นตรงเลย

ประวัติผู้เขียนวิทยานิพนธ์

นาย พงษ์ศักดิ์ มฤคทัต เกิดวันที่ กุมภาพันธ์ พ.ศ. 2522 จังหวัดกรุงเทพมหานคร สำเร็จการศึกษาระดับปริญญาวิศวกรรมศาสตรบัณฑิต สาขาวิชาชีวิศวกรรมไฟฟ้า ภาควิชาชีวิศวกรรมไฟฟ้า คณะวิศวกรรมศาสตร์ มหาวิทยาลัยเกษตรศาสตร์ ในปีการศึกษา 2543 เข้าศึกษาต่อในหลักสูตรวิศวกรรมศาสตรมหาบัณฑิต สาขาวิชาชีวิศวกรรมไฟฟ้า ภาควิชาชีวิศวกรรมไฟฟ้า คณะวิศวกรรมศาสตร์ จุฬาลงกรณ์มหาวิทยาลัย ในปีการศึกษา 2545